

บทที่ 3

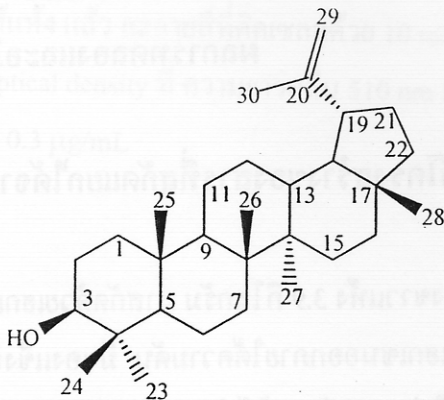
ผลการทดลองและอภิปรายผล

3.1 การวิเคราะห์โครงสร้างของสารที่สกัดแยกได้จากใบของโปรงขาว (*C. decandra*)

นำใบโปรงขาวแห้ง 3.9 กิโลกรัม มาสกัดด้วยเฮกเซน เมทิลีนคลอไรด์ และอะซีโตน ตามลำดับ ระหว่างการระเหยเฮกเซนออกภายใต้ความดัน มีของแข็งสีขาวปนเขียวตกออกมา ซึ่งได้กรอง และนำสารละลายเฮกเซนไประเหยต่อจนได้ส่วนสกัดหยาบเฮกเซน เมื่อนำทั้ง 2 ส่วนนี้ไปทำการแยกโดยวิธีโครมาโทกราฟีและ/หรือตกผลึก แยกสารบริสุทธิ์ซึ่งเป็นสารประเภทไตรเทอร์พีน ได้จำนวน 19 สาร คือ PTH1-PTH19 เป็นสารใหม่จำนวน 3 สาร คือ PTH13 PTH14 และ PTH15 สารประเภทสเตอรอยด์จำนวน 2 สาร คือ PTH20 และ PTH21 ส่วนสกัดหยาบเมทิลีนคลอไรด์ เมื่อทำให้บริสุทธิ์ แยกสารบริสุทธิ์ประเภทไตรเทอร์พีนได้ 1 สาร คือ PTM1 สารประเภท นอร์เซสควิเทอร์พีน (nor-sesquiterpene) 2 สาร คือ PTM2 และ PTM3 และสารประเภทลิกแนน 1 สาร คือ PTM4

วิเคราะห์โครงสร้างสารโดยใช้ข้อมูล 1D และ 2D NMR ซึ่งรวมทั้ง ^{13}C NMR, DEPT 135°, DEPT 90°, HMQC และ HMBC นอกจากนั้นยังยืนยันโครงสร้างของสาร PTH9 ด้วยข้อมูลเอ็กซ์เรย์

3.1.1 สาร PTH1



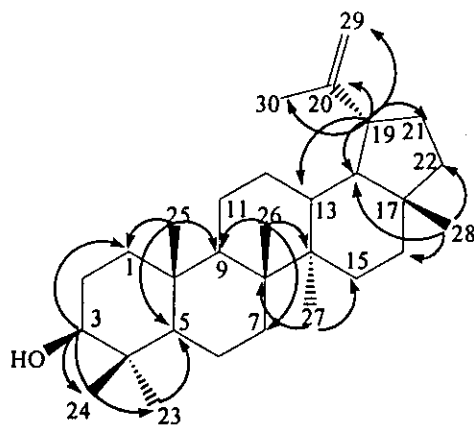
สาร PTH1 เป็นของแข็งสีขาว จุดหลอมเหลว 209-211°C มีค่าสเปซิปิกโรเตชัน $[\alpha]_D^{28}$: +25.0° ($c = 0.200$, CHCl_3) ข้อมูล IR แสดงแถบดูดกลืนของหมู่ไฮดรอกซิล (OH) ที่ 3343 cm^{-1} และพันธะคู่ที่ 1638 cm^{-1} (ภาพประกอบที่ 1) สารนี้ให้สีม่วงกับ vanillin-sulfuric acid แสดงว่าเป็นสารประเภทไตรเทอร์พีน

ข้อมูล ^{13}C NMR (ตารางที่ 2 ภาพประกอบที่ 3) แสดง 30 สัญญาณ ของ 30 คาร์บอน ซึ่งใช้ข้อมูลประกอบจาก DEPT-90° และ DEPT-135° สเปกตรัม เป็นสัญญาณของ 7 เมทิล (δ 14.6, 15.4, 16.0, 16.1, 18.0, 19.3 and 28.0) 11 เมทิลีน (δ 18.3, 20.9, 25.2, 27.4, 27.5, 29.9, 34.3, 35.6, 38.7, 40.0 และ 109.3) 6 เมไธน์ (δ 38.1, 48.0, 48.3, 50.5, 55.3 และ 79.0) และ 6 ควอเตอร์นารีคาร์บอน (δ 37.2, 38.9, 40.8, 42.8, 43.0 และ 151.0)

ข้อมูล ^1H NMR (ตารางที่ 2 ภาพประกอบที่ 2) แสดงลักษณะเฉพาะของ lupane triterpenoids เป็นสัญญาณของ 7 เมทิล ซึ่งเกดต ที่ δ 0.76, 0.79, 0.83, 0.94, 0.97 และ 1.03 ซึ่งรวมทั้ง ไวนิลิกเมทิลที่ δ 1.68 โปรตอน 2 ตัว ของหมู่ไอโซโพรพิล (isopropenyl) ที่ δ 4.68 (1H, d , $J = 2.1$ Hz) และ 4.56 (1H, m) และสัญญาณของ H β -19 ที่ δ 2.38 (m) สัญญาณของออกซีเมทิลีนโปรตอนปรากฏที่ δ 3.19 (1H, dd , $J = 10.8, 5.1$ Hz, H-3) ลักษณะการแตกของสัญญาณของ H-3 แบบดัพเลตดัพเลต และมีค่าคงที่การคู่ควบ $J_{ax-ax} = 10.8$ Hz และ $J_{ax-eq} = 5.1$ Hz บ่งชี้ว่า H-3 อยู่ตำแหน่งแอลฟา (α)

ยืนยันตำแหน่งของหมู่ไฮดรอกซิลที่ C-3 ด้วยข้อมูล HMBC (ภาพประกอบที่ 4) ซึ่งออกซีเมไธน์โปรตอน ที่ δ 3.19 (H-3) แสดงความสัมพันธ์กับ C-1 (δ 38.7) C-4 (δ 38.9), C-23 (δ 28.0) และ C-24 (δ 15.4). เมไธน์โปรตอน H-19 (δ 2.38) แสดงความสัมพันธ์กับ C-18 (δ 48.3), C-20 (δ 151.0), C-21 (δ 29.9), C-29 (δ 109.3) และ C-30 (δ 19.3) จากข้อมูลทางสเปกโทรสโกปี และจากการเปรียบเทียบข้อมูล ^1H และ ^{13}C NMR กับข้อมูลของ Lupeol ที่เคยมีรายงานแล้ว (Reynolds *et al.*, 1986)

(ตารางที่ 3 และ 4 ตามลำดับ) แสดงว่า PTH1 คือ Lupeol [จุดหลอมเหลว 212-214°C และ $[\alpha]_D = +23.0^\circ$ ($c = 0.5, \text{EtOH}$)]



รูปที่ 3 แสดง HMBC ของ PTH1

ตารางที่ 2 ข้อมูล $^1\text{H NMR}$ $^{13}\text{C NMR}$ และ HMBC ของสาร PTH1 (CDCl_3)

ตำแหน่ง	δ_C (ppm)		δ_H (ppm)	HMBC
1	38.7	CH_2	0.91 (<i>m</i>) ^a	
2	27.4	CH_2	1.56 (<i>m</i>) ^a	
3	79.0	CH	3.19 (<i>dd</i> , $J = 10.8, 5.1 \text{ Hz}$)	1, 4, 23, 24
4	38.9	C		
5	55.3	CH	0.69 (<i>m</i>) ^a	
6	18.3	CH_2	1.40 (<i>m</i>), 1.55 (<i>m</i>) ^a	
7	34.3	CH_2	1.40 (<i>m</i>) ^a	
8	40.8	C		
9	50.5	CH	1.28 (<i>m</i>) ^a	
10	37.2	C		
11	20.9	CH_2	1.22 (<i>m</i>), 1.45 (<i>m</i>) ^a	
12	25.2	CH_2	1.08 (<i>m</i>) ^a	
13	38.1	CH	1.67 (<i>m</i>) ^a	
14	42.8	C		

ตารางที่ 2 (ต่อ)

ตำแหน่ง	δ_C (ppm)		δ_H (ppm)	HMBC
15	27.5	CH ₂	1.56 (m) ^a	
16	35.6	CH ₂	1.51 (m) ^a	
17	43.0	C	-	
18	48.3	CH	1.38 (m) ^a	
19	48.0	CH	2.38 (dt, $J = 11.1, 5.7$ Hz)	13, 18, 20, 21, 29, 30
20	151.0	C	-	
21	29.9	CH ₂	1.94 (m) ^a	
22	40.0	CH ₂	1.20 (m), 1.40 (m) ^a	
23	28.0	CH ₃	0.97 (s)	3, 4, 5, 24
24	15.4	CH ₃	0.76 (s)	3, 4, 5, 23
25	16.1	CH ₃	0.83 (s)	1, 5, 9
26	16.0	CH ₃	1.03 (s)	7, 8, 9, 14
27	14.6	CH ₃	0.94 (s)	8, 14, 15
28	18.0	CH ₃	0.79 (s)	16, 17, 18, 22
29	109.3	CH ₂	4.56 (m), 4.68 (d, $J = 2.1$ Hz)	19, 30
30	19.3	CH ₃	1.68 (s)	19, 20, 29

^a ข้อมูลจาก HMQC

ตารางที่ 3 เปรียบเทียบข้อมูล ¹H NMR ของ Lupeol และสาร PTH1 (CDCl₃)

ตำแหน่ง	Lupeol, δ_H (ppm)	สาร PTH1, δ_H (ppm)
1	0.91(t), 1.68 (d)	0.91 (m) ^a
2	1.54 (q), 1.61 (d)	1.56 (m) ^a
3	3.18 (dd)	3.19 (dd, $J = 10.8, 5.1$ Hz)
5	0.69 (d)	0.69 (m) ^a
6	1.39 (q), 1.54 (d)	1.40 (m), 1.55 (m) ^a
7	1.41 (m)	1.40 (m) ^a
9	1.28 (d)	1.28 (m) ^a

ตารางที่ 3 (ต่อ)

ตำแหน่ง	Lupeol, δ_{H} (ppm)	สาร PTH1, δ_{H} (ppm)
11	1.25 (<i>q</i>), 1.42 (<i>d</i>)	1.22 (<i>m</i>), 1.45 (<i>m</i>) ^a
12	1.07 (<i>q</i>), 1.68(<i>d</i>)	1.08 (<i>m</i>) ^a
13	1.67 (<i>t</i>)	1.67 (<i>m</i>) ^a
15	1.01 (<i>d</i>), 1.71 (<i>t</i>)	1.56 (<i>m</i>) ^a
16	1.38 (<i>t</i>), 1.49 (<i>d</i>)	1.51 (<i>m</i>) ^a
18	1.37 (<i>t</i>)	1.38 (<i>m</i>) ^a
19	2.39 (<i>m</i>)	2.38 (<i>dt</i> , $J = 11.1, 5.7$ Hz)
21	1.33 (<i>m</i>), 1.93 (<i>m</i>)	1.94 (<i>m</i>) ^a
22	1.20 (<i>m</i>), 1.42 (<i>m</i>)	1.20 (<i>m</i>), 1.40 (<i>m</i>) ^a
23	0.98 (<i>s</i>)	0.97 (<i>s</i>)
24	0.77 (<i>s</i>)	0.76 (<i>s</i>)
25	0.84 (<i>s</i>)	0.83 (<i>s</i>)
26	1.04 (<i>s</i>)	1.03 (<i>s</i>)
27	0.97 (<i>s</i>)	0.94 (<i>s</i>)
28	0.79 (<i>s</i>)	0.79 (<i>s</i>)
29	4.56 (<i>m</i>), 4.69 (<i>m</i>)	4.56 (<i>m</i>), 4.68 (<i>d</i> , $J = 2.1$ Hz)
30	1.69 (<i>s</i>)	1.68 (<i>s</i>)

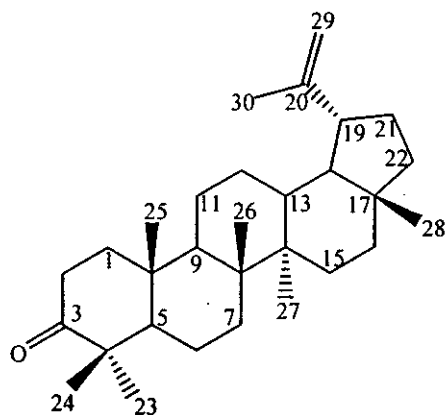
^a ข้อมูลจาก HMQCตารางที่ 4 เปรียบเทียบข้อมูล ^{13}C NMR ของ Lupeol และสาร PTH1 (CDCl_3)

ตำแหน่ง	Lupeol, δ_{C} (ppm)	สาร PTH1, δ_{C} (ppm)
1	38.7	38.7
2	27.4	27.4
3	79.0	79.0
4	38.8	38.9
5	55.3	55.3
6	18.3	18.3

ตารางที่ 4 (ต่อ)

ตำแหน่ง	Lupeol, δ_c (ppm)	สาร PTH1, δ_c (ppm)
7	34.2	34.3
8	40.8	40.8
9	50.4	50.5
10	37.1	37.2
11	20.9	20.9
12	25.1	25.2
13	38.0	38.1
14	42.8	42.8
15	27.4	27.5
16	35.5	35.6
17	43.0	43.0
18	48.2	48.3
19	47.9	48.0
20	150.9	151.0
21	29.8	29.9
22	40.0	40.0
23	28.0	28.0
24	15.4	15.4
25	16.1	16.1
26	16.0	16.0
27	14.5	14.6
28	18.0	18.0
29	109.3	109.3
30	19.3	19.3

3.1.2 สาร PTH2



สาร PTH2 เป็นของแข็งสีขาว จุดหลอมเหลว $163-165^{\circ}\text{C}$, $[\alpha]_{\text{D}}^{28} : +50.0^{\circ}$ ($c = 0.100$, CHCl_3)
ข้อมูล IR แสดงแถบดูดกลืนของหมู่คาร์บอนิลที่ 1704 cm^{-1} (ภาพประกอบที่ 5) การทดสอบกับ
vanillin- sulfuric acid ให้สีม่วงแสดงว่าเป็นไตรเทอร์พีน

ข้อมูล ^1H และ ^{13}C NMR (ตารางที่ 5 ภาพประกอบที่ 6 และ 7) คล้ายกับ PTH1 แต่มีข้อแตกต่าง
คือสัญญาณของออกซีเมไธน์โปรตอน H-3 ที่ δ 3.19 (dd , $J = 10.8, 5.1\text{ Hz}$) หายไป และสัญญาณของ
เมทิลีนโปรตอน H-2 ปรากฏที่สนามต่ำลง δ 2.49 (m) เมื่อเปรียบเทียบกับสัญญาณของ PTH1 ซึ่ง
ปรากฏที่ δ 1.56 (m) ข้อมูล ^{13}C NMR ของสาร PTH2 แสดงสัญญาณของหมู่คาร์บอนิลที่ δ 217.0 ซึ่ง
เป็นสัญญาณของ C-3 และไม่ปรากฏสัญญาณของออกซีเมไธน์คาร์บอน ยืนยันตำแหน่งของหมู่คาร์
บอนิลด้วยข้อมูล HMBC (ตารางที่ 5) โดยโปรตอน 3H-24 (δ 1.02) และ 3H-23 (δ 1.07) แสดง
ความสัมพันธ์กับ C-3 (δ 217.0), C-4 (δ 46.3) และ C-5 (δ 54.3) จากการเปรียบเทียบข้อมูล ^{13}C NMR
กับข้อมูลของ Lupenone (Razdan *et al.*, 1988) (ตารางที่ 7) ที่เคยรายงานแล้ว ยืนยันได้ว่าสาร PTH2
คือ Lupenone [จุดหลอมเหลว $168-170^{\circ}\text{C}$, $[\alpha]_{\text{D}} = +61.0^{\circ}$ (CHCl_3)]

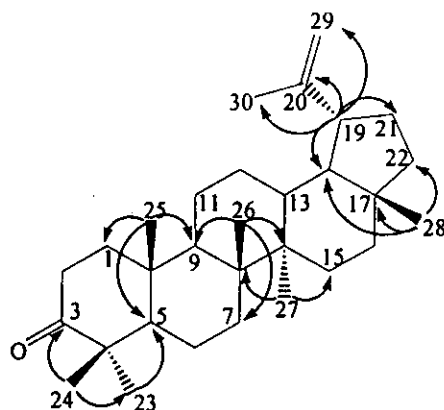
ตารางที่ 5 ข้อมูล ^1H NMR, ^{13}C NMR และ HMBC ของสาร PTH2 (CDCl_3)

ตำแหน่ง	δ_{C} (ppm)		δ_{H} (ppm)	HMBC
1	38.6	CH_2	1.90 (m) ^a	
2	33.1	CH_2	2.49 (m) ^a	
3	217.0	C	-	
4	46.3	C	-	
5	54.3	CH	1.32 (m) ^a	
6	18.7	CH_2	1.45 (m) ^a	
7	32.6	CH_2	0.87 (m), 1.45 (m) ^a	
8	39.8	C	-	
9	48.8	CH	1.38 (m) ^a	
10	35.9	C	-	
11	20.5	CH_2	1.30 (m) ^a	
12	24.2	CH_2	1.68 (m) ^a	
13	37.2	CH	1.68 (m) ^a	
14	41.9	C	-	
15	26.4	CH_2	0.82 (m) ^a	
16	34.5	CH_2	1.37 (m), 1.50 (m) ^a	
17	42.0	C	-	
18	47.3	CH	1.38 (m) ^a	
19	47.0	CH	2.40 (m)	18, 20, 21, 29, 30
20	149.8	C	-	
21	28.8	CH_2	1.26 (m), 1.92 (m) ^a	
22	39.0	CH ₂	1.19 (m), 1.41 (m) ^a	
23	25.7	CH_3	1.07 (s)	3, 4, 5, 24
24	20.0	CH_3	1.02 (s)	3, 4, 5, 23
25	15.0	CH_3	0.93 (s)	5, 9, 10
26	14.8	CH_3	1.07 (s)	7, 8, 9, 14
27	13.5	CH_3	0.96 (s)	14, 15

ตารางที่ 5 (ต่อ)

ตำแหน่ง	δ_C (ppm)		δ_H (ppm)	HMBC
28	17.0	CH ₃	0.80 (s)	17, 18, 22
29	108.1	CH ₂	4.57 (m), 4.69 (d, $J = 2.1$ Hz)	19, 30
30	18.3	CH ₃	1.68 (s)	19, 20, 29

^a ข้อมูลจาก HMQC



รูปที่ 4 แสดงข้อมูล HMBC ของ PTH2

ตารางที่ 6 เปรียบเทียบข้อมูล ¹H NMR ของสาร PTH1 และสาร PTH2 (CDCl₃)

ตำแหน่ง	สาร PTH1, δ_H (ppm)	สาร PTH2, δ_H (ppm)
1	0.91 (m) ^a	1.90 (m) ^a
2	1.56 (m) ^a	2.49 (m) ^a
3	3.19 (dd, $J = 10.8, 5.1$ Hz)	-
5	0.69 (m)	1.32 (m)
6	1.40 (m), 1.55 (m) ^a	1.45 (m) ^a
7	1.40 (m) ^a	0.87 (m), 1.45 (m) ^a
9	1.28 (m) ^a	1.38 (m) ^a
11	1.22 (m), 1.45 (m) ^a	1.30 (m) ^a
12	1.08 (m) ^a	1.68 (m) ^a
13	1.67 (m) ^a	1.68 (m) ^a

ตารางที่ 6 (ต่อ)

ตำแหน่ง	สาร PTH1, δ_H (ppm)	สาร PTH2, δ_H (ppm)
15	1.56 (m) ^a	0.82 (m) ^a
16	1.51 (m) ^a	1.37 (m), 1.50 (m) ^a
18	1.38 (m) ^a	1.38 (m) ^a
19	2.38 (dt, $J = 11.1, 5.7$ Hz)	2.40 (m)
21	1.94 (m) ^a	1.26 (m), 1.92 (m) ^a
22	1.20 (m), 1.40 (m) ^a	1.19 (m), 1.41 (m) ^a
23	0.97 (s)	1.07 (s)
24	0.76 (s)	1.02 (s)
25	0.83 (s)	0.93 (s)
26	1.03 (s)	1.07 (s)
27	0.94 (s)	0.96 (s)
28	0.79 (s)	0.80 (s)
29	4.56 (m), 4.68 (d, $J = 2.1$ Hz)	4.57 (m), 4.69 (d, $J = 2.1$ Hz)
30	1.68 (s)	1.68 (s)

^a ข้อมูลจาก HMQC

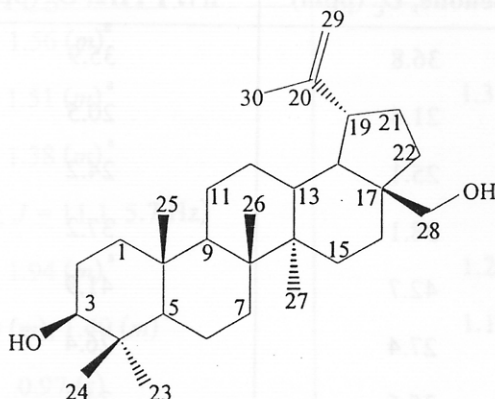
ตารางที่ 7 เปรียบเทียบข้อมูล ¹³C NMR ของ Lupenone สาร PTH1 และสาร PTH2 (CDCl₃)

ตำแหน่ง	Lupenone, δ_C (ppm)	สาร PTH2, δ_C (ppm)	สาร PTH1, δ_C (ppm)
1	39.6	38.6	38.7
2	34.1	33.1	27.4
3	217.9	217.0	79.0
4	47.2	46.3	38.9
5	55.8	54.3	55.3
6	19.6	18.7	18.3
7	33.5	32.6	34.3
8	40.7	39.8	40.8
9	49.7	48.8	50.5

ตารางที่ 7 (ต่อ)

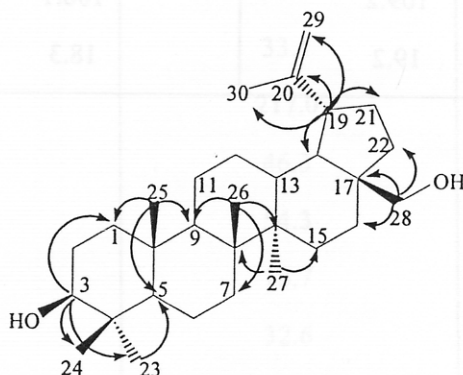
ตำแหน่ง	Lupenone, δ_c (ppm)	สาร PTH2, δ_c (ppm)	สาร PTH1, δ_c (ppm)
10	36.8	35.9	37.2
11	21.4	20.5	20.9
12	25.1	24.2	25.2
13	38.1	37.2	38.1
14	42.7	41.9	42.8
15	27.4	26.4	27.5
16	35.6	34.5	35.6
17	42.7	42.0	43.0
18	48.2	47.3	48.3
19	47.8	47.0	48.0
20	150.5	149.8	151.0
21	29.8	28.8	29.9
22	39.9	39.0	40.0
23	26.6	25.7	28.0
24	21.0	20.0	15.4
25	15.8	15.0	16.1
26	15.4	14.8	16.0
27	14.4	13.5	14.6
28	18.0	17.0	18.0
29	109.2	108.1	109.3
30	19.2	18.3	19.3

3.1.3 สาร PTH3



สาร PTH3 เป็นของแข็งสีขาว มีจุดหลอมเหลว 230-231°C, $[\alpha]_D^{28} : +16.7^\circ$ ($c = 0.150$, CHCl_3) ให้สีม่วงกับ vanillin-sulfuric acid แสดงข้อมูล IR เหมือนกับ PTH1

การเปรียบเทียบข้อมูล ^1H และ ^{13}C NMR (ตารางที่ 9 และ 10 ตามลำดับ) ของสาร PTH3 (ตารางที่ 8 ภาพประกอบที่ 8 และ 9) และ PTH1 พบว่าคล้ายกัน มีข้อแตกต่างคือ PTH3 แสดงสัญญาณเมทิลเป็นซิงเกิลตหสัญญาณ ที่ δ 0.76, 0.82, 0.97, 0.98, 1.02 และ 1.68 และยังปรากฏสัญญาณของ AB system ของออกซีเมทิลีน โปรตอน ที่ δ 3.80 (1H, *dd*, $J = 10.8, 1.5$ Hz) และ 3.33 (1H, *d*, $J = 10.8$ Hz) ซึ่งไม่พบสัญญาณนี้ใน PTH1 จากข้อมูล HMBC (ตารางที่ 8) ออกซีเมทิลีน โปรตอน (2H-28) แสดงความสัมพันธ์กับ C-16 (δ 29.2), C-17 (δ 47.8) และ C-22 (δ 34.0), แสดงว่าออกซีเมทิลีน โปรตอนต่ออยู่กับ C-28 (δ 60.6) เมื่อเปรียบเทียบข้อมูลทางสเปกโทรสโกปีกับข้อมูลที่มีรายงานแล้ว (Tinto *et. al.*, 1992) พบว่าสาร PTH3 คือ Betulin (ตารางที่ 9 และ 10) [จุดหลอมเหลว 236-238°C, $[\alpha]_D = 24.0^\circ$ ($c = 0.075$, pyridine)]



รูปที่ 5 แสดงข้อมูล HMBC ของสาร PTH3

ตารางที่ 8 ข้อมูล ^1H NMR, ^{13}C NMR และ HMBC ของสาร PTH3 (CDCl_3)

ตำแหน่ง	δ_{C} (ppm)		δ_{H} (ppm)	HMBC
1	38.7	CH_2	0.90 (<i>m</i>), 1.70 (<i>m</i>) ^a	
2	27.4	CH_2	1.59 (<i>m</i>) ^a	
3	79.0	CH	3.19 (<i>dd</i> , $J = 10.8, 5.1$ Hz)	1, 4, 23, 24
4	38.9	C	-	
5	55.3	CH	0.68 (<i>m</i>) ^a	
6	18.3	CH_2	1.41 (<i>m</i>) ^a	
7	34.2	CH_2	1.04 (<i>m</i>), 1.40 (<i>m</i>) ^a	
8	40.9	C	-	
9	50.4	CH	1.27 (<i>m</i>) ^a	
10	37.2	C	-	
11	20.8	CH_2	1.28 (<i>m</i>), 1.46 (<i>m</i>) ^a	
12	25.2	CH_2	1.68 (<i>m</i>) ^a	
13	37.3	CH	1.67 (<i>m</i>) ^a	
14	42.7	C	-	
15	27.0	CH_2	1.11 (<i>m</i>), 1.66 (<i>m</i>) ^a	
16	29.2	CH_2	1.20 (<i>m</i>), 1.98 (<i>m</i>) ^a	
17	47.5	C	-	
18	48.8	CH	1.60 (<i>m</i>) ^a	
19	47.5	CH	2.38 (<i>dt</i> , $J = 10.5, 5.7$ Hz)	13, 18, 20, 21, 29, 30
20	150.5	C	-	
21	29.8	CH_2	1.91 (<i>m</i>) ^a	
22	34.0	CH_2	1.80 (<i>m</i>), 1.88 (<i>m</i>) ^a	
23	28.0	CH_3	0.97 (<i>s</i>)	3, 4, 5, 24
24	15.4	CH_3	0.76 (<i>s</i>)	3, 4, 5, 23
25	16.1	CH_3	0.82 (<i>s</i>)	1, 5, 9
26	16.0	CH_3	1.02 (<i>s</i>)	7, 8, 9, 14

ตารางที่ 8 (ต่อ)

ตำแหน่ง	δ_C (ppm)		δ_H (ppm)	HMBC
27	14.8	CH ₃	0.98 (s)	8, 13, 14, 15
28	60.6	CH ₂	3.33 (d, $J = 10.8$ Hz), 3.80 (dd, $J = 10.8, 1.5$ Hz)	} 16, 17, 22
29	109.7	CH ₂	4.68 (d, $J = 2.1$ Hz), 4.58 (m)	
30	19.1	CH ₃	1.68 (s)	19, 20, 29

^a ข้อมูลจาก HMQCตารางที่ 9 เปรียบเทียบข้อมูล ¹H NMR ของ Betulin สาร PTH1 และ สาร PTH3 (CDCl₃)

ตำแหน่ง	Betulin, δ_H (ppm)	สาร PTH1, δ_H (ppm)	สาร PTH3, δ_C (ppm)
1	0.89, 1.65	0.91 (m) ^a	0.90 (m), 1.70 (m) ^a
2	1.58	1.56 (m) ^a	1.59 (m) ^a
3	3.18	3.19 (dd, $J = 10.8, 5.1$ Hz)	3.19 (dd, $J = 10.8, 5.1$ Hz)
5	0.67	0.69 (m) ^a	0.68 (m) ^a
6	1.38, 1.52	1.40 (m), 1.55 (m) ^a	1.41 (m) ^a
7	1.39	1.40 (m) ^a	1.04 (m), 1.40 (m) ^a
9	1.27	1.28 (m) ^a	1.27 (m) ^a
11	1.19, 1.41	1.22 (m), 1.45 (m) ^a	1.28 (m), 1.46 (m) ^a
12	1.03, 1.63	1.08 (m) ^a	1.68 (m) ^a
13	1.64	1.67 (m) ^a	1.67 (m) ^a
15	1.04, 1.70	1.56 (m) ^a	1.11 (m), 1.66 (m) ^a
16	1.20, 1.93	1.51 (m) ^a	1.20 (m), 1.98 (m) ^a
18	1.57	1.38 (m) ^a	1.60 (m) ^a
19	2.38	2.38 (dt, $J = 11.1, 5.7$ Hz)	2.38 (dt, $J = 10.5, 5.7$ Hz)
21	1.40, 1.95	1.94 (m) ^a	1.91 (m) ^a
22	1.02, 1.86	1.20 (m), 1.40 (m) ^a	1.80 (m), 1.88 (m) ^a

ตารางที่ 9 (ต่อ)

ตำแหน่ง	Betulin, δ_H (ppm)	สาร PTH1, δ_H (ppm)	สาร PTH3, δ_C (ppm)
23	0.96	0.97 (s)	0.97 (s)
24	0.76	0.76 (s)	0.76 (s)
25	0.82	0.83 (s)	0.82 (s)
26	1.02	1.03 (s)	1.02 (s)
27	0.98	0.94 (s)	0.98 (s)
28	3.31, 3.77	0.79 (s)	3.33 (d, $J = 10.8$ Hz), 3.80 (dd, $J = 10.8, 1.5$ Hz)
29	4.58, 4.68	4.56 (m), 4.68 (d, $J = 2.1$ Hz)	4.58 (m), 4.68 (d, $J = 2.1$ Hz)
30	1.68	1.68 (s)	1.68 (s)

* ข้อมูลจาก HMQC

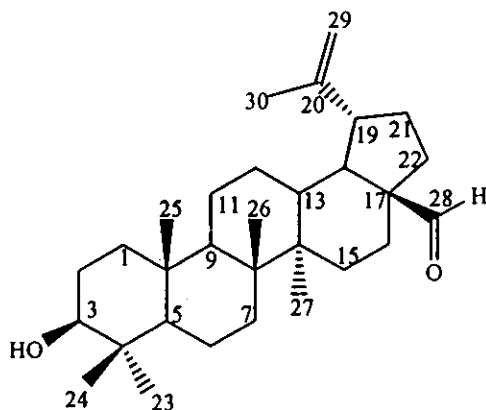
ตารางที่ 10 เปรียบเทียบข้อมูล ^{13}C NMR ของ Betulin สาร PTH1 และ สาร PTH3 (CDCl_3)

ตำแหน่ง	Betulin, δ_C (ppm)	สาร PTH1, δ_C (ppm)	สาร PTH3, δ_C (ppm)
1	38.8	38.7	38.7
2	27.2	27.4	27.4
3	78.9	79.0	79.0
4	38.9	38.9	38.9
5	55.3	55.3	55.3
6	18.3	18.3	18.3
7	34.3	34.3	34.2
8	40.9	40.8	40.9
9	50.4	50.5	50.4
10	37.2	37.2	37.2
11	20.9	20.9	20.8
12	25.3	25.2	25.2
13	27.3	38.1	37.3

ตารางที่ 10 (ต่อ)

ตำแหน่ง	Betulin, δ_c (ppm)	สาร PTH1, δ_c (ppm)	สาร PTH3, δ_c (ppm)
14	42.7	42.8	42.7
15	27.0	27.5	27.0
16	29.2	35.6	29.2
17	47.8	43.0	47.5
18	48.8	48.3	48.8
19	47.8	48.0	47.5
20	150.6	151.0	150.5
21	29.8	29.9	29.8
22	34.0	40.0	34.0
23	28.0	28.0	28.0
24	15.4	15.4	15.4
25	16.1	16.1	16.1
26	16.0	16.0	16.0
27	14.8	14.6	14.8
28	60.2	18.0	60.6
29	109.6	109.3	109.7
30	19.1	19.3	19.1

3.1.4 สาร PTH4



สาร PTH4 เป็นของหนืด ไม่มีสี ให้สีม่วงกับ vanillin-sulfuric acid สารนี้ไม่เสถียร สลายตัวง่าย จึงไม่มีข้อมูลค่าสเปกโทรเดชัน

ข้อมูล ^1H และ ^{13}C NMR ของ PTH4 (ตารางที่ 11 ภาพประกอบที่ 10 และ 11) คล้ายกับ PTH1 (ตารางที่ 12 และ 13) แต่ PTH4 แสดงสัญญาณเมทิลซิงเกิลตเพียง 6 สัญญาณ ที่ δ 0.75, 0.82, 0.92, 0.96, 0.98 และ 1.70 นอกจากนั้นยังแสดงสัญญาณของแอลดีไฮด์โปรตอน ที่ δ 9.68 (1H, *d*, $J = 1.5$ Hz) พบว่าสัญญาณของเมทิลโปรตอน H-19 ที่ δ 2.86 ปรากฏที่สนามต่ำกว่า PTH1 (δ 2.38) ข้อมูล HMBC (ตารางที่ 11) แสดงว่าหมู่ แอลดีไฮด์ต่ออยู่ที่ตำแหน่ง C-28 (δ 206.7) เนื่องจาก H-28 (δ 9.68) แสดงความสัมพันธ์กับ C-17 (δ 59.3) และ C-18 (δ 48.1) จากการเปรียบเทียบข้อมูลทางสเปกโทรสโกปีกับข้อมูลที่มีรายงานแล้ว (Macias *et al.*, 1994) (ตารางที่ 12 และ 13) พบว่าสาร PTH4 ก็คือ Betulinaldehyde

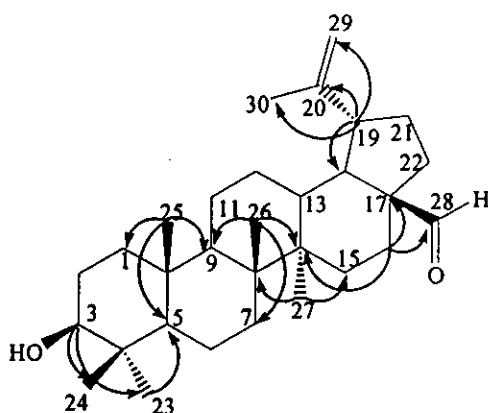
ตารางที่ 11 ข้อมูล ^1H NMR, ^{13}C NMR และ HMBC ของสาร PTH4 (CDCl_3)

ตำแหน่ง	δ_{C} (ppm)		δ_{H} (ppm)	HMBC
1	38.7	CH_2	1.67 (m), 2.04 (m) ^a	
2	27.4	CH_2	1.58 (m), 1.66 (m) ^a	
3	79.0	CH	3.18 (dd, $J = 10.8, 5.1$ Hz) ^a	23, 24
4	38.8	C	-	
5	55.3	CH	0.67 (m) ^a	
6	18.3	CH_2	1.40 (m), 1.55 (m) ^a	
7	34.3	CH_2	1.38 (m), 1.44 (m) ^a	
8	40.8	C	-	
9	50.5	CH	1.26 (m) ^a	
10	37.2	C	-	
11	20.7	CH_2	1.27 (m), 1.46 (m) ^a	
12	25.2	CH_2	1.75 (m) ^a	
13	38.7	CH	0.93 (m) ^a	
14	42.6	C	-	
15	29.3	CH_2	1.46 (m) ^a	
16	28.8	CH_2	1.17 (m), 2.12 (m) ^a	14, 17, 18, 28
17	59.3	C	-	
18	48.1	CH	1.73 (m) ^a	
19	47.5	CH	2.86 (dt, $J = 10.8, 5.7$ Hz)	18, 21, 30
20	149.7	C	-	
21	29.9	CH_2	1.26 (m), 1.89 (m) ^a	
22	33.2	CH_2	1.34 (m), 1.80 (m) ^a	
23	28.0	CH_3	0.96 (s)	3, 4, 5, 24
24	15.3	CH_3	0.75 (s)	3, 4, 5, 23
25	16.1	CH_3	0.82 (s)	1, 5, 9, 10
26	15.9	CH_3	0.92 (s)	7, 8, 9, 14
27	14.3	CH_3	0.98 (s)	8, 14, 15

ตารางที่ 11 (ต่อ)

ตำแหน่ง	δ_c (ppm)		δ_H (ppm)	HMBC
28	206.7	CH	9.68 (<i>d</i> , $J = 1.5$ Hz)	17, 18
29	110.2	CH ₂	4.63 (<i>m</i>), 4.76 (<i>m</i>)	19, 30
30	19.0	CH ₃	1.70 (<i>s</i>)	19, 20, 29

* ข้อมูลจาก HMQC



รูปที่ 6 ข้อมูล HMBC ของสาร PTH4

ตารางที่ 12 เปรียบเทียบข้อมูล ¹H NMR ของ Betulinaldehyde สาร PTH1 และสาร PTH4
(CDCl₃)

ตำแหน่ง	Betulinaldehyde, δ_H (ppm)	สาร PTH1, δ_H (ppm)	สาร PTH4, δ_H (ppm)
1	0.90, 1.65	0.91 (<i>m</i>) ^a	1.67 (<i>m</i>), 2.04 (<i>m</i>) ^a
2	1.54, 1.59	1.56 (<i>m</i>) ^a	1.58 (<i>m</i>), 1.66 (<i>m</i>) ^a
3	3.17 (<i>dd</i> , $J = 11.1, 5.0$ Hz)	3.19 (<i>dd</i> , $J = 10.8, 5.1$ Hz)	3.18 (<i>dd</i> , $J = 10.8, 5.1$ Hz)
5	0.67	0.69 (<i>m</i>) ^a	0.67 (<i>m</i>) ^a
6	1.36, 1.49	1.40 (<i>m</i>), 1.55 (<i>m</i>) ^a	1.40 (<i>m</i>), 1.55 (<i>m</i>) ^a
7	-	1.40 (<i>m</i>) ^a	1.38 (<i>m</i>), 1.44 (<i>m</i>) ^a

ตารางที่ 12 (ต่อ)

ตำแหน่ง	Betulinaldehyde, δ_{H} (ppm)	สาร PTH1, δ_{H} (ppm)	สาร PTH4, δ_{H} (ppm)
9	1.16	1.28 (m) ^a	1.26 (m) ^a
11	1.24, 1.42	1.22 (m), 1.45 (m) ^a	1.27 (m), 1.46 (m) ^a
12	1.02, 1.74	1.08 (m) ^a	1.75 (m) ^a
13	2.01	1.67 (m) ^a	0.93 (m) ^a
15	1.17	1.56 (m) ^a	1.46 (m) ^a
16	1.42, 2.06	1.51 (m) ^a	1.17 (m), 2.12 (m) ^a
18	1.71	1.38 (m) ^a	1.73 (m) ^a
19	2.85	2.38 (dt, $J = 11.1, 5.7$ Hz)	2.86 (dt, $J = 10.8, 5.7$ Hz)
21	1.45, 1.87	1.94 (m) ^a	1.26 (m), 1.89 (m) ^a
22	1.33, 1.74	1.20 (m), 1.40 (m) ^a	1.34 (m), 1.80 (m) ^a
23	0.95	0.97 (s)	0.96 (s)
24	0.74	0.76 (s)	0.75 (s)
25	0.80	0.83 (s)	0.82 (s)
26	0.90	1.03 (s)	0.92 (s)
27	0.96	0.94 (s)	0.98 (s)
28	9.66 (d)	0.79 (s)	9.68 (d, $J = 1.5$ Hz)
29	4.62, 4.74	4.56 (m), 4.68 (d, $J = 2.1$ Hz)	4.63 (m), 4.76 (m)
30	1.68	1.68 (s)	1.70 (s)

^a ข้อมูลจาก HMQC

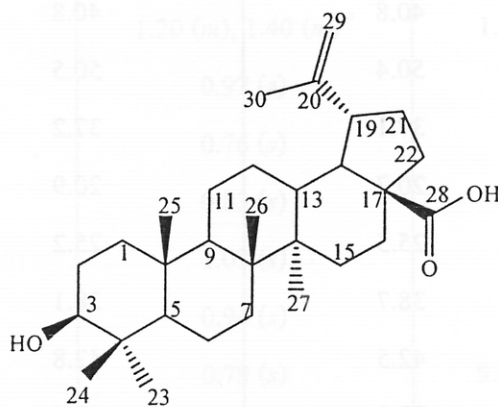
ตารางที่ 13 เปรียบเทียบข้อมูล ^{13}C NMR ของ Betulinaldehyde สาร PTH1 และสาร PTH4
(CDCl_3)

ตำแหน่ง	Betulinaldehyde, δ_c (ppm)	สาร PTH1, δ_c (ppm)	สาร PTH4, δ_c (ppm)
1	38.7	38.7	38.7
2	27.3	27.4	27.4
3	78.9	79.0	79.0
4	38.8	38.9	38.8
5	55.5	55.3	55.3
6	18.2	18.3	18.3
7	34.3	34.3	34.3
8	40.8	40.8	40.8
9	50.4	50.5	50.5
10	37.1	37.2	37.2
11	20.7	20.9	20.7
12	25.5	25.2	25.2
13	38.7	38.1	38.7
14	42.5	42.8	42.6
15	29.2	27.5	29.3
16	28.8	35.6	28.8
17	59.3	43.0	59.3
18	48.0	48.3	48.1
19	47.5	48.0	47.5
20	149.7	151.0	149.7
21	29.8	29.9	29.9
22	33.2	40.0	33.2
23	27.9	28.0	28.0
24	15.4	15.4	15.3
25	15.9	16.1	16.1

ตารางที่ 13 (ต่อ)

ตำแหน่ง	Betulinaldehyde, δ_c (ppm)	สาร PTH1, δ_c (ppm)	สาร PTH4, δ_c (ppm)
26	16.1	16.0	16.0
27	14.2	14.6	14.3
28	205.6	18.0	206.7
29	110.1	109.3	110.2
30	19.0	19.3	19.0

3.1.5 สาร PTH5



สาร PTH5 เป็นของแข็งสีขาว จุดหลอมเหลว 279-280°C, $[\alpha]_D^{28}$: +15.0° ($c = 0.100$, CHCl_3) สารนี้ให้สีม่วงกับ vanillin-sulfuric acid ข้อมูล IR แสดงแถบการดูดกลืนของหมู่ไฮดรอกซิลที่ 3415 cm^{-1} และหมู่คาร์บอนิลที่ 1686 cm^{-1} (ภาพประกอบที่ 12)

ข้อมูล ^1H และ ^{13}C NMR ของ PTH5 (ตารางที่ 14 ภาพประกอบที่ 13 และ 14) คล้ายกับ PTH4 มีข้อแตกต่างคือไม่พบสัญญาณของแอลดีไฮด์โปรตอนที่ δ 9.68 (H-28) ใน PTH5 และไม่พบสัญญาณของแอลดีไฮด์คาร์บอนที่ δ 206.7 แต่พบสัญญาณของคาร์บอกซิล คาร์บอนที่ δ 179.1 ข้อมูลนี้บ่งชี้ว่ามีหมู่คาร์บอกซิลที่ตำแหน่ง 28 ยืนยันตำแหน่งของหมู่คาร์บอกซิลด้วยข้อมูล HMBC (ตารางที่ 14 รูปที่ 7) โดยเมทิลีนโปรตอนที่ δ 1.83 (1H, *m*, H-22a) และ 1.41 (1H, *m*, H-22b) แสดงความสัมพันธ์กับ C-17 (δ 56.1) และ C-28 (δ 179.1) จากข้อมูลทางสเปกโทรสโกปี และเปรียบเทียบกับข้อมูลที่มีการ

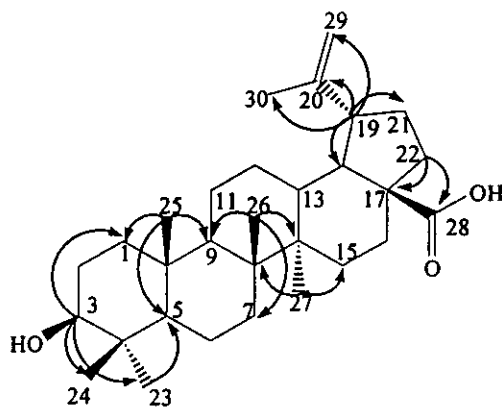
รายงานแล้วของ betulinic acid (Macias *et al.*, 1994) (ตารางที่ 15 และ 16) สาร PTH5 คือ betulinic acid [จุดหลอมเหลว 273-275°C, $[\alpha]_D^{28}$: +6.8° ($c = 2.0$, pyridine)]

ตารางที่ 14 ข้อมูล $^1\text{H NMR}$, $^{13}\text{C NMR}$ และ HMBC ของสาร PTH5 (CDCl_3)

ตำแหน่ง	δ_C (ppm)		δ_H (ppm)	HMBC
1	38.7	CH ₂	0.88 (m), 1.65 (m) ^a	
2	26.9	CH ₂	1.57 (m), 1.61 (m) ^a	
3	78.7	CH	3.19 (dd, $J = 10.8, 5.4$ Hz)	4, 23, 24
4	38.7	C	-	
5	55.3	CH	0.69 (m) ^a	4, 6, 7, 9
6	18.2	CH ₂	1.36 (m), 1.51 (m) ^a	
7	34.2	CH ₂	1.38 (m) ^a	
8	40.6	C	-	
9	50.5	CH	1.26 (m) ^a	
10	37.1	C	-	
11	20.8	CH ₂	1.23 (m), 1.43 (m) ^a	
12	25.4	CH ₂	1.69 (m) ^a	
13	38.2	CH	2.22 (m) ^a	
14	42.3	C	-	
15	29.6	CH ₂	1.15 (m), 1.51 (m) ^a	
16	32.2	CH ₂	1.40 (m), 2.25 (m) ^a	
17	56.1	C	-	
18	49.1	CH	1.58 (m) ^a	
19	46.9	CH	3.01 (m) ^a	18, 20, 21, 29, 30
20	150.7	C	-	
21	30.5	CH ₂	1.42 (m), 1.91 (m) ^a	
22	37.1	CH ₂	1.41 (m), 1.93 (m) ^a	17, 18, 28
23	27.6	CH ₃	0.97 (s)	3, 4, 5, 24
24	15.2	CH ₃	0.75 (s)	3, 4, 5, 23

ตารางที่ 14 (ต่อ)

ตำแหน่ง	δ_C (ppm)		δ_H (ppm)	HMBC
25	15.9	CH ₃	0.82 (s)	1, 5, 9, 10
26	15.6	CH ₃	0.94 (s)	7, 8, 9, 14
27	14.5	CH ₃	0.98 (s)	8, 13, 14, 15
28	179.1	C	-	
29	109.3	CH ₂	4.61 (br s), 4.74 (br s)	19, 30
30	19.1	CH ₃	1.69 (s)	19, 20, 29



รูปที่ 7 ข้อมูล HMBC ของสาร PTH5

ตารางที่ 15 เปรียบเทียบข้อมูล $^1\text{H NMR}$ ของ Betulinic acid สาร PTH4 และสาร PTH5
(CDCl_3)

ตำแหน่ง	Betulinic acid, δ_{H} (ppm),	สาร PTH4, δ_{H} (ppm)	สาร PTH5, δ_{H} (ppm)
1	0.95, 1.70	0.91 (m), 1.67 (m) ^a	0.88 (m), 1.65 (m) ^a
2	1.57, 1.62	1.58 (m), 1.66 (m) ^a	1.57 (m), 1.61 (m) ^a
3	3.13 (dd, $J = 11.5, 4.9$ Hz)	3.18 (dd, $J = 10.8, 5.1$ Hz)	3.19 (dd, $J = 10.8, 5.4$ Hz)
5	0.71	0.67 (m) ^a	0.69 (m) ^a
6	1.45, 1.55	1.40 (m), 1.55 (m) ^a	1.36 (m), 1.51 (m) ^a
7	1.42	1.38 (m), 1.44 (m) ^a	1.38 (m) ^a
9	1.33	1.26 (m) ^a	1.26 (m) ^a
11	1.25, 1.45	1.27 (m), 1.46 (m) ^a	1.23 (m), 1.43 (m) ^a
12	1.07, 1.73	1.75 (m) ^a	1.69 (m) ^a
13	2.30	2.03 (m) ^a	2.22 (m) ^a
15	1.18, 1.53	1.46 (m) ^a	1.15 (m), 1.51 (m) ^a
16	1.43, 2.23	1.17 (m), 2.12 (m) ^a	1.40 (m), 2.25 (m) ^a
18	1.63	1.73 (m) ^a	1.58 (m) ^a
19	3.02	2.86 (dt, $J = 10.8, 5.7$ Hz)	3.01 (m)
21	1.40, 1.93	1.26 (m), 1.89 (m) ^a	1.42 (m), 1.91 (m) ^a
22	1.43, 1.91	1.34 (m), 1.80 (m) ^a	1.41 (m), 1.93 (m) ^a
23	0.95	0.96 (s)	0.97 (s)
24	0.75	0.75 (s)	0.75 (s)
25	0.86	0.82 (s)	0.82 (s)
26	0.97	0.92 (s)	0.94 (s)
27	1.01	0.98 (s)	0.98 (s)

ตารางที่ 15 (ต่อ)

ตำแหน่ง	Betulinic acid, δ_H (ppm)	สาร PTH4, δ_H (ppm)	สาร PTH5, δ_H (ppm)
28	-	9.68 (<i>d</i> , $J = 1.5$ Hz)	-
29	4.59 (<i>dd</i> , $J = 2.2, 1.0$ Hz), 4.71 (<i>d</i> , $J = 2.2$ Hz)	4.63 (<i>m</i>), 4.76 (<i>m</i>)	4.61 (<i>br s</i>), 4.74 (<i>br s</i>)
30	1.69 (<i>d</i> , $J = 1.0$ Hz)	1.70 (<i>s</i>)	1.69 (<i>s</i>)

^a ข้อมูลจาก HMQC

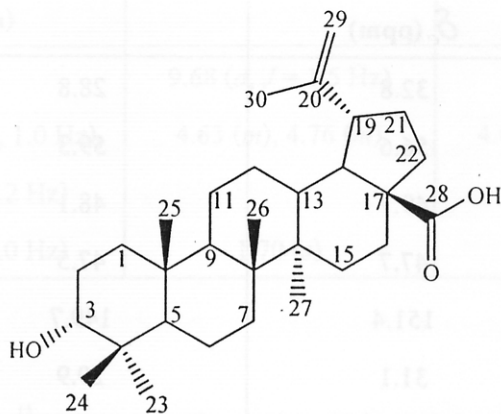
ตารางที่ 16 เปรียบเทียบข้อมูล ^{13}C NMR ของ Betulinic acid (pyridine-*d*₅) สาร PTH4 และสาร PTH5 (CDCl₃+CD₃OD)

ตำแหน่ง	Betulinic acid, δ_C (ppm)	สาร PTH4, δ_C (ppm)	สาร PTH5, δ_C (ppm)
1	38.5	38.7	38.7
2	28.2	27.4	26.9
3	78.1	79.0	78.7
4	39.4	38.8	38.7
5	55.9	55.3	55.3
6	18.7	18.3	18.2
7	34.7	34.3	34.2
8	41.0	40.8	40.6
9	50.9	50.5	50.5
10	37.5	37.2	37.1
11	21.1	20.7	20.8
12	26.0	25.2	25.4
13	39.2	38.7	38.2
14	42.8	42.6	42.3
15	30.2	29.3	29.6

ตารางที่ 16 (ต่อ)

ตำแหน่ง	Betulinic acid, δ_c (ppm)	สาร PTH4, δ_c (ppm)	สาร PTH5, δ_c (ppm)
16	32.8	28.8	32.2
17	56.6	59.3	56.1
18	49.7	48.1	49.1
19	47.7	47.5	46.9
20	151.4	149.7	150.7
21	31.1	29.9	30.5
22	37.4	33.2	37.1
23	28.5	28.0	27.6
24	16.2	15.3	15.2
25	16.3	16.1	15.9
26	16.2	16.0	15.6
27	14.8	14.3	14.5
28	179.0	206.7	179.1
29	110.0	110.2	109.3
30	19.4	19.0	19.1

1.6 สาร PTH6



สาร PTH6 เป็นของแข็งสีขาว จุดหลอมเหลว 266-270°C, $[\alpha]_D^{28}$: -10.0° ($c = 0.050$, CHCl_3) สารนี้ให้สีม่วงกับ vanillin-sulfuric acid ข้อมูล IR คล้ายกับ PTH5

ข้อมูล ^1H และ ^{13}C NMR (ตารางที่ 17 ภาพประกอบที่ 15 และ 16) ของ PTH6 คล้ายกับ PTH5 (ตารางที่ 18 และ 19) แต่ลักษณะการแตกของสัญญาณของ H-3 ของ PTH6 ที่ δ 3.38 เป็นทริพลेट ($J = 2.7$ Hz) แทนที่จะเป็น ดับเบิลดับเบิล ($J = 10.8, 5.4$ Hz) ดังที่พบใน PTH5 ลักษณะการแตกของสัญญาณและค่าคงที่การคู่ควบที่มีค่าน้อยของ H-3 สอดคล้องกับรูปแบบการคู่ควบของ H-3 และ H-2 แบบ equatorial-equatorial และ equatorial-axial ซึ่งแสดงว่า H-3 อยู่ในตำแหน่ง equatorial ยืนยันตำแหน่งของหมู่ไฮดรอกซิลที่ C-3 ด้วยข้อมูล HMBC (ตารางที่ 17 รูปที่ 8) ซึ่งออกซิเมไนด์โปรตอนของ H-3 ที่ δ 3.38 แสดงความสัมพันธ์กับ C-1 (δ 33.2) และ C-5 (δ 49.0) จากข้อมูลทางสเปกโทรสโกปี และเปรียบเทียบกับข้อมูลที่มีการรายงานแล้ว (Sung *et al.*, 1991) (ตารางที่ 18 และ 19) สาร PTH6 คือ 3-*epi*-betulinic acid ซึ่งเป็น epimer ของ betulinic acid (PTH5) [จุดหลอมเหลว 277-281°C, $[\alpha]_D^{28}$: -12.0° ($c = 1.285$, CHCl_3)]

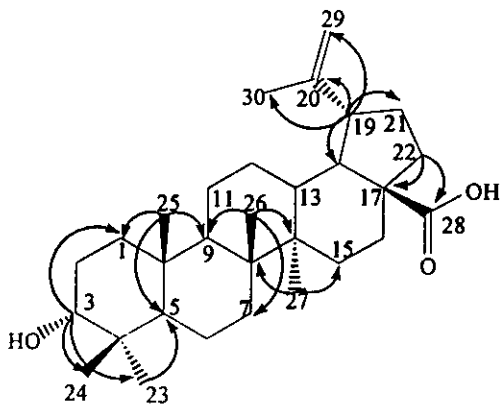
ตารางที่ 17 ข้อมูล ^1H NMR ^{13}C NMR และ HMBC ของสาร PTH6 (CDCl_3 + CD_3OD)

ตำแหน่ง	δ_{C} (ppm)		δ_{H} (ppm)	HMBC
1	33.2	CH_2	1.18 (m) ^a	
2	25.5	CH_2	1.02 (m), 1.68 (m) ^a	
3	76.2	CH	3.38 (t, $J = 2.7$ Hz) ^a	1, 5, 23, 24
4	37.5	C	-	
5	49.0	CH	1.18 (m) ^a	
6	18.2	CH_2	1.34 (m), 1.38 (m) ^a	
7	34.1	CH_2	1.30 (m) ^a	
8	40.8	C	-	
9	50.3	CH	1.40 (m) ^a	
10	37.3	C	-	
11	20.7	CH_2	1.42 (m) ^a	
12	25.3	CH_2	1.52 (m), 1.82 (m) ^a	
13	38.2	CH	2.21 (m) ^a	26, 27
14	42.5	C	-	
15	29.6	CH_2	1.14 (m) ^a	
16	32.2	CH_2	2.24 (m) ^a	
17	56.2	C	-	
18	49.2	CH	1.57 (m) ^a	
19	47.0	CH	3.00 (m)	
20	150.7	C	-	
21	30.6	CH_2	1.93 (m) ^a	17, 18, 19, 28
22	37.1	CH_2	1.95 (m) ^a	17, 18, 28
23	28.2	CH_3	0.93 (s)	3, 4, 5, 24
24	22.1	CH_3	0.82 (s)	3, 4, 5, 23
25	15.9	CH_3	0.94 (s)	1, 5, 9
26	15.9	CH_3	0.83 (s)	7, 8, 9, 14
27	14.7	CH_3	0.99 (s)	8, 13, 14, 15

ตารางที่ 17 (ต่อ)

ตำแหน่ง	δ_C (ppm)		δ_H (ppm)	HMBC
28	179.2	C	-	
29	109.5	CH ₂	4.73 (<i>d</i> , $J = 1.8$ Hz), 4.60 (<i>m</i>)	19, 20, 30
30	19.3	CH ₃	1.69 (<i>s</i>)	19, 20, 29

^a ข้อมูลจาก HMQC



รูปที่ 8 ข้อมูล HMBC ของสาร PTH6

ตารางที่ 18 เปรียบเทียบข้อมูล ^1H NMR ของ 3-*epi*-betulinic acid (CDCl_3) สาร PTH5 (CDCl_3) และสาร PTH6 ($\text{CDCl}_3 + \text{CD}_3\text{OD}$)

ตำแหน่ง	3- <i>epi</i> -betulinic acid, δ_{H} (ppm)	สาร PTH5, δ_{H} (ppm)	สาร PTH6, δ_{C} (ppm)
1	-	0.87 (m), 1.65 (m) ^a	1.18 (m) ^a
2	-	1.57 (m), 1.61 (m) ^a	1.02 (m), 1.68 (m) ^a
3	3.39 (t, $J = 2.7$ Hz)	3.19 (dd, $J = 10.8, 5.4$ Hz)	3.38 (t, $J = 2.7$ Hz)
5	-	0.69 (m) ^a	1.18 (m) ^a
6	-	1.36 (m), 1.51 (m) ^a	1.34 (m), 1.38 (m) ^a
7	-	1.38 (m) ^a	1.30 (m) ^a
9	-	1.26 (m) ^a	1.40 (m) ^a
11	-	1.23 (m), 1.43 (m) ^a	1.42 (m) ^a
12	-	1.67 (m) ^a	1.52 (m), 1.82 (m) ^a
13	-	2.20 (m) ^a	2.21 (m) ^a
15	-	1.15 (m), 1.51 (m) ^a	1.14 (m) ^a
16	-	1.40 (m), 2.25 (m) ^a	2.24 (m) ^a
18	-	1.58 (m) ^a	1.57 (m) ^a
19	3.00 (dt, $J = 11.0, 4.5$ Hz)	3.01 (m)	3.00 (m)
21	-	1.42 (m), 1.91 (m) ^a	1.93 (m) ^a
22	-	1.41 (m), 1.93 (m) ^a	1.95 (m) ^a
23	0.92 (s)	0.97 (s)	0.93 (s)
24	0.80 (s)	0.75 (s)	0.82 (s)
25	0.92 (s)	0.82 (s)	0.94 (s)
26	0.81 (s)	0.94 (s)	0.83 (s)
27	0.98 (s)	0.98 (s)	0.99 (s)

ตารางที่ 18 (ต่อ)

ตำแหน่ง	3- <i>epi</i> -betulinic acid, δ_{H} (ppm)	สาร PTH5, δ_{H} (ppm)	สาร PTH6, δ_{C} (ppm)
29	4.59 (<i>m</i>), 4.72 (<i>m</i>)	4.61 (<i>br s</i>), 4.74 (<i>br s</i>)	4.60 (<i>m</i>), 4.73 (<i>d</i> , $J = 1.8$ Hz)
30	1.68 (<i>s</i>)	1.69 (<i>s</i>)	1.69 (<i>s</i>)

^a ข้อมูลจาก HMQC

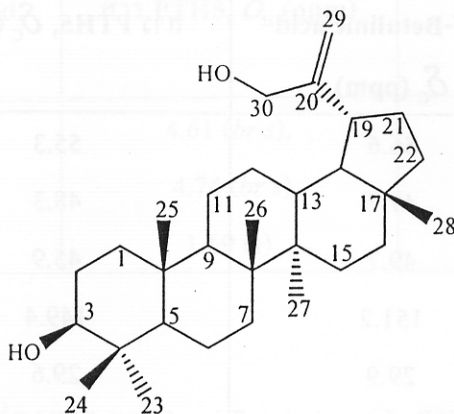
ตารางที่ 19 เปรียบเทียบข้อมูล ^{13}C NMR ของ 3-*epi*-Betulinic acid สาร PTH5
และสาร PTH6 ($\text{CDCl}_3 + \text{CD}_3\text{OD}$)

ตำแหน่ง	3- <i>epi</i> -Betulinic acid δ_{C} (ppm)	สาร PTH5, δ_{C} (ppm)	สาร PTH6, δ_{C} (ppm)
1	34.0	37.7	33.2
2	23.2	26.4	25.5
3	75.5	78.0	76.2
4	39.0	37.9	37.5
5	49.3	54.4	49.0
6	18.6	17.3	18.2
7	34.8	33.3	34.1
8	41.3	39.7	40.8
9	50.7	49.5	50.3
10	37.7	36.2	37.3
11	21.0	19.8	20.7
12	26.1	24.5	25.3
13	38.5	37.4	38.2
14	42.9	41.4	42.5
15	31.2	28.7	29.6
16	32.8	31.2	32.2

ตารางที่ 19 (ต่อ)

ตำแหน่ง	3- <i>epi</i> -Betulinic acid δ_c (ppm)	สาร PTH5, δ_c (ppm)	สาร PTH6, δ_c (ppm)
17	56.6	55.3	56.2
18	47.7	48.3	49.2
19	49.7	45.9	47.0
20	151.2	149.4	150.7
21	29.9	29.6	30.6
22	37.5	36.0	37.1
23	29.2	27.0	28.2
24	22.5	14.3	22.1
25	16.4	15.1	15.9
26	16.4	15.0	15.9
27	14.9	13.7	14.7
28	178.7	179.6	179.2
29	109.8	108.7	109.5
30	19.4	18.4	19.3

3.1.8 สาร PTH7



สาร PTH7 เป็นของแข็งสีขาว มีจุดหลอมเหลว 215-219°C, $[\alpha]_D^{28} -13.3^\circ$ ($c = 0.150$, CHCl_3) สารนี้ให้สีม่วงกับ vanillin-sulfuric acid ข้อมูล IR คล้ายกับ PTH1

ข้อมูล ^1H และ ^{13}C NMR (ตารางที่ 20 ภาพประกอบที่ 17 และ 18) ของสาร PTH7 และ PTH1 คล้ายกัน แต่ PTH7 แสดงสัญญาณเมทิลเป็นซิงเกิลตเพียง 6 สัญญาณ (δ 0.76, 0.78, 0.83, 0.94, 0.97 และ 1.03) และไม่พบสัญญาณของหมู่ไวนิลลิคเมทิล 3H-30 ที่ δ 1.68 (s) สัญญาณของโอลิฟินิกโปรตอนที่อยู่ปลายโซ่ 2H-29 [δ 4.93 (br s) และ 4.90 (br s)] ปรากฏที่สนามต่ำกว่า PTH1 [δ 4.68 (d, $J = 2.1$ Hz) และ 4.56 (m)] นอกจากนั้นยังพบสัญญาณแบบ AB system ของออกซีเมทิลีนโปรตอนที่ δ 4.14 และ 4.09 มีค่าคงที่การคู่ควบ 15.3 Hz ซึ่งกำหนดให้เป็นสัญญาณของ 2H-30 โดยอาศัยข้อมูล HMBC (ตารางที่ 20 รูปที่ 9) 2H-30 แสดงความสัมพันธ์กับ C-19 (δ 43.8), C-20 (δ 154.8) และ C-29 (δ 106.8) สาร PTH7 คือ lup-20(29)-en-3 β ,30-diol โดยการเปรียบเทียบข้อมูลทางสเปกโทรสโกปีกับข้อมูลที่มีการรายงานแล้ว (Burns *et al.*, 2000) (ตารางที่ 21 และ 22) [จุดหลอมเหลว 230-232°C, $[\alpha]_D = -13.0^\circ$ ($c = 0.18$, CHCl_3)]

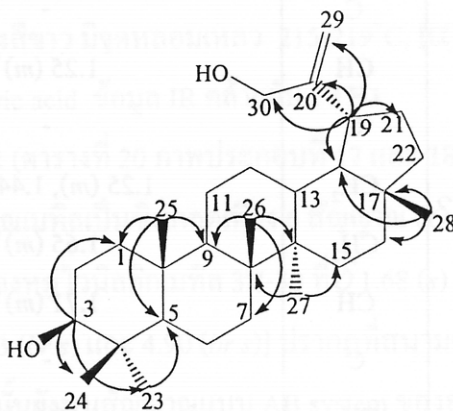
ตารางที่ 20 ข้อมูล ^1H NMR, ^{13}C NMR และ HMBC ของสาร PTH7 (CDCl_3)

ตำแหน่ง	δ_{C} (ppm)		δ_{H} (ppm)	HMBC
1	38.7	CH_2	1.64 (m) ^a	
2	27.4	CH_2	1.58 (m) ^a	
3	79.0	CH	3.19 (dd, $J = 10.8, 5.1$ Hz)	1, 23, 24
4	38.9	C	-	
5	55.3	CH	0.68 (m) ^a	
6	18.3	CH_2	1.41 (m), 1.55 (m) ^a	
7	34.3	CH_2	1.40 (m) ^a	
8	40.9	C	-	
9	50.4	CH	1.25 (m) ^a	
10	37.2	C	-	
11	21.1	CH_2	1.25 (m), 1.44 (m) ^a	
12	26.7	CH_2	1.65 (m) ^a	
13	38.0	CH	1.71 (m) ^a	
14	42.8	C	-	
15	27.4	CH_2	1.62 (m) ^a	
16	35.5	CH_2	1.55 (m) ^a	
17	43.0	C	-	
18	48.9	CH	1.46 (m) ^a	
19	43.8	CH	2.28 (dt, $J = 10.8, 4.8$ Hz)	18, 19, 20, 21, 30
20	154.8	C	-	
21	31.8	CH_2	2.06 (m) ^a	
22	39.9	CH_2	1.24 (m), 1.41 (m) ^a	
23	28.0	CH_3	0.97 (s)	3, 4, 5, 24
24	15.4	CH_3	0.76 (s)	3, 4, 5, 23
25	16.1	CH_3	0.83 (s)	1, 5, 9, 10
26	16.0	CH_3	1.03 (s)	7, 8, 9, 14
27	14.5	CH_3	0.94 (s)	8, 14, 15

ตารางที่ 20 (ต่อ)

ตำแหน่ง	δ_C (ppm)		δ_H (ppm)	HMBC
28	17.7	CH ₃	0.78 (s)	16, 17, 18, 22
29	106.8	CH ₂	4.90 (<i>br s</i>), 4.93 (<i>br s</i>)	19, 20, 21, 30
30	65.0	CH ₂	4.09 (<i>d</i> , $J = 15.3$ Hz), 4.14 (<i>d</i> , $J = 15.3$ Hz)	19, 20, 29

^a ข้อมูลจาก HMQC



รูปที่ 9 ข้อมูล HMBC ของสาร PTH7

ตารางที่ 21 เปรียบเทียบข้อมูล $^1\text{H NMR}$ ของ lup-20(29)-en-3 β ,30-diol

สาร PTH1 และสาร PTH7 (CDCl_3)

ตำแหน่ง	lup-20(29)-en-3 β ,30-diol, δ_{H} (ppm)	สาร PTH1, δ_{H} (ppm)	สาร PTH7, δ_{H} (ppm)
1	0.89, 1.66	0.91 (m) ^a	1.64 (m) ^a
2	1.56, 1.61	1.56 (m) ^a	1.58 (m) ^a
3	3.19	3.19 (dd, $J = 10.8, 5.1$ Hz)	3.19 (dd, $J = 10.8, 5.1$ Hz)
5	0.68	0.69 (m) ^a	0.68 (m) ^a
6	1.39, 1.52	1.40 (m), 1.55 (m) ^a	1.41 (m), 1.55 (m) ^a
7	1.39	1.40 (m) ^a	1.40 (m) ^a
9	1.26	1.28 (m) ^a	1.25 (m) ^a
11	1.22, 1.42	1.22 (m), 1.45 (m) ^a	1.25 (m), 1.44 (m) ^a
12	1.09, 1.42	1.08 (m) ^a	1.65 (m) ^a
13	1.65	1.67 (m) ^a	1.71 (m) ^a
15	1.02, 1.69	1.56 (m) ^a	1.62 (m) ^a
16	1.39, 1.49	1.51 (m) ^a	1.55 (m) ^a
18	1.45	1.38 (m) ^a	1.46 (m) ^a
19	2.28	2.38 (dt, $J = 11.1, 5.7$ Hz)	2.28 (dt, $J = 10.8, 4.8$ Hz)
21	1.33, 2.06	1.94 (m) ^a	1.26 (m), 2.06 (m) ^a
22	1.25, 1.40	1.20 (m), 1.40 (m) ^a	1.24 (m), 1.41 (m) ^a
23	0.97	0.97 (s)	0.97 (s)
24	0.76	0.76 (s)	0.76 (s)
25	0.83	0.83 (s)	0.83 (s)
26	1.03	1.03 (s)	1.03 (s)
27	0.95	0.94 (s)	0.94 (s)

ตารางที่ 21 (ต่อ)

ตำแหน่ง	lup-20(29)-en-3 β , 30- diol, δ_H (ppm)	สาร PTH1, δ_H (ppm)	สาร PTH7, δ_H (ppm)
28	0.78	0.79 (<i>s</i>)	0.78 (<i>s</i>)
29	4.91, 4.94	4.56 (<i>m</i>), 4.68 (<i>d</i> , $J = 2.1$ Hz)	4.90 (<i>br s</i>), 4.93 (<i>br s</i>)
30	4.11, 4.13	1.68 (<i>s</i>)	4.09 (<i>d</i> , $J = 15.3$ Hz), 4.14 (<i>d</i> , $J = 15.3$ Hz)

^a ข้อมูลจาก HMQC

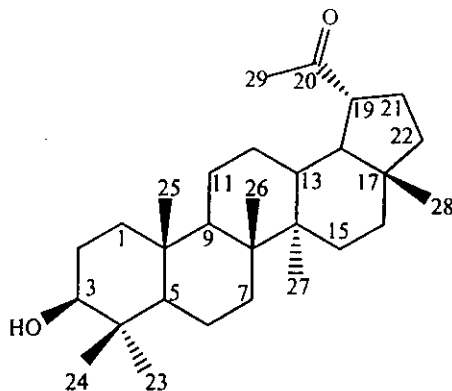
ตารางที่ 22 เปรียบเทียบข้อมูล ¹³C NMR ของ lup-20(29)-en-3 β , 30-diol,
สาร PTH1 และสาร PTH7 (CDCl₃)

ตำแหน่ง	lup-20(29)-en-3 β , 30- diol, δ_C (ppm)	สาร PTH1, δ_C (ppm)	สาร PTH7, δ_C (ppm)
1	38.7	38.7	38.7
2	27.4	27.4	27.4
3	79.0	79.0	79.0
4	38.9	38.9	38.9
5	55.3	55.3	55.3
6	18.3	18.3	18.3
7	34.3	34.3	34.3
8	40.9	40.8	40.9
9	50.4	50.5	50.4
10	37.2	37.2	37.2
11	21.0	20.9	21.1
12	26.7	25.2	26.7
13	38.0	38.1	38.0
14	42.8	42.8	42.8

ตารางที่ 22 (ต่อ)

ตำแหน่ง	lup-20(29)-en-3 β , 30-diol, δ_c (ppm)	สาร PTH1, δ_c (ppm)	สาร PTH7, δ_c (ppm)
15	27.4	27.5	27.4
16	35.5	35.6	35.5
17	43.0	43.0	43.0
18	48.9	48.3	48.9
19	43.8	48.0	43.8
20	154.8	151.0	154.8
21	31.8	29.9	31.8
22	39.9	40.0	39.9
23	28.0	28.0	28.0
24	15.4	15.4	15.4
25	16.1	16.1	16.1
26	16.0	16.0	16.0
27	14.5	14.6	14.5
28	17.7	18.0	17.7
29	106.8	109.3	106.8
30	65.0	19.3	65.0

3.1.7 สาร PTH8



สาร PTH8 เป็นของแข็งสีขาว มีจุดหลอมเหลว 234-235°C, $[\alpha]_D^{28} : -22.7^\circ$ ($c = 0.220$, CHCl_3) สารนี้ให้สีน้ำเงินกับ vanillin-sulfuric acid ข้อมูล IR แสดงแถบการดูดกลืนของหมู่ไฮดรอกซิล (3414 cm^{-1}) และหมู่คาร์บอนิล (1694 cm^{-1})

ข้อมูล ^1H และ ^{13}C NMR (ตารางที่ 23 ภาพประกอบที่ 19 และ 20) ของสาร PTH8 และ PTH1 คล้ายกัน มีข้อแตกต่างคือ PTH8 ไม่พบสัญญาณโอลิฟินิกโปรตอนที่ปลายโซ่ของ 2H-29 ที่ $\delta 4.68$ (d , $J = 2.1 \text{ Hz}$) และ 4.56 (m) และไม่พบสัญญาณของไวนิลิกเมทิลที่ $\delta 1.68$ แต่พบสัญญาณเป็นซิงเกิลตของอะเซทิลโปรตอนที $\delta 2.15$ (3H, s) นอกจากนั้นข้อมูล ^{13}C NMR แสดงสัญญาณของคาร์บอนิลคาร์บอนที $\delta 212.9$ ระบุตำแหน่งของอะเซทิลโปรตอนที C-29 โดยใช้ข้อมูลของ HMBC (ตารางที่ 23 รูปที่ 10) โปรตอนที $\delta 2.15$ (3H-29) แสดงความสัมพันธ์กับ $\delta 52.6$ (C-19) และ $\delta 212.9$ (C-20) จากข้อมูลทีกล่าวมาแล้ว และเปรียบเทียบกับข้อมูลทีมีการรายงานแล้ว สาร PTH8 คือ 30-nor-lupan-3 β -ol-20-one (Koul *et al*, 2000) (ตารางที่ 24 และ 25) [จุดหลอมเหลว 238-239°C, $[\alpha]_D^{25} = -10.2^\circ$ ($c = 0.030$, CHCl_3)]

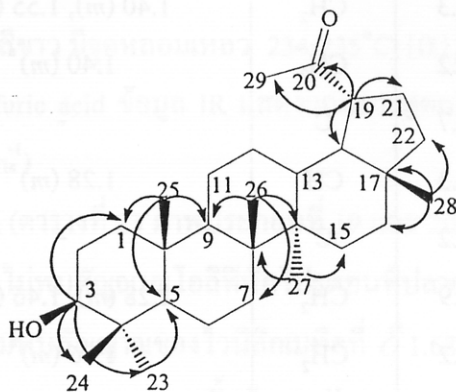
ตารางที่ 23 ข้อมูล ^1H NMR, ^{13}C NMR และ HMBC ของสาร PTH8 (CDCl_3)

ตำแหน่ง	δ_{C} (ppm)		δ_{H} (ppm)	HMBC
1	38.7	CH_2	0.89 (m), 1.67 (m) ^a	
2	27.4	CH_2	1.49 (m), 1.57 (m) ^a	
3	78.9	CH	3.19 (dd, $J = 11.1, 5.1$ Hz)	1, 23, 24
4	38.9	C	-	
5	55.3	CH	0.68 (m) ^a	1, 4, 10, 23
6	18.3	CH_2	1.40 (m), 1.55 (m) ^a	
7	34.2	CH_2	1.40 (m) ^a	
8	40.7	C	-	
9	50.3	CH	1.28 (m) ^a	
10	37.2	C	-	
11	20.9	CH_2	1.28 (m), 1.46 (m) ^a	
12	27.2	CH_2	1.06 (m) ^a	
13	37.0	CH	1.59 (m) ^a	
14	42.7	C	-	
15	27.3	CH_2	1.64 (m), 1.70 (m) ^a	
16	35.0	CH_2	1.49 (m) ^a	
17	43.1	C	-	
18	49.7	CH	1.81 (t, $J = 11.4$ Hz)	12, 16, 17, 19, 20, 22, 28
19	52.6	CH	2.58 (dt, $J = 11.4, 5.7$ Hz)	13, 18, 20, 21
20	212.9	C	-	
21	27.6	CH_2	2.05 (m) ^a	
22	39.9	CH_2	1.35 (m), 1.49 (m) ^a	
23	28.0	CH_3	0.97 (s)	3, 4, 5, 24
24	15.4	CH_3	0.76 (s)	3, 4, 5, 23
25	15.9	CH_3	0.82 (s)	1, 5, 9, 10
26	16.1	CH_3	1.01 (s)	7, 8, 9, 14

ตารางที่ 23 (ต่อ)

ตำแหน่ง	δ_C (ppm)		δ_H (ppm)	HMBC
27	14.5	CH ₃	0.97 (s)	8, 13, 14, 15
28	18.0	CH ₃	0.77 (s)	16, 17, 18, 22
29	29.2	CH ₃	2.15 (s)	19, 20

^a ข้อมูลจาก HMQC



รูปที่ 10 ข้อมูล HMBC ของสาร PTH8

ตารางที่ 24 เปรียบเทียบข้อมูล ^1H NMR ของสาร 30-nor-lupan-3 β -ol-20-one

สาร PTH1 และสาร PTH8 (CDCl_3)

ตำแหน่ง	30-nor-lupan-3 β -ol-20-one, δ_{H} (ppm)	สาร PTH1, δ_{H} (ppm)	สาร PTH8, δ_{H} (ppm)
1	-	0.91 (m) ^a	0.89 (m), 1.67 (m) ^a
2	-	1.56 (m) ^a	1.49 (m), 1.57 (m) ^a
3	3.20 (dd, $J = 7.6, 4$ Hz)	3.19 (dd, $J = 10.8, 5.1$ Hz)	3.19 (dd, $J = 11.1, 5.1$ Hz)
5	-	0.69 (m) ^a	0.68 (m) ^a
6	-	1.40 (m), 1.55 (m) ^a	1.40 (m), 1.55 (m) ^a
7	-	1.40 (m) ^a	1.40 (m) ^a
9	-	1.28 (m) ^a	1.28 (m) ^a
11	-	1.22 (m), 1.45 (m) ^a	1.28 (m), 1.46 (m) ^a
12	-	1.08 (m) ^a	1.06 (m) ^a
13	-	1.67 (m) ^a	1.59 (m) ^a
15	-	1.56 (m) ^a	1.64 (m), 1.70 (m) ^a
16	-	1.51 (m) ^a	1.49 (m) ^a
18	-	1.38 (m) ^a	1.81 (t, $J = 11.4$ Hz)
19	-	2.38 (dt, $J = 11.1, 5.7$ Hz)	2.58 (dt, $J = 11.4, 5.7$ Hz)
21	-	1.94 (m) ^a	2.05 (m) ^a
22	-	1.20 (m), 1.40 (m) ^a	1.35 (m), 1.49 (m) ^a
23	0.80 (s)	0.97 (s)	0.97 (s)
24	0.84 (s)	0.76 (s)	0.76 (s)
25	0.88 (s)	0.83 (s)	0.82 (s)
26	1.02 (s)	1.03 (s)	1.01 (s)
27	0.97 (s)	0.94 (s)	0.97 (s)

ตารางที่ 24 (ต่อ)

ตำแหน่ง	30-nor-lupan-3 β -ol- 20-one, δ_H (ppm)	สาร PTH1, δ_H (ppm)	สาร PTH8, δ_H (ppm)
28	0.95 (s)	0.79 (s)	0.77 (s)
29	2.15 (d, $J = 4.6$ Hz)	4.56 (m), 4.68 (d, $J = 2.1$ Hz)	2.15 (s)
30	-	1.68 (s)	-

^a ข้อมูลจาก HMQC

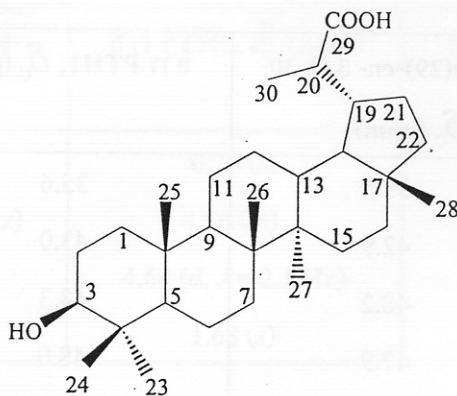
ตารางที่ 25 เปรียบเทียบข้อมูล ^{13}C NMR ของ 30-nor-lupan-3 β -ol-20-one สาร PTH1 และสาร PTH8 (CDCl_3)

ตำแหน่ง	30-nor-lupan-3 β -ol- 20-one, δ_C (ppm)	สาร PTH1, δ_C (ppm)	สาร PTH8, δ_C (ppm)
1	39.2	38.7	38.7
2	25.2	27.4	27.4
3	76.3	79.0	78.9
4	38.4	38.9	38.9
5	55.2	55.3	55.3
6	18.1	18.3	18.3
7	34.2	34.3	34.2
8	41.1	40.8	40.7
9	50.1	50.5	50.3
10	36.3	37.2	37.2
11	22.6	20.9	20.9
12	28.7	25.2	27.2
13	37.5	38.1	37.0
14	43.6	42.8	42.7
15	27.4	27.5	27.3

ตารางที่ 25 (ต่อ)

ตำแหน่ง	lup-20(29)-en-3 β ,30-diol, δ_c (ppm)	สาร PTH1, δ_c (ppm)	สาร PTH8, δ_c (ppm)
16	35.5	35.6	35.0
17	42.9	43.0	43.1
18	48.2	48.3	49.7
19	47.9	48.0	52.6
20	207.3	151.0	212.9
21	31.0	29.9	27.6
22	40.1	40.0	39.9
23	28.5	28.0	28.0
24	15.4	15.4	15.4
25	16.2	16.1	15.9
26	15.9	16.0	16.1
27	14.5	14.6	14.5
28	18.4	18.0	18.0
29	23.5	109.3	29.2
30	-	19.3	-

สาร PTH9



สาร PTH9 เป็นผลึกใสไม่มีสี พบว่าเมื่อหาจุดหลอมเหลว สารสลายตัวที่ $>275^{\circ}\text{C}$, $[\alpha]_{\text{D}}^{28}$: -45.6° ($c = 0.125$, MeOH) ให้สีม่วงกับการทดสอบ vanillin-sulfuric acid ข้อมูล IR แสดงแถบการดูดกลืนของหมู่ไฮดรอกซิล (3413 cm^{-1}) และหมู่คาร์บอนิล (1697 cm^{-1})

การเปรียบเทียบข้อมูล ^1H และ ^{13}C NMR ของสาร PTH9 และ PTH1 (ตารางที่ 27 และ 28) ไม่ปรากฏสัญญาณของโอลิฟินิกโปรตอนที่อยู่ปลายโซ่ที่ δ 4.68 และ 4.56 ppm ใน PTH9 (ภาพประกอบที่ 21 และ 22) แต่พบสัญญาณของ H-20 ที่ δ 2.76 ppm และสัญญาณเมทิลคัพเลตที่ δ 1.13 (3H, d , $J = 6.9\text{ Hz}$, 3H-30) ข้อมูล ^{13}C NMR (ตารางที่ 26) แสดงสัญญาณของคาร์บอกซิลคาร์บอนของ C-29 ที่ δ 180.0 ppm ยืนยันตำแหน่งของหมู่คาร์บอกซิลด้วยข้อมูล HMBC (ตารางที่ 26 รูปที่ 11) โดยเมทิลโปรตอน (3H-30) แสดงความสัมพันธ์กับ C-19 (δ 43.4), C-20 (δ 41.8) และ C-29 (δ 180.0) จากข้อมูลทางสเปกโทรสโกปี สาร PTH9 คือ 3β -hydroxylupan-29-oic acid ซึ่งเคยแยกได้จาก *Gymnosporia wallichiana* (Kulshreshtha, 1977) นอกจากนั้นยังยืนยันโครงสร้างของ PTH9 ด้วยข้อมูลทางเอซเรย์ (รูปที่ 12) (Thongdeeying *et al.*, 2005)

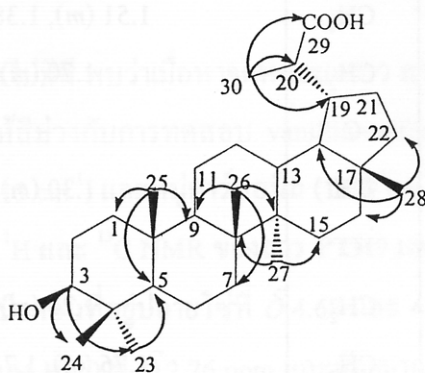
ตารางที่ 26 ข้อมูล ^1H NMR ^{13}C NMR และ HMBC ของสาร PTH9 (CDCl_3 + CD_3OD)

ตำแหน่ง	δ_{C} (ppm)		δ_{H} (ppm)	HMBC
1	38.7	CH_2	1.70 (m) ^a	
2	27.0	CH_2	1.49 (m) ^a	
3	78.9	CH	3.20 (dd, $J = 10.5, 5.7$ Hz)	23, 24
4	38.8	C	-	
5	55.2	CH	0.69 (m) ^a	
6	18.3	CH_2	1.51 (m), 1.38 (m) ^a	
7	34.3	CH_2	1.70 (m) ^a	
8	40.8	C	-	
9	50.0	CH	1.30 (m) ^a	
10	37.1	C	-	
11	20.9	CH_2	1.28 (m) ^a	
12	23.7	CH_2	1.76 (m), 1.71(m) ^a	
13	37.7	CH	1.71 (m) ^a	
14	43.0	C	-	
15	27.3	CH_2	1.66 (m) ^a	
16	35.4	CH_2	1.29 (m) ^a	
17	43.0	C	-	
18	48.5	CH	1.41 (m) ^a	
19	43.4	CH	1.75 (m) ^a	
20	41.8	CH	2.76 (m) ^a	
21	27.1	CH_2	1.55 (m) ^a	
22	39.6	CH_2	1.30 (m) ^a	
23	27.9	CH_3	0.97 (s)	3, 4, 5, 24
24	15.3	CH_3	0.77 (s)	3, 4, 5, 23
25	16.0	CH_3	0.84 (s)	1, 5, 9, 10
26	16.0	CH_3	1.04 (s)	7, 8, 9, 14
27	14.3	CH_3	0.92 (s)	8, 13, 14, 15

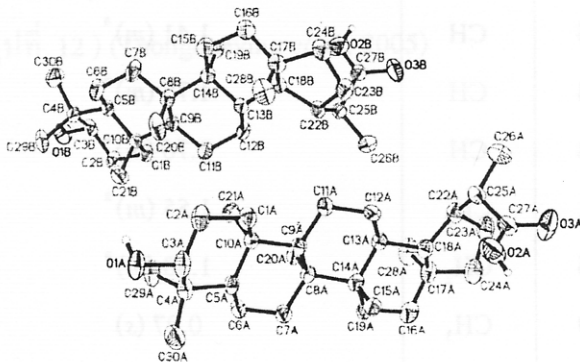
ตารางที่ 26 (ต่อ)

ตำแหน่ง	δ_C (ppm)		δ_H (ppm)	HMBC
28	17.7	CH ₃	0.75 (s)	16, 17, 18, 22
29	180.0	C	-	-
30	17.3	CH ₃	1.13 (d, $J = 6.9$ Hz)	19, 20, 29

^a ข้อมูลจาก HMQC



รูปที่ 11 ข้อมูล HMBC ของสาร PTH9



รูปที่ 12 โครงสร้างเอกซเรย์ของสาร PTH9

ตารางที่ 27 เปรียบเทียบข้อมูล ^1H NMR ของสาร PTH1 และ สาร PTH9 ($\text{CDCl}_3 + \text{CD}_3\text{OD}$)

ตำแหน่ง	สาร PTH1, δ_{H} (ppm) (CDCl_3)	สาร PTH9, δ_{H} (ppm) ($\text{CDCl}_3 + \text{CD}_3\text{OD}$)
1	0.91 (m) ^a	1.70 (m) ^a
2	1.56 (m) ^a	1.49 (m) ^a
3	3.19 (dd, $J = 10.8, 5.1$ Hz)	3.20 (dd, $J = 10.5, 5.7$ Hz)
5	0.69 (m) ^a	0.69 (m) ^a
6	1.40 (m), 1.55 (m) ^a	1.51 (m), 1.38 (m) ^a
7	1.40 (m) ^a	1.70 (m) ^a
9	1.28 (m) ^a	1.30 (m) ^a
11	1.22 (m), 1.45 (m) ^a	1.28 (m) ^a
12	1.08 (m) ^a	1.76 (m), 1.71(m) ^a
13	1.67 (m) ^a	1.71 (m) ^a
15	1.56 (m) ^a	1.66 (m) ^a
16	1.51 (m) ^a	1.29 (m) ^a
18	1.38 (m) ^a	1.41 (m) ^a
19	2.38 (dt, $J = 11.1, 5.7$ Hz)	1.75 (m) ^a
20	-	2.76 (m) ^a
21	1.94 (m) ^a	1.55 (m) ^a
22	1.20 (m), 1.40 (m) ^a	1.30 (m) ^a
23	0.97 (s)	0.97 (s)
24	0.76 (s)	0.77 (s)
25	0.83 (s)	0.84 (s)
26	1.03 (s)	1.04 (s)
27	0.94 (s)	0.92 (s)
28	0.79 (s)	0.75 (s)
29	4.56 (m), 4.68 (d, $J = 2.1$ Hz)	-
30	1.68 (s)	1.13 (d, $J = 6.9$ Hz)

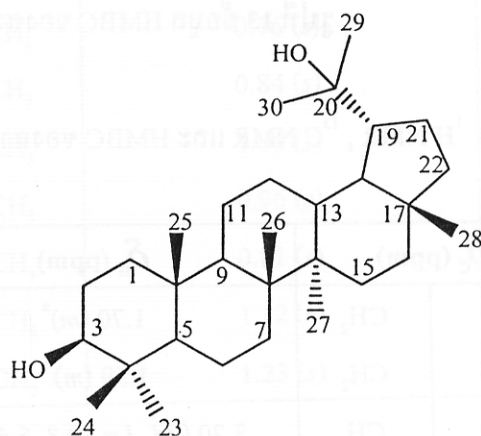
ตารางที่ 28 เปรียบเทียบข้อมูล ^{13}C NMR ของสาร PTH1 และ PTH9 ($\text{CDCl}_3 + \text{CD}_3\text{OD}$)

ตำแหน่ง	สาร PTH1, δ_{C} (ppm) (CDCl_3)	สาร PTH9, δ_{C} (ppm) ($\text{CDCl}_3 + \text{CD}_3\text{OD}$)
1	38.7	38.7
2	27.4	27.0
3	79.0	78.9
4	38.9	38.8
5	55.3	55.2
6	18.3	18.3
7	34.3	34.3
8	40.8	40.8
9	50.5	50.0
10	37.2	37.1
11	20.9	20.9
12	25.2	23.7
13	38.1	37.7
14	42.8	43.0
15	27.5	27.3
16	35.6	35.4
17	43.0	43.0
18	48.3	48.5
19	48.0	43.4
20	151.0	41.8
21	29.9	27.1
22	40.0	39.6
23	28.0	27.9
24	15.4	15.3
25	16.1	16.0

ตารางที่ 28 (ต่อ)

ตำแหน่ง	สาร PTH1, δ_C (ppm) (CDCl ₃)	สาร PTH9, δ_C (ppm) (CDCl ₃ +CD ₃ OD)
26	16.0	16.0
27	14.6	14.3
28	18.0	17.7
29	109.3	180.0
30	19.3	17.3

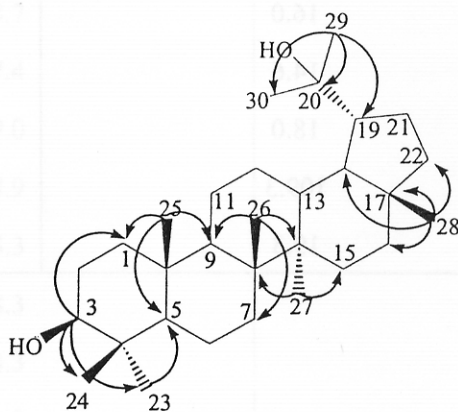
สาร PTH10



สาร PTH10 เป็นของแข็งสีขาว มีจุดหลอมเหลว 210-212°C, $[\alpha]_D^{28}$: +6.4° ($c = 0.078$, CHCl₃) สารนี้ให้สีม่วงกับการทดสอบ vanillin-sulfuric acid ข้อมูล IR เหมือนสาร PTH1

การเปรียบเทียบข้อมูล ¹H และ ¹³C NMR ของสาร PTH10 และ PTH1 (ตารางที่ 30 และ 31) ไม่พบสัญญาณของโอลิฟินิกโปรตอนปลายโซ่ที่ δ 4.68 (*br d*, $J = 2.1$ Hz), 4.56 (*m*) ในสาร PTH10 (ภาพประกอบที่ 23 และ 24) แต่พบสัญญาณเมทิลซิงเกิลต 8 สัญญาณที่ δ 0.76, 0.81, 0.84, 0.96, 0.97, 1.06, 1.12 และ 1.23 ข้อมูล ¹³C NMR ยังแสดงสัญญาณของออกซีควอเตอร์นารีคาร์บอนของ C-20 ที่ δ 73.5 ซึ่งยืนยันตำแหน่งด้วยข้อมูล HMBC (ตารางที่ 29 รูปที่ 13) โดย 3H-30 (δ 1.23) แสดงความสัมพันธ์กับ C-19 (δ 50.0), C-20 (δ 73.5) และ C-29 (δ 24.8) จากข้อมูลทางสเปกโทรสโกปีและ

เปรียบเทียบกับข้อมูลที่มีการรายงานแล้ว (Yuruker *et al.*, 1998) (ตารางที่ 31) สาร PTH10 คือ 3 β ,20-dihydroxylupane [$[\alpha]_D^{25} = +4.0^\circ$ ($c = 0.05$, CHCl_3)]



รูปที่ 13 ข้อมูล HMBC ของสาร PTH10

ตารางที่ 29 ข้อมูล ^1H NMR, ^{13}C NMR และ HMBC ของสาร PTH10 (CDCl_3)

ตำแหน่ง	δ_c (ppm)		δ_H (ppm)	HMBC
1	38.7	CH_2	1.70 (m) ^a	
2	27.6	CH_2	1.59 (m) ^a	
3	79.0	CH	3.20 (dd, $J = 10.8, 5.4$ Hz)	1, 4, 23, 24
4	38.9	C	-	
5	55.2	CH	0.70 (m) ^a	
6	18.4	CH_2	1.42 (m), 1.56 (m) ^a	
7	34.6	CH_2	1.42 (m) ^a	
8	41.4	C	-	
9	50.3	CH	1.28 (m) ^a	
10	37.1	C	-	
11	21.4	CH_2	1.27 (m), 1.49 (m) ^a	
12	27.4	CH_2	1.79 (m) ^a	

ตารางที่ 29 (ต่อ)

ตำแหน่ง	δ_c (ppm)		δ_H (ppm)	HMBC
13	37.5	CH	1.75 (<i>m</i>) ^a	
14	43.5	C	-	
15	28.8	CH ₂	1.94 (<i>m</i>) ^a	
16	35.6	CH ₂	1.55 (<i>m</i>) ^a	
17	44.7	C	-	
18	48.3	CH	1.35 (<i>m</i>) ^a	
19	50.0	CH	1.81 (<i>m</i>) ^a	
20	73.5	C	-	
21	29.1	CH ₂	1.83 (<i>m</i>), 1.89 (<i>m</i>) ^a	
22	40.2	CH ₂	1.11 (<i>m</i>), 1.36 (<i>m</i>) ^a	
23	28.0	CH ₃	0.97 (<i>s</i>)	3, 4, 5, 24
24	15.4	CH ₃	0.76 (<i>s</i>)	3, 4, 5, 23
25	16.2	CH ₃	0.84 (<i>s</i>)	1, 5, 9, 10
26	16.2	CH ₃	1.06 (<i>s</i>)	7, 8, 9, 14
27	14.9	CH ₃	0.96 (<i>s</i>)	8, 13, 14, 15
28	19.2	CH ₃	0.81 (<i>s</i>)	16, 17, 18, 22
29	24.8	CH ₃	1.12 (<i>s</i>)	19, 20, 30
30	31.6	CH ₃	1.23 (<i>s</i>)	19, 20, 29

ตารางที่ 30 เปรียบเทียบข้อมูล ^1H NMR ของสาร PTH1 และ สาร PTH10 (CDCl_3)

ตำแหน่ง	สาร PTH1, δ_{H} (ppm)	สาร PTH10, δ_{H} (ppm)
1	0.91 (m) ^a	1.70 (m) ^a
2	1.56 (m) ^a	1.59 (m) ^a
3	3.19 (dd, $J = 10.8, 5.1$ Hz)	3.20 (dd, $J = 10.8, 5.4$ Hz)
5	0.69 (m) ^a	0.70 (m) ^a
6	1.40 (m), 1.55 (m) ^a	1.42 (m), 1.56 (m) ^a
7	1.40 (m) ^a	1.42 (m) ^a
9	1.28 (m) ^a	1.28 (m) ^a
11	1.22 (m), 1.45 (m) ^a	1.27 (m), 1.49 (m) ^a
12	1.08 (m) ^a	1.79 (m) ^a
13	1.67 (m) ^a	1.75 (m) ^a
15	1.56 (m) ^a	1.94 (m) ^a
16	1.51 (m) ^a	1.55 (m) ^a
18	1.38 (m) ^a	1.35 (m) ^a
19	2.38 (dt, $J = 11.1, 5.7$ Hz)	1.81 (m) ^a
21	1.94 (m) ^a	1.83 (m), 1.89 (m) ^a
22	1.20 (m), 1.40 (m) ^a	1.11 (m), 1.33 (m) ^a
23	0.97 (s)	0.97 (s)
24	0.76 (s)	0.76 (s)
25	0.83 (s)	0.84 (s)
26	1.03 (s)	1.06 (s)
27	0.94 (s)	0.96 (s)
28	0.79 (s)	0.81 (s)
29	4.56 (m), 4.68 (d, $J = 2.1$ Hz)	1.12 (s)
30	1.68 (s)	1.23 (s)

^a ข้อมูลจาก HMQC

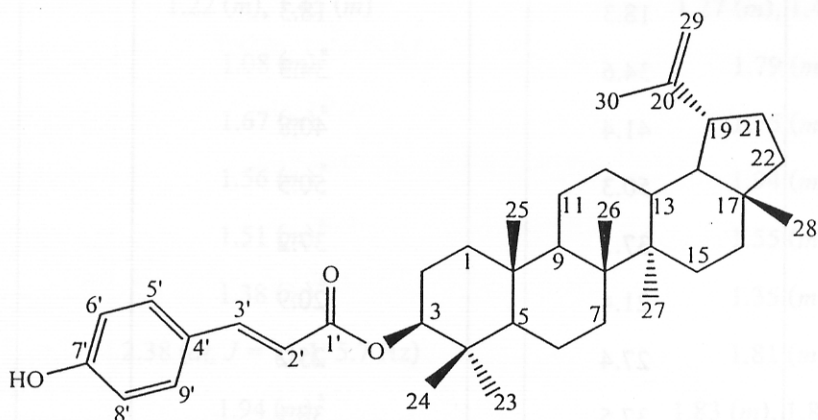
ตารางที่ 31 เปรียบเทียบข้อมูล ^{13}C NMR ของ $3\beta, 20\text{-dihydroxylupane}$
สาร PTH1 และสาร PTH10 (CDCl_3)

ตำแหน่ง	$3\beta, 20\text{-dihydroxylupane}, \delta_c$ (ppm)	สาร PTH1, δ_c (ppm)	สาร PTH10, δ_c (ppm)
1	38.7	38.7	38.7
2	27.6	27.4	27.6
3	79.0	79.0	79.0
4	38.9	38.9	38.9
5	55.2	55.3	55.2
6	18.3	18.3	18.4
7	34.6	34.3	34.6
8	41.4	40.8	41.4
9	50.3	50.5	50.3
10	37.1	37.2	37.1
11	21.4	20.9	21.4
12	27.4	25.2	27.4
13	37.5	38.1	37.5
14	43.6	42.8	43.5
15	28.8	27.5	28.8
16	35.6	35.6	35.6
17	44.7	43.0	44.7
18	48.3	48.3	48.3
19	50.0	48.0	50.0
20	73.5	151.0	73.5
21	29.1	29.9	29.1
22	40.2	40.0	40.2
23	28.0	28.0	28.0
24	16.2	15.4	15.4
25	15.4	16.1	16.2

ตารางที่ 31 (ต่อ)

ตำแหน่ง	3 β , 20-dihydroxy-lupane, δ_C (ppm)	สาร PTH1, δ_C (ppm)	สาร PTH10, δ_C (ppm)
26	16.3	16.0	16.2
27	14.9	14.6	14.9
28	19.2	18.0	19.2
29	24.8	109.3	24.8
30	31.6	19.3	31.6

สาร PTH11

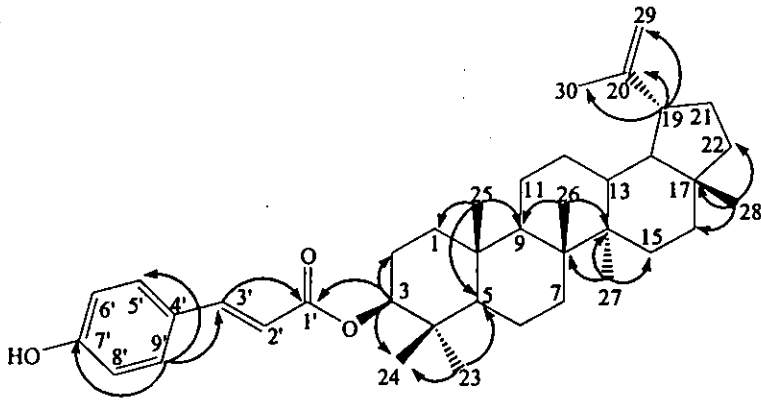


สาร PTH11 เป็นของแข็งสีขาว มีจุดหลอมเหลว 166-167°C, $[\alpha]_D^{28} +200.0^\circ$ ($c = 0.050$, CHCl_3) ข้อมูล IR แสดงแถบการดูดกลืนของหมู่ไฮดรอกซิล (3397 cm^{-1}) คอนจูเกตเอสเทอร์ (1670 cm^{-1}) และพันธะคู่ (1602 cm^{-1}) ข้อมูล UV แสดงแถบการดูดกลืนที่ 227 และ 313 nm (ภาพประกอบที่ 25) ซึ่งยืนยันการมีระบบคอนจูเกตในโมเลกุล สารนี้ให้สีม่วงกับ vanillin-sulfuric acid

ข้อมูล ^1H และ ^{13}C NMR ของสาร PTH11 (ตารางที่ 32 ภาพประกอบที่ 26 และ 27) และ PTH1 เป็นรูปแบบเดียวกัน แต่สาร PTH11 แสดงสัญญาณของ *trans*-coumaroyl เป็นสัญญาณของอะโรเมติก 2 โปรตอนแบบ *para*-disubstituted ที่ δ 7.41 และ 6.85 (d , $J = 8.7 \text{ Hz}$, H-5', H-9' and H-6', H-8', ตามลำดับ) นอกจากนี้ยังมีสัญญาณของ ทรานส์โอลิฟินิก โปรตอนเป็นคัพเลต 2 สัญญาณที่ δ 7.61 (H-3') และ 6.29 (H-2') โดยมีค่าคงที่การคู่ควบ 15.9 Hz สัญญาณของออกซิเมไน์โปรตอน H-3 ที่ δ 4.62 (m) ปรากฏที่สนามต่ำกว่าที่พบในสาร PTH1 (δ 3.19) เนื่องจากผลของหมู่เอสเทอร์ที่ตำแหน่ง C-3 ข้อมูล ^{13}C NMR ของสาร PTH11 (ตารางที่ 32) แสดงสัญญาณของเอสเทอร์คาร์บอนที่ δ

167.8 ซึ่งยืนยันข้อมูลด้วย HMBC (ตารางที่ 32 รูปที่ 14) โดยออกซิเมไทน์โปรตอน H-3 แสดงความสัมพันธ์กับ C-1' (δ 167.8), C-4 (δ 38.1), C-23 (δ 28.0) และ C-24 (δ 16.2) จากข้อมูลทางสเปกโทรสโกปีและเปรียบเทียบกับข้อมูลที่การรายงานแล้ว (Ali *et al.*, 1997) สาร PTH11 คือ 3 β -(E)-coumaroyllupeol (ตารางที่ 33 และ 34) [*จุดหลอมเหลว 82-85°C, $[\alpha]_D^{25} +240.0^\circ$ ($c = 0.005$, CHCl₃)]

* จุดหลอมเหลวที่รายงานไม่น่าจะถูกต้อง เนื่องจากพบว่าสารอนุพันธ์ของ Lupeol ทุกตัว หลอมเหลวที่อุณหภูมิสูงกว่า 150°C



รูปที่ 14 ข้อมูล HMBC ของสาร PTH11

ตารางที่ 32 ข้อมูล ¹H NMR, ¹³C NMR และ HMBC ของสาร PTH11 (CDCl₃)

ตำแหน่ง	δ_C (ppm)		δ_H (ppm)	HMBC
1	38.4	CH ₂	1.70 (m) ^a	
2	23.9	CH ₂	1.70 (m) ^a	
3	81.2	CH	4.62 (m) ^a	1', 4, 23, 24
4	38.1	C	-	
5	55.4	CH	0.82 (m) ^a	
6	18.2	CH ₂	1.42 (m), 1.55 (m) ^a	
7	34.2	CH ₂	1.42 (m) ^a	
8	40.9	C	-	
9	50.4	CH	1.31 (m) ^a	
10	37.1	C	-	
11	21.0	CH ₂	1.47 (m) ^a	
12	25.1	CH ₂	1.71 (m) ^a	

ตารางที่ 32 (ต่อ)

ตำแหน่ง	δ_C (ppm)		δ_H (ppm)	HMBC
13	38.1	CH	1.63 (<i>m</i>) ^a	
14	42.9	C	-	
15	27.5	CH ₂	1.04 (<i>m</i>) ^a	
16	35.6	CH ₂	1.48 (<i>m</i>), 1.53 (<i>m</i>) ^a	
17	43.0	C	-	
18	48.3	CH	1.38 (<i>m</i>) ^a	
19	48.0	CH	2.38 (<i>dt</i> , <i>J</i> = 10.5, 5.4 Hz)	20, 29, 30
20	151.0	C	-	
21	29.9	CH ₂	1.89 (<i>m</i>), 1.95 (<i>m</i>) ^a	19, 30
22	40.0	CH ₂	1.20 (<i>m</i>), 1.41 (<i>m</i>) ^a	
23	28.0	CH ₃	0.89 (<i>s</i>)	3, 4, 5, 24
24	16.2	CH ₃	0.88 (<i>s</i>)	3, 4, 5, 23
25	16.7	CH ₃	0.92 (<i>s</i>)	1, 5, 9, 10
26	16.0	CH ₃	1.04 (<i>s</i>)	7, 8, 9, 14
27	14.6	CH ₃	0.95 (<i>s</i>)	8, 13, 14, 15
28	18.0	CH ₃	0.79 (<i>s</i>)	16, 17, 18, 22
29	109.4	CH ₂	4.58 (<i>m</i>), 4.69 (<i>d</i> , <i>J</i> = 2.1 Hz)	19, 30
30	19.3	CH ₃	1.69 (<i>s</i>)	19, 20, 29
1'	167.8	C	-	
2'	115.9	CH	6.29 (<i>d</i> , <i>J</i> = 15.9 Hz)	1', 3', 4'
3'	144.4	CH	7.61 (<i>d</i> , <i>J</i> = 15.9 Hz)	1', 2', 5', 9'
4'	127.0	C	-	
5'	130.0	CH	7.41 (<i>d</i> , <i>J</i> = 8.7 Hz)	3', 7', 9'
6'	116.0	CH	6.85 (<i>d</i> , <i>J</i> = 8.7 Hz)	4', 7', 8'
7'	158.1	C	-	
8'	116.0	CH	6.85 (<i>d</i> , <i>J</i> = 8.7 Hz)	4', 6', 7'
9'	130.0	CH	7.41 (<i>d</i> , <i>J</i> = 8.7 Hz)	3', 5', 7'

ตารางที่ 33 เปรียบเทียบข้อมูล $^1\text{H NMR}$ ของสาร $3\beta\text{-}(E)\text{-coumaroyllupeol}$

สาร PTH1 และสาร PTH11 (CDCl_3)

ตำแหน่ง	$3\beta\text{-}(E)\text{-coumaroyllupeol}$, δ_{H} (ppm)	สาร PTH1, δ_{H} (ppm)	สาร PTH11, δ_{C} (ppm)
1	1.00 (m), 1.66 (m)	0.91 (m) ^a	1.70 (m) ^a
2	1.59 (m), 1.67 (m)	1.56 (m) ^a	1.70 (m) ^a
3	4.56 (m)	3.19 (dd, $J = 10.8, 5.1$ Hz)	4.62 (m) ^a
5	0.81 (m)	0.69 (m) ^a	0.82 (m) ^a
6	0.74 (m), 1.38 (m)	1.40 (m), 1.55 (m) ^a	1.42 (m), 1.55 (m) ^a
7	1.38 (m), 1.42 (m)	1.40 (m) ^a	1.42 (m) ^a
9	1.25 (m)	1.28 (m) ^a	1.31 (m) ^a
11	1.28 (m), 1.40 (m)	1.22 (m), 1.45 (m) ^a	1.47 (m) ^a
12	1.08 (m), 1.66 (m)	1.08 (m) ^a	1.71 (m) ^a
13	1.35 (m)	1.67 (m) ^a	1.63 (m) ^a
15	0.85 (m), 0.90 (m)	1.56 (m) ^a	1.04 (m) ^a
16	1.32 (m), 1.40 (m)	1.51 (m) ^a	1.48 (m), 1.53 (m) ^a
18	1.39 (m)	1.38 (m) ^a	1.38 (m) ^a
19	2.36 (m)	2.38 (dt, $J = 11.1, 5.7$ Hz)	2.38 (dt, $J = 10.5, 5.4$ Hz)
21	1.23 (m), 1.30 (m)	1.94 (m) ^a	1.89 (m), 1.95 (m) ^a
22	1.15 (m), 1.36 (m)	1.20 (m), 1.40 (m) ^a	1.20 (m), 1.41 (m) ^a
23	0.94 (s)	0.97 (s)	0.89 (s)
24	1.03 (s)	0.76 (s)	0.88 (s)
25	0.87 (s)	0.83 (s)	0.92 (s)
26	0.94 (s)	1.03 (s)	1.04 (s)
27	0.90 (s)	0.94 (s)	0.95 (s)
28	0.76 (s)	0.79 (s)	0.79 (s)

ตารางที่ 33 (ต่อ)

ตำแหน่ง	3β -(<i>E</i>)-coumaroyl- lupeol, δ_{H} (ppm)	สาร PTH1, δ_{H} (ppm)	สาร PTH11, δ_{C} (ppm)
30	1.67 (s)	1.68 (s)	1.69 (s)
2'	6.29 (<i>d</i> , $J = 16.2$ Hz)	-	6.29 (<i>d</i> , $J = 15.9$ Hz)
3'	7.57 (<i>d</i> , $J = 16.2$ Hz)	-	7.61 (<i>d</i> , $J = 15.9$ Hz)
5', 9'	7.42 (<i>d</i> , $J = 8.7$ Hz)	-	7.41 (<i>d</i> , $J = 8.7$ Hz)
6', 8'	6.82 (<i>d</i> , $J = 8.7$ Hz)	-	6.85 (<i>d</i> , $J = 8.7$ Hz)

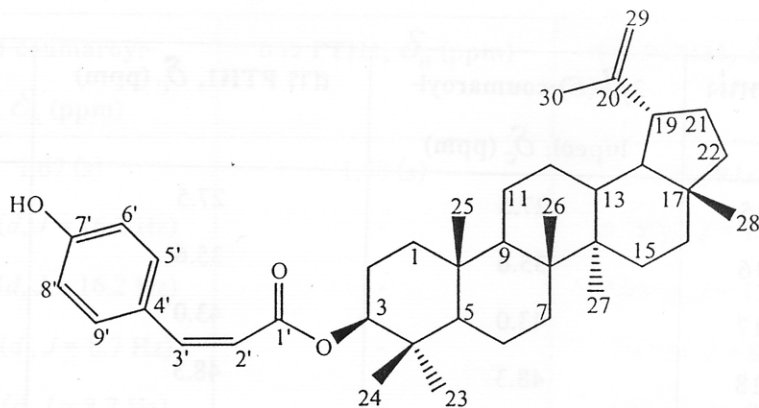
ตารางที่ 34 เปรียบเทียบข้อมูล ^{13}C NMR ของ 3β -(*E*)-coumaroyllupeol
สาร PTH1 และสาร PTH11 (CDCl₃)

ตำแหน่ง	3β -(<i>E</i>)-coumaroyl- lupeol, δ_{C} (ppm)	สาร PTH1, δ_{C} (ppm)	สาร PTH11, δ_{C} (ppm)
1	38.5	38.7	38.4
2	23.9	27.4	23.9
3	80.9	79.0	81.2
4	38.1	38.9	38.1
5	55.5	55.3	55.4
6	18.3	18.3	18.2
7	34.3	34.3	34.2
8	40.9	40.8	40.9
9	50.4	50.5	50.4
10	37.2	37.2	37.1
11	21.0	20.9	21.0
12	25.2	25.2	25.1
13	38.1	38.1	38.1
14	42.9	42.8	42.9

ตารางที่ 34 (ต่อ)

ตำแหน่ง	$3\beta(E)$ -coumaroyl- lupeol, δ_c (ppm)	สาร PTH1, δ_c (ppm)	สาร PTH11, δ_c (ppm)
15	27.5	27.5	27.5
16	35.6	35.6	35.6
17	43.0	43.0	43.0
18	48.3	48.3	48.3
19	48.0	48.0	48.0
20	151.0	151.0	151.0
21	29.9	29.9	29.9
22	40.0	40.0	40.0
23	28.0	28.0	28.0
24	16.0	15.4	16.2
25	16.7	16.1	16.7
26	16.2	16.0	16.0
27	14.6	14.6	14.6
28	18.0	18.0	18.0
29	109.4	109.3	109.4
30	19.3	19.3	19.3
1'	167.2	-	167.8
2'	116.5	-	115.9
3'	143.8	-	144.4
4'	127.6	-	127.0
5', 9'	129.9	-	130.0
6', 8'	115.8	-	116.0
7'	157.4	-	158.1

สาร PTH12



สาร PTH12 เป็นของหนืดไม่มีสี $[\alpha]_D^{28} : +38.5^\circ$ ($c = 0.052$, CHCl_3) ข้อมูล UV และ IR คล้ายกับของ PTH11

การเปรียบเทียบข้อมูล $^1\text{H NMR}$ ของสาร PTH12 และ PTH11 พบว่าคล้ายกัน (ตารางที่ 36 ภาพประกอบที่ 28) แตกต่างกันตรงที่สัญญาณของโอลิฟินิกโปรตอนมี δ 6.82 และ 5.83 ปรากฏสัญญาณเป็นคัพเลตที่มีค่าคงที่การคู่ควบเพียง 12.9 Hz ซึ่งน้อยกว่าของ PTH11 (15.9 Hz) ซึ่งบ่งชี้ว่าพันธะคู่เป็นแบบ *Z* สัญญาณของออกซิเมไธน์โปรตอน H-3 ปรากฏสัญญาณเป็นคัพเลตคัพเลต มีค่าคงที่การคู่ควบ $J = 11.1$ และ 4.8 Hz แสดงว่าเป็น α -โปรตอน ยืนยันตำแหน่งของหมู่แทนที่ *Z*-coumaroyl ที่ C-3 ด้วยข้อมูล HMBC (ตารางที่ 35 รูปที่ 15) โดยโปรตอน H-3 ที่ δ 4.52 แสดงความสัมพันธ์กับ C-1' (δ 166.5), C-23 (δ 28.0) และ C-24 (δ 16.5) จากข้อมูลทางสเปกโทรสโกปีและเปรียบเทียบกับข้อมูลของสาร PTH11 พบว่าสาร PTH12 คือ 3β -(*Z*)-coumaroyllupeol (ตารางที่ 36 และ 37)

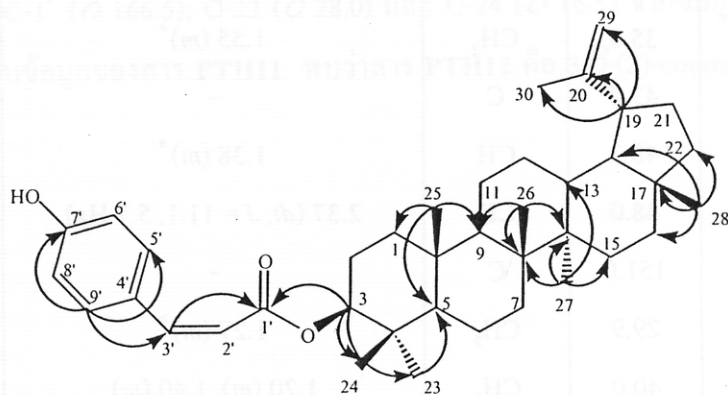
ตารางที่ 35 ข้อมูล ^1H NMR ^{13}C NMR และ HMBC ของสาร PTH12 (CDCl_3)

ตำแหน่ง	δ_{C} (ppm)		δ_{H} (ppm)	HMBC
1	38.4	CH_2	1.01 (m) ^a	
2	23.7	CH_2	1.42 (m) ^a	
3	81.1	CH	4.52 (dd, $J = 11.1, 4.8$ Hz)	1', 23, 24
4	37.9	C	-	
5	55.5	CH	0.82 (m) ^a	
6	18.2	CH_2	1.40 (m), 1.54 (m) ^a	
7	34.2	CH_2	1.41 (m) ^a	
8	40.9	C	-	
9	50.4	CH	1.31 (m) ^a	
10	37.1	C	-	
11	21.0	CH_2	1.15 (m) ^a	
12	25.1	CH_2	1.10 (m), 1.67 (m) ^a	
13	38.1	CH	1.70 (m) ^a	
14	42.8	C	-	
15	27.5	CH_2	1.03 (m) ^a	
16	35.6	CH_2	1.55 (m) ^a	
17	43.0	C	-	
18	48.3	CH	1.38 (m) ^a	
19	48.0	CH	2.37 (dt, $J = 11.1, 5.7$ Hz)	20, 29, 30
20	151.0	C	-	
21	29.9	CH_2	1.27 (m) ^a	19, 30
22	40.0	CH_2	1.20 (m), 1.40 (m)	
23	28.0	CH_3	0.86 (s)	3, 4, 5, 24
24	16.5	CH_3	0.80 (s)	3, 4, 5, 23
25	16.0	CH_3	0.86 (s)	1, 5, 9
26	16.2	CH_3	1.03 (s)	7, 8, 9, 14

ตารางที่ 35 (ต่อ)

ตำแหน่ง	δ_C (ppm)		δ_H (ppm)	HMBC
27	14.5	CH ₃	0.94 (s)	8, 13, 14, 15
28	18.0	CH ₃	0.79 (s)	16, 17, 18, 22
29	109.3	CH ₂	4.57 (m), 4.69 (d, $J = 2.1$ Hz)	19, 30
30	19.3	CH ₃	1.69 (s)	19, 20, 29
1'	166.5	C	-	
2'	117.9	CH	5.83 (d, $J = 12.6$ Hz)	1', 3', 4'
3'	143.1	CH	6.82 (d, $J = 12.6$ Hz)	1', 5', 9'
4'	127.9	C	-	
5'	132.3	CH	7.62 (d, $J = 8.7$ Hz)	3', 7', 9'
6'	115.0	CH	6.78 (d, $J = 8.7$ Hz)	4', 7', 8'
7'	156.6	C	-	
8'	115.0	CH	6.78 (d, $J = 8.7$ Hz)	4', 6', 7'
9'	132.3	CH	7.62 (d, $J = 8.7$ Hz)	3', 5', 7'

^a ข้อมูลจาก HMQC



รูปที่ 15 ข้อมูล HMBC ของสาร PTH12

ตารางที่ 36 เปรียบเทียบข้อมูล ^1H NMR ของสาร PTH11 และสาร PTH12 (CDCl_3)

ตำแหน่ง	สาร PTH11, δ_{H} (ppm)	สาร PTH12, δ_{H} (ppm)
1	1.70 (m) ^a	1.01 (m) ^a
2	1.70 (m) ^a	1.42 (m) ^a
3	4.62 (m) ^a	4.52 (dd, $J = 11.1, 4.8$ Hz)
5	0.82 (m)	0.82 (m) ^a
6	1.42 (m), 1.55 (m) ^a	1.40 (m), 1.54 (m) ^a
7	1.42 (m) ^a	1.41 (m) ^a
9	1.31 (m) ^a	1.31 (m) ^a
11	1.47 (m) ^a	1.15 (m) ^a
12	1.71 (m) ^a	1.10 (m), 1.67 (m) ^a
13	1.63 (m) ^a	1.70 (m) ^a
15	1.04 (m) ^a	1.03 (m) ^a
16	1.48 (m), 1.53 (m) ^a	1.55 (m) ^a
18	1.38 (m) ^a	1.38 (m) ^a
19	2.38 (dt, $J = 10.5, 5.4$ Hz)	2.37 (dt, $J = 11.1, 5.7$ Hz)
21	1.89 (m), 1.95 (m) ^a	1.27 (m) ^a
22	1.20 (m), 1.41 (m) ^a	1.20 (m), 1.40 (m) ^a
23	0.89 (s)	0.86 (s)
24	0.88 (s)	0.80 (s)
25	0.92 (s)	0.86 (s)
26	1.04 (s)	1.03 (s)
27	0.95 (s)	0.94 (s)
28	0.79 (s)	0.79 (s)
29	4.58 (m), 4.69 (d, $J = 2.1$ Hz)	4.57 (m), 4.69 (d, $J = 2.1$ Hz)

ตารางที่ 36 (ต่อ)

ตำแหน่ง	สาร PTH11, δ_{H} (ppm)	สาร PTH12, δ_{H} (ppm)
30	1.69 (s)	1.69 (s)
2'	6.29 (d, $J = 15.9$ Hz)	5.83 (d, $J = 12.6$ Hz)
3'	7.61 (d, $J = 15.9$ Hz)	6.82 (d, $J = 12.6$ Hz)
5', 9'	7.41 (d, $J = 8.7$ Hz)	7.62 (d, $J = 8.7$ Hz)
6', 8'	6.85 (d, $J = 8.7$ Hz)	6.78 (d, $J = 8.7$ Hz)

^a ข้อมูลจาก HMQC

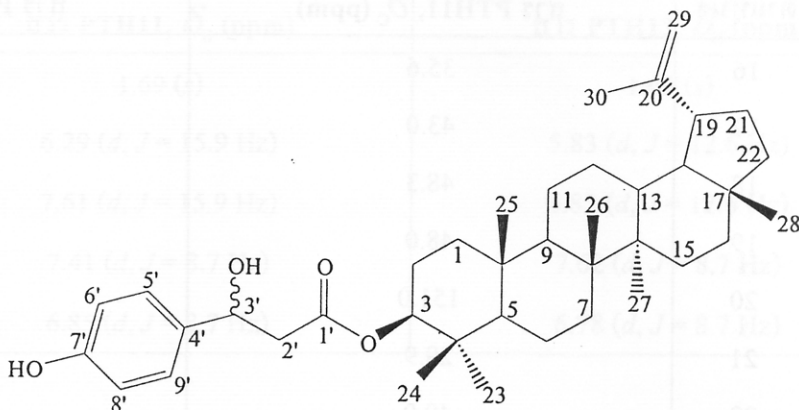
ตารางที่ 37 เปรียบเทียบข้อมูล ^{13}C NMR ของสาร PTH11 และ สาร PTH12 (CDCl_3)

ตำแหน่ง	สาร PTH11, δ_{C} (ppm)	สาร PTH12, δ_{C} (ppm)
1	38.4	38.4
2	23.9	23.7
3	81.2	81.1
4	38.1	37.9
5	55.4	55.5
6	18.2	18.2
7	34.2	34.2
8	40.9	40.9
9	50.4	50.4
10	37.1	37.1
11	21.0	21.0
12	25.1	25.1
13	38.1	38.1
14	42.9	42.8
15	27.5	27.5

ตารางที่ 37 (ต่อ)

ตำแหน่ง	สาร PTH11, δ_c (ppm)	สาร PTH12, δ_c (ppm)
16	35.6	35.6
17	43.0	43.0
18	48.3	48.3
19	48.0	48.0
20	151.0	151.0
21	29.9	29.9
22	40.0	40.0
23	28.0	28.0
24	16.2	16.5
25	16.7	16.0
26	16.0	16.2
27	14.6	14.5
28	18.0	18.0
29	109.4	109.3
30	19.3	19.3
1'	167.8	166.5
2'	115.9	117.9
3'	144.4	143.1
4'	127.0	127.9
5', 9'	130.0	132.3
6', 8'	116.0	115.0
7'	158.1	156.6

สาร PTH13



สาร PTH13 เป็นของแข็งสีขาว ให้สีม่วงกับ vanillin-sulfuric acid EI-MS แมสสเปกตรัมให้ $[M-H_2O]^+$ พิกที่ m/z 572.4187 ซึ่งเทียบได้กับสูตรโมเลกุล $C_{39}H_{56}O_3$ (ภาพประกอบที่ 30) สารนี้ไม่เสถียร สลายตัวก่อนหาจุดหลอมเหลว

ข้อมูล 1H NMR และ DEPT (ตารางที่ 38 ภาพประกอบที่ 31 และ 32) คล้ายสาร PTH11 แต่ *para*-disubstituted อะโรมาติกโปรตอนของ PTH13 ปรากฏที่สนามสูงกว่า คือที่ δ 7.25 (2H, *d*, $J = 8.7$ Hz, H-5', H-9') และ 6.80 (2H, *d*, $J = 8.7$ Hz, H-6', H-8') เมื่อเปรียบเทียบกับ PTH11 ที่ δ 7.41 และ 6.85 ตามลำดับ โปรตอนทรานส์โอลิฟินิก 2 โปรตอนที่ δ 6.29 (H-2') และ 7.61 (H-3') ถูกแทนที่ด้วยออกซิเมไทน์โปรตอนที่ δ 5.07 (1H, *m*, H-3') และเมทิลีนโปรตอนที่ δ 2.73 (2H, *m*, H-2') ซึ่งยืนยันตำแหน่งด้วยข้อมูล COSY (ภาพประกอบที่ 33) หมู่ hydroxycinnamoyl ester เชื่อมต่อที่ตำแหน่ง C-3 ยืนยันด้วยข้อมูล HMBC (ตารางที่ 38 ภาพประกอบที่ 34 รูปที่ 16) ซึ่งออกซิเมไทน์โปรตอน H-3 ที่ δ 4.53 ต่ออยู่ที่ตำแหน่ง C-3 (δ 81.7) โดยโปรตอนตัวนี้แสดงความสัมพันธ์กับ C-1' (δ 172.2), C-23 (δ 27.9) และ C-24 (δ 16.2) และออกซิเมไทน์โปรตอน H-3' (δ 5.07) แสดงความสัมพันธ์กับ C-1' (δ 172.2), C-2' (δ 43.6), C-4' (δ 135.0) และ C-5', C-9' (δ 127.3) สารนี้ คือ 3β -(3',7'-dihydroxy)dihydrocinnamoyllupeol เป็นสารใหม่ที่ยังไม่มีรายงานมาก่อน

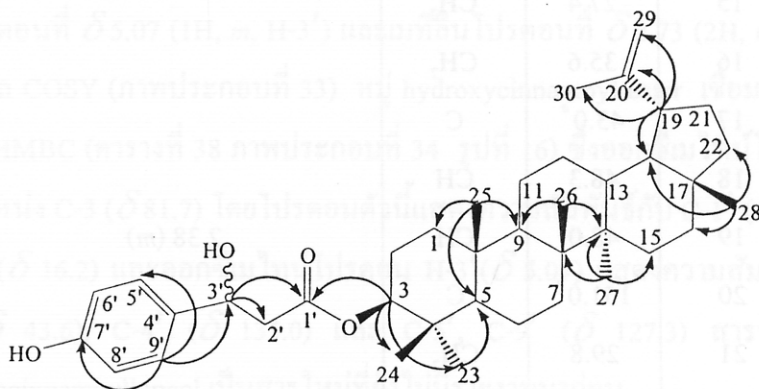
ตารางที่ 38 ข้อมูล $^1\text{H NMR}$ $^{13}\text{C NMR}$ และ HMBC ของสาร PTH13 (CDCl_3)

ตำแหน่ง	δ_{C} (ppm)		δ_{H} (ppm)	HMBC
1	38.4	CH_2		
2	23.7	CH_2		
3	81.7	CH	4.53 (m)	1', 23, 24
4	38.0 ^a	C		
5	55.4	CH		
6	18.2	CH_2		
7	34.2	CH_2		
8	41.0 ^a	C		
9	50.3	CH		
10	37.4 ^a	C		
11	21.0	CH_2		
12	25.1	CH_2		
13	38.0	CH		
14	43.0 ^a	C		
15	27.4	CH_2		
16	35.6	CH_2		
17	43.0 ^a	C		
18	48.3	CH		
19	48.0	CH	2.38 (m)	13, 18, 20, 29
20	151.0 ^a	C		
21	29.8	CH_2		
22	40.0	CH_2		
23	27.9	CH_3	0.81 (s)	3, 4, 5, 24
24	16.2	CH_3	0.81 (s)	3, 4, 5, 23
25	16.6	CH_3	0.85 (s)	1, 5, 9, 10
26	16.0	CH_3	1.03 (s)	7, 8, 9, 14
27	14.5	CH_3	0.94 (s)	8, 13, 14, 15

ตารางที่ 38 (ต่อ)

ตำแหน่ง	δ_C (ppm)		δ_H (ppm)	HMBC
28	18.0	CH ₃	0.79 (s)	16, 17, 18, 22
29	109.4	CH ₂	4.57 (m), 4.69 (d, $J = 2.1$ Hz)	19
30	19.3	CH ₃	1.69 (s)	19, 20, 29
1'	172.0 ^a	C	-	-
2'	43.6	CH ₂	2.73 (m)	1', 3', 4'
3'	70.1	CH	5.07 (m)	1', 2', 5', 9'
4'	135.0 ^a	C	-	-
5'	127.3	CH	7.25 (d, $J = 8.7$ Hz)	3', 7', 9'
6'	115.3	CH	6.80 (d, $J = 8.7$ Hz)	4', 7', 8'
7'	155.0 ^a	C	-	-
8'	115.3	CH	6.80 (d, $J = 8.7$ Hz)	4', 6', 7'
9'	127.3	CH	7.25 (d, $J = 8.7$ Hz)	3', 5', 7'

^a สัญญาณของควอดเทอร์นารี คาร์บอน วิเคราะห์จาก DEPT 90°, DEPT 135° และ HMBC



รูปที่ 16 ข้อมูล HMBC ของสาร PTH13

ตารางที่ 39 เปรียบเทียบข้อมูล ^1H NMR ของสาร PTH11 และ สาร PTH13 (CDCl_3)

ตำแหน่ง	สาร PTH11, δ_{H} (ppm)	สาร PTH13, δ_{H} (ppm)
3	4.62 (<i>m</i>)	4.53 (<i>m</i>)
19	2.38 (<i>dt</i> , $J = 10.5, 5.4$ Hz)	2.38 (<i>m</i>)
23	0.89 (<i>s</i>)	0.81 (<i>s</i>)
24	0.88 (<i>s</i>)	0.81 (<i>s</i>)
25	0.92 (<i>s</i>)	0.85 (<i>s</i>)
26	1.04 (<i>s</i>)	1.03 (<i>s</i>)
27	0.95 (<i>s</i>)	0.94 (<i>s</i>)
28	0.79 (<i>s</i>)	0.79 (<i>s</i>)
29	4.58 (<i>m</i>), 4.69 (<i>d</i> , $J = 2.1$ Hz)	4.57 (<i>m</i>), 4.69 (<i>d</i> , $J = 2.1$ Hz)
30	1.69 (<i>s</i>)	1.69 (<i>s</i>)
2'	6.29 (<i>d</i> , $J = 15.9$ Hz)	2.73 (<i>m</i>)
3'	7.61 (<i>d</i> , $J = 15.9$ Hz)	5.07 (<i>m</i>)
5', 9'	7.41 (<i>d</i> , $J = 8.7$ Hz)	7.25 (<i>d</i> , $J = 8.7$ Hz)
6', 8'	6.85 (<i>d</i> , $J = 8.7$ Hz)	6.80 (<i>d</i> , $J = 8.7$ Hz)

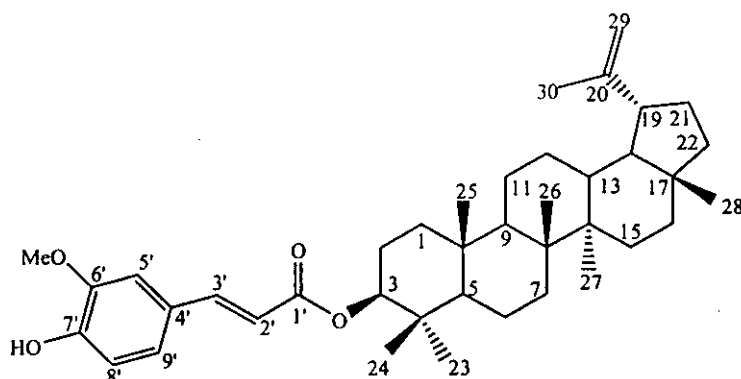
ตารางที่ 40 เปรียบเทียบข้อมูล ^{13}C NMR ของสาร PTH11 และ สาร PTH13 (CDCl_3)

ตำแหน่ง	สาร PTH11, δ_{C} (ppm)	สาร PTH13, δ_{C} (ppm)
1	38.4	38.4
2	23.9	23.7
3	81.2	81.7
4	38.1	38.0
5	55.4	55.4
6	18.2	18.2
7	34.2	34.2
8	40.9	41.0
9	50.4	50.3

ตารางที่ 40 (ต่อ)

ตำแหน่ง	สาร PTH11, δ_c (ppm)	สาร PTH13, δ_c (ppm)
10	37.1	37.4
11	21.0	21.0
12	25.1	25.1
13	38.1	38.0
14	42.9	43.0
15	27.5	27.4
16	35.6	35.6
17	43.0	43.0
18	48.3	48.3
19	48.0	48.0
20	151.0	151.0
21	29.9	29.8
22	40.0	40.0
23	28.0	27.9
24	16.2	16.2
25	16.7	16.6
26	16.0	16.0
27	14.6	14.5
28	18.0	18.0
29	109.4	109.4
30	19.3	19.3
1'	167.8	172.0
2'	115.9	43.6
3'	144.4	70.1
4'	127.0	135.0
5', 9'	130.0	127.3
6', 8'	116.0	115.3
7'	158.1	155.0

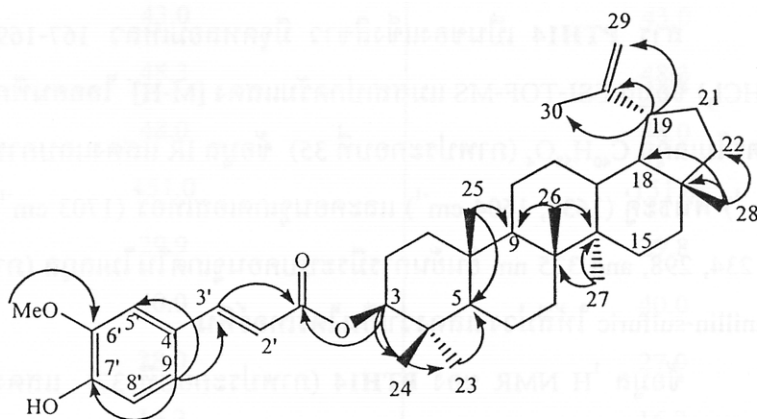
สาร PTH14



สาร PTH14 เป็นของแข็งสีขาว มีจุดหลอมเหลว 167-169°C, $[\alpha]_D^{27}$: +140° ($c = 0.003$, CHCl_3) ข้อมูล ESI-TOF-MS แมสสเปกตรัมแสดง $[\text{M}-\text{H}]^-$ ไอออนพิกที่ m/z 601.4244, ซึ่งสอดคล้องกับสูตรโมเลกุล $\text{C}_{40}\text{H}_{58}\text{O}_4$ (ภาพประกอบที่ 35) ข้อมูล IR แสดงแถบการดูดกลืนของหมู่ไฮดรอกซิล (3534 cm^{-1}) พันธะคู่ ($1635, 1604 \text{ cm}^{-1}$) และคอนจูเกตเอสเทอร์ (1703 cm^{-1}) สารนี้แสดงแถบการดูดกลืน UV ที่ 234, 298, and 325 nm ขึ้นชั้นการมีระบบคอนจูเกตในโมเลกุล (ภาพประกอบที่ 36) ผลทดสอบกับ vanillin-sulfuric ให้สีม่วง แสดงว่าเป็นไตรเทอร์พีน

ข้อมูล ^1H NMR ของ PTH14 (ภาพประกอบที่ 37) แสดงว่ามีหมู่ *trans*-feruloyl โดยพบ 3 สัญญาณของ 1,2,4-trisubstituted อะโรมาติกโปรตอนคือ δ 6.91 (1H, *d*, $J = 8.1 \text{ Hz}$, H-8'), 7.03 (1H, *d*, $J = 1.8 \text{ Hz}$, H-5') และ 7.07 (1H, *dd*, $J = 8.1, 1.8 \text{ Hz}$, H-9') สัญญาณของไวนิลโปรตอน 2 ตัวที่จัดตัวแบบทรานส์ที่ δ 6.29 และ 7.59 (*d*, $J = 15.9 \text{ Hz}$, H-2', H-3', ตามลำดับ) และอะโรมาติกเมทอกซีโปรตอนคือ δ 3.93 (3H, *s*) พบสัญญาณของไฮดรอกซิลโปรตอนคือ δ 5.85 (1H, *s*) สัญญาณนี้หายไปเมื่อเขย่ากับ D_2O NOESY สเปกตรัมแสดงครอสพีกระหว่าง H-5' และอะโรมาติก OMe แสดงว่า อะโรมาติก OMe ต่ออยู่ที่ตำแหน่ง C-6' ข้อมูล ^1H NMR แสดงสัญญาณของลูเพนไตรเทอร์พีน ดังนี้ มีสัญญาณของหมู่เมทิล 6 หมู่ที่ δ 0.79, 0.88, 0.89, 0.92, 0.95, 1.04 (3H, *s*) ไอโซโพรพิล 1 หมู่ [δ 1.69 (3H, *s*), 4.60 (1H, *m*), 4.69 (1H, *d*, $J = 2.1 \text{ Hz}$] และสัญญาณของลูเพน H β -19 โปรตอนคือ δ 2.37 (1H, *m*) สัญญาณของออกซิเมไธนโปรตอนที่ต่ออยู่กับหมู่เอสเทอร์ ปรากฏที่ δ 4.62 (*dd*, $J = 9.0, 5.4 \text{ Hz}$, H-3) สัญญาณของ H-3 ปรากฏเป็นคัพเลตคัพเลตด้วยค่าคงที่การคู่ควบ $J_{ax-ax} = 9.0 \text{ Hz}$ และ $J_{ax-eg} = 5.4 \text{ Hz}$ แสดงว่า H-3 จัดตัวแบบ axial (α) พบสัญญาณ ^{13}C NMR ของหมู่คาร์บอนิลคือ δ 167.1 หมู่แทนที่เอสเทอร์ต่ออยู่ที่ตำแหน่ง C-3 เนื่องจากพบว่าสัญญาณ ^1H NMR และ ^{13}C NMR ของ H-3 และ C-3 ปรากฏที่สนามต่ำลง เมื่อเทียบกับสัญญาณที่พบใน lupeol และจากข้อมูล HMBC ซึ่ง H-3 (δ 4.62)

แสดงความสัมพันธ์กับ C-23 (δ 28.0), C-24 (δ 16.2), และ C-1' (δ 167.1) สัญญาณ ^{13}C NMR ของ sp^2 เมทิลคาร์บอนปรากฏที่ δ 116.3 (C-2'), δ 144.3 (C-3'), δ 109.3 (C-5'), δ 114.7 (C-8') และ δ 123.1 (C-9') และพบสัญญาณของโอลิฟินิกเมทิลีนคาร์บอนที่ δ 109.4 (C-29) นอกจากนี้ จากข้อมูล DEPT ยังพบ 7 เมทิลคาร์บอน 1 เมทอกซี 11 เมทิลีน 11 เมทิล และ 10 ควอเตอร์นารีคาร์บอน จากข้อมูลดังกล่าว ระบุได้ว่า สาร PTH14 คือ 3β -(*E*)-feruloyllupeol ซึ่งเป็นสารใหม่ ยังไม่เคยมีการรายงานมาก่อน



รูปที่ 17 ข้อมูล HMBC ของสาร PTH14

ตารางที่ 41 ข้อมูล ^1H NMR ^{13}C NMR และ HMBC ของสาร PTH14 (CDCl_3)

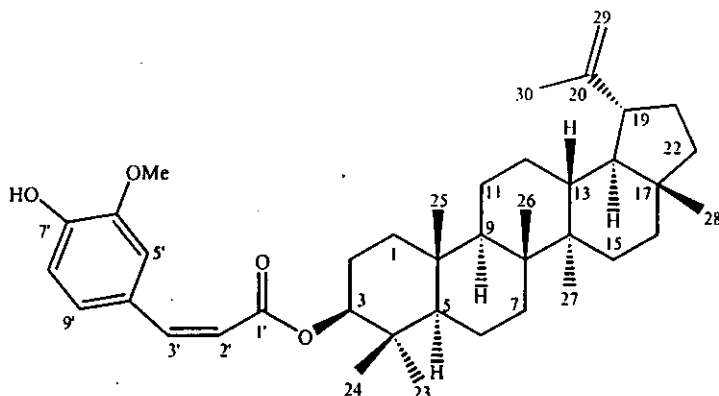
ตำแหน่ง	δ_{C} (ppm)		δ_{H} (ppm)	HMBC
1	38.5	CH_2	1.63 (m) ^a	
2	23.9	CH_2	1.71 (m) ^a	
3	80.9	CH	4.62 (dd, $J = 9.0, 5.4$ Hz)	1', 23, 24
4	38.1	C	-	
5	55.5	CH	0.86 (m) ^a	
6	18.3	CH_2	1.42 (m), 1.57 (m) ^a	
7	34.3	CH_2	1.43 (m) ^a	
8	40.9	C	-	
9	50.4	CH	1.33 (m) ^a	
10	37.2	C	-	
11	21.0	CH_2	1.16 (m) ^a	
12	25.2	CH_2	1.71 (m) ^a	
13	38.1	CH	1.64 (m) ^a	
14	42.9	C	-	
15	27.5	CH_2	10.5 (m) ^a	
16	35.6	CH_2	1.54 (m) ^a	
17	43.0	C	-	
18	48.3	CH	1.37 (m) ^a	
19	48.0	CH	2.37 (m) ^a	20, 30, 29, 21
20	151.0	C	-	
21	29.9	CH_2	1.20 (m) ^a	
22	40.0	CH_2	1.21 (m), 1.40 (m) ^a	
23	28.0	CH_3	0.88 (s)	3, 4, 5, 24
24	16.2	CH_3	0.89 (s)	3, 4, 5, 23
25	16.7	CH_3	0.92 (s)	1, 5, 9, 10

ตารางที่ 41 (ต่อ)

ตำแหน่ง	δ_C (ppm)		δ_H (ppm)	HMBC
26	16.0	CH ₃	1.04 (s)	7, 8, 9, 14
27	14.6	CH ₃	0.95 (s)	8, 13, 14, 15
28	18.0	CH ₃	0.79 (s)	16, 17, 18, 22
29	109.4	CH ₂	4.60 (m), 4.69 (d, $J = 2.1$ Hz)	18, 30
30	19.3	CH ₃	1.69 (s)	19, 20, 29
1'	167.1	C	-	
2'	116.3	CH	6.29 (d, $J = 15.9$ Hz)	1', 4'
3'	144.3	CH	7.59 (d, $J = 15.9$ Hz)	1', 2', 4', 5', 9'
4'	127.2	C	-	
5'	109.3	CH	7.03 (d, $J = 1.8$ Hz)	3', 4', 7', 9'
6'	146.8	C	-	
7'	147.8	C	-	
8'	114.7	CH	6.91 (d, $J = 8.1$ Hz)	4', 6'
9'	123.1	CH	7.07 (dd, $J = 8.1, 1.8$ Hz)	3', 5', 7'
OMe	56.0	CH ₃	3.93 (s)	6'
OH	-	-	5.85 (s)	7', 8'

^a ข้อมูลจาก HMQC

สาร PTH15



สาร PTH15 เป็นของแข็งสีขาว มีจุดหลอมเหลว 195-197°C, $[\alpha]_D^{27}$: +41.66° ($c = 0.060$, CHCl_3) ข้อมูล ESI-TOF-MS แมสสเปกตรัม แสดง $[\text{M}-\text{H}]^-$ ไอออนพิกที่ m/z 601.4260, ซึ่งสอดคล้องกับสูตรโมเลกุล $\text{C}_{40}\text{H}_{58}\text{O}_4$ (ภาพประกอบที่ 43) ข้อมูล IR และ UV เหมือนกับของ PTH14 (ภาพประกอบที่ 42)

ข้อมูล ^1H NMR และ ^{13}C NMR (ตารางที่ 42) ของ PTH15 คล้ายของ PTH14 ต่างกันที่สัญญาณของโอลิฟินิกโปรตอนที่ δ 5.81 (1H, d , $J = 12.9$ Hz, H-2') และ 6.77 (1H, d , $J = 12.9$ Hz, H-3') ของหมู่ feruloyl แสดงค่าคงที่การคู่ควบ 12.9 Hz ดังนั้น พันธะคู่ควรจัดตัวแบบ Z ข้อมูลเหล่านี้แสดงว่าเป็น lupeol ที่มีหมู่แทนที่เป็นหมู่ Z -feruloyl จากข้อมูล HMBC (ตารางที่ 42) หมู่ Z -feruloyl ควรต่ออยู่ที่ตำแหน่ง C-3 โดยพบว่า H-3 (δ 4.54) แสดงความสัมพันธ์กับ C-1' (δ 166.4), C-23 (δ 28.0) และ C-24 (δ 16.2) จากค่าคงที่การคู่ควบและรูปแบบการแตกของสัญญาณของ H-3 (dd , $J = 11.1, 5.4$ Hz) แสดงว่า H-3 จัดตัวแบบ α สาร PTH15 คือ 3β -(Z)-feruloyllupeol ซึ่งเป็นสารใหม่ ยังไม่มีการรายงานมาก่อน

ตารางที่ 42 ข้อมูล ^1H NMR, ^{13}C NMR และ HMBC ของสาร PTH15 (CDCl_3)

ตำแหน่ง	δ_c (ppm)		δ_H (ppm)	HMBC
1	38.5	CH_2	1.00 (m), 1.61 (m) ^a	
2	23.9	CH_2	1.64 (m), 1.72 (m) ^a	
3	80.9	CH	4.54 (dd , $J = 11.1, 5.4$ Hz)	1', 2, 4, 23, 24
4	38.1	C	-	
5	55.5	CH	0.80 (m) ^a	

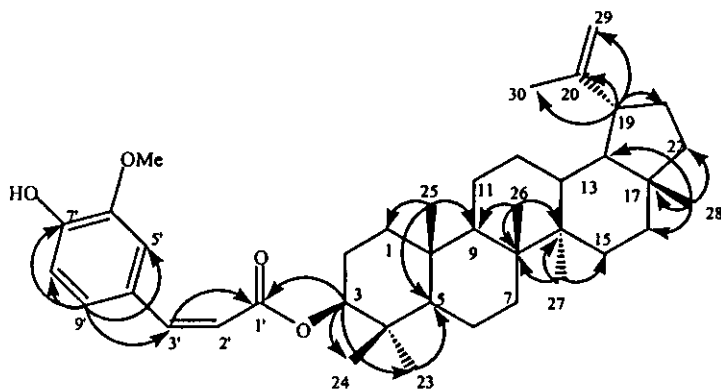
ตารางที่ 42 (ต่อ)

ตำแหน่ง	δ_c (ppm)		δ_H (ppm)	HMBC
6	18.3	CH ₂	1.40 (m), 1.52 (m) ^a	
7	34.3	CH ₂	1.34 (m), 1.44 (m) ^a	
8	40.9	C	-	
9	50.4	CH	1.33 (m) ^a	
10	37.2	C	-	
11	21.0	CH ₂	1.29 (m), 1.46 (m) ^a	
12	25.2	CH ₂	1.10 (m), 1.61 (m) ^a	
13	38.1	CH	1.66 (m) ^a	
14	42.9	C	-	
15	27.5	CH ₂	1.02 (m), 1.68 (m) ^a	
16	35.6	CH ₂	1.37 (m), 1.52 (m) ^a	
17	43.0	C	-	
18	48.3	CH	1.37 (m) ^a	
19	48.0	CH	2.38 (m) ^a	13, 20, 21, 29, 30
20	151.0	C	-	
21	29.9	CH ₂	1.90 (m) ^a	
22	40.0	CH ₂	1.19 (m), 1.40 (m) ^a	
23	28.0	CH ₃	0.86 (s)	4, 5, 24
24	16.2	CH ₃	0.81 (s)	3, 4, 5, 23
25	16.7	CH ₃	0.86 (s)	1, 5, 9, 10
26	16.0	CH ₃	1.03 (s)	7, 8, 9, 14
27	14.5	CH ₃	0.94 (s)	8, 13, 14, 15
28	18.0	CH ₃	0.79 (s)	16, 17, 18, 22
29	109.4	CH ₂	4.69 (d, $J = 2.1$ Hz), 4.57 (m)	19, 20, 30
30	19.4	CH ₃	1.69 (s)	19, 20, 29
1'	166.4	C	-	
2'	117.4	CH	5.81 (d, $J = 12.9$ Hz)	1', 3', 4'
3'	143.5	CH	6.77 (d, $J = 12.9$ Hz)	1', 2', 5', 9'

ตารางที่ 42 (ต่อ)

ตำแหน่ง	δ_c (ppm)		δ_H (ppm)	HMBC
4'	127.3	C	-	
5'	112.9	CH	7.78 (<i>d</i> , $J = 1.8$ Hz)	3', 4', 6', 7', 9'
6'	146.0	C	-	
7'	147.0	C	-	
8'	113.9	CH	6.87 (<i>d</i> , $J = 8.4$ Hz)	4', 6', 7'
9'	125.6	CH	7.10 (<i>dd</i> , $J = 8.4, 1.8$ Hz)	3', 5', 7', 8'
OMe	56.0	CH ₃	3.91 (<i>s</i>)	6'
OH	-	-	5.88 (<i>s</i>)	6', 7', 8'

^a ข้อมูลจาก HMQC



รูปที่ 18 ข้อมูล HMBC ของสาร PTH15

ตารางที่ 43 · เปรียบเทียบข้อมูล $^1\text{H NMR}$ ของสาร PTH14 และ สาร PTH15 (CDCl_3)

ตำแหน่ง	สาร PTH14, δ_{H} (ppm)	สาร PTH15, δ_{H} (ppm)
1	1.63 (m) ^a	1.00 (m), 1.61 (m) ^a
2	1.71 (m) ^a	1.64 (m), 1.72 (m) ^a
3	4.62 (<i>dd</i> , $J = 9.0, 5.4$ Hz)	4.54 (<i>dd</i> , $J = 11.1, 5.4$ Hz)
5	0.86 (m) ^a	0.80 (m) ^a
6	1.42 (m), 1.57 (m) ^a	1.40 (m), 1.52 (m) ^a
7	1.43 (m) ^a	1.34 (m), 1.44 (m) ^a
9	1.33 (m) ^a	1.33 (m) ^a
11	1.16 (m)	1.29, 1.46
12	1.71 (m) ^a	1.10, 1.61
13	1.64 (m) ^a	1.66 (m) ^a
15	1.05 (m) ^a	1.02 (m), 1.68 (m) ^a
16	1.54 (m) ^a	1.37 (m), 1.52 (m) ^a
18	1.37 (m) ^a	1.37 (m) ^a
19	2.37 (m)	2.38 (m)
21	1.28 (m) ^a	1.90 (m) ^a
22	1.21 (m), 1.40 (m) ^a	1.19 (m), 1.40 (m) ^a
23	0.88 (s)	0.86 (s)
24	0.89 (s)	0.81 (s)
25	0.92 (s)	0.86 (s)
26	1.04 (s)	1.03 (s)
27	0.95 (s)	0.94 (s)
28	0.79 (s)	0.79 (s)
29	4.60 (m), 4.69 (d, $J = 2.1$ Hz)	4.57 (m), 4.69 (d, $J = 2.1$ Hz)
30	1.69 (s)	1.69 (s)
2'	6.29 (d, $J = 15.9$ Hz)	5.81 (d, $J = 12.9$ Hz)
3'	7.59 (d, $J = 15.9$ Hz)	6.77 (d, $J = 12.9$ Hz)
5'	7.03 (d, $J = 1.8$ Hz)	7.78 (d, $J = 1.8$ Hz)

ตารางที่ 43 (ต่อ)

ตำแหน่ง	สาร PTH14, δ_{H} (ppm)	สาร PTH15, δ_{H} (ppm)
8'	6.91 (<i>d</i> , $J = 8.1$ Hz)	6.87 (<i>d</i> , $J = 8.4$ Hz)
9'	7.07 (<i>dd</i> , $J = 8.1, 1.8$ Hz)	7.10 (<i>dd</i> , $J = 8.4, 1.8$ Hz)
OMe	3.93 (<i>s</i>)	3.91 (<i>s</i>)
OH	5.85 (<i>s</i>)	5.88 (<i>s</i>)

^a ข้อมูลจาก HMQC

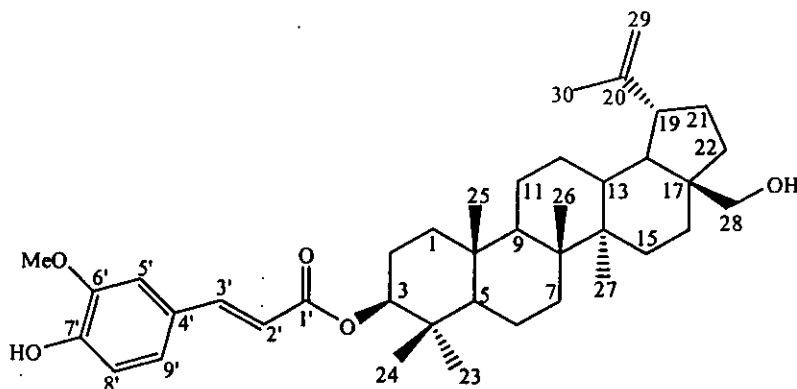
ตารางที่ 44 เปรียบเทียบข้อมูล ^{13}C NMR ของสาร PTH14 และสาร PTH15 (CDCl_3)

ตำแหน่ง	สาร PTH14, δ_{C} (ppm)	สาร PTH15, δ_{C} (ppm)
1	38.5	38.5
2	23.9	23.8
3	80.9	80.7
4	38.1	37.1
5	55.5	55.5
6	18.3	18.3
7	34.3	34.3
8	40.9	40.9
9	50.4	50.4
10	37.2	37.9
11	21.0	21.0
12	25.2	25.1
13	38.1	38.1
14	42.9	43.0
15	27.5	27.5
16	35.6	35.6
17	43.0	42.8
18	48.3	48.3
19	48.0	48.0

ตารางที่ 44 (ต่อ)

ตำแหน่ง	สาร PTH14, δ_C (ppm)	สาร PTH15, δ_C (ppm)
20	151.0	150.9
21	29.9	29.9
22	40.0	40.0
23	28.0	28.0
24	16.2	16.2
25	16.7	16.5
26	16.0	16.0
27	14.6	14.5
28	18.0	18.0
29	109.4	109.4
30	19.3	19.4
1'	167.1	166.4
2'	116.3	117.4
3'	144.3	143.5
4'	127.2	127.3
5'	109.3	112.9
6'	146.8	146.0
7'	147.8	147.0
8'	114.7	113.9
9'	123.1	125.6
OMe	56.0	56.0

สาร PTH16



สาร PTH16 เป็นของหนีดไม้มีสี $[\alpha]_D^{28} : +15.0^\circ$ ($c = 0.020$, CHCl_3) ข้อมูล IR และ UV แสดงแถบการดูดกลืนเหมือนสาร PTH14

ข้อมูล ^1H และ ^{13}C NMR ของสาร PTH16 (ตารางที่ 45 ภาพประกอบที่ 49 และ 50) และ PTH14 มีรูปแบบเดียวกัน แต่สาร PTH16 แสดงสัญญาณของเมทิลซิงเกิลต 6 สัญญาณ (δ 0.88, 0.90, 0.92, 0.99, 1.04 และ 1.71) สัญญาณเมทิลที่ตำแหน่ง 28 (3H-28) ถูกแทนที่ด้วยสัญญาณแบบ AB ของออกซีเมทิลีนโปรตอนที่มี δ 3.80 และ 3.33 ($d, J = 10.8 \text{ Hz}$) ข้อมูล HMBC แสดงว่ามีโครงสร้างหลักเป็น betulin จากข้อมูลทางสเปกโทรสโกปีและเปรียบเทียบกับข้อมูลที่มีรายงานแล้ว (Kuo *et al.*, 1997) พบว่าสาร PTH16 คือ 3β -(*E*)-feruloylbetulin (ตารางที่ 46 และ 47) [$[\alpha]_D^{28} = +16.2^\circ$ ($c = 0.04$, CHCl_3)]

ตารางที่ 45 ข้อมูล ^1H NMR, ^{13}C NMR และ HMBC ของสาร PTH16 (CDCl_3)

ตำแหน่ง	δ_C (ppm)		δ_H (ppm)	HMBC
1	38.4	CH_2	1.70 (<i>m</i>) ^a	
2	23.8	CH_2	1.71 (<i>m</i>) ^a	
3	80.8	CH	4.62 (<i>m</i>) ^a	1', 24
4	38.1	C	-	
5	55.4	CH	0.85 (<i>m</i>) ^a	
6	18.2	CH_2	1.57 (<i>m</i>) ^a	
7	34.0	CH_2	1.06 (<i>m</i>) ^a	
8	41.0	C	-	

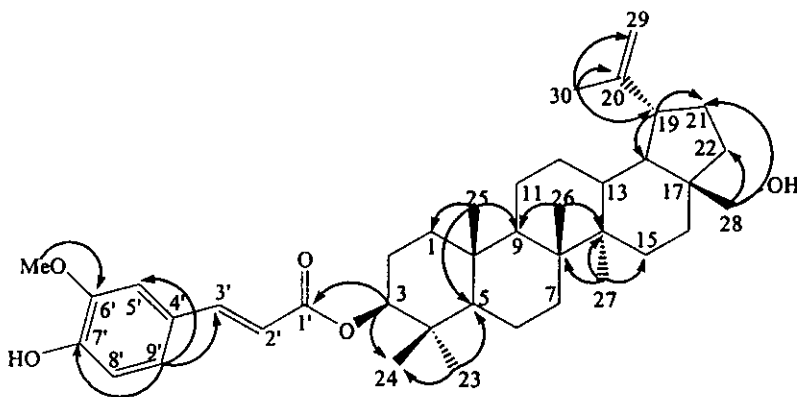
ตารางที่ 45 (ต่อ)

ตำแหน่ง	δ_C (ppm)		δ_H (ppm)	HMBC
9	50.3	CH	1.30 (<i>m</i>) ^a	
10	37.1	C	-	
11	20.9	CH ₂	1.22 (<i>m</i>) ^a	
12	25.2	CH ₂	1.71 (<i>m</i>) ^a	
13	37.3	CH	1.65 (<i>m</i>) ^a	
14	42.7	C	-	
15	27.1	CH ₂	1.05 (<i>m</i>) ^a	
16	29.2	CH ₂	1.96 (<i>m</i>) ^a	
17	47.8	C	-	
18	48.8	CH	1.63 (<i>m</i>) ^a	
19	47.8	CH	2.39 (<i>m</i>) ^a	18, 20, 21
20	150.5	C	-	
21	29.8	CH ₂	1.93 (<i>m</i>) ^a	
22	34.2	CH ₂	1.43 (<i>m</i>), 1.90 (<i>m</i>)	
23	28.0	CH ₃	0.89 (<i>s</i>)	3, 4, 5, 24
24	16.7	CH ₃	0.92 (<i>s</i>)	3, 4, 5, 23
25	16.2	CH ₃	0.88 (<i>s</i>)	1, 5, 9, 10
26	16.0	CH ₃	1.03 (<i>s</i>)	7, 8, 9, 14
27	14.7	CH ₃	0.99 (<i>s</i>)	8, 13, 14, 15
28	60.6	CH ₂	3.34 (<i>d</i> , <i>J</i> = 10.5 Hz), 3.80 (<i>d</i> , <i>J</i> = 10.5 Hz)	16, 22
29	109.7	CH ₂	4.59 (<i>m</i>), 4.68 (<i>d</i> , <i>J</i> = 1.8 Hz)	19, 20, 30
30	19.1	CH ₃	1.71 (<i>s</i>)	19, 20, 29
1'	167.1	C	-	
2'	116.3	CH	6.28 (<i>d</i> , <i>J</i> = 15.9 Hz)	1', 4'
3'	144.3	CH	7.59 (<i>d</i> , <i>J</i> = 15.9 Hz)	1', 2', 4', 5', 9'
4'	127.2	C	-	
5'	109.3	CH	7.03 (<i>d</i> , <i>J</i> = 1.5 Hz)	3', 7', 9'

ตารางที่ 45 (ต่อ)

ตำแหน่ง	δ_c (ppm)		δ_H (ppm)	HMBC
6'	146.8	C	-	
7'	147.8	C	-	
8'	114.7	CH	6.91 (<i>d</i> , $J = 8.1$ Hz)	4',6'
9'	123.0	CH	7.07 (<i>dd</i> , $J = 8.1, 1.5$ Hz)	3',5',7'
OMe	56.0	CH ₃	3.85 (<i>s</i>)	6'
OH	-	-	5.89 (<i>br s</i>)	7',8'

^a ข้อมูลจาก HMQC



รูปที่ 19 ข้อมูล HMBC ของสาร PTH16

ตารางที่ 46 เปรียบเทียบข้อมูล $^1\text{H NMR}$ ของสาร $3\beta\text{-(E)-feruloylbetulin}$

สาร PTH14 และสาร PTH16 (CDCl_3)

ตำแหน่ง	$3\beta\text{-(E)-feruloylbetulin}$, δ_{H} (ppm)	สาร PTH14, δ_{H} (ppm)	สาร PTH16, δ_{H} (ppm)
3	4.61 (m)	4.62 (dd, $J = 9.0, 5.4$ Hz)	4.62 (m)
19	2.37 (m)	2.37 (m)	2.39 (m)
23	0.86 (s)	0.88 (s)	0.90 (s)
24	1.01 (s)	0.89 (s)	0.88 (s)
25	0.85 (s)	0.92 (s)	0.92 (s)
26	0.87 (s)	1.04 (s)	1.04 (s)
27	0.97 (s)	0.95 (s)	0.99 (s)
28	3.31 (d, $J = 10.7$ Hz), 3.78 (d, $J = 10.7$ Hz)	0.79 (s)	3.33 (d, $J = 10.5$ Hz), 3.80 (d, $J = 10.5$ Hz)
29	4.57 (d, $J = 2.0$ Hz), 4.67 (d, $J = 2.0$ Hz)	4.60 (m), 4.69 (d, $J = 2.1$ Hz)	4.59 (m), 4.68 (d, $J = 1.8$ Hz)
30	1.67 (s)	1.69 (s)	1.71 (s)
2'	6.26 (d, $J = 16.0$ Hz)	6.29 (d, $J = 15.9$ Hz)	6.28 (d, $J = 15.9$ Hz)
3'	7.56 (d, $J = 16.0$ Hz)	7.59 (d, $J = 15.9$ Hz)	7.59 (d, $J = 15.9$ Hz)
5'	7.01 (d, $J = 1.6$ Hz)	7.03 (d, $J = 1.8$ Hz)	7.03 (d, $J = 1.5$ Hz)
8'	6.88 (d, $J = 8.2$ Hz)	6.91 (d, $J = 8.1$ Hz)	6.91 (d, $J = 8.1$ Hz)
9'	7.04 (dd, $J = 8.2, 1.6$ Hz)	7.07 (dd, $J = 8.1, 1.8$ Hz)	7.07 (dd, $J = 8.1, 1.5$ Hz)
OMe	3.91 (s)	3.93 (s)	3.85 (s)
OH	-	5.85 (s)	3.89 (br s)

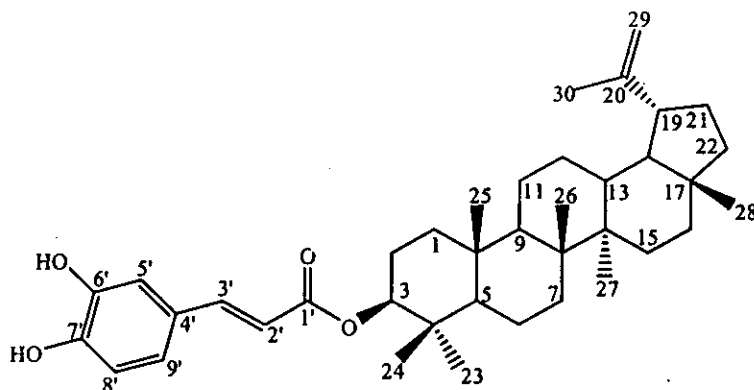
ตารางที่ 47 เปรียบเทียบข้อมูล ^{13}C NMR ของสาร $3\beta(E)\text{-feruloylbetulin}$
 สาร PTH14 และสาร PTH16 (CDCl_3)

ตำแหน่ง	$3\beta(E)\text{-feruloylbetulin}$, δ_c (ppm)	สาร PTH14, δ_c (ppm)	สาร PTH16, δ_c (ppm)
1	38.4	38.5	38.4
2	23.7	23.9	23.8
3	80.8	80.9	80.8
4	38.1	38.1	38.1
5	55.4	55.5	55.4
6	18.2	18.3	18.2
7	34.0	34.3	34.0
8	40.9	40.9	41.0
9	50.3	50.4	50.3
10	37.1	37.2	37.1
11	20.9	21.0	20.9
12	25.2	25.2	25.2
13	37.3	38.1	37.3
14	42.7	42.9	42.7
15	27.0	27.5	27.1
16	29.2	35.6	29.2
17	47.8	43.0	47.8
18	48.7	48.3	48.8
19	47.8	48.0	47.8
20	150.5	151.0	150.5
21	29.7	29.9	29.8
22	34.2	40.0	34.2
23	28.0	28.0	28.0

ตารางที่ 47 (ต่อ)

ตำแหน่ง	3β -(<i>E</i>)-feruloylbetulin, δ_c (ppm)	สาร PTH14, δ_c (ppm)	สาร PTH16, δ_c (ppm)
24	16.0	16.2	16.7
25	16.2	16.7	16.2
26	16.6	16.0	16.0
27	14.7	14.6	14.7
28	60.7	18.0	60.6
29	109.7	109.4	109.7
30	19.1	19.3	19.1
1'	167.1	167.1	167.1
2'	114.6	116.3	116.3
3'	144.3	144.3	144.3
4'	127.1	127.2	127.2
5'	109.2	109.3	109.3
6'	146.7	146.8	146.8
7'	147.8	147.8	147.8
8'	116.2	114.7	114.7
9'	123.0	123.1	123.0
OMe	56.0	56.0	56.0

สาร PTH17



สาร PTH17 เป็นของแข็งสีขาว มีจุดหลอมเหลว 147-149°C, $[\alpha]_D^{28}$: +10.6° ($c = 0.047$, CHCl_3) ข้อมูล IR แสดงแถบการดูดกลืนของหมู่ไฮดรอกซิล (3413 cm^{-1}) คอญูเกดเอสเทอร์ (1671 cm^{-1}) และพันธะคู่ (1616 cm^{-1}) ข้อมูล UV เหมือนสาร PTH14

ข้อมูล ^1H และ ^{13}C NMR ของสาร PTH17 (ตารางที่ 48 ภาพประกอบที่ 51 และ 52) คล้าย PTH14 มีข้อแตกต่างที่ไม่พบอะโรเมติกเมทอกซีโปรตอนที่ δ 3.39 (3H, s, OMe-6') ยืนยันโครงสร้างด้วยข้อมูล HMBC (รูปที่ 20 ตารางที่ 48) โดย H-8' [δ 6.87 (d , $J = 8.1 \text{ Hz}$)] แสดงความสัมพันธ์กับ C-4' (δ 127.4), C-6' (δ 144.0), C-7' (δ 147.0) และ C-9' (δ 122.3) จากข้อมูลทางสเปกโทรสโกปีและการเปรียบเทียบกับข้อมูลที่มีการรายงานแล้ว (Alvarenga *et al.*, 2000) สาร PTH17 คือ 3 β -(*E*)-caffeoyllupeol (ตารางที่ 49 และ 50) [$[\alpha]_D = +12.5^\circ$ ($c = 0.60$, CHCl_3)]

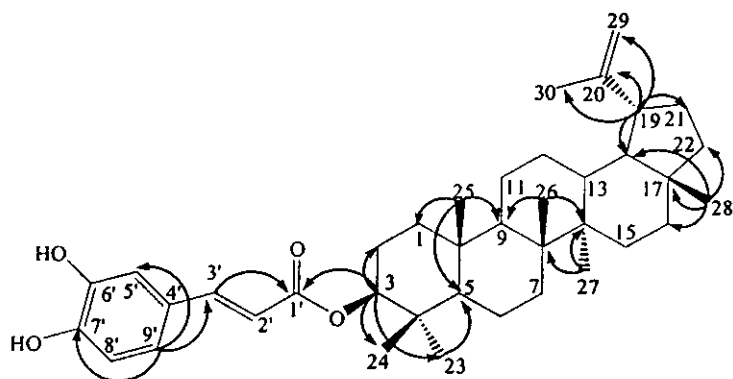
ตารางที่ 48 ข้อมูล ^1H NMR, ^{13}C NMR และ HMBC ของสาร PTH17 (CDCl_3)

ตำแหน่ง	δ_{C} (ppm)		δ_{H} (ppm)	HMBC
1	38.4	CH_2	1.63 (m), 1.68 (m) ^a	1', 2, 4, 23, 24
2	23.8	CH_2	1.69 (m), 1.74 (m) ^a	
3	81.5	CH	4.60 (m) ^a	
4	38.1	C	-	
5	55.4	CH	0.84 (m) ^a	
6	18.2	CH_2	1.42 (m), 1.54 (m) ^a	
7	34.2	CH_2	1.42 (m) ^a	
8	40.9	C	-	
9	50.4	CH	1.30 (m) ^a	
10	37.1	C	-	
11	27.5	CH_2	1.21 (m), 1.46 (m) ^a	
12	25.1	CH_2	1.16 (m) ^a	
13	38.1	CH	1.74 (m) ^a	
14	42.9	C	-	
15	21.0	CH_2	1.92 (m) ^a	
16	35.6	CH_2	1.53 (m) ^a	
17	43.0	C	-	
18	48.3	CH	1.38 (m) ^a	
19	48.0	CH	2.38 (dt, $J = 11.1, 5.7$ Hz)	
20	151.0	C	-	
21	29.9	CH_2	1.93 (m) ^a	
22	40.0	CH_2	1.20 (m), 1.40 (m) ^a	
23	28.0	CH_3	0.88 (s)	3, 4, 5, 24
24	16.7	CH_3	0.91 (s)	3, 4, 5, 23
25	16.2	CH_3	0.88 (s)	1, 5, 9, 10

ตารางที่ 48 (ต่อ)

ตำแหน่ง	δ_C (ppm)		δ_H (ppm)	HMBC
26	16.0	CH ₃	1.04 (s)	7, 8, 9, 14
27	14.6	CH ₃	0.95 (s)	8, 13, 14, 15
28	18.0	CH ₃	0.79 (s)	16, 17, 18, 22
29	109.4	CH ₂	4.57 (m), 4.69 (d, $J = 2.4$ Hz)	19, 20, 30
30	19.3	CH ₃	1.69 (s)	19, 20, 29
1'	168.0	C	-	-
2'	116.0	CH	6.26 (d, $J = 15.9$ Hz)	1', 3', 4'
3'	144.9	CH	7.56 (d, $J = 15.9$ Hz)	1', 2', 4', 5', 9'
4'	127.4	C	-	-
5'	114.4	CH	7.11 (d, $J = 1.8$ Hz)	3', 4', 6', 7', 9'
6'	144.0	C	-	-
7'	146.6	C	-	-
8'	115.4	CH	6.87 (d, $J = 8.1$ Hz)	4', 7', 9'
9'	122.3	CH	6.99 (dd, $J = 8.1, 1.8$ Hz)	3', 5', 7'

* ข้อมูลจาก HMQC



รูปที่ 20 ข้อมูล HMBC ของสาร PTH17

ตารางที่ 49 เปรียบเทียบข้อมูล $^1\text{H NMR}$ ของ $3\beta\text{-}(E)\text{-caffeoyllupeol}$ สาร PTH14
และสาร PTH17 (CDCl_3)

ตำแหน่ง	$3\beta\text{-}(E)\text{-caffeoyllupeol}$, δ_{H} (ppm)	สาร PTH14, δ_{H} (ppm)	สาร PTH17, δ_{H} (ppm)
3	4.60 (<i>t</i>)	4.62 (<i>dd</i> , $J = 9.0, 5.4$ Hz)	4.60 (<i>m</i>)
19	2.38 (<i>m</i>)	2.37 (<i>m</i>)	2.38 (<i>dt</i> , $J = 11.1, 5.7$ Hz)
23	0.89 (<i>s</i>)	0.88 (<i>s</i>)	0.88 (<i>s</i>)
24	0.91 (<i>s</i>)	0.89 (<i>s</i>)	0.91 (<i>s</i>)
25	0.89 (<i>s</i>)	0.92 (<i>s</i>)	0.88 (<i>s</i>)
26	1.04 (<i>s</i>)	1.04 (<i>s</i>)	1.04 (<i>s</i>)
27	0.96 (<i>s</i>)	0.95 (<i>s</i>)	0.95 (<i>s</i>)
28	0.79 (<i>s</i>)	0.79 (<i>s</i>)	0.79 (<i>s</i>)
29	4.58 (<i>br s</i>)	4.60 (<i>m</i>),	4.57 (<i>m</i>),
	4.70 (<i>br s</i>)	4.69 (<i>d</i> , $J = 2.1$ Hz)	4.69 (<i>d</i> , $J = 2.4$ Hz)
30	1.69 (<i>s</i>)	1.69 (<i>s</i>)	1.69 (<i>s</i>)
2'	6.26 (<i>d</i>)	6.29 (<i>d</i> , $J = 15.9$ Hz)	6.26 (<i>d</i> , $J = 15.9$ Hz)
3'	7.56 (<i>d</i>)	7.59 (<i>d</i> , $J = 15.9$ Hz)	7.56 (<i>d</i> , $J = 15.9$ Hz)
5'	7.12 (<i>s</i>)	7.03 (<i>d</i> , $J = 1.8$ Hz)	7.11 (<i>d</i> , $J = 1.8$ Hz)
8'	6.87 (<i>d</i>)	6.91 (<i>d</i> , $J = 8.1$ Hz)	6.87 (<i>d</i> , $J = 8.1$ Hz)
9'	7.00 (<i>d</i>)	7.07 (<i>dd</i> , $J = 8.1, 1.8$ Hz)	6.99 (<i>dd</i> , $J = 8.1, 1.8$ Hz)
OMe	-	3.93 (<i>s</i>)	-
OH	-	5.85 (<i>s</i>)	-

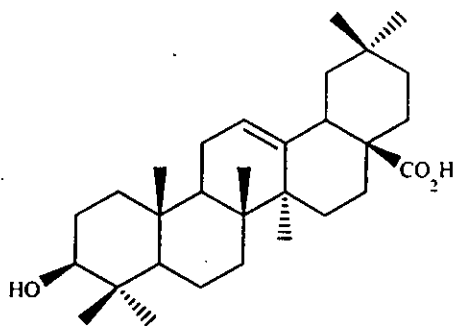
ตารางที่ 50 เปรียบเทียบข้อมูล ^{13}C NMR ของ 3β -(*E*)-caffeoyllupeol สาร PTH14 และสาร PTH17 (CDCl_3)

ตำแหน่ง	3β -(<i>E</i>)-caffeoyllupeol, δ_c (ppm)	สาร PTH14, δ_c (ppm)	สาร PTH17, δ_c (ppm)
1	38.4	38.5	38.4
2	23.8	23.9	23.8
3	81.2	80.9	81.5
4	38.0	38.1	38.1
5	55.4	55.5	55.4
6	18.2	18.3	18.2
7	34.2	34.3	34.2
8	40.9	40.9	40.9
9	50.3	50.4	50.4
10	37.1	37.2	37.1
11	27.4	21.0	27.5
12	25.1	25.2	25.1
13	38.0	38.1	38.1
14	42.8	42.9	42.9
15	20.9	27.5	21.0
16	35.6	35.6	35.6
17	43.0	43.0	43.0
18	48.3	48.3	48.3
19	48.0	48.0	48.0
20	150.9	151.0	151.0
21	29.8	29.9	29.9
22	40.4	40.0	40.0
23	28.0	28.0	28.0

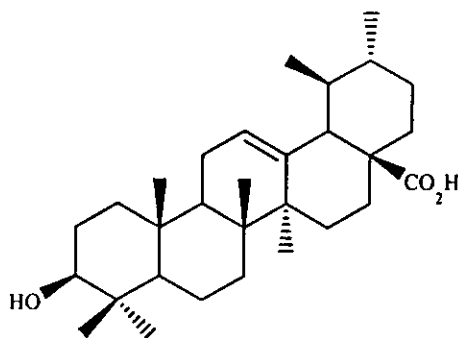
ตารางที่ 50 (ต่อ)

ตำแหน่ง	3β -(E)-caffeoyllupeol, δ_c (ppm)	สาร PTH14, δ_c (ppm)	สาร PTH17, δ_c (ppm)
24	16.6	16.2	16.7
25	16.2	16.7	16.2
26	16.0	16.0	16.0
27	14.5	14.6	14.6
28	18.0	18.0	18.0
29	109.3	109.4	109.4
30	19.3	19.3	19.3
1'	167.5	167.1	168.0
2'	116.3	116.3	116.0
3'	144.4	144.3	144.9
4'	127.6	127.2	127.4
5'	115.4	109.3	114.4
6'	143.8	146.8	144.0
7'	146.2	147.8	146.6
8'	114.3	114.7	115.4
9'	122.3	123.1	122.3
OMe	-	56.0	-

สาร PTH18 และ PTH19



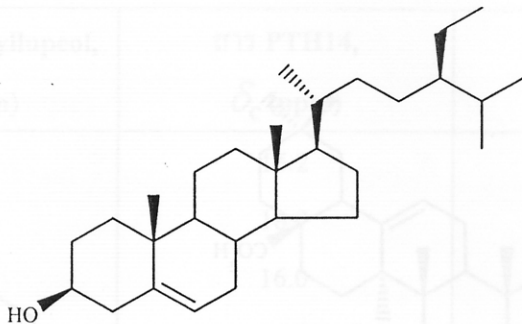
PTH18



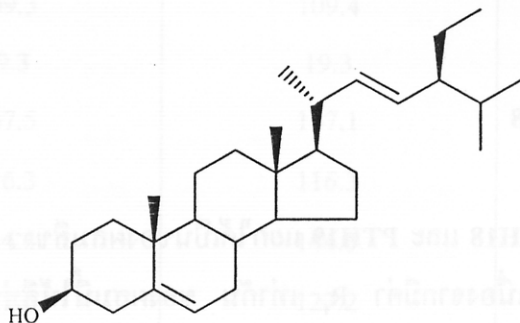
PTH19

สาร PTH18 และ PTH19 แยกได้เป็นของผสมสีขาว ซึ่งไม่สามารถแยกออกจากกันได้ด้วยวิธีโครมาโทกราฟี เนื่องจากมีค่า R_f เท่ากัน ของผสมนี้ให้สีม่วงกับ vanillin-sulfuric acid ข้อมูล IR แสดงแถบการดูดกลืนของหมู่ไฮดรอกซิล (3414 cm^{-1}) และหมู่คาร์บอนิล (1680 cm^{-1}) ข้อมูล $^1\text{H NMR}$ (ภาพประกอบที่ 53) แสดงสัญญาณของโอลิฟีนิกโปรตอนเป็นทริฟเลต 2 สัญญาณที่ δ 5.24 (1H, $J = 3.6\text{ Hz}$) และ 5.28 (1H, $J = 3.6\text{ Hz}$), สัญญาณของออกซีเมไธน์โปรตอน δ 3.20 (2H, dd , $J = 8.7, 6.9\text{ Hz}$) และเมไธน์โปรตอน δ 2.83 (1 H, dd , $J = 13.8, 3.6\text{ Hz}$) ข้อมูล $^{13}\text{C NMR}$ แสดงสัญญาณของคาร์บอกซิลคาร์บอน 2 สัญญาณ ที่ δ 181.1 และ 180.9 สัญญาณของโอลิฟีนิกคาร์บอน 2 สัญญาณที่ δ 122.4 และ 125.2 และ สัญญาณของควอเตอร์นารีคาร์บอนที่ δ 138.3 และ 144.0 ข้อมูล $^1\text{H NMR}$ และ $^{13}\text{C NMR}$ สอดคล้องกับข้อมูลที่มีรายงานแล้วของ oleanolic และ ursolic acid ดังนั้นคาดว่า สารผสมนี้คือ oleanolic และ ursolic acid (Seebacher *et al.*, 2003)

สาร PTH20 และ PTH21



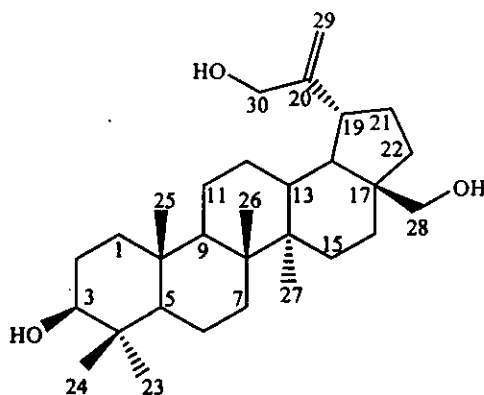
PTH20



PTH21

แยกสาร PTH20 และ PTH21 ได้เป็นของผสมสีขาว ข้อมูล IR แสดงแถบการดูดกลืนของ หมู่ไฮดรอกซิลที่ 3425 cm^{-1} และพันธะคู่ที่ 1642 cm^{-1} ข้อมูล $^1\text{H NMR}$ (ภาพประกอบที่ 54) แสดง สัญญาณของออกซิเมโธโปรตอนที่ δ 3.57-3.47 (*m*), โอลิฟินิกโปรตอน 3 สัญญาณที่ δ 5.36-5.34 (1H, *d*, $J = 5.1\text{ Hz}$), 5.16 (1H, *dd*, $J = 15.1, 8.4\text{ Hz}$) and 5.01 (1H, *dd*, $J = 15.1, 8.4\text{ Hz}$) ข้อมูล $^1\text{H NMR}$ สอดคล้องกับข้อมูลที่มีรายงานแล้วของ β -sitosterol และ stigmasterol (Cheenpracha, 2004) ดังนั้นสาร PTH20 และ PTH21 คือ β -sitosterol และ stigmasterol

สาร PTM1



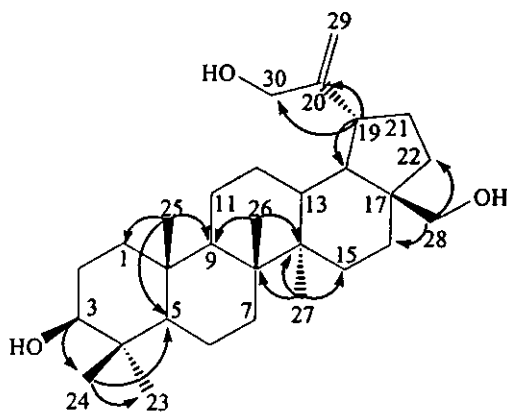
สาร PTM1 เป็นของแข็งสีขาว ให้สีม่วงกับการทดสอบ vanillin-sulfuric ข้อมูล IR คล้ายสาร PTH3 ไม่มีรายงานจุดหลอมเหลว และค่าสเปกโทรโรเดชัน เนื่องจากสารมีปริมาณน้อยและสลายตัว ข้อมูล ^1H และ ^{13}C NMR ของสาร PTM1 (ตารางที่ 51 ภาพประกอบที่ 55 และ 56) คล้าย ข้อมูลของสาร PTH3 และ PTH7 แต่ PTM1 แสดงสัญญาณเป็นซิงเกิลของหมู่เมทิลเพียง 5 หมู่ที่ δ 0.76, 0.82, 0.97, 0.98 และ 1.02 สัญญาณของโอลิฟินิก 2 โปรตอนที่ปลายโซ่ของ 2H-29 ปรากฏที่ δ 4.95 (*br d*, $J = 2.1$ Hz) และ 4.91 (*m*) ซึ่งเป็นสนามต่ำกว่าของ PTH3 (δ 4.68 and 4.58) นอกจากนี้พบสัญญาณแบบ AB ของออกซิเมทิลีน โปรตอนปรากฏที่ δ 3.30 และ 3.80 (*d*, $J = 11.4$ Hz, 2H-28) และสัญญาณเป็นซิงเกิลที่กว้างที่ δ 4.12 (2H, *br s*, 2H-30) ข้อมูล HMBC (รูปที่ 21 ตารางที่ 51) แสดงว่าออกซิเมทิลีน โปรตอน 2H-30 แสดงความสัมพันธ์กับ C-20 (δ 152.0) และ C-29 (δ 107.2) และ 2H-28 แสดงความสัมพันธ์กับ C-16 (δ 29.2) และ C-22 (δ 33.8) จากข้อมูลทางสเปกโทรสโกปี และเปรียบเทียบกับที่มีรายงานแล้ว (Gonzalez *et al.*, 1992) สาร PTM1 คือ $3\beta, 28, 30\text{-lup-20(29)\text{-ene-triol}}$ (ตารางที่ 54 และ 55)

ตารางที่ 51 ข้อมูล ^1H NMR, ^{13}C NMR และ HMBC ของสาร PTM1 (CDCl_3)

ตำแหน่ง	δ_{C} (ppm)		δ_{H} (ppm)	HMBC
1	38.7	CH_2		
2	27.4	CH_2		
3	80.0	CH	3.18 (<i>dd</i> , $J = 10.8, 5.1$ Hz)	24
4	38.9	C		
5	55.3	CH	0.68 (<i>m</i>)	
6	18.3	CH_2		
7	34.3	CH_2		
8	40.9	C		
9	50.4	CH		
10	37.2	C		
11	21.9	CH_2		
12	26.8	CH_2		
13	37.2	CH		
14	42.7	C		
15	27.0	CH_2		
16	29.2	CH_2		
17	47.8	C		
18	49.5	CH		
19	43.5	CH	2.30 (<i>m</i>)	18, 20, 29, 30
20	152.0	C		
21	31.6	CH_2		
22	33.8	CH_2		
23	28.0	CH_3	0.97 (<i>s</i>)	3, 4, 5, 24
24	15.4	CH_3	0.76 (<i>s</i>)	3, 4, 5, 23
25	16.1	CH_3	0.82 (<i>s</i>)	1, 5, 9, 10

ตารางที่ 51 (ต่อ)

ตำแหน่ง	δ_c (ppm)		δ_H (ppm)	HMBC
26	16.0	CH ₃	1.02 (s)	7, 8, 9, 14
27	14.8	CH ₃	0.98 (s)	8, 13, 14, 15
28	60.3	CH ₂	3.30 (d, $J = 11.4$ Hz), 3.80 (d, $J = 11.4$ Hz)	16, 22
29	107.2	CH ₂	4.95 (m), 4.91 (br s)	19, 20, 30
30	65.1	CH ₂	4.12 (br s)	20, 29



รูปที่ 21 ข้อมูล HMBC ของสาร PTM1

ตารางที่ 52 เปรียบเทียบข้อมูล ^1H NMR ของสาร PTH3 สาร PTH7 และสาร PTM1 (CDCl_3)

ตำแหน่ง	สาร PTH3, δ_{H} (ppm)	สาร PTH7, δ_{H} (ppm)	สาร PTM1, δ_{C} (ppm)
3	3.19 (<i>dd</i> , $J = 10.8, 5.1$ Hz)	3.19 (<i>dd</i> , $J = 10.8, 5.1$ Hz)	3.18 (<i>dd</i> , $J = 10.8, 5.1$ Hz)
5	0.68 (<i>m</i>)	0.68 (<i>m</i>)	0.68 (<i>m</i>)
19	2.38 (<i>m</i>)	2.28 (<i>m</i>)	2.30 (<i>m</i>)
23	0.97 (<i>s</i>)	0.97 (<i>s</i>)	0.97 (<i>s</i>)
24	0.76 (<i>s</i>)	0.76 (<i>s</i>)	0.76 (<i>s</i>)
25	0.82 (<i>s</i>)	0.83 (<i>s</i>)	0.82 (<i>s</i>)
26	1.02 (<i>s</i>)	1.03 (<i>s</i>)	1.02 (<i>s</i>)
27	0.98 (<i>s</i>)	0.94 (<i>s</i>)	0.98 (<i>s</i>)
28	3.33 (<i>d</i> , $J = 10.8$ Hz), 3.80 (<i>dd</i> , $J = 10.8, 1.5$ Hz)	0.78 (<i>s</i>)	3.30 (<i>d</i> , $J = 11.4$ Hz), 3.80 (<i>d</i> , $J = 11.4$ Hz)
29	4.58 (<i>m</i>), 4.68 (<i>d</i> , $J = 2.1$ Hz)	4.90 (<i>brs</i>), 4.93 (<i>brs</i>)	4.91 (<i>br s</i>), 4.95 (<i>d</i> , $J = 1.2$ Hz)
30	1.68 (<i>s</i>)	4.09 (<i>d</i> , $J = 15.3$ Hz), 4.14 (<i>d</i> , $J = 15.3$ Hz)	4.12 (<i>br s</i>)

ตารางที่ 53 เปรียบเทียบข้อมูล ^{13}C NMR ของสาร PTH3 สาร PTH7 และ สาร PTM1 (CDCl_3)

ตำแหน่ง	สาร PTH3, δ_{C} (ppm)	สาร PTH7, δ_{C} (ppm)	สาร PTM1, δ_{C} (ppm)
1	38.7	38.7	38.7
2	27.4	27.4	27.4
3	79.0	79.0	80.0
4	38.9	38.9	38.9
5	55.3	55.3	55.3
6	18.3	18.3	18.3
7	34.2	34.3	34.3
8	40.9	40.9	40.9

ตารางที่ 53 (ต่อ)

ตำแหน่ง	สาร PTH3, δ_c (ppm)	สาร PTH7, δ_c (ppm)	สาร PTM1, δ_c (ppm)
9	50.4	50.4	50.4
10	37.2	37.2	37.2
11	20.8	21.1	21.9
12	25.2	26.7	26.8
13	37.3	38.0	37.2
14	42.7	42.8	42.7
15	27.0	27.4	27.0
16	29.2	35.5	29.2
17	47.5	43.0	47.8
18	48.8	48.9	49.5
19	47.5	43.8	43.5
20	150.5	154.8	152.0
21	29.8	31.8	31.6
22	34.0	39.9	33.8
23	28.0	28.0	28.0
24	15.4	15.4	15.4
25	16.1	16.1	16.1
26	16.0	16.0	16.0
27	14.8	14.5	14.8
28	60.6	17.7	60.3
29	109.7	106.8	107.2
30	19.1	65.0	65.1

ตารางที่ 54 เปรียบเทียบข้อมูล ^1H NMR ของสาร $3\beta, 28, 30\text{-lup-20(29)\text{-ene-triol}}$ และสาร PTM1
(CDCl_3)

ตำแหน่ง	$3\beta, 28, 30\text{-lup-20(29)\text{-ene-triol}}$, δ_{H} (ppm)	สาร PTM1, δ_{H} (ppm)
3	3.15, 3.21 (<i>dd</i> , $J = 10.9, 5.6$ Hz)	3.18 (<i>dd</i> , $J = 10.8, 5.1$ Hz)
23	0.96 (<i>s</i>)	0.97 (<i>s</i>)
24	0.75 (<i>s</i>)	0.76 (<i>s</i>)
25	0.81 (<i>s</i>)	0.82 (<i>s</i>)
26	1.01 (<i>s</i>)	1.02 (<i>s</i>)
27	0.97 (<i>s</i>)	0.98 (<i>s</i>)
28	3.31 (<i>d</i> , $J = 10.6$ Hz), 3.79 (<i>d</i> , $J = 10.6$ Hz)	3.30 (<i>d</i> , $J = 11.4$ Hz), 3.80 (<i>d</i> , $J = 11.4$ Hz)
29	4.89 (<i>s</i>), 4.94 (<i>s</i>)	4.91 (<i>br s</i>), 4.95 (<i>d</i> , $J = 1.2$ Hz)
30	4.12 (<i>s</i>)	4.12 (<i>br s</i>)

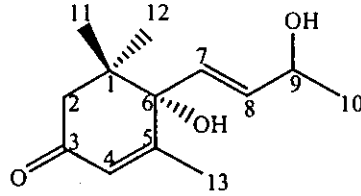
ตารางที่ 55 เปรียบเทียบข้อมูล ^{13}C NMR ของสาร $3\beta, 28, 30\text{-lup-20(29)\text{-ene-triol}}$ (CD_3OD)
และสาร PTM1 (CDCl_3)

ตำแหน่ง	$3\beta, 28, 30\text{-lup-20(29)\text{-ene-triol}}$, δ_{C} (ppm)	สาร PTM1, δ_{C} (ppm)
1	38.2	38.7
2	30.6	27.4
3	82.3	80.0
4	40.9	38.9
5	59.5	55.3
6	22.0	18.3
7	37.5	34.3

ตารางที่ 55 (ต่อ)

ตำแหน่ง	$3\beta, 28, 30\text{-lup-20(29)\text{-ene-triol,}}$ δ_c (ppm)	สาร PTM1, δ_c (ppm)
8	42.7	40.9
9	54.5	50.4
10	32.2	37.2
11	24.7	21.9
12	30.8	26.8
13	41.3	37.2
14	44.8	42.7
15	33.0	27.0
16	38.0	29.2
17	46.4	47.8
18	53.3	49.5
19	47.4	43.5
20	150.7	152.0
21	35.4	31.6
22	33.1	33.8
23	31.2	28.0
24	19.3	15.4
25	18.6	16.1
26	19.2	16.0
27	17.8	14.8
28	62.9	60.3
29	109.8	107.2
30	67.8	65.1

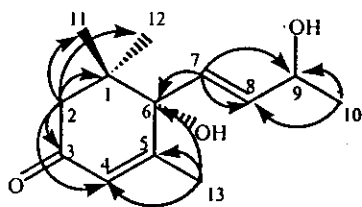
สาร PTM2



สาร PTM2 เป็นของหนืดไม่มีสี $[\alpha]_D^{28} : +36.6^\circ (c = 0.041, \text{CHCl}_3)$ ข้อมูล UV ($\lambda_{\text{max}} 235 \text{ nm}$) และ IR ($\nu_{\text{max}} 1660 \text{ cm}^{-1}$) แสดงแถบดูดกลืนของ α, β -unsaturated ketone (ภาพประกอบที่ 57)

ข้อมูล ^{13}C NMR (ตารางที่ 56 ภาพประกอบที่ 59) แสดง 13 สัญญาณของ 13 คาร์บอน ซึ่งอาศัยข้อมูลของ DEPT 90° และ DEPT 135° จำแนกได้เป็น 4 เมทิล (δ 18.9, 22.9, 23.8 and 24.1) 1 เมทิลีน (δ 49.7), 4 เมไทน์ (δ 68.0, 126.9, 129.0 และ 135.8), 3 ควอเตอร์นารี (δ 41.2, 79.1, 162.6) และ 1 คาร์บอนิล คาร์บอน (δ 197.9)

ข้อมูล ^1H NMR (ภาพประกอบที่ 58 ตารางที่ 56) แสดงสัญญาณของ nor-sesquiterpenoids เป็นสัญญาณของเมทิล 4 หมู่ δ 1.01 (s), 1.08 (s), 1.31 (d, $J = 6.6 \text{ Hz}$) และ 1.90 (d, $J = 1.2 \text{ Hz}$) สัญญาณของโอลิฟินิกเมไทน์โปรตอน 2 ตัวปรากฏที่ δ 5.85 (1H, dd, $J = 15.6, 0.6 \text{ Hz}$, H-7) และ δ 5.78 (1H, dd, $J = 15.6, 5.1 \text{ Hz}$, H-8) ค่าคงที่การคู่ควบแสดงว่าพันธะคู่จัดตัวแบบทรานส์ นอกจากนั้น ยังปรากฏสัญญาณของเมไทน์โปรตอนที่ δ 5.91 (t, $J = 1.2 \text{ Hz}$, H-4) และสัญญาณของออกซีเมไทน์โปรตอนที่ δ 4.42 (1H, qn, $J = 6.6 \text{ Hz}$, H-9) สัญญาณแบบ AB ของเมทิลีนโปรตอนปรากฏที่ δ 2.46 (d, $J = 17.1 \text{ Hz}$, H-2a) and 2.25 (1H, d, $J = 17.1 \text{ Hz}$, H-2b) ข้อมูล HMBC (ตารางที่ 56 รูปที่ 22) ยืนยันตำแหน่งสัญญาณแบบ AB ของเมทิลีนโปรตอนที่ตำแหน่ง C-2 โดยสัญญาณของ 2H-2 (δ 2.46 และ 2.25) แสดงความสัมพันธ์กับ C-1 (δ 41.2), C-3 (δ 197.9), C-4 (δ 126.9), C-6 (δ 79.1), C-11 (δ 22.9) และ C-12 (δ 24.1) ไวนิลิกเมทิลโปรตอนที่ δ 1.90 (3H-13) แสดงความสัมพันธ์กับ C-4 (δ 126.9), C-5 (δ 162.6) และ C-6 (δ 79.1) แสดงว่าพันธะคู่อยู่ระหว่าง C-4 และ C-5 นอกจากนั้น พบว่าทรานส์โอลิฟินิกโปรตอน H-8 แสดงความสัมพันธ์กับ C-6 (δ 79.1), C-7 (δ 129.0) and C-9 (δ 68.0) จากข้อมูลทางสเปกโทรสโกปีและเปรียบเทียบกับข้อมูลที่มีรายงานแล้ว (Kisiel *et al.*, 2004) สาร PTM2 คือ blumenol A (ตารางที่ 57 และ 58) $[\alpha]_D^{22} = +41.0^\circ (c = 0.01, \text{CHCl}_3)$



รูปที่ 22 ข้อมูล HMBC ของสาร PTM2

ตารางที่ 56 ข้อมูล ^1H NMR, ^{13}C NMR และ HMBC ของสาร PTM2 (CDCl_3)

ตำแหน่ง	δ_{C} (ppm)		δ_{H} (ppm)	HMBC
1	41.2	C	-	
2	49.7	CH_2	2.25, 2.46 (each d, $J = 17.1$ Hz)	1, 3, 4, 6, 11, 12
3	197.9	C	-	-
4	126.9	CH	5.91 (m)	2, 6, 13
5	162.6	C	-	-
6	79.1	C	-	-
7	129.0	CH	5.78 (dd, $J = 15.6, 0.6$ Hz)	6, 8, 9
8	135.8	CH	5.85 (dd, $J = 15.6, 5.1$ Hz)	5, 6, 7, 9
9	68.0	CH	4.42 (qn, $J = 6.6$ Hz)	7, 8, 10
10	23.8	CH_3	1.31 (d, $J = 6.6$ Hz)	8, 9
11	22.9	CH_3	1.08 (s)	1, 2, 6, 12
12	24.1	CH_3	1.01 (s)	1, 2, 3, 6, 11
13	18.9	CH_3	1.90 (d, $J = 1.2$ Hz)	4, 5, 6

ตารางที่ 57 เปรียบเทียบสัญญาณ ^1H NMR ของ Blumenol A และ สาร PTM2 (CDCl_3)

ตำแหน่ง	Blumenol A, δ_{H} (ppm)	สาร PTM2, δ_{H} (ppm)
2a	2.25 (d, $J = 16.8$ Hz)	2.25 (d, $J = 17.1, 1.2$ Hz),
2b	2.45 (d, $J = 16.8$ Hz)	2.46 (d, $J = 17.1$ Hz)
4	5.91 (br s)	5.91 (m)
7	5.79 (d, $J = 15.7$ Hz)	5.78 (dd, $J = 15.6, 0.6$ Hz)

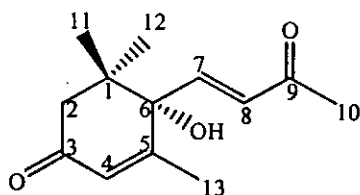
ตารางที่ 57 (ต่อ)

ตำแหน่ง	Blumenol A, δ_{H} (ppm)	สาร PTM2, δ_{H} (ppm)
8	5.87 (<i>dd</i> , $J = 15.7, 5.1$ Hz)	5.85 (<i>dd</i> , $J = 15.6, 5.1$ Hz)
9	4.42 (<i>m</i>)	4.42 (<i>qn</i> , $J = 6.6$ Hz)
10	1.30 (<i>d</i> , $J = 6.3$ Hz)	1.31 (<i>d</i> , $J = 6.6$ Hz)
11	1.02 (<i>s</i>)	1.08 (<i>s</i>)
12	1.11 (<i>s</i>)	1.01 (<i>s</i>)
13	1.90 (<i>br s</i>)	1.90 (<i>d</i> , $J = 1.2$ Hz)

ตารางที่ 58 เปรียบเทียบข้อมูล ^{13}C NMR ของสาร Blumenol A และ สาร PTM2 (CDCl_3)

ตำแหน่ง	Blumenol A, δ_{C} (ppm)	สาร PTM2, δ_{C} (ppm)
1	41.1	41.2
2	49.7	49.7
3	197.9	197.9
4	127.0	126.9
5	162.6	162.6
6	79.1	79.1
7	135.7	129.0
8	129.0	135.8
9	68.1	68.0
10	23.8	23.8
11	22.9	22.9
12	24.0	24.1
13	18.9	18.9

สาร PTM3



สาร PTM3 เป็นของหนืดไม่มีสี $[\alpha]_D^{28} : +125.0^\circ$ ($c = 0.032$, CHCl_3) ข้อมูล UV และ IR คล้าย
สาร PTM2

ข้อมูล ^1H และ ^{13}C NMR (ภาพประกอบที่ 63 และ 64 ตารางที่ 59) คล้ายสาร PTM2 แต่
สัญญาณของออกซิเมโทมโปรตอนที่พบในสาร PTM2 ที่ $\delta 4.42$ (1H, qn, $J = 6.6$ Hz, H-9) และ
สัญญาณคัพเลตของ 3H-10 ที่ $\delta 1.31$ ถูกแทนที่ด้วยสัญญาณของอะเซทิลโปรตอน ที่ $\delta 2.24$ (3H, s)
ยืนยันสัญญาณของโปรตอนและคาร์บอนด้วยข้อมูล HMQC และ HMBC ข้อมูล HMBC (รูปที่ 23
ตารางที่ 59) แสดงว่าเมทิลโปรตอน (3H-10) แสดงความสัมพันธ์กับ C-7 ($\delta 143.9$), C-8 ($\delta 129.4$)
และ C-9 ($\delta 197.0$) จากข้อมูลทางสเปกโทรสโกปีและเปรียบเทียบกับข้อมูลที่มีการรายงานแล้ว
(Gonzalez *et al.*, 1994) PTM3 คือ dehydrovomifoliol (ตารางที่ 60 และ 61) $[[\alpha]_D^{28} = +134.4^\circ$
($c = 0.11$, CHCl_3)]

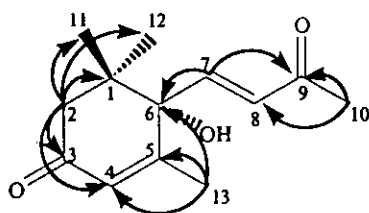
ตารางที่ 59 ข้อมูล ^1H NMR, ^{13}C NMR และ HMBC ของสาร PTM3 (CDCl_3)

ตำแหน่ง	δ_c (ppm)		δ_H (ppm)	HMBC
1	40.1	C		
2	48.6	CH_2	2.44 ($d, J = 17.7$ Hz) 2.27 ($d, J = 17.7$ Hz)	1, 3, 4, 6, 11, 12
3	197.0 $^\circ$	C	-	
4	126.8	CH	5.89 (<i>br s</i>)	13
5	159.1	C	-	
6	79.0	C	-	
7	143.9	CH	6.76 ($d, J = 15.9$ Hz)	6, 9
8	129.4	CH	6.40 ($d, J = 15.9$ Hz)	6, 7, 9
9	197.0 $^\circ$	C	-	

ตารางที่ 59 (ต่อ)

ตำแหน่ง	δ_C (ppm)		δ_H (ppm)	HMBC
10	27.4	CH ₃	2.24 (s)	7, 8, 9
11	23.3	CH ₃	0.96 (s)	1, 2, 6, 12
12	21.9	CH ₃	1.04 (s)	1, 2, 6, 11
13	17.6	CH ₃	1.82 (d, $J = 1.5$ Hz)	4, 5, 6, 7

^c ข้อมูลมาจาก HMBC



รูปที่ 23 ข้อมูล HMBC ของสาร PTM3

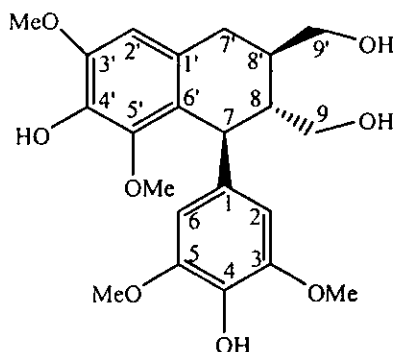
ตารางที่ 60 เปรียบเทียบข้อมูล ¹H NMR ของ dehydrovomifoliol สาร PTM2 และ PTM3 (CDCl₃)

ตำแหน่ง	dehydrovomifoliol, δ_H (ppm)	สาร PTM2, δ_H (ppm)	สาร PTM3, δ_H (ppm)
2	2.33 (d, $J = 17.2$ Hz), 2.49 (d, $J = 17.2$ Hz)	2.25 (dd, $J = 17.1, 1.2$ Hz), 2.46 (d, $J = 17.1$ Hz)	2.27 (d, $J = 17.7$ Hz), 2.44 (d, $J = 17.7$ Hz)
4	5.95 (t-like)	5.91 (t, $J = 1.2$ Hz)	5.89 (br s)
7	6.82 (d, $J = 15.7$ Hz)	5.78 (dd, $J = 15.6, 0.6$ Hz)	6.76 (d, $J = 15.9$ Hz)
8	6.45 (d, $J = 15.7$ Hz)	5.85 (dd, $J = 15.6, 5.1$ Hz)	6.40 (d, $J = 15.9$ Hz)
9	-	4.42 (dt, $J = 11.7, 6$ Hz)	-
10	2.30 (s)	1.31 (d, $J = 6.6$ Hz)	2.24 (s)
11	1.10 (s)	1.08 (s)	0.96 (s)
12	1.02 (s)	1.01 (s)	1.04 (s)
13	1.88 (d, $J = 1.4$ Hz)	1.90 (d, $J = 1.2$ Hz)	1.82 (d, $J = 1.5$ Hz)

ตารางที่ 61 เปรียบเทียบข้อมูล ^{13}C NMR ของ blumenol A สาร PTM2 และ PTM3 (CDCl_3)

ตำแหน่ง	Dehydrovomifoliol, δ_{C} (ppm)	สาร PTM2, δ_{C} (ppm)	สาร PTM3, δ_{C} (ppm)
1	41.4	41.2	40.1
2	49.6	49.7	48.6
3	197.2	197.9	197.0
4	127.9	126.9	126.8
5	160.1	162.6	159.1
6	79.3	79.1	79.0
7	144.9	129.0	143.9
8	130.4	135.8	129.4
9	196.8	68.0	197.0
10	28.4	23.8	27.4
11	24.3	22.9	23.3
12	22.9	24.1	21.9
13	18.6	18.9	17.6

สาร PTM4



สาร PTM4 เป็นสารหนืดไม่มีสี $[\alpha]_D^{28} + 34.5^\circ$ ($c = 0.220$, MeOH) ข้อมูล IR แสดงแถบดูดกลืนที่ของหมู่ไฮดรอกซิลที่ 3401 cm^{-1} และวงแหวนอะโรมาติกที่ $1612, 1500\text{ cm}^{-1}$ แถบดูดกลืนของ UV สเปกตรัม ปรากฏที่ 236 and 280 nm (ภาพประกอบที่ 65)

ข้อมูล ^{13}C NMR (ภาพประกอบที่ 67 ตารางที่ 63) แสดง 19 สัญญาณของ 22 คาร์บอน อาศัยข้อมูลของ DEPT 90° และ DEPT 135° ระบุชนิดของคาร์บอนเป็น 4 เมทอกซีคาร์บอน (δ 56.1, 56.4, 56.4 and 59.5), 3 เมทิลีน คาร์บอน (δ 33.5, 64.0 and 66.8) 6 เมทิลีนคาร์บอน (δ 40.4, 43.1, 49.5, 105.4, 105.4 และ 105.9) และ 9 ควอเตอร์นารีคาร์บอน (δ 125.2, 128.6, 133.0, 137.0, 138.3, 145.5, 146.0, 146.8 and 146.8)

ข้อมูล ^1H , ^{13}C NMR และ DEPT ของสาร PTM4 ระบุว่าเป็นสัญญาณของ aryl-tetralin type lignan (ตารางที่ 63)

ข้อมูล ^1H NMR (ภาพประกอบที่ 66 ตารางที่ 63) แสดงสัญญาณของหมู่ไฮดรอกซิล 2 หมู่ที่ δ 5.37 และ 5.40 (each 1H, s, -OH) ซึ่งสัญญาณทั้งสองนี้หายไปเมื่อเขย่ากับ D_2O พบสัญญาณ 4 ซิงเกิลดของอะโรมาติกเมทอกซี 4 หมู่ที่ δ 3.30, 3.80, 3.80 และ 3.89 สัญญาณของอะโรมาติกเมทิลีนโปรตอน 2 ตัวปรากฏที่ δ 6.35 (2H, s, H-2 and H-6) และอะโรมาติกเมทิลีนโปรตอนอีก 1 ตัวปรากฏที่ δ 6.45 (1H, s, H-2') นอกจากนั้นยังพบสัญญาณของออกซีเมทิลีนโปรตอนที่ δ 3.58, 3.82 (2H, m, 2H-9) และ 3.64 (1H) และ 3.78 (1H) ซึ่งเป็นสัญญาณของ 2H-9' ระบุตำแหน่งสัญญาณของ ^{13}C และ ^1H NMR โดยใช้ข้อมูลประกอบจาก ^1H - ^1H COSY (ภาพประกอบที่ 69) NOESY (ตารางที่ 62) และ HMBC (ตารางที่ 63) จากข้อมูล HMBC เมทิลีนโปรตอนที่ δ 4.02 (H-7) แสดงความสัมพันธ์กับ C-1 (δ 138.3), C-2 (δ 105.4), C-6 (δ 105.4), C-8 (δ 49.5), C-1' (δ 128.6), C-6' (δ 125.2) และ C-8' (δ 40.4) ยืนยันตำแหน่งเมทิลีนโปรตอน 2H-9 และ 2H-9' ด้วยข้อมูล COSY ใช้ข้อมูล NOESY ระบุสเตอริโอเคมีของ

PTM4 โดยโปรตอน H-7 (δ 4.02), แสดงความสัมพันธ์กับ H-8' (δ 1.75) แต่ไม่เห็นสัญญาณ H-8 (δ 1.93) แสดงว่า H-7 และ H-8' อยู่ด้านเดียวกัน แต่อยู่คนละด้านกับ H-8 จากข้อมูลทางสเปกโทรสโกปี และเปรียบเทียบกับข้อมูลที่มีรายงานแล้ว (Zhang *et al.*, 1999) สาร PTM4 คือ lyoniresinol (ตารางที่ 64 และ 65) [$[\alpha]_D^{25} = +68.0^\circ$ ($c = 0.10$, MeOH)]

ตารางที่ 62 ข้อมูล NOESY ของสาร PTM4

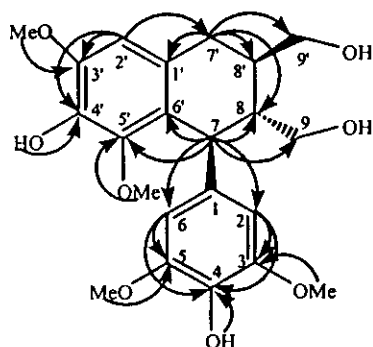
δ_H (ppm)	แสดงความสัมพันธ์กับ δ_H (ppm)
H-2	OMe-3, H-8
H-6	H-7, OMe-5, OMe-5'
H-7	H-2, H-6, H-8', H-9'
H-8	H-9', H-2
H-8'	H-7', H-9'
H-2'	H-7', OMe-3'

ตารางที่ 63 ข้อมูล ^1H NMR, ^{13}C NMR และ HMBC ของสาร PTM4 (CDCl_3)

ตำแหน่ง	δ_C (ppm)		δ_H (ppm)	HMBC
1	138.3	C	-	
2	105.4	CH	6.35 (s)	1, 3, 4, 6, 7
3	146.8	C	-	
4	133.0	C	-	
5	146.8	C	-	
6	105.4	CH	6.35 (s)	1, 2, 4, 5, 7
7	43.1	CH	4.02 (d, $J = 7.8$ Hz)	1, 2, 6, 8, 9, 1', 5', 6', 8'
8	49.5	CH	1.93 (m)	
9	64.0	CH ₂	3.58 (m) ^a , 3.82 (m) ^a	8', 7
1'	128.6	C	-	
2'	105.9	CH	6.45 (s)	3', 4', 6', 7'

ตารางที่ 63 (ต่อ)

ตำแหน่ง	δ_C (ppm)		δ_H (ppm)	HMBC
3'	146.0	C	-	
4'	137.0	C	-	
5'	145.5	C	-	
6'	125.2	C	-	
7'	33.5	CH ₂	2.68 (<i>dd</i> , $J = 15.3, 11.4$ Hz) 2.59 (<i>dd</i> , $J = 15.3, 4.5$ Hz)	8, 1', 2', 6', 8', 9'
8'	40.4	CH	1.75 (<i>m</i>)	-
9'	66.8	CH ₂	3.64 (<i>m</i>) ^a , 3.78 (<i>m</i>) ^a	8, 7'
OMe-3	56.4	CH ₃	3.80 (<i>s</i>)	3
OMe-5	56.4	CH ₃	3.80 (<i>s</i>)	5
OMe-3'	56.1	CH ₃	3.89 (<i>s</i>)	3'
OMe-5'	59.5	CH ₃	3.30 (<i>s</i>)	5'
OH-4	-	-	5.40 (<i>s</i>)	3, 4, 5
OH-4'	-	-	5.37 (<i>s</i>)	3', 4', 5'

^a ข้อมูลได้จาก HMQC

รูปที่ 24 แสดงข้อมูล HMBC ของสาร PTM4

ตารางที่ 64 เปรียบเทียบข้อมูล ^1H NMR ของ lyoniresinol และ สาร PTM4

ตำแหน่ง	lyoniresinol, δ_{H} (ppm) (acetone- d_6)	สาร PTM4, δ_{H} (ppm) (CDCl_3)
2	6.29 (s)	6.35 (s)
6	6.29 (s)	6.35 (s)
7	4.23 (d, $J = 5.8$ Hz)	4.02 (d, $J = 7.8$ Hz)
8	1.86 (m)	1.93 (m)
9	3.26 (m)	3.80 (m)
2'	6.54 (s)	6.45 (s)
7'	2.38 (dd, $J = 14.0, 11.8$ Hz), 2.58 (dd, $J = 14.8, 4.6$ Hz)	2.59 (dd, $J = 15.3, 4.5$ Hz), 2.68 (dd, $J = 15.3, 11.4$ Hz)
8'	1.44 (m)	1.75 (m)
9'	3.45 (m), 3.85 (m)	3.58 (dd, $J = 11.4, 6.6$ Hz), 3.64 (dd, $J = 11.4, 6.6$ Hz)
OMe-3	3.64 (s)	3.80 (s)
OMe-5	3.64 (s)	3.80 (s)
OMe-3'	3.77 (s)	3.89 (s)
OMe-5'	3.35 (s)	3.30 (s)
OH-4	7.39 (s)	5.40 (s)
OH-4'	7.16 (s)	5.37 (s)

ตารางที่ 65 เปรียบเทียบข้อมูล ^{13}C NMR ของ lyoniresinol และสาร PTM4

ตำแหน่ง	lyoniresinol, δ_{C} (ppm) (acetone- d_6)	สาร PTM4, δ_{C} (ppm) (CDCl_3)
1	137.8	138.3
2	106.5	105.4
3	147.7	146.8
4	134.8	133.0

ตารางที่ 65 (ต่อ)

ตำแหน่ง	lyoniresinol, δ_c (ppm) (acetone- d_6)	สาร PTM4, δ_c (ppm) (CDCl $_3$)
5	147.7	146.8
6	106.5	105.4
7	40.4	43.1
8	46.8	49.5
9	62.7	64.0
1'	128.8	128.6
2'	107.0	105.9
3'	147.0	146.0
4'	137.3	137.0
5'	146.6	145.5
6'	125.1	125.2
7'	32.3	33.5
8'	39.3	40.4
9'	64.9	66.8
OMe-3	56.4	56.4
OMe-5	56.4	56.4
OMe-3'	55.9	56.1
OMe-5'	59.2	59.5

3.2 ฤทธิ์ทางชีวภาพของสารที่สกัดแยกได้จากใบโปรงขาว

3.2.1 ฤทธิ์ต้านเชื้อแบคทีเรีย และ เชื้อรา

ส่วนสกัดหยาบ เฮกเซน เมทิลีนคลอไรด์ และ อะซิโตน ไม่แสดงฤทธิ์ต้านเชื้อราและเชื้อแบคทีเรีย จึงไม่ได้ส่งสารบริสุทธิ์ไปทดสอบ

3.2.2 ฤทธิ์ต้านโปรโตซัว

ส่วนสกัดหยาบ เฮกเซน เมทิลีนคลอไรด์ และ อะซิโตน ไม่แสดงฤทธิ์ต้าน โปรโตซัว จึงไม่ได้ส่งสารบริสุทธิ์ไปทดสอบ

3.2.3 ความเป็นพิษต่อเซลล์

เฉพาะส่วนสกัดหยาบเมทิลีนคลอไรด์ แสดงฤทธิ์อ่อนต่อ NCI-H187 cell lines (human small cell lung cancer) ได้ส่งสารบริสุทธิ์ที่มีปริมาณมากพอไปทดสอบ ผลทดสอบพบว่าสาร PTH5 แสดงฤทธิ์ก่อนข้างดี (IC_{50} 2.90 mg/mL) สาร PTH6 และ PTH16 แสดงฤทธิ์ปานกลาง โดยมีค่า IC_{50} 8.48 และ 6.20 mg/mL ตามลำดับ

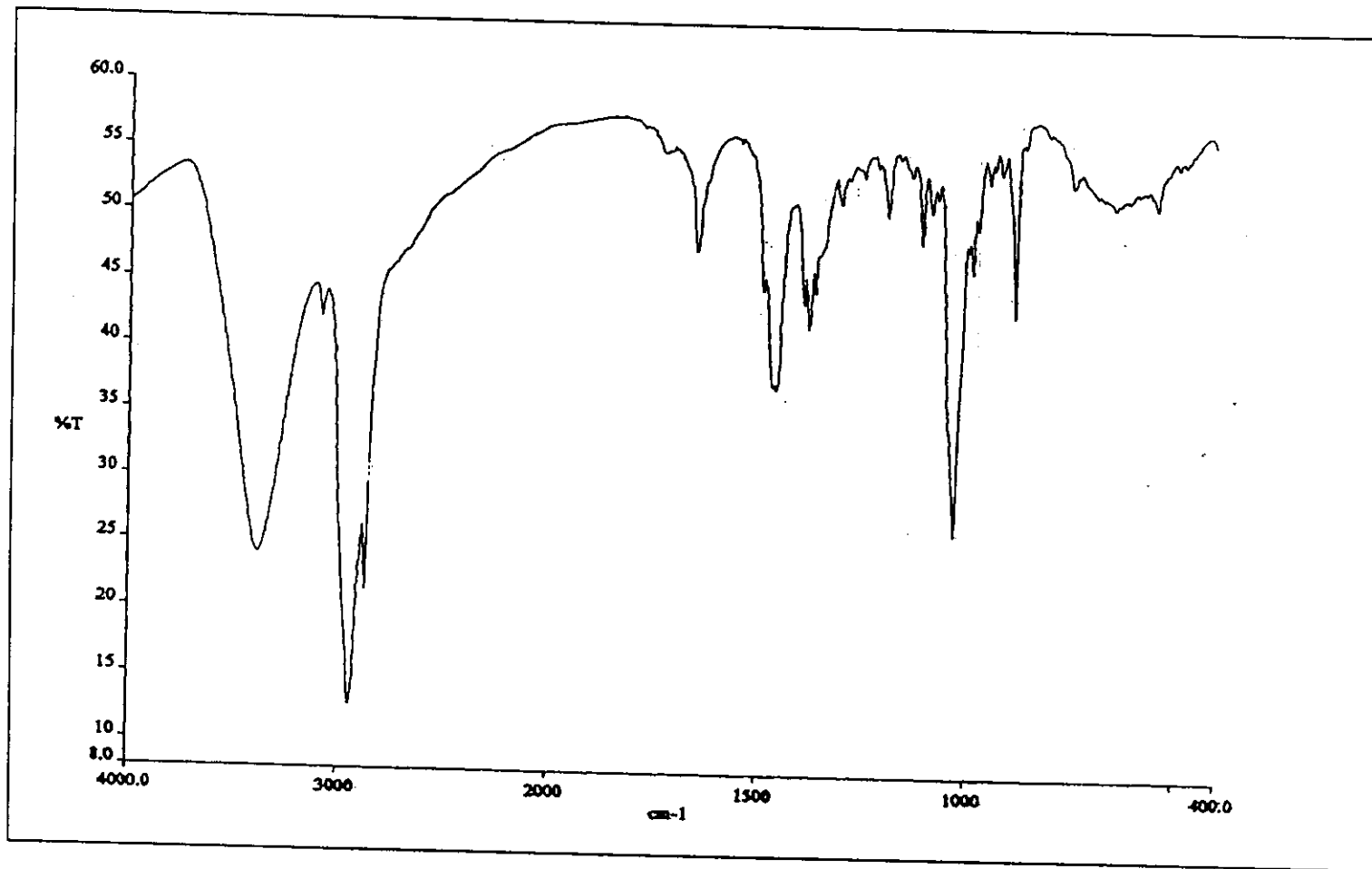
3.3 สรุปผลการทดลอง

จากใบโปรงขาวแห้ง 3.9 กิโลกรัม แยกได้สาร จำนวน 25 สาร โดยสารทั้งหมดแยกได้จากส่วนสกัดหยาบเฮกเซนและเมทิลีนคลอไรด์ เป็นสารประเภทไตรเทอร์พีน จำนวน 20 สาร สเตอรอยด์ 2 สาร นอร์เซสควิเทอร์พีน 2 สาร และ ลิกแนน 1 สาร ในจำนวนนี้เป็นสารผสม 4 สาร และสารใหม่ 3 สาร โดยมี Lupeol เป็นสารหลัก น้ำหนักรวม 27.26 กรัม และสารอนุพันธ์ของ Lupeol อีก 17 สาร ดังแสดงในตารางที่ 66

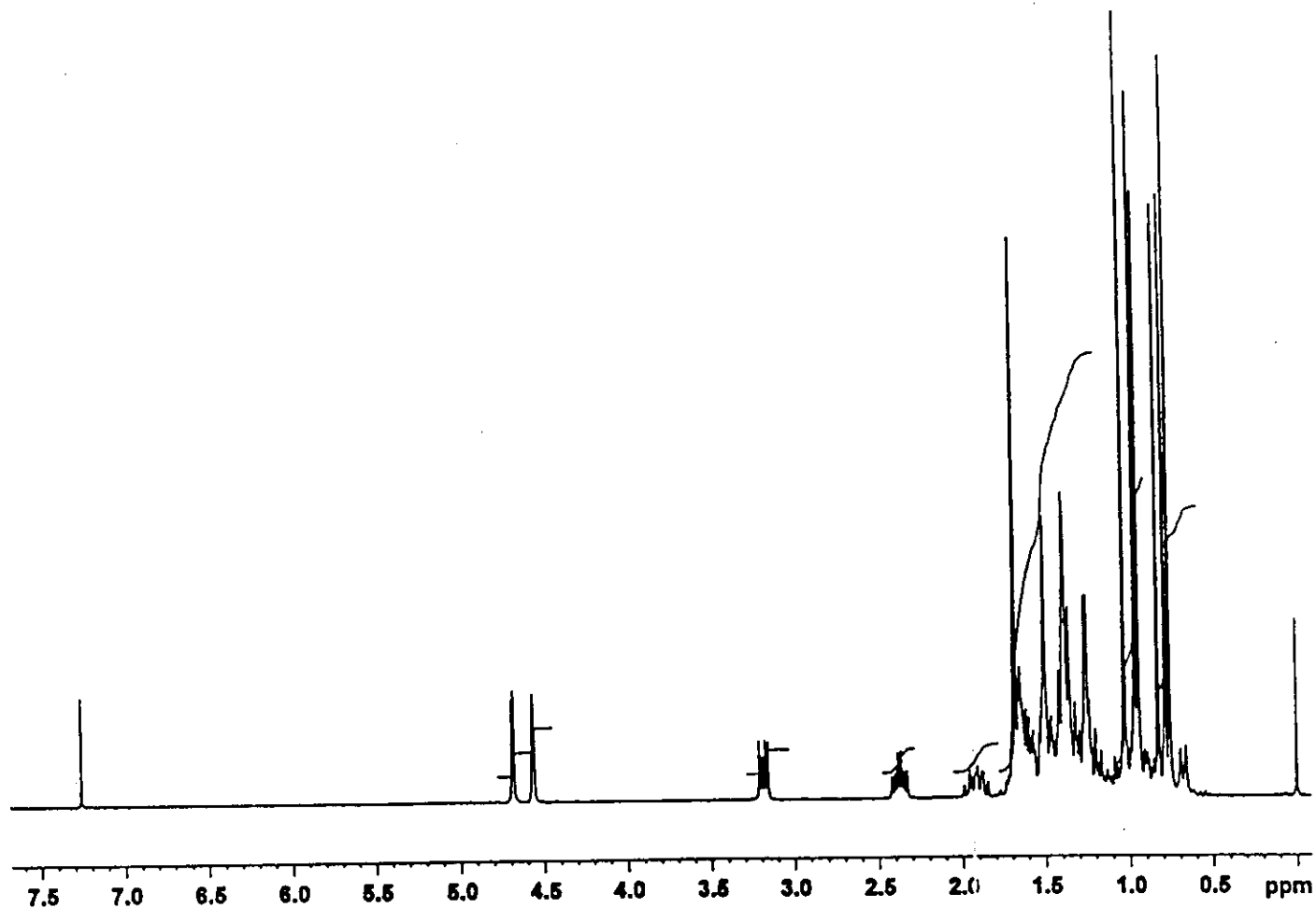
ตารางที่ 66 สรุปข้อมูลสารที่แยกได้จากใบโปรงขาว

รหัส	สาร	น้ำหนัก
PTH1	Lupeol	27.26 g
PTH2	Lupenone	67.3 mg
PTH3	Betulin	267.8 mg
PTH4	Betulinaldehyde	3.5 mg
PTH5	Betulinic acid	859.2 mg
PTH6	3- <i>epi</i> -Betulinic acid	82.6 mg
PTH7	Lup-20(29)-en-3 β ,30-diol	19.5 mg
PTH8	30-nor-Lupan-3 β -ol-20-one	62.4 mg
PTH9	3 β -Hydroxylupan-29-oic acid	5.9 mg
PTH10	3 β , 20-Dihydroxylupane	13.1 mg
PTH11	3 β - <i>E</i> -Coumaroyllupeol	510.8 mg
PTH12	3 β - <i>Z</i> -Coumaroyllupeol	9.6 mg
*PTH13	3 β -(3', 7'-Dihydroxy)dihydrocinnamoyllupeol	10.2 mg
*PTH14	3 β - <i>E</i> -Feruloyllupeol	5.5 mg
*PTH15	3 β - <i>Z</i> -Feruloyllupeol	1.4 mg
PTH16	3 β - <i>E</i> -Feruloylbetulin	16.4 mg
PTH17	3 β - <i>E</i> -Caffeoyllupeol	23.2 mg
^a PTH18 +	Oleanolic acid +	12.2 mg
^a PTH19	Ursolic acid	
^b PTH20 +	β -Sitosterol +	886.7 mg
^b PTH21	Stigmasterol	
PTM1	3 β ,28,30-Lup-20(29)-ene-triol	2.7 mg
^c PTM2	Blumenol A	12.7 mg
^c PTM3	Dehydrovomifoliol	3.2 mg
^d PTM4	Lyoniresinol	4.8 mg

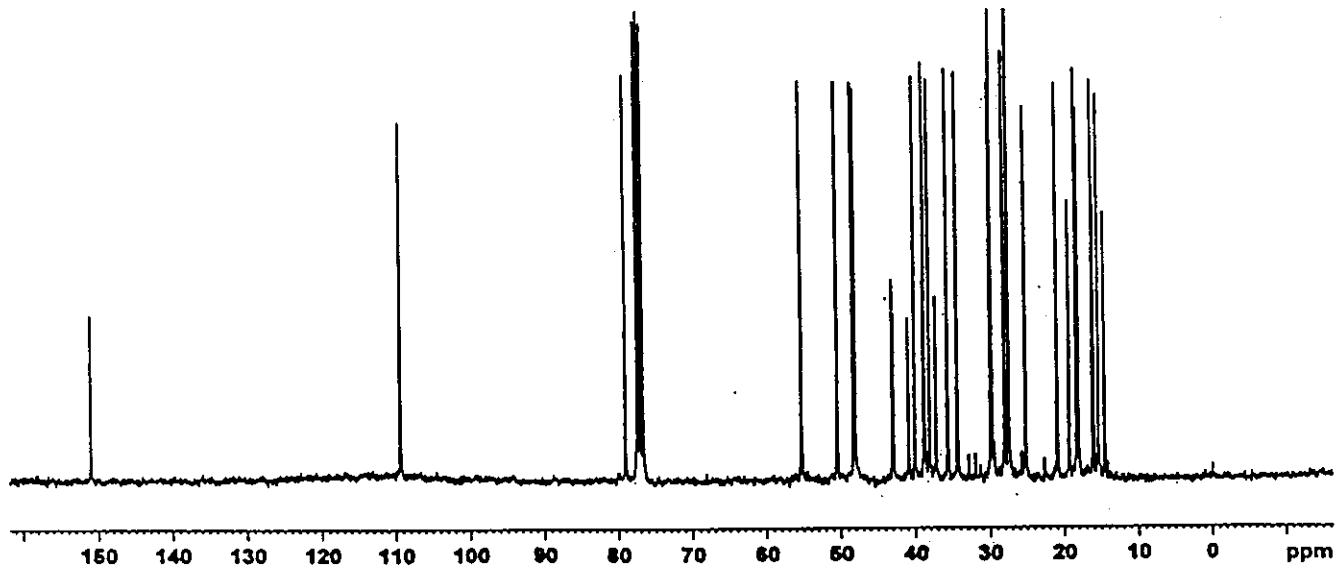
^a = สารใหม่ ^b = สารประเภทไตรเทอร์พีน ^c = สารประเภทสเตอรอยด์ ^d = สารประเภทนอร์เซสควิเทอร์พีน " = สารประเภทลิแกน



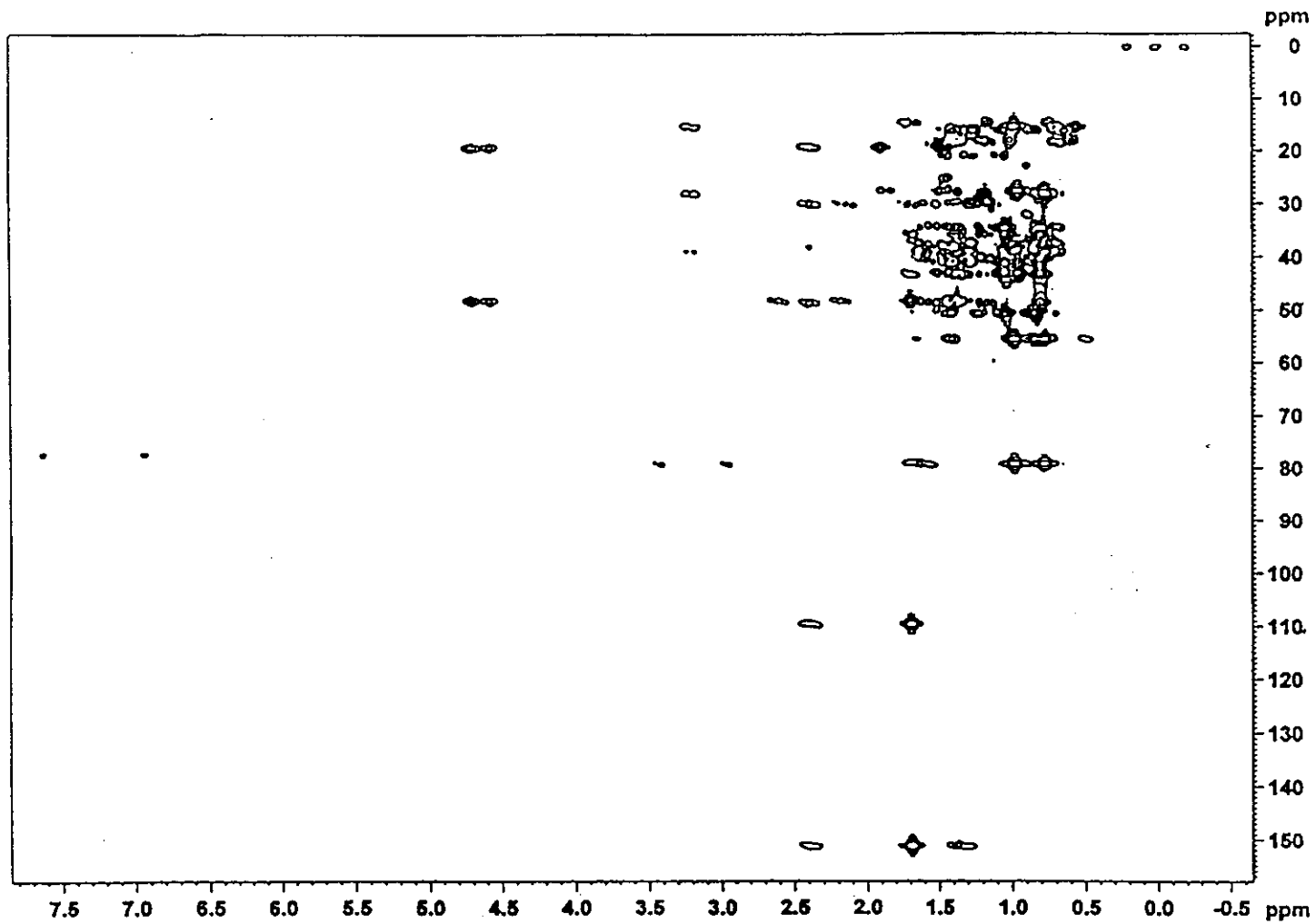
ภาพประกอบที่ 1 IR (KBr) สเปกตรัมของสาร PTH1



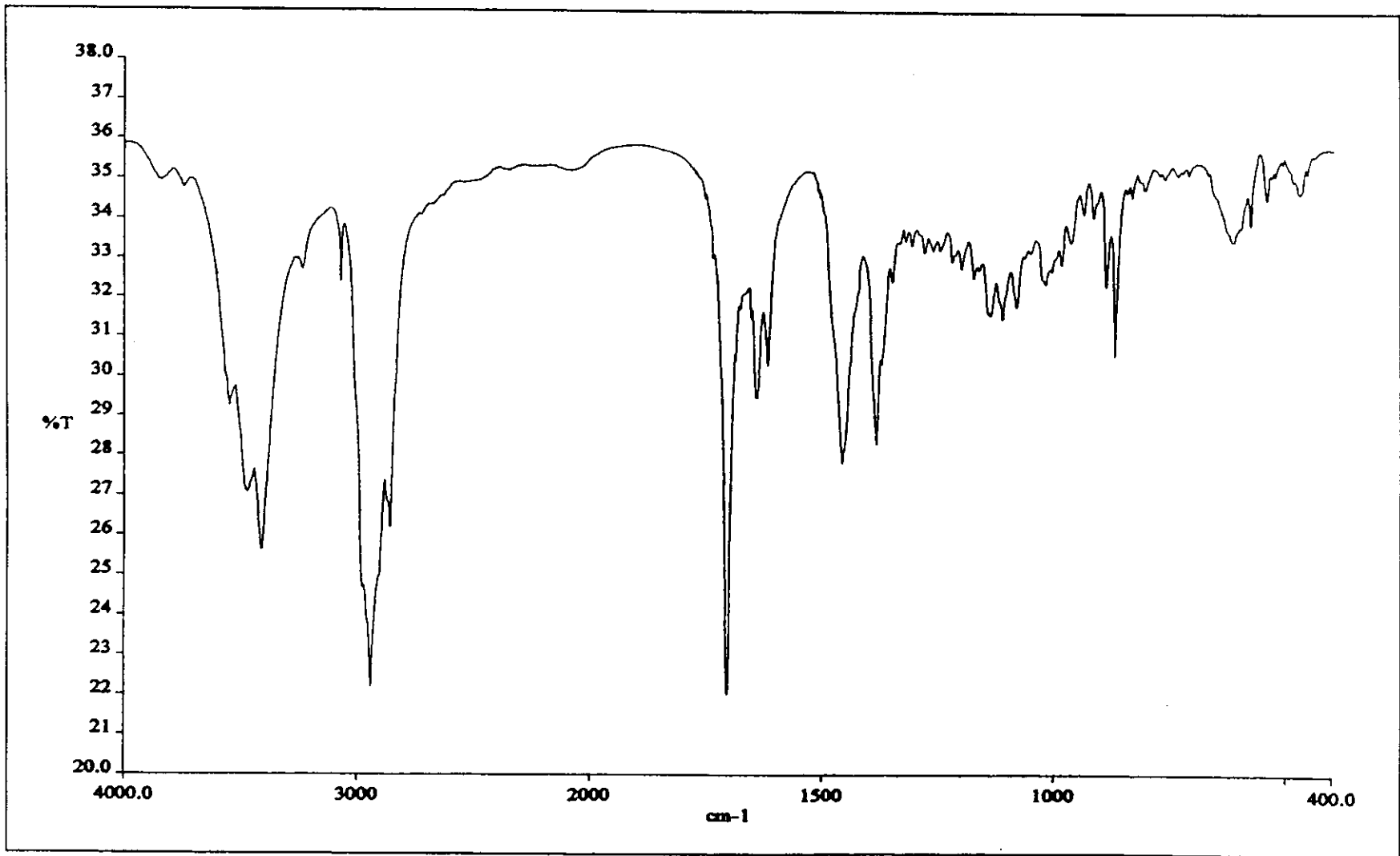
ภาพประกอบที่ 2 ^1H NMR (CDCl_3) สเปกตรัมของสาร PTH1



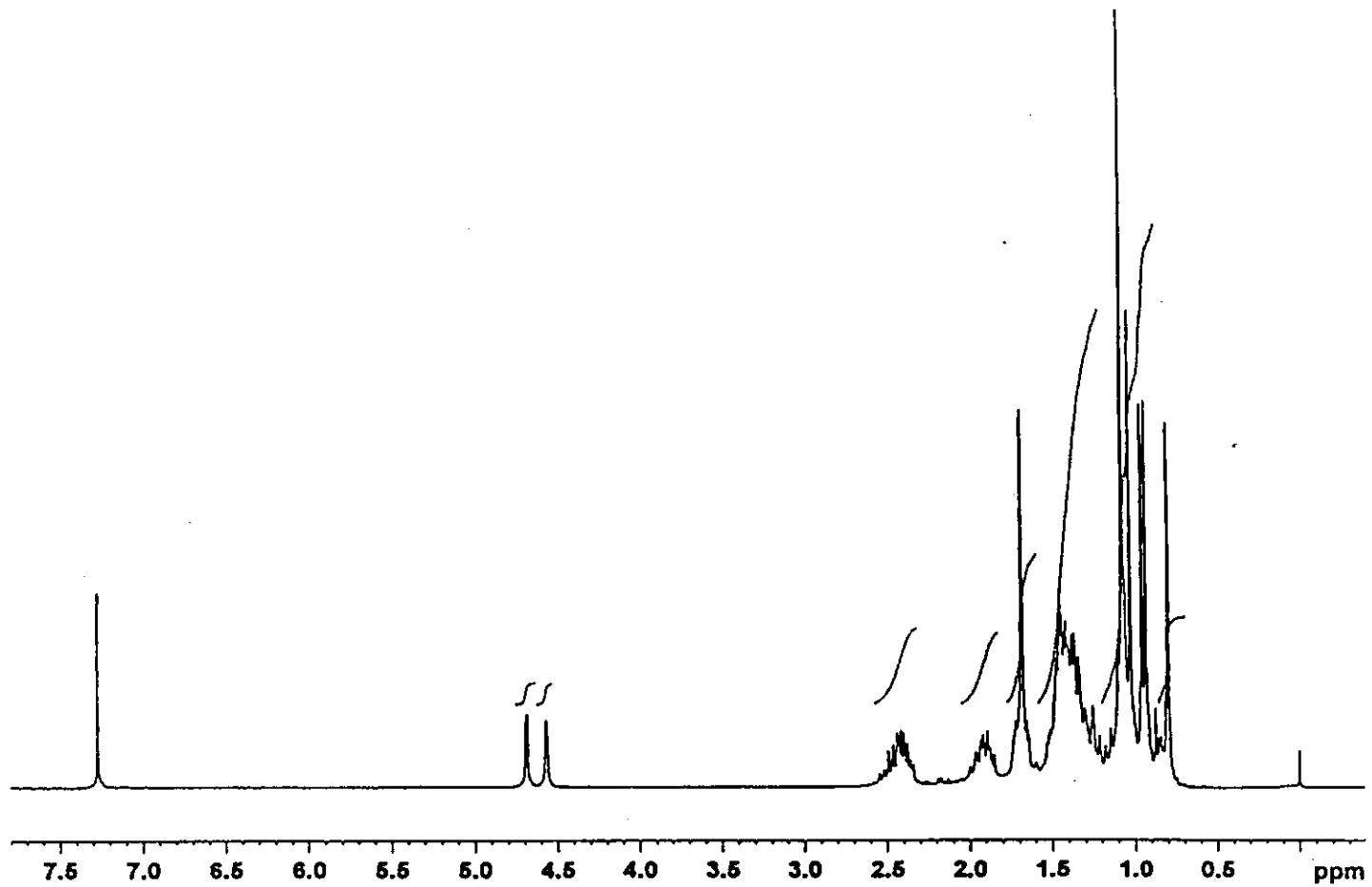
ภาพประกอบที่ 3 ^{13}C NMR (CDCl_3) สเปกตรัมของสาร PTH1



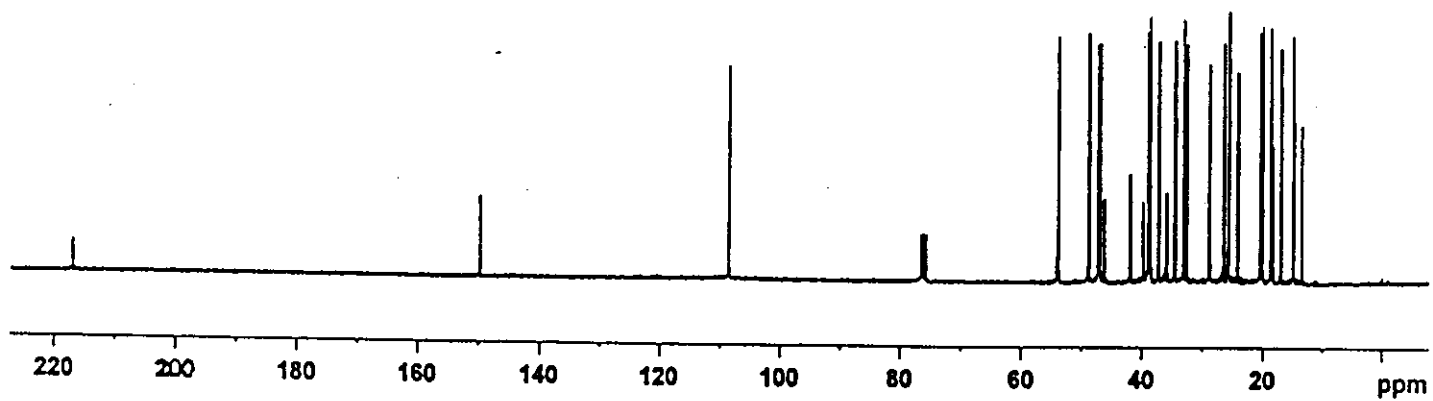
ภาพประกอบที่ 4 2D HMBC สเปกตรัมของสาร PTH1



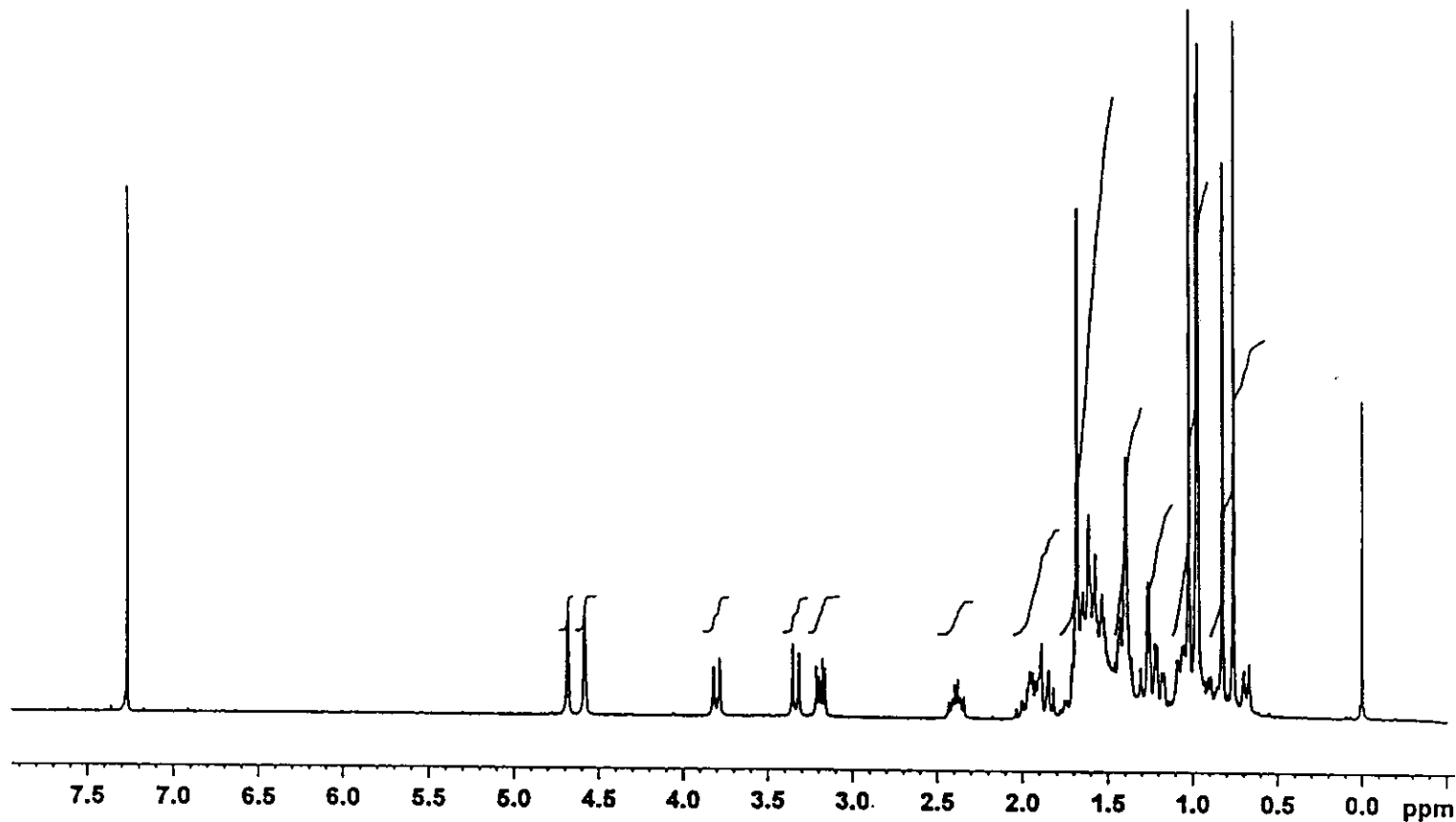
ภาพประกอบที่ 5 IR (KBr) สเปกตรัมของสาร PTH2



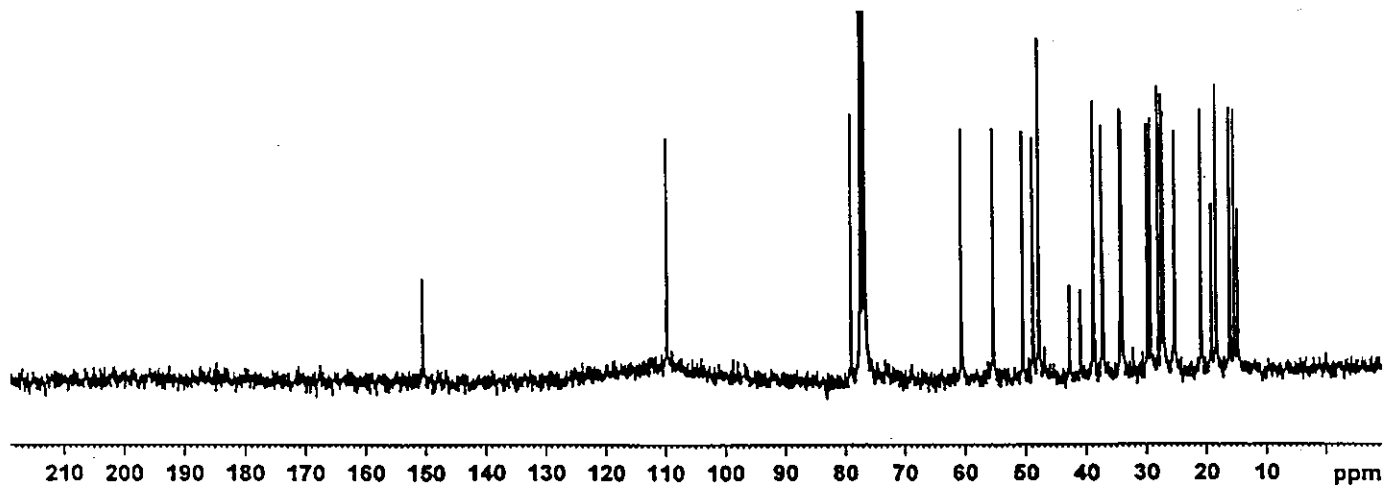
ภาพประกอบที่ 6 $^1\text{H NMR}$ (CDCl_3) สเปกตรัมของสาร PTH2



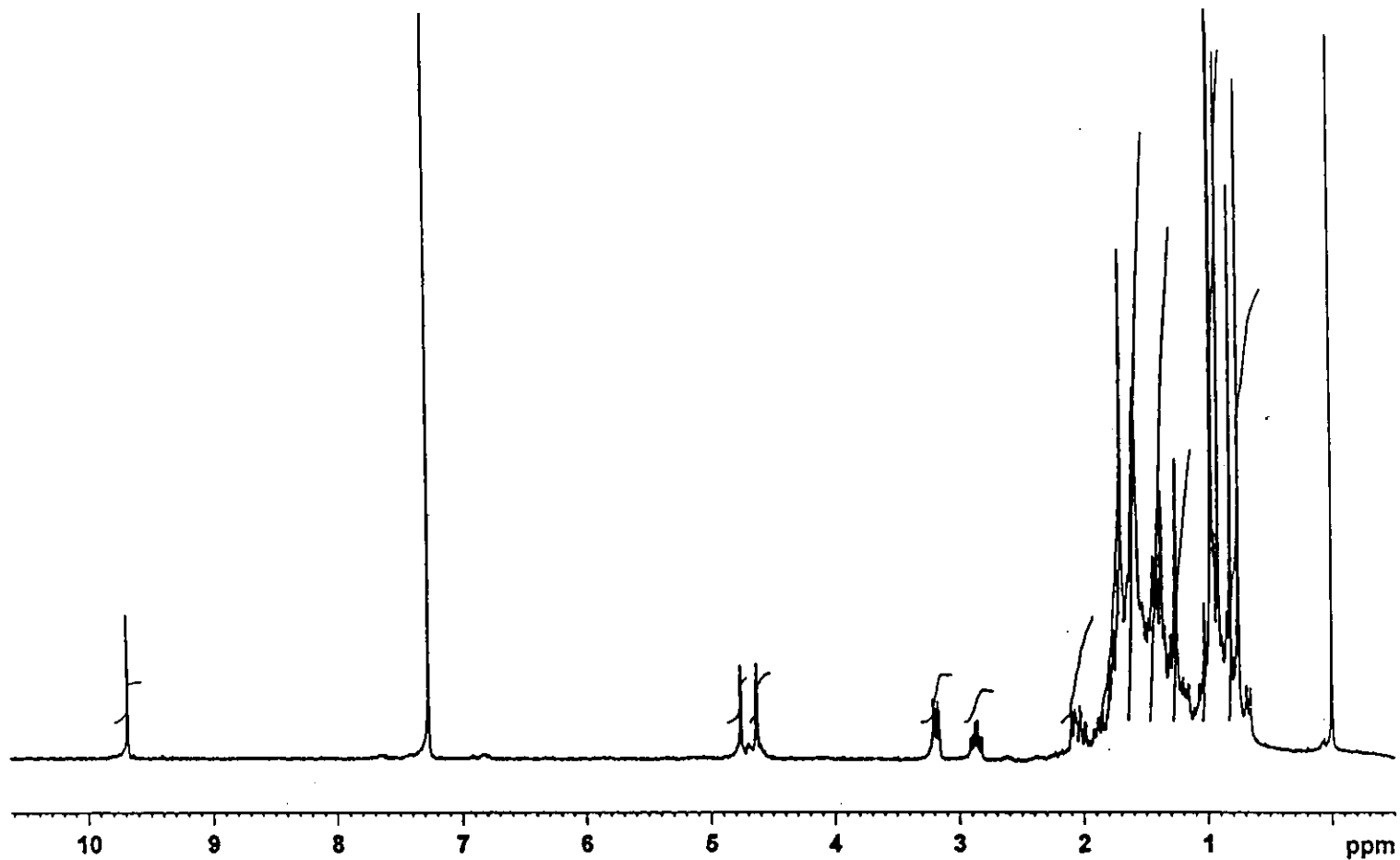
ภาพประกอบที่ 7 ^{13}C NMR (CDCl_3) สเปกตรัมของสาร PTH2



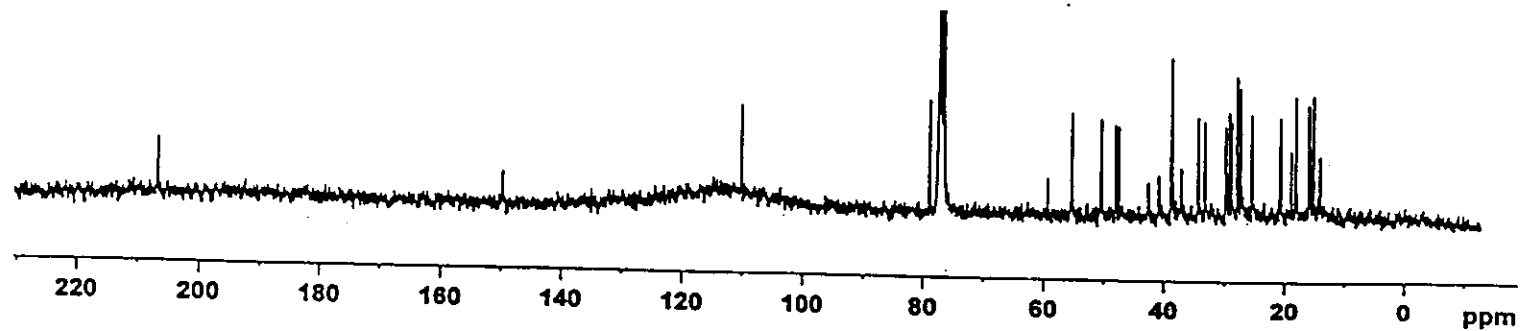
ภาพประกอบที่ 8 ^1H NMR (CDCl_3) สเปกตรัมของสาร PTH3



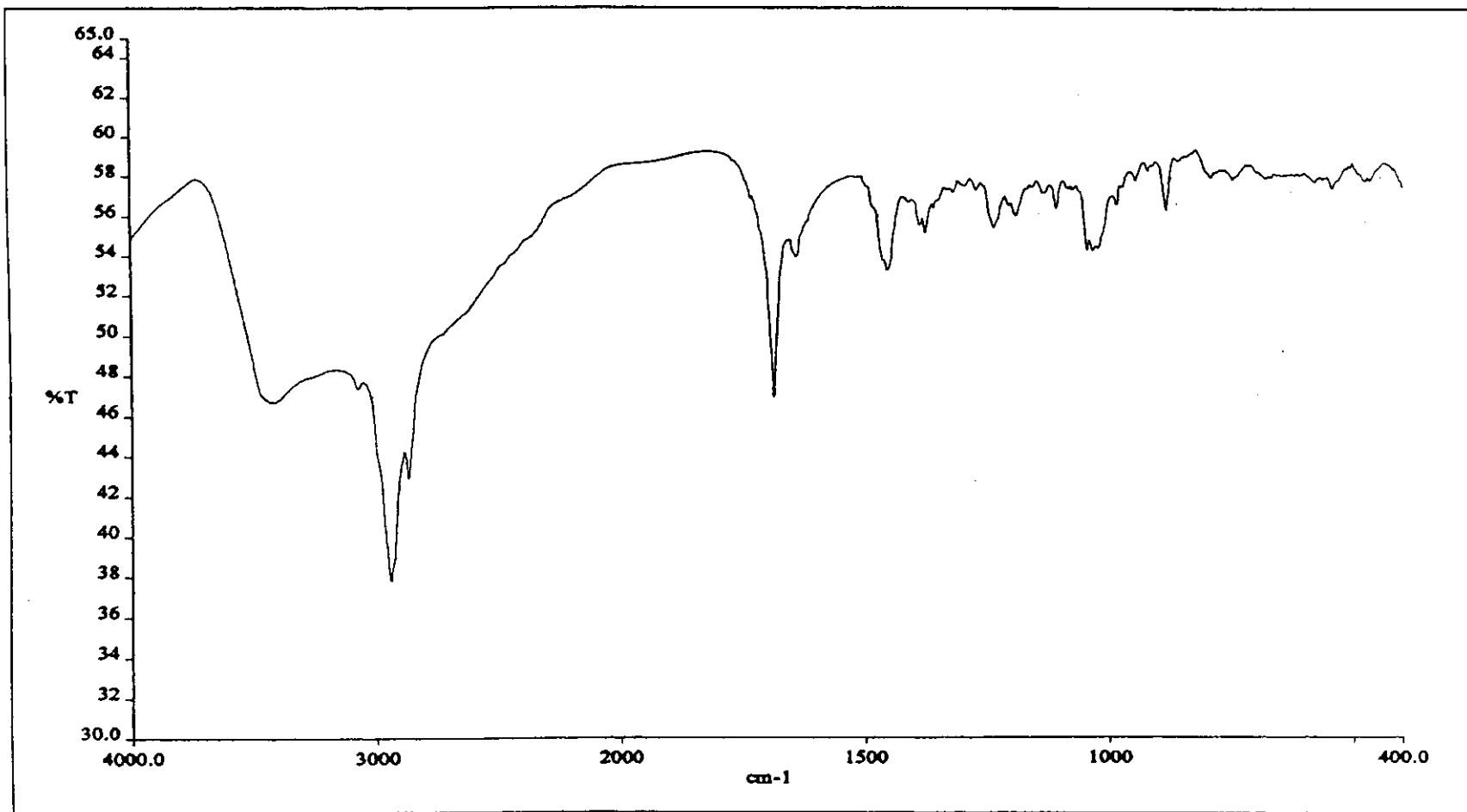
ภาพประกอบที่ 9 ^{13}C NMR (CDCl_3) สเปกตรัมของสาร PTH3



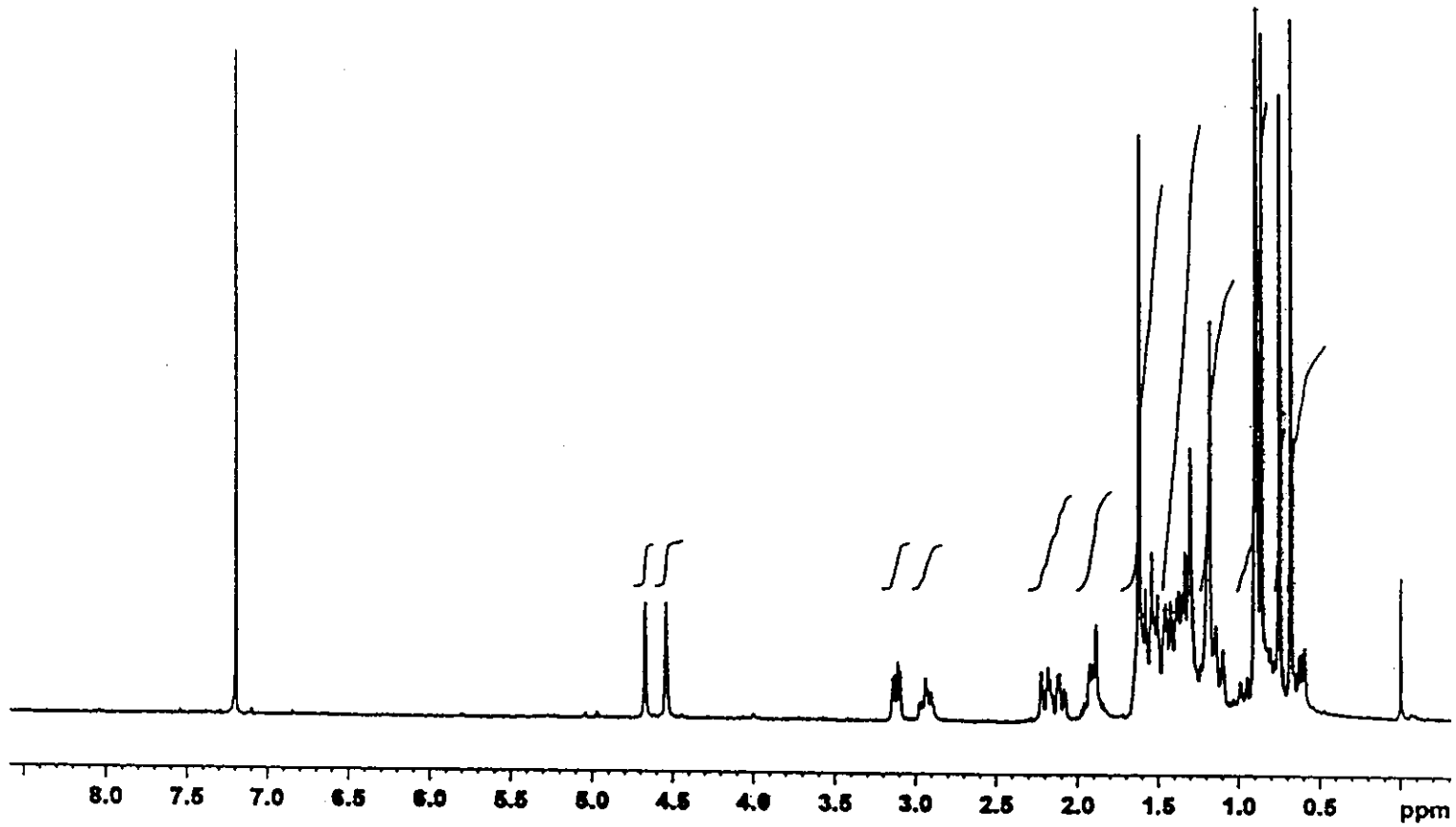
ภาพประกอบที่ 10 $^1\text{H NMR}$ (CDCl_3) สเปกตรัมของสาร PTH4



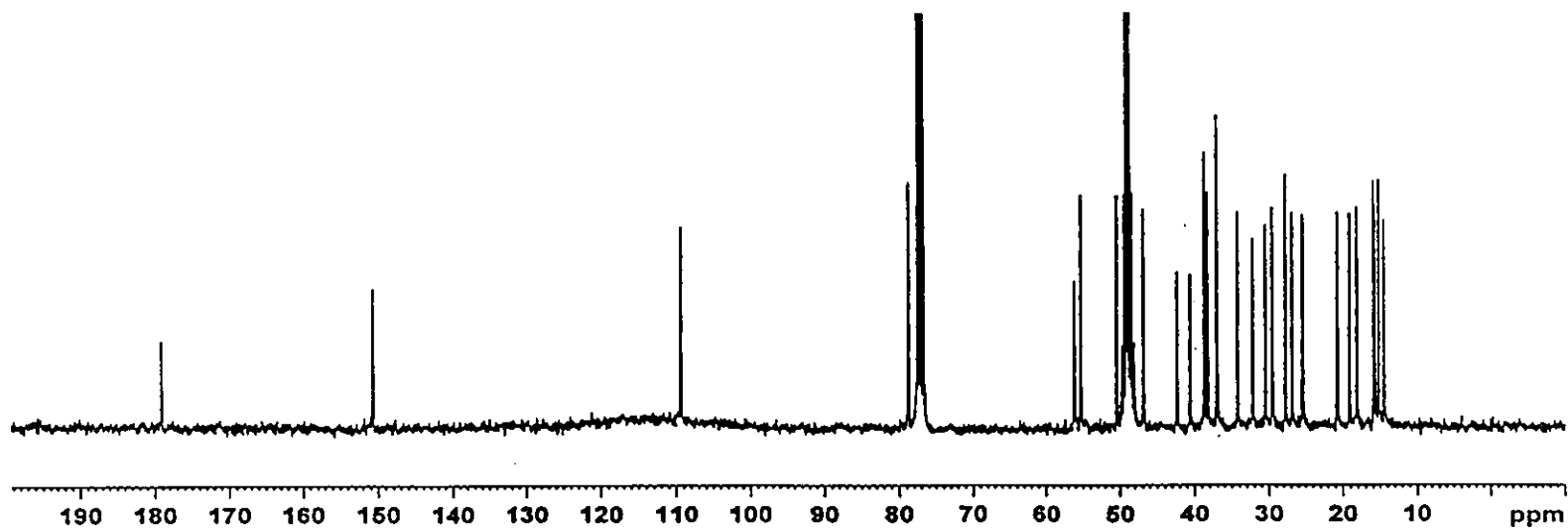
ภาพประกอบที่ 11 ^{13}C NMR (CDCl_3) สเปกตรัมของสาร PTH4



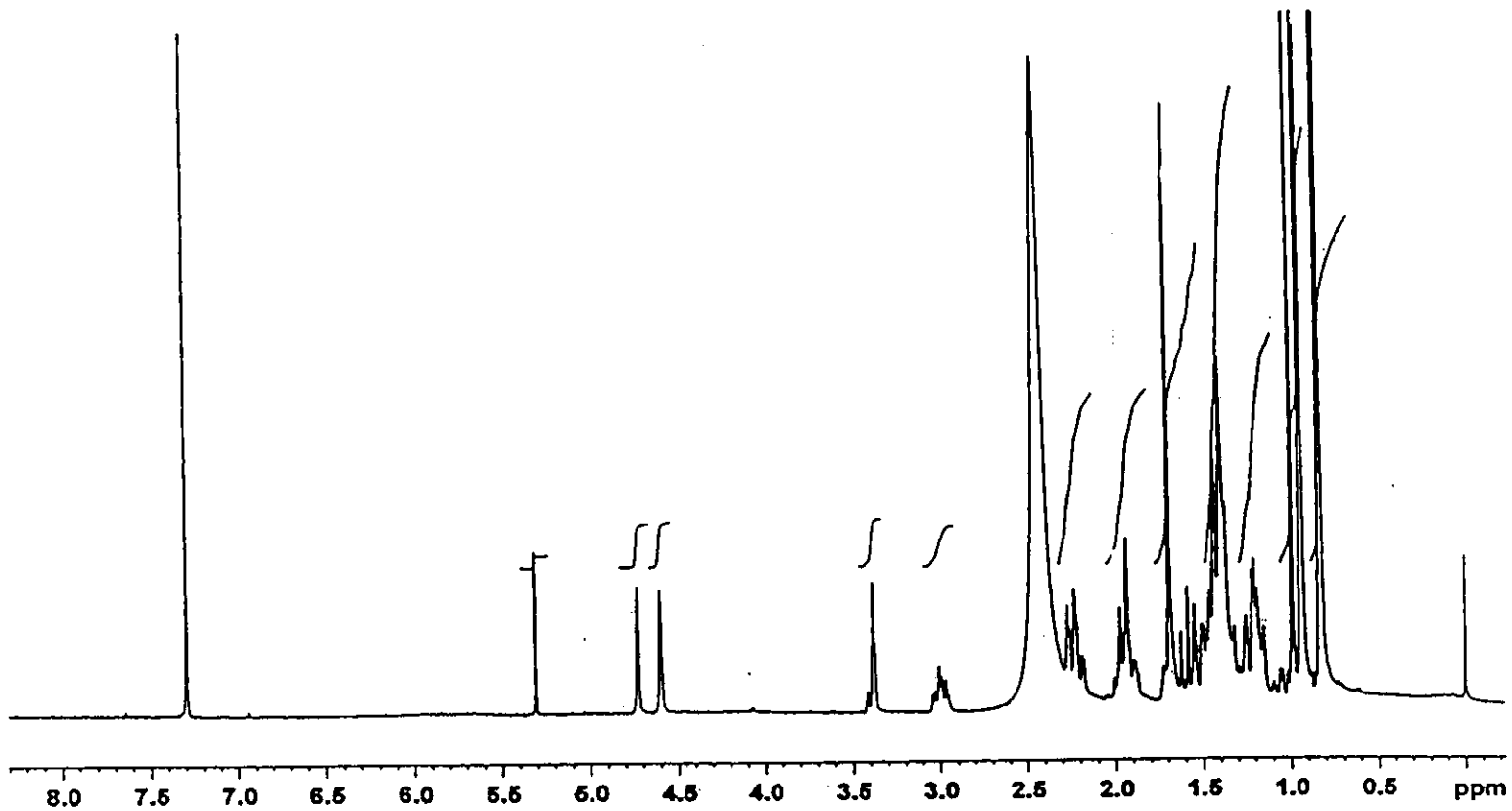
ภาพประกอบที่ 12 IR (KBr) สเปกตรัมของสาร PTH5



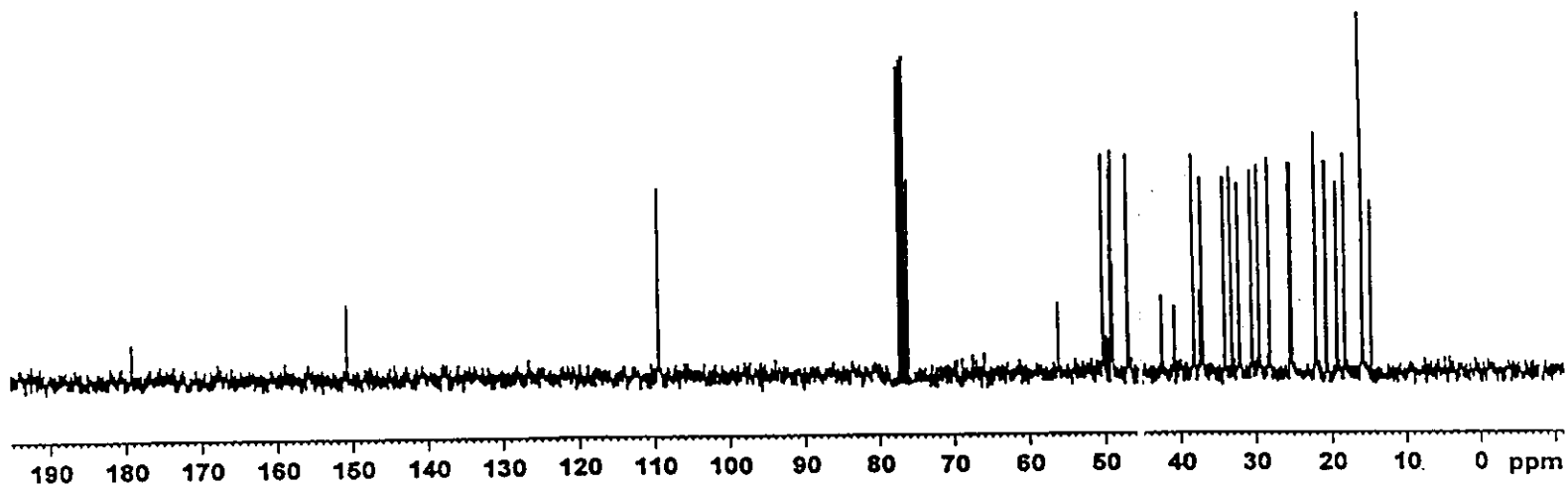
ภาพประกอบที่ 13 ^1H NMR (CDCl_3) สเปกตรัมของสาร PTH5



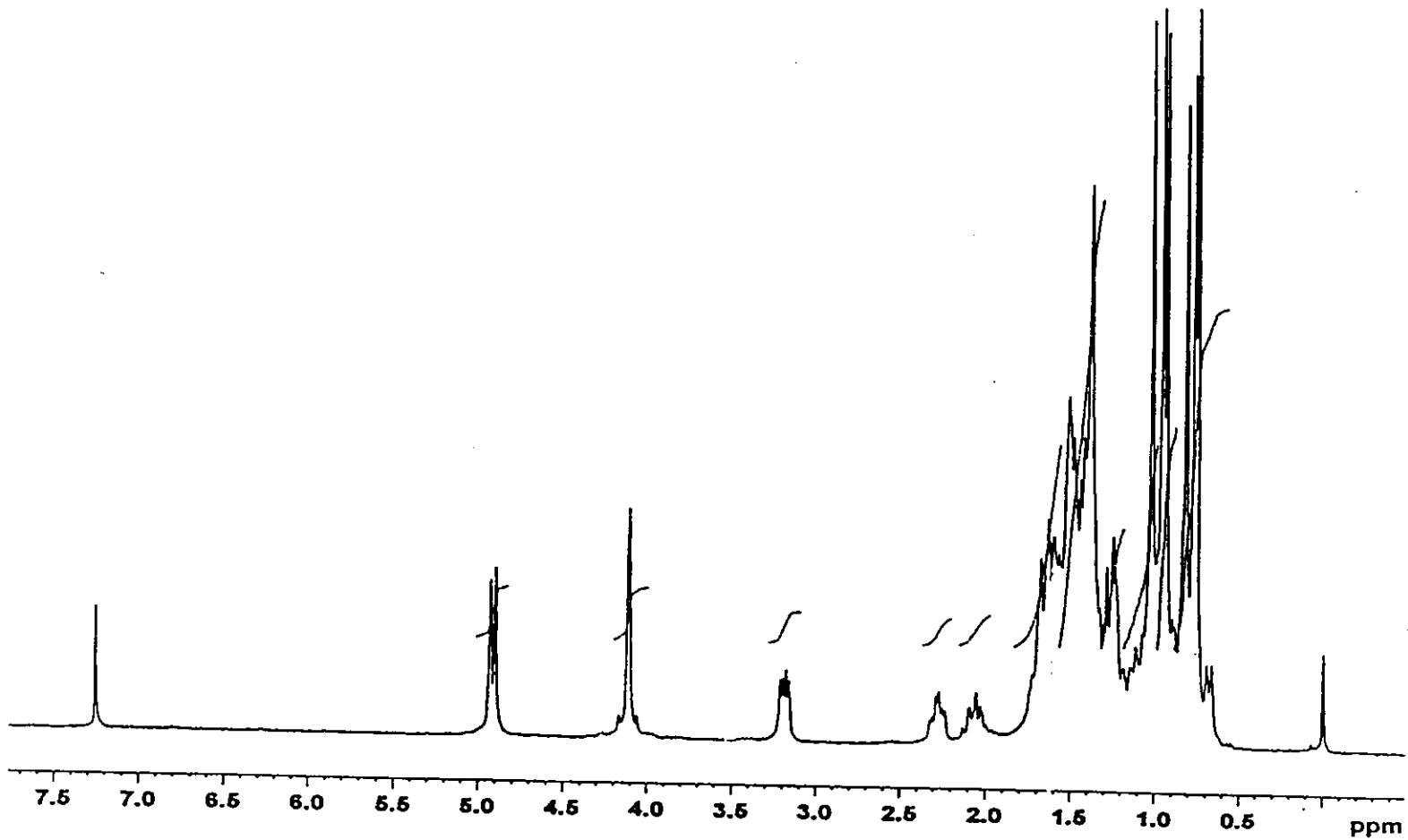
ภาพประกอบที่ 14 ^{13}C NMR (CDCl_3) สเปกตรัมของสาร PTH5



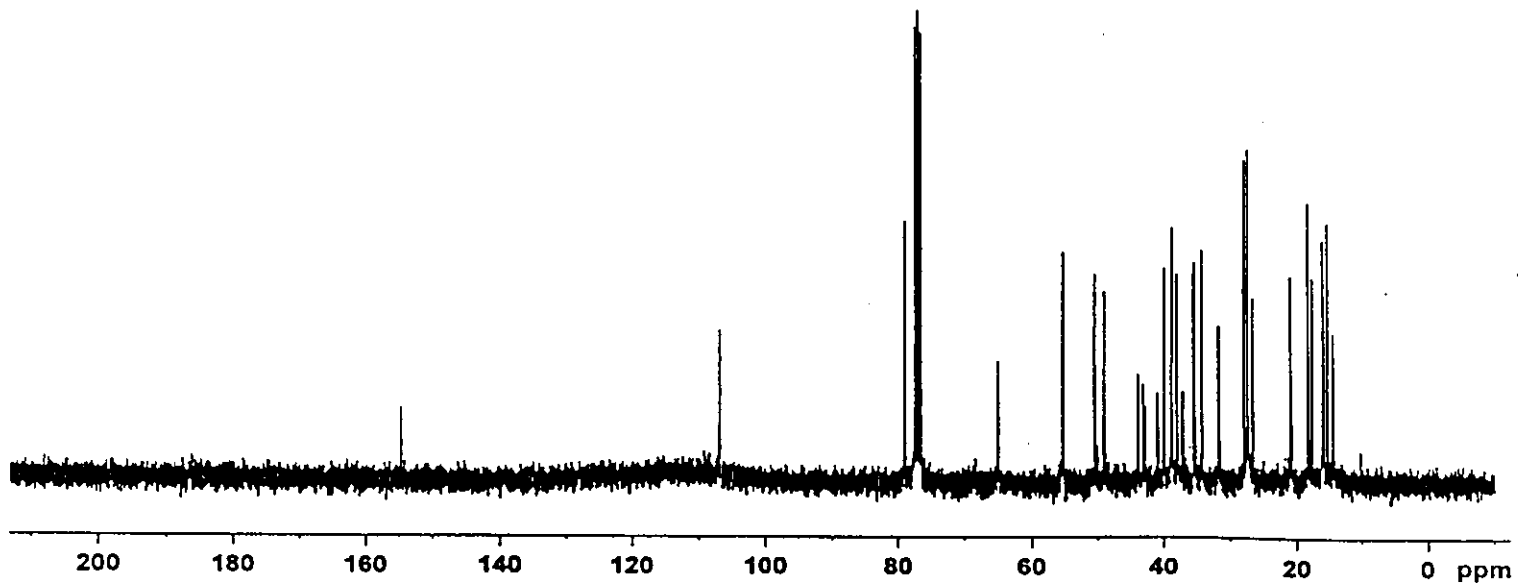
ภาพประกอบที่ 15 ^1H NMR ($\text{CDCl}_3 + \text{CD}_3\text{OD}$) สเปกตรัมของสาร PTH6



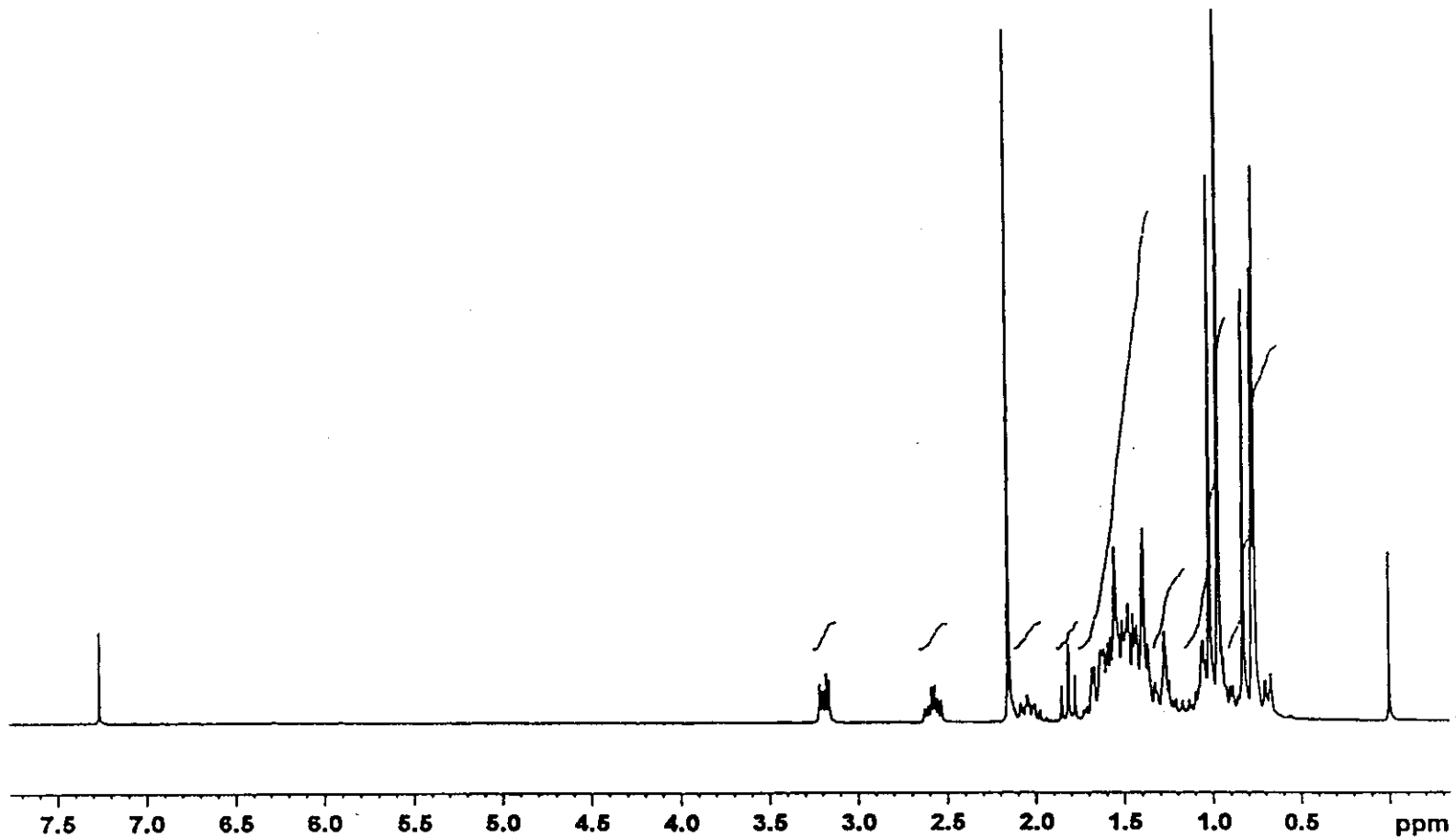
ภาพประกอบที่ 16 ^{13}C NMR ($\text{CDCl}_3 + \text{CD}_3\text{OD}$) สเปกตรัมของสาร PTH6



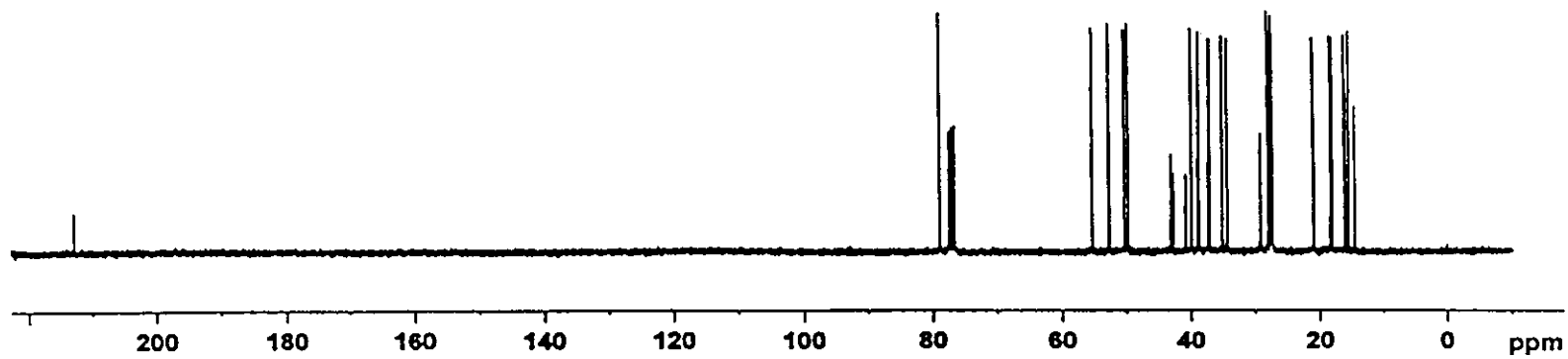
ภาพประกอบที่ 17 ^1H NMR (CDCl_3) สเปกตรัมของสาร PTH7



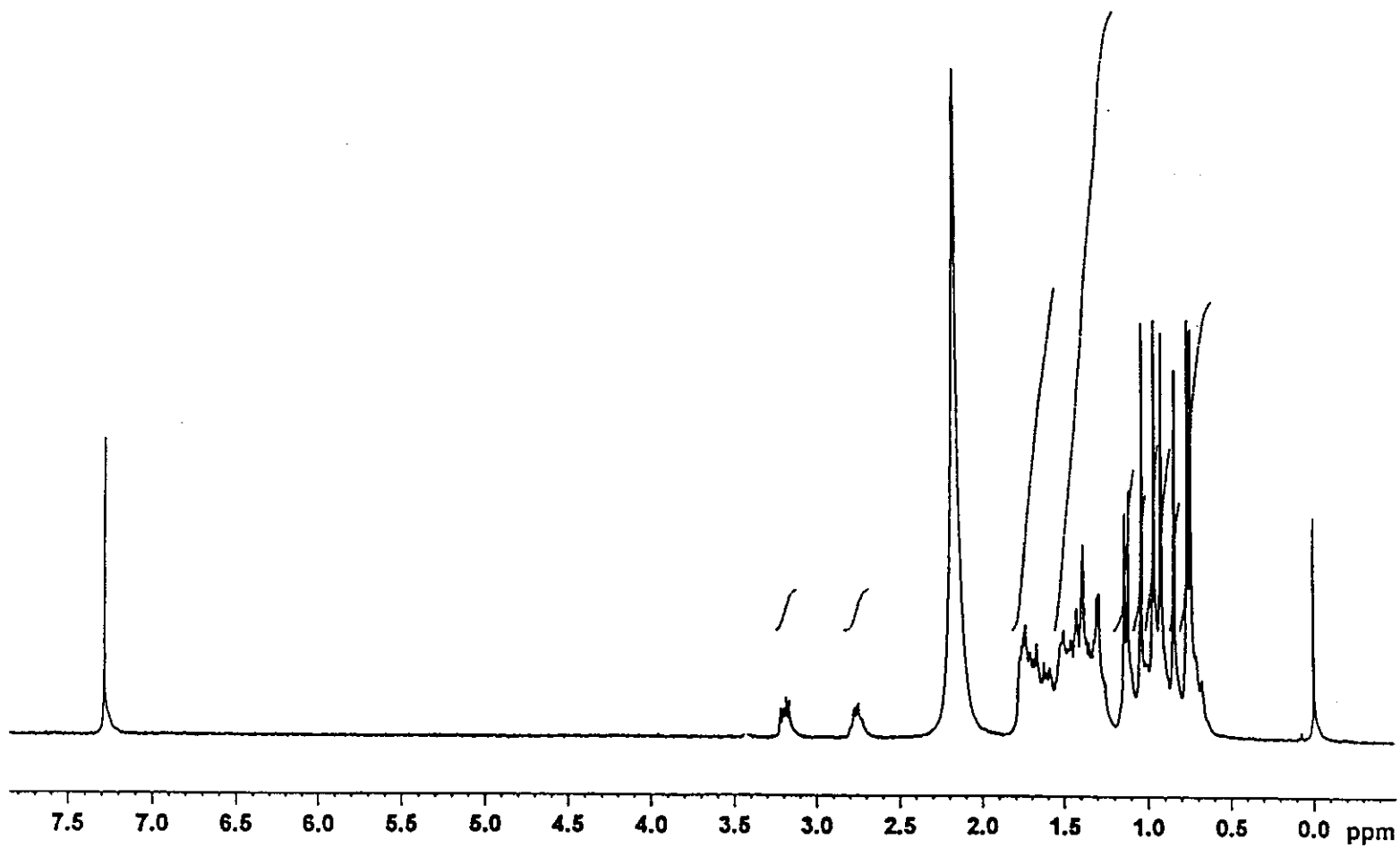
ภาพประกอบที่ 18 ^{13}C NMR (CDCl_3) สเปกตรัมของสาร PTH7



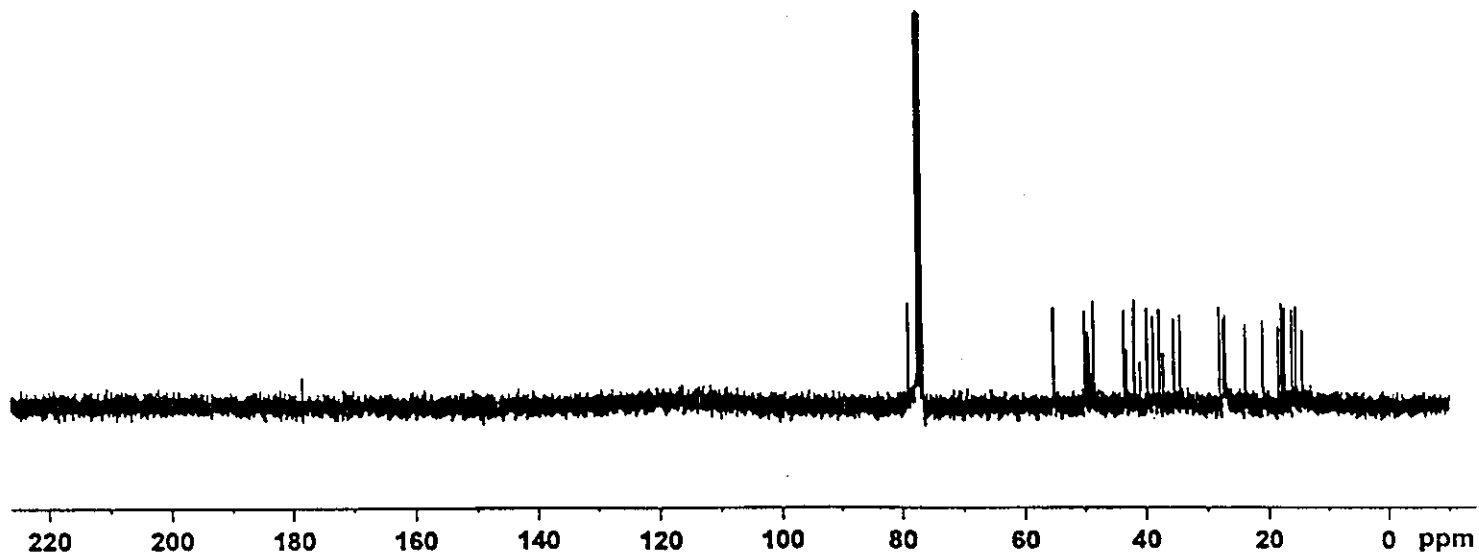
ภาพประกอบที่ 19 ^1H NMR (CDCl_3) สเปกตรัมของสาร PTH8



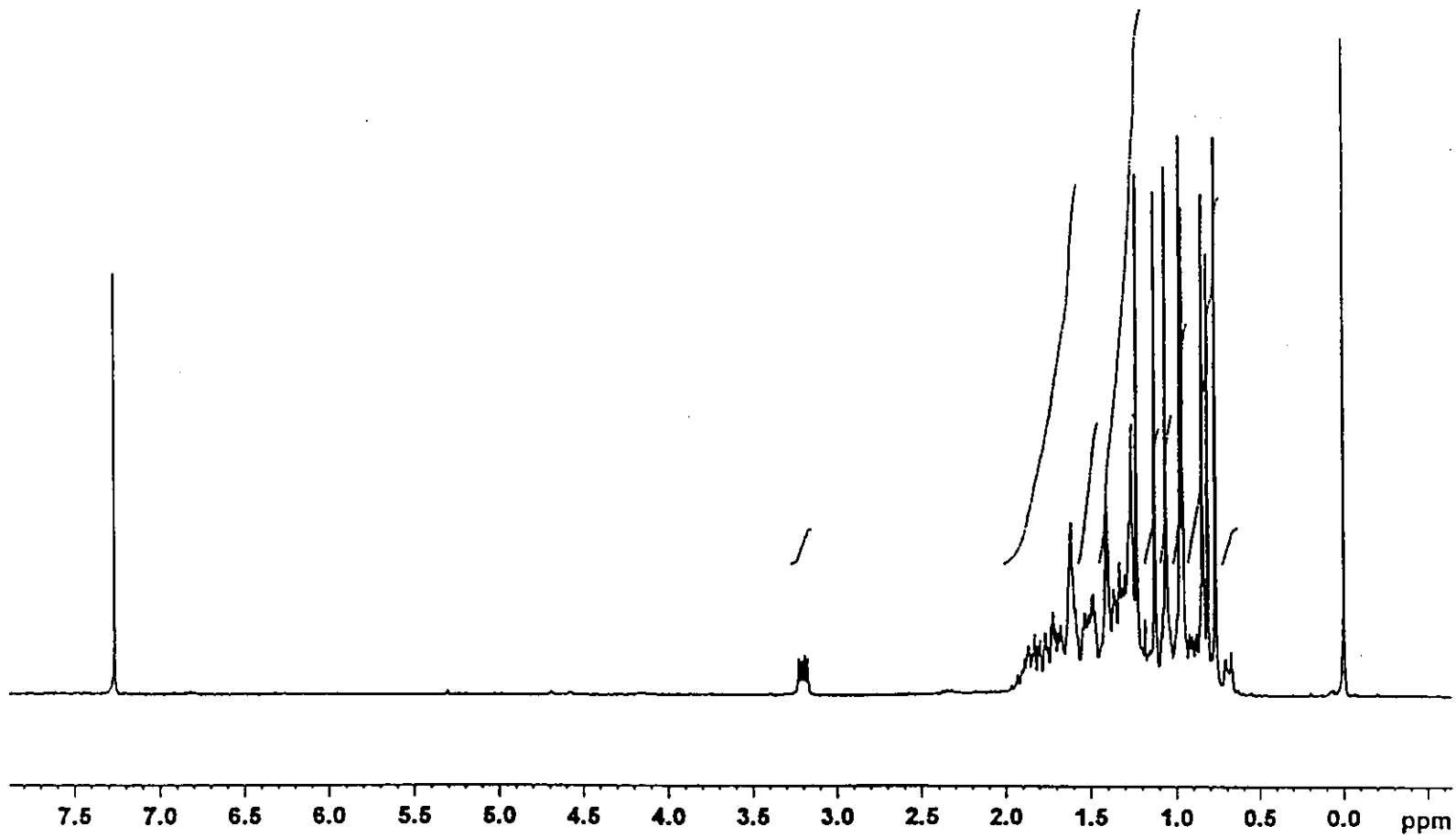
ภาพประกอบที่ 20 ^{13}C NMR (CDCl_3) สเปกตรัมของสาร PTH8



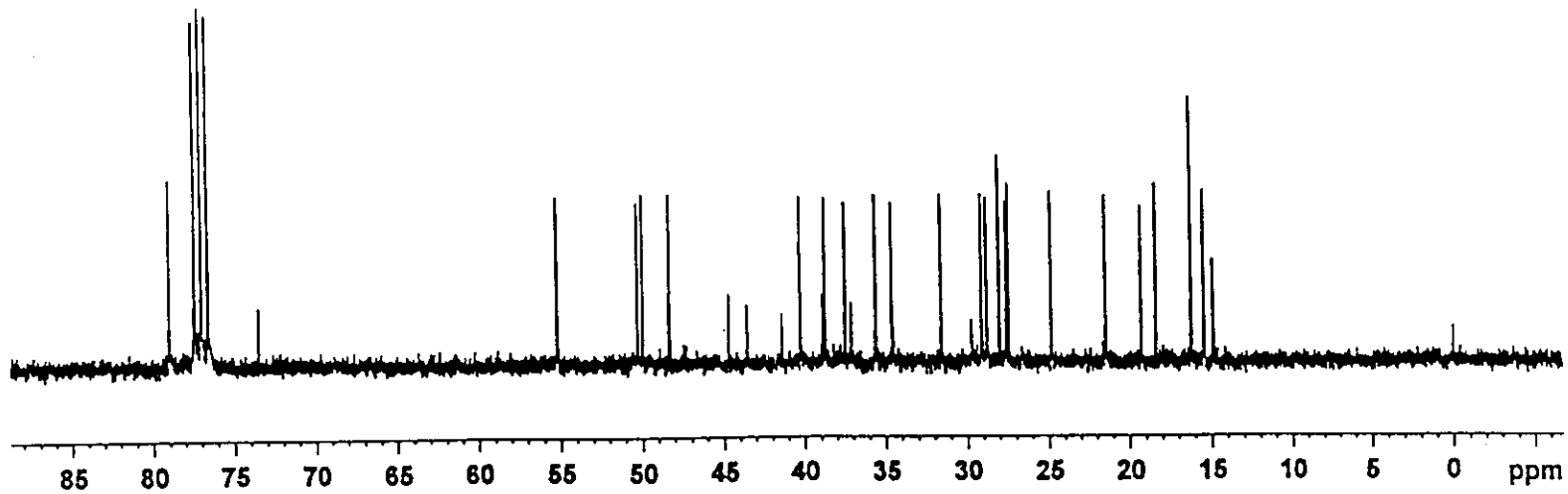
ภาพประกอบที่ 21 $^1\text{H NMR}$ ($\text{CDCl}_3 + \text{CD}_3\text{OD}$) สเปกตรัมของสาร PTH9



ภาพประกอบที่ 22 ^{13}C NMR ($\text{CDCl}_3 + \text{CD}_3\text{OD}$) สเปกตรัมของสาร PTH9



ภาพประกอบที่ 23 ^1H NMR (CDCl_3) สเปกตรัมของสาร PTH10



ภาพประกอบที่ 24 ^{13}C NMR (CDCl_3) สเปกตรัมของสาร PTH10

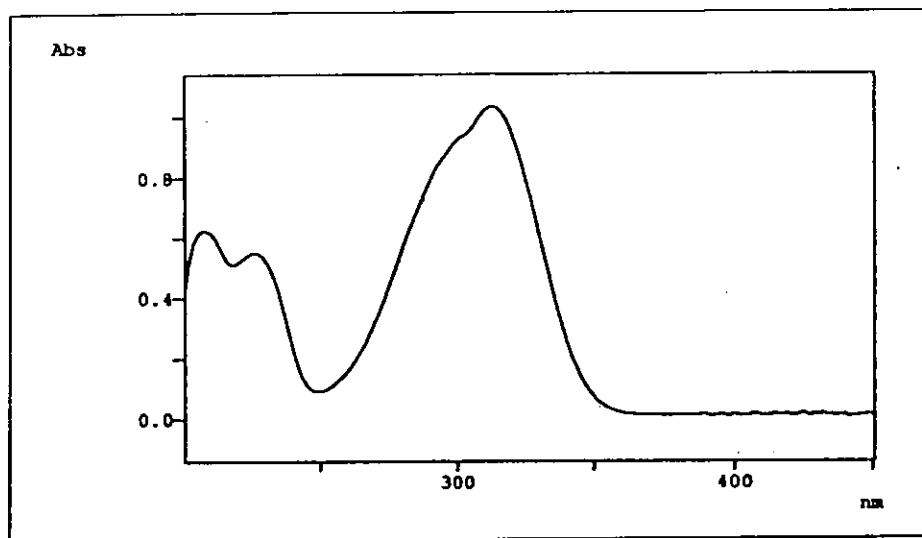
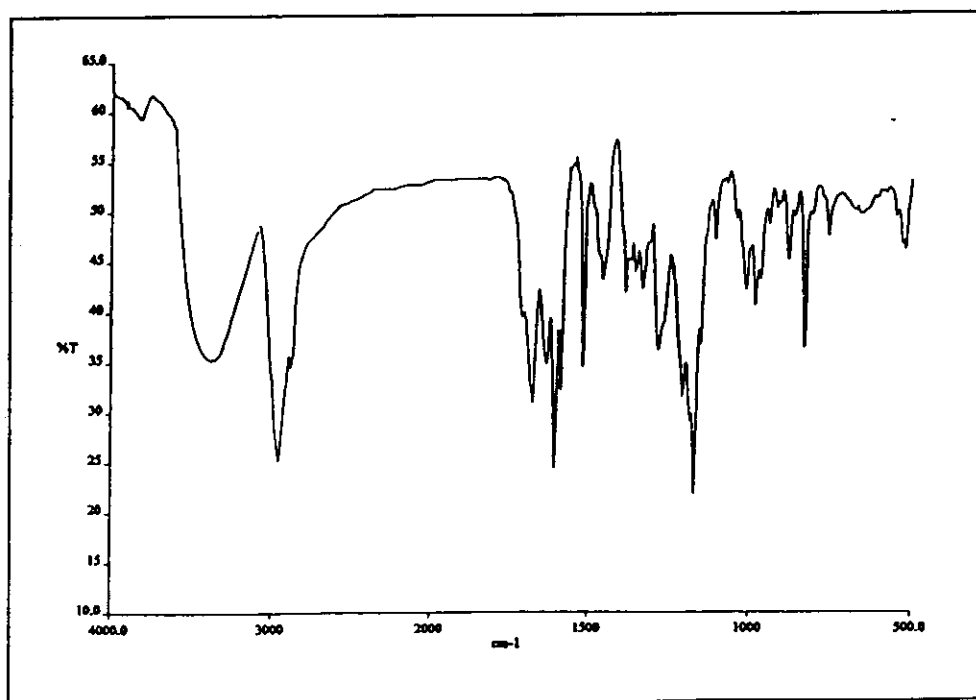
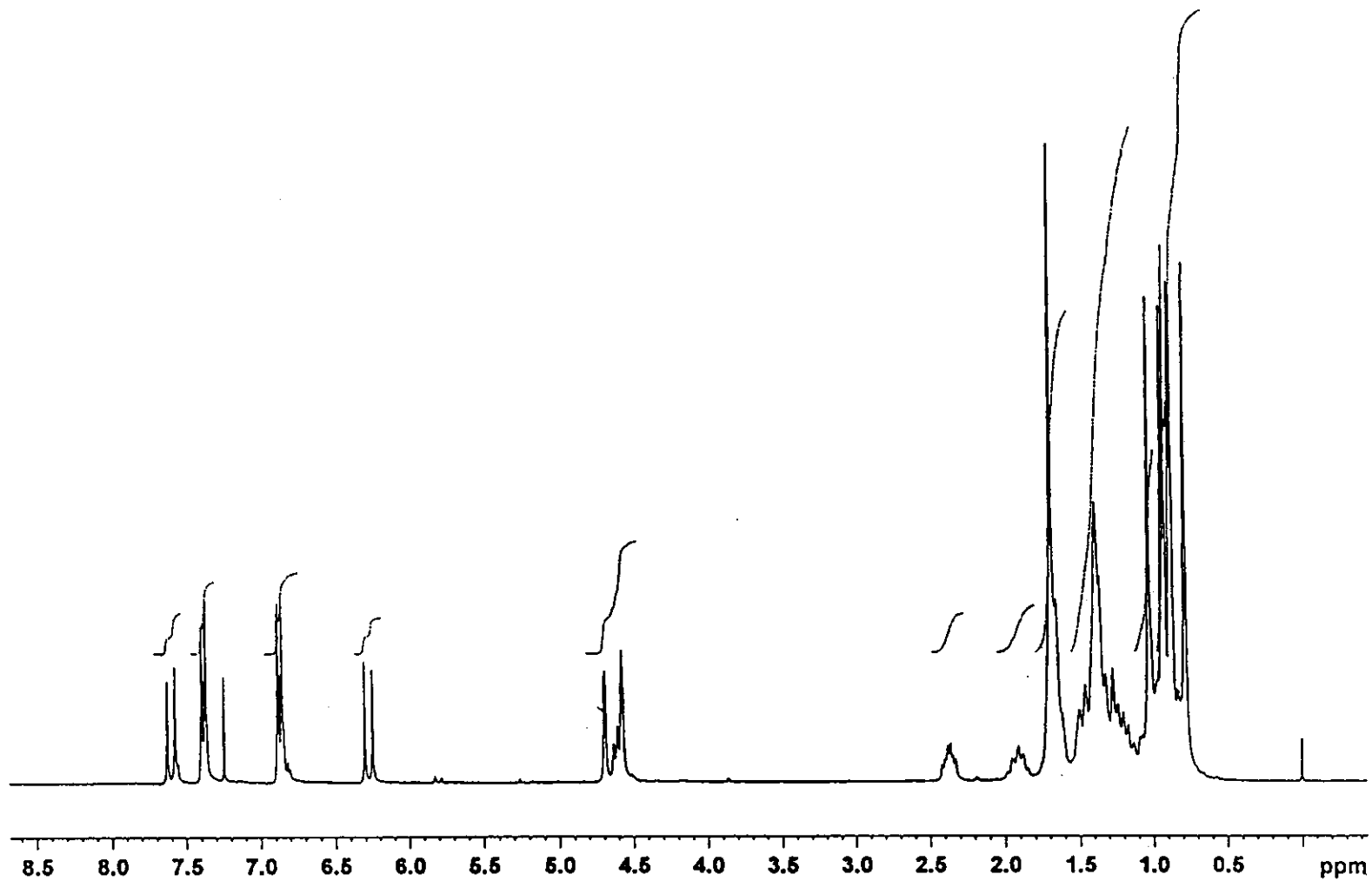


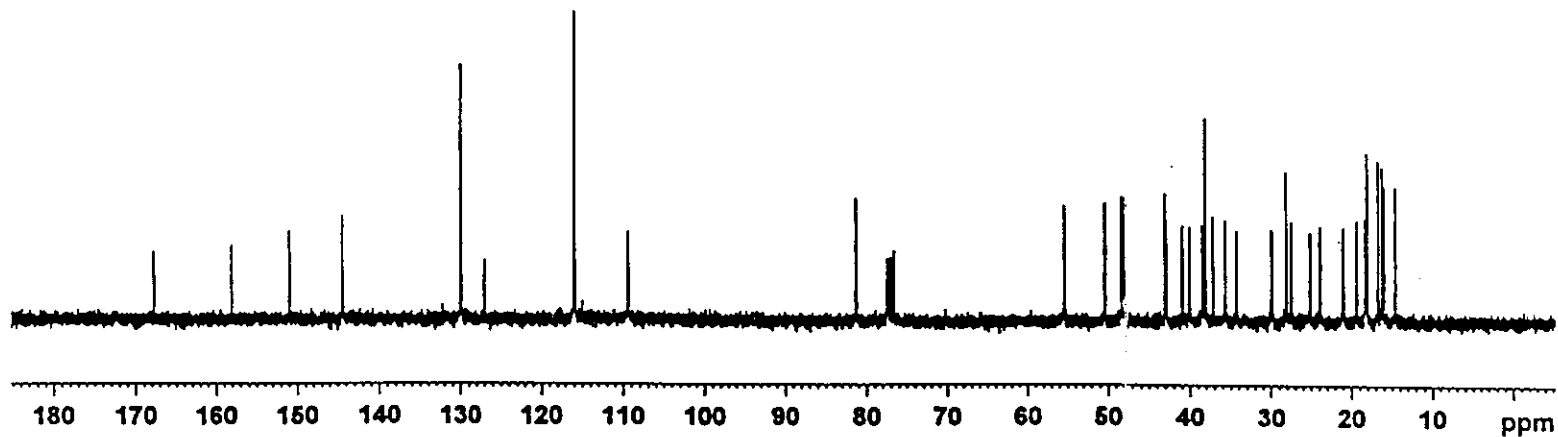
Figure 30 UV (MeOH) spectrum of compound PTH11



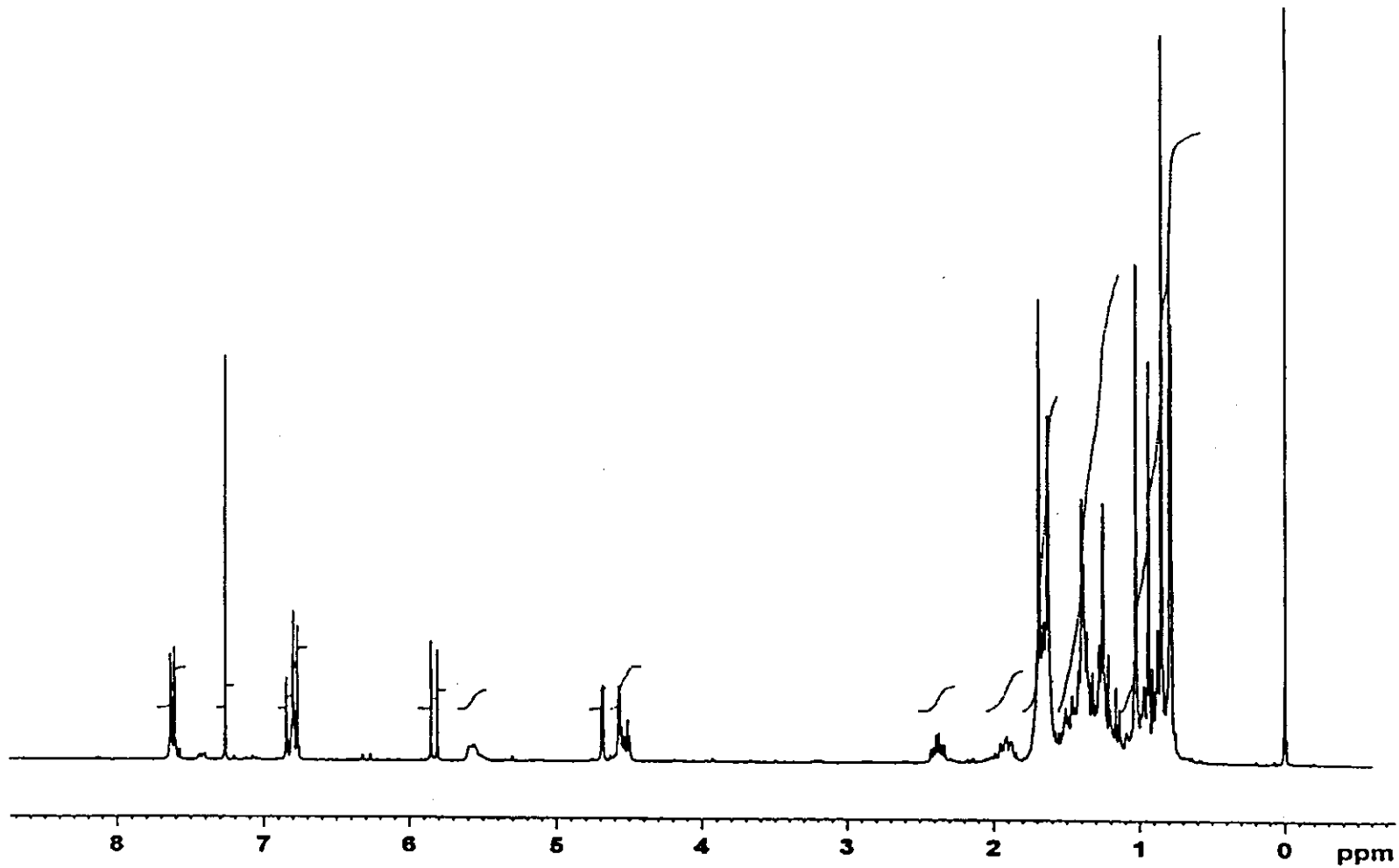
ภาพประกอบที่ 25 UV และ IR สเปกตรัมของสาร PTH11



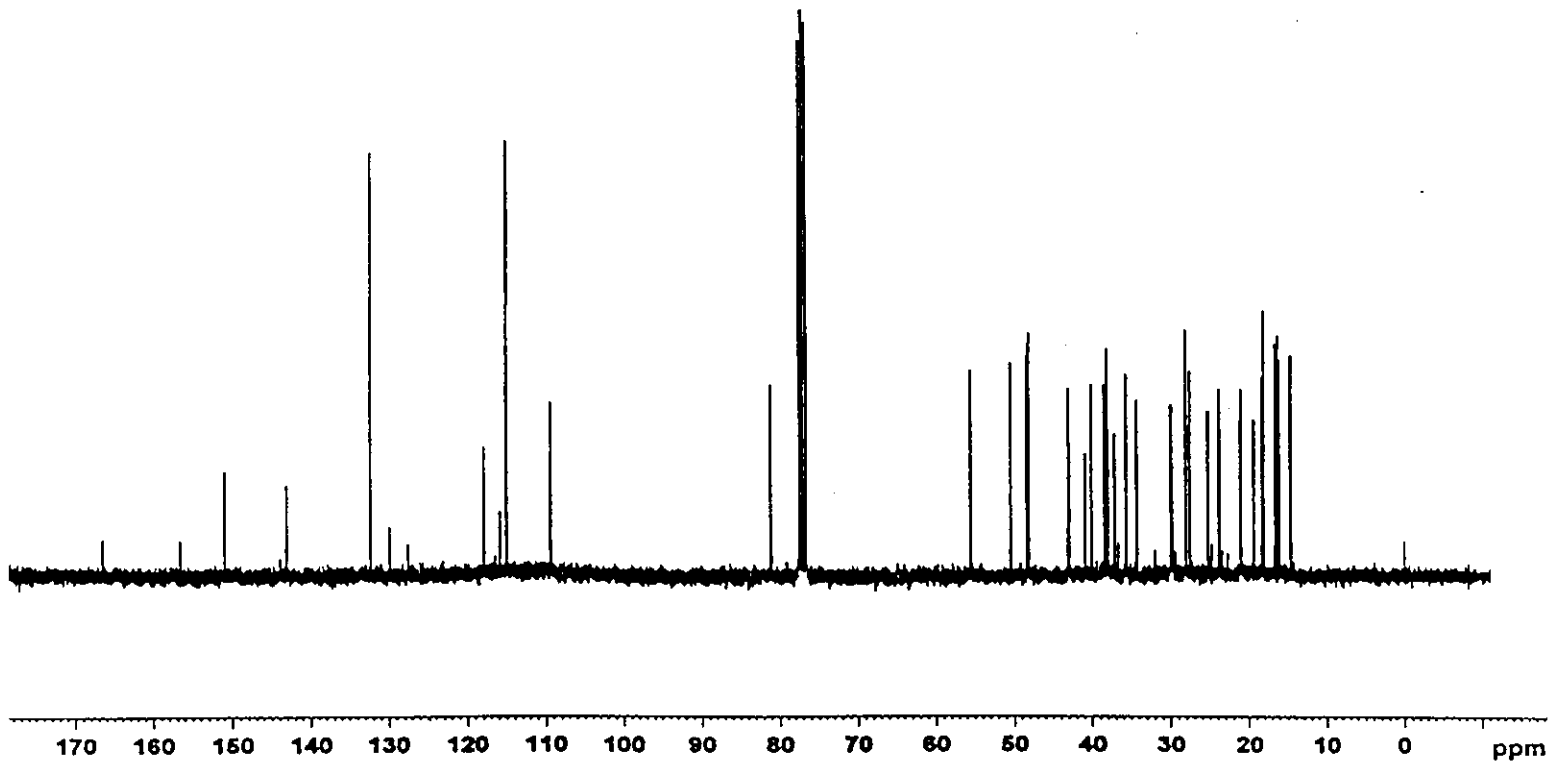
ภาพประกอบที่ 26 ^1H NMR (CDCl_3) สเปกตรัมของสาร PTH11



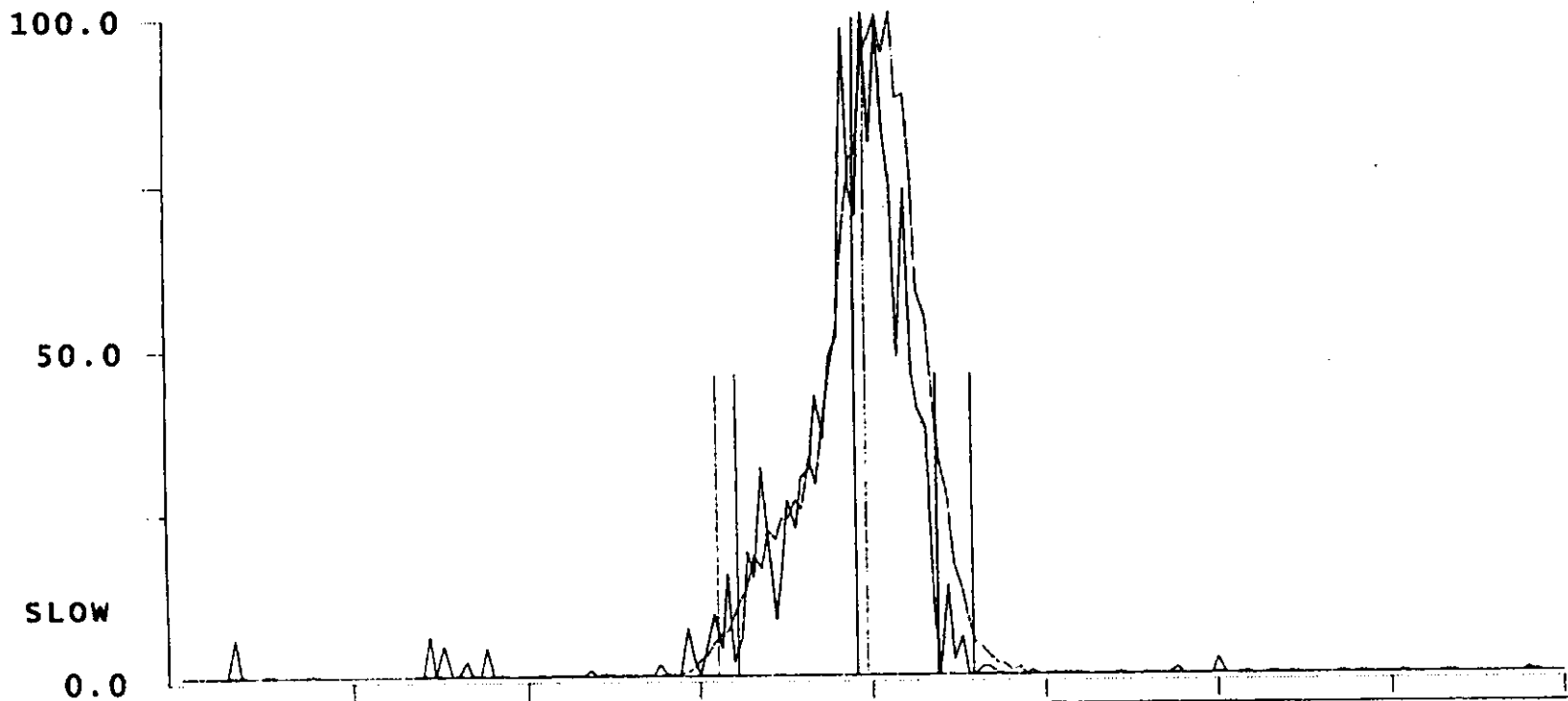
ภาพประกอบที่ 27 ^{13}C NMR (CDCl_3) สเปกตรัมของสาร PTH11



ภาพประกอบที่ 28 ^1H NMR (CDCl_3) สเปกตรัมของสาร PTH12

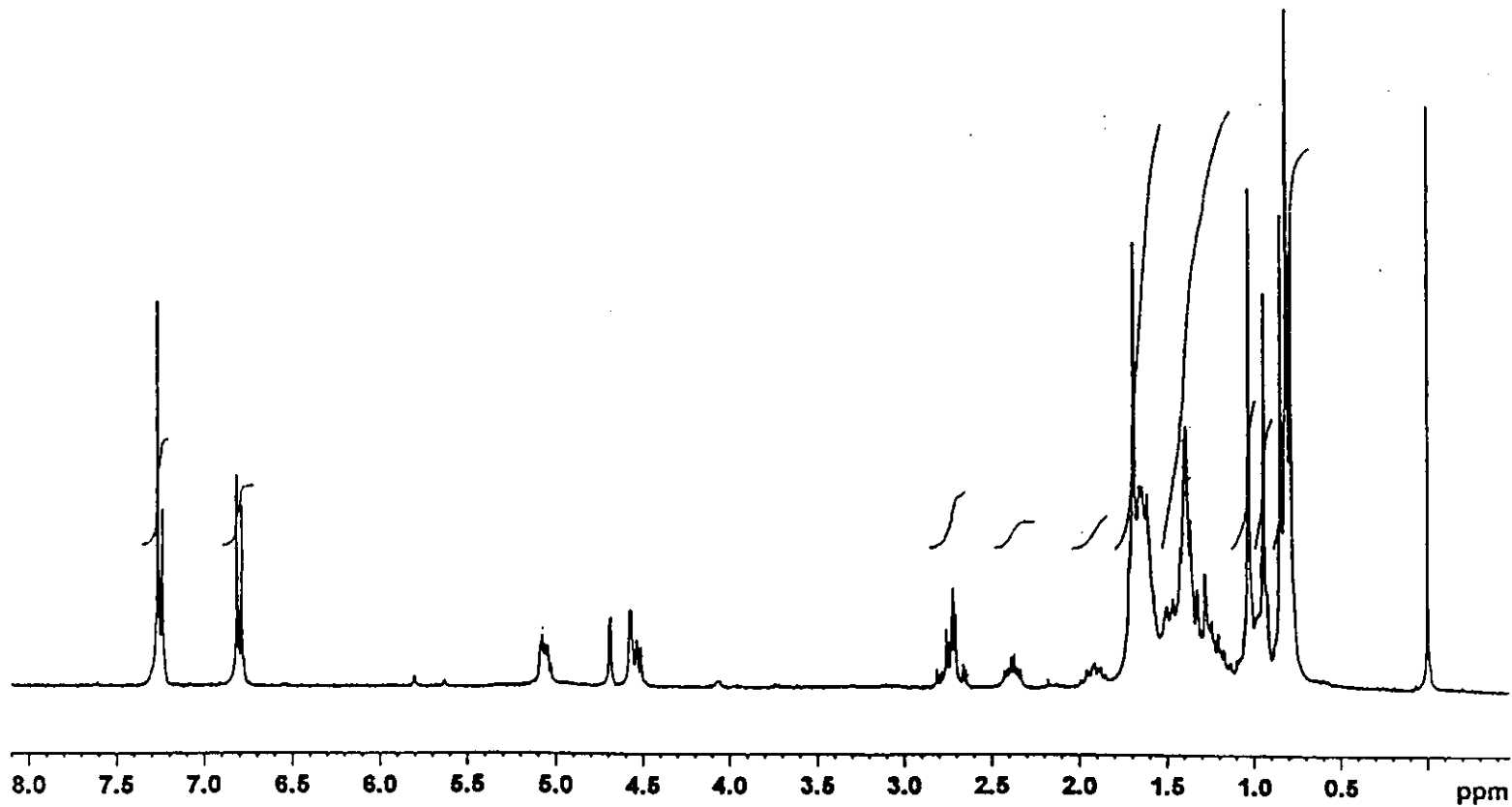


ภาพประกอบที่ 29 ^{13}C NMR (CDCl_3) สเปกตรัมของสาร PTH12

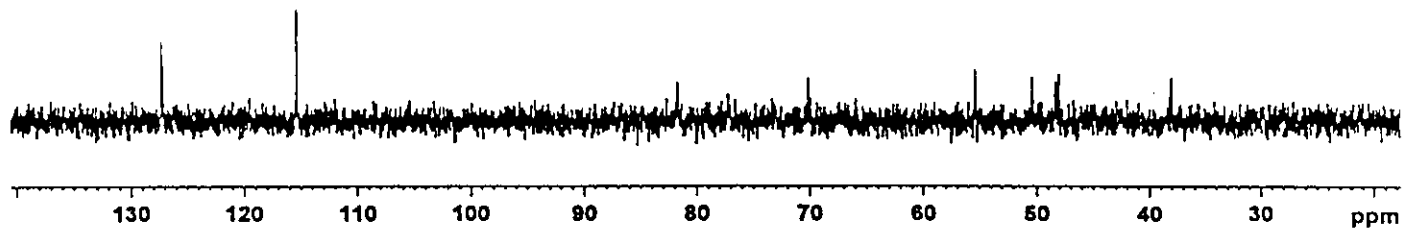
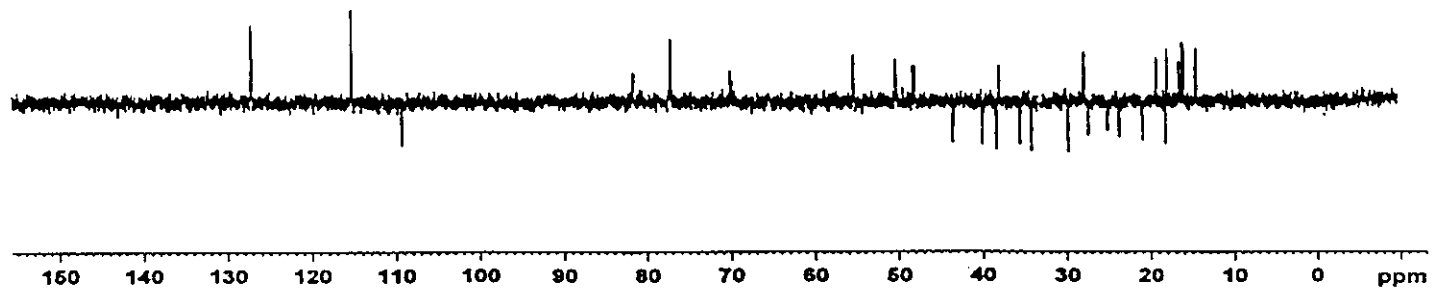


REG 1/2:	572.418743	REG 1/3:	REG 2/3:
MASS	: 566.96362	572.41642	
REF MASS	: 566.96591	566.96591	
PEAK WIDTH [ppm]:	184.99515	145.01295	

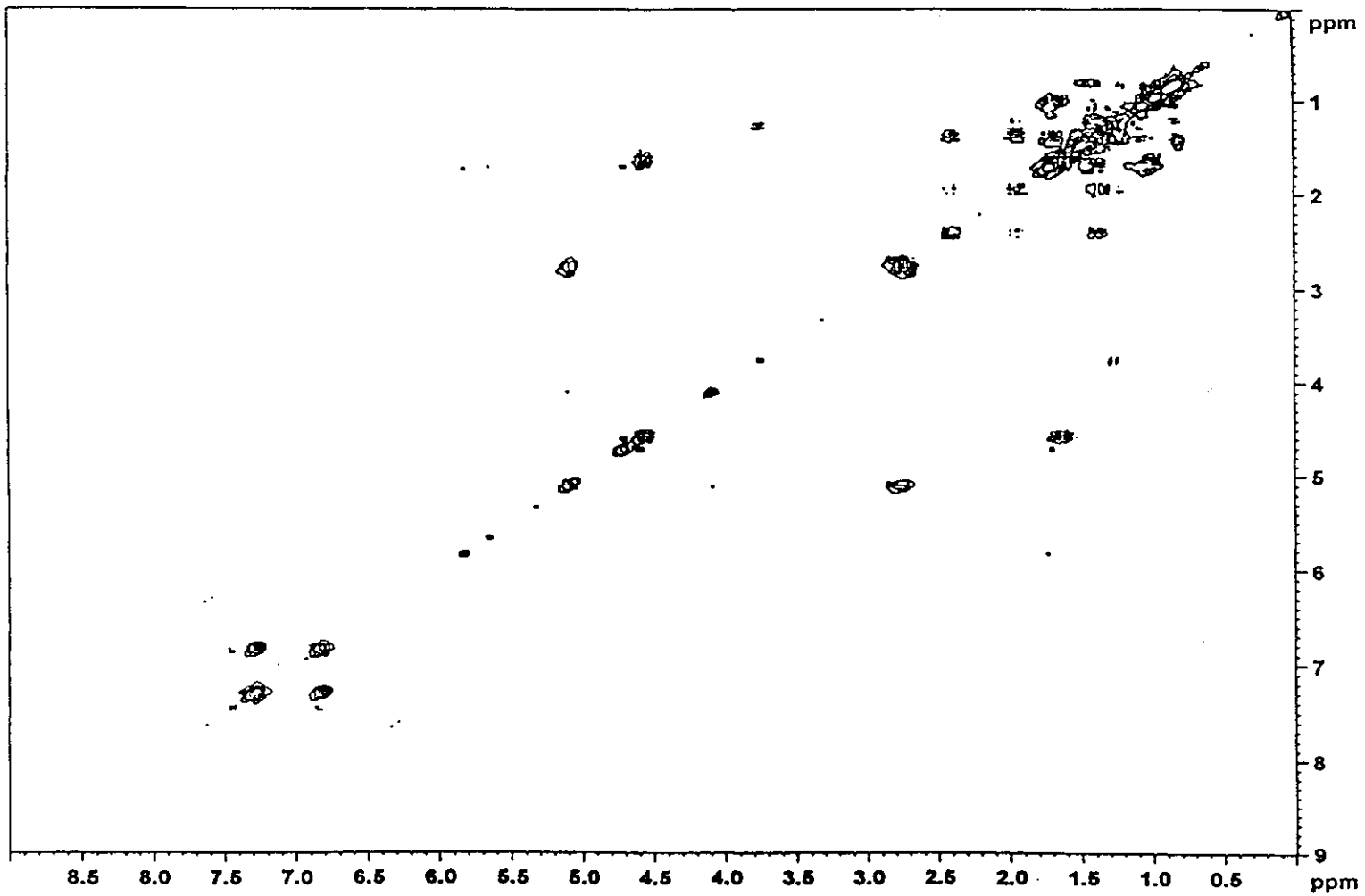
ภาพประกอบที่ 30 แมสสเปกตรัมของสาร PTH13



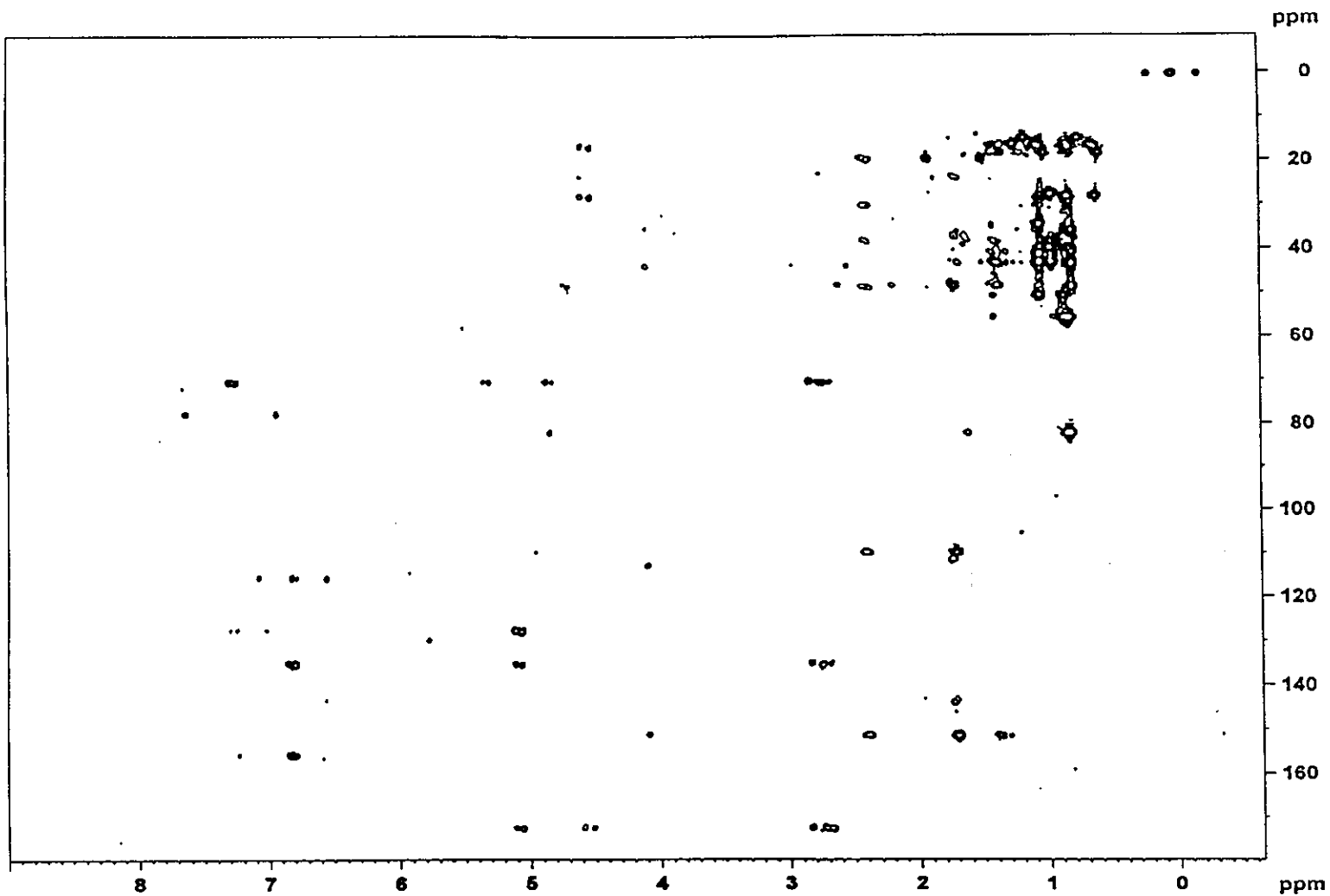
ภาพประกอบที่ 31 ^1H NMR (CDCl_3) สเปกตรัมของสาร PTH13



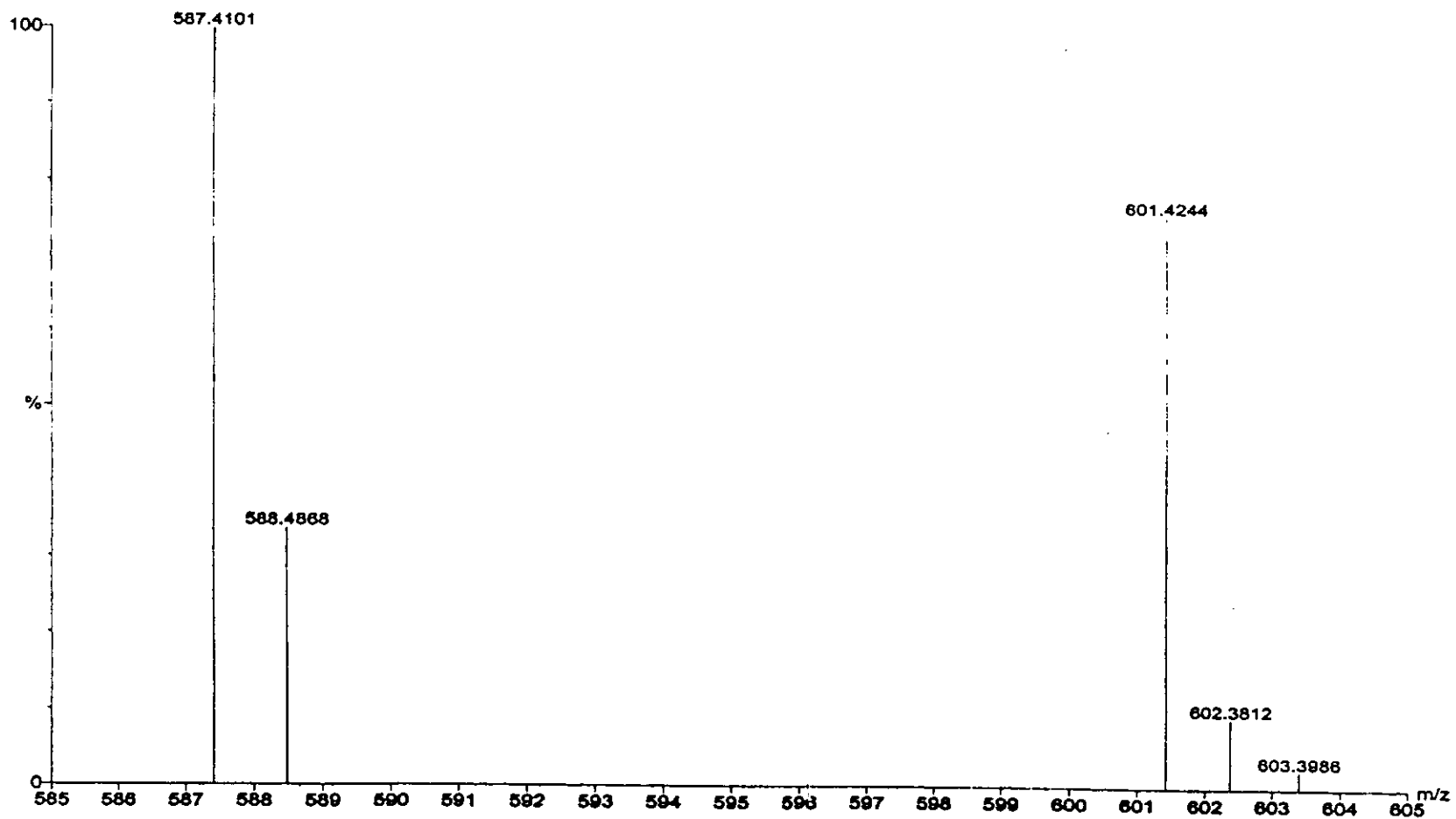
ภาพประกอบที่ 32 DEPT 135° DEPT 90° สเปกตรัมของสาร PTH13



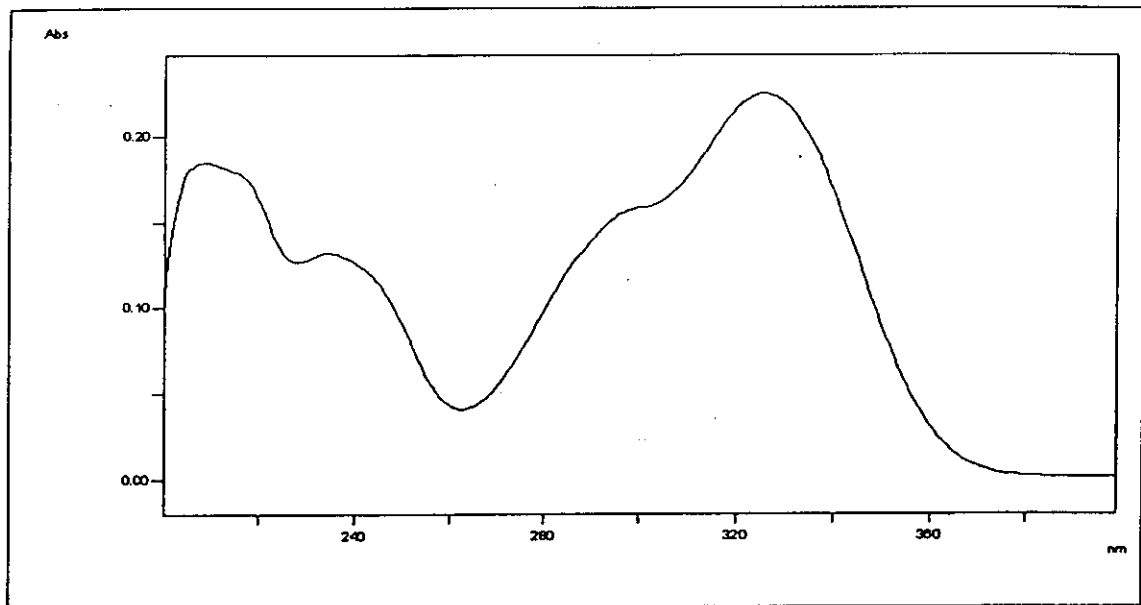
ภาพประกอบที่ 33 COSY สเปกตรัมของสาร PTH13



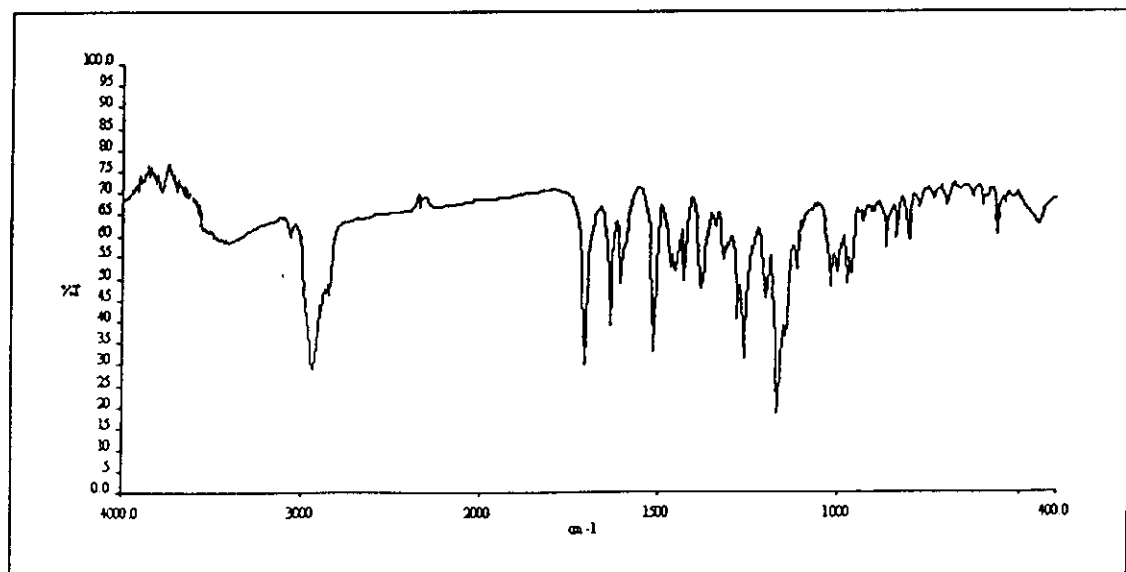
ภาพประกอบที่ 34 HMBC สเปกตรัมของสาร PTH13



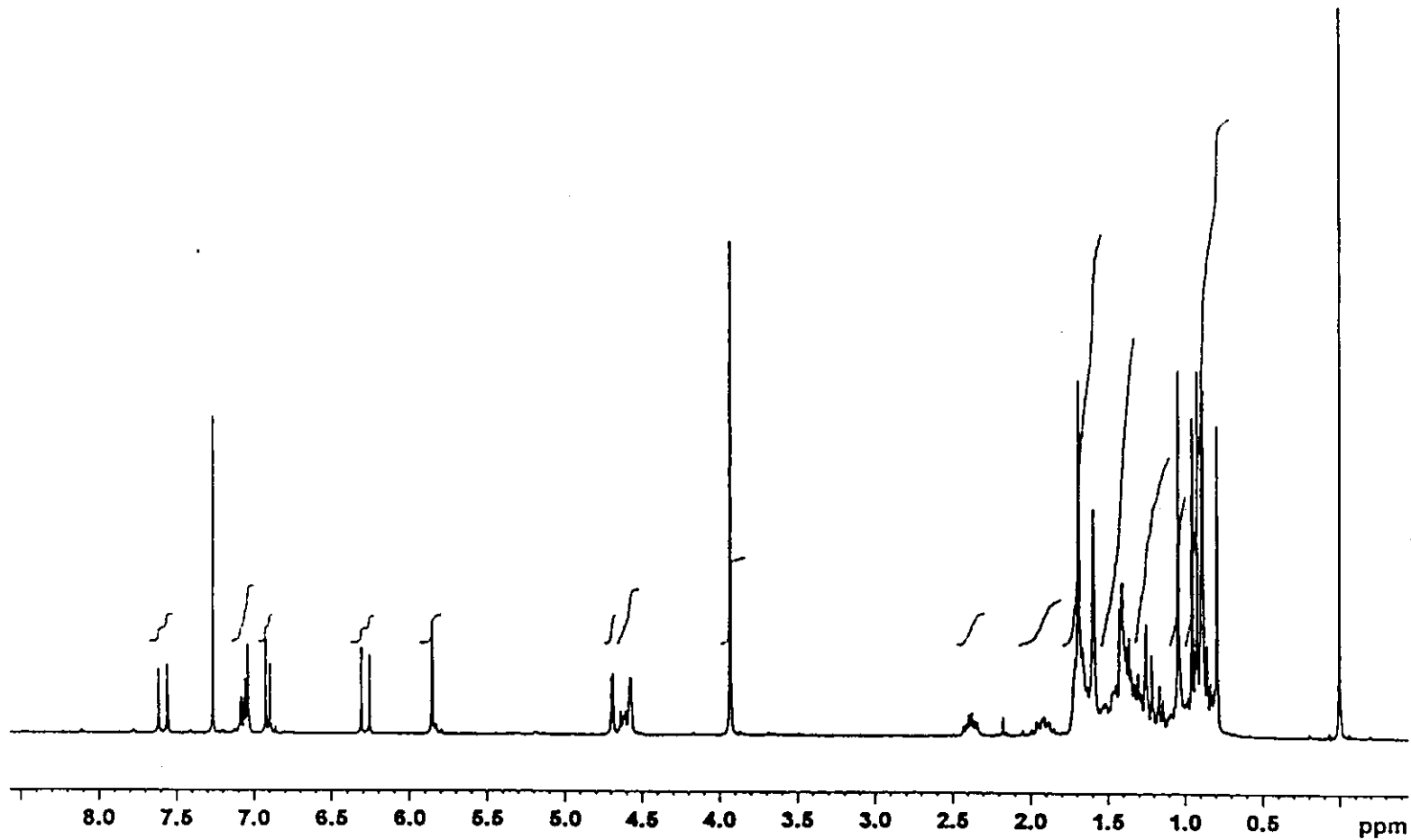
ภาพประกอบที่ 35 แมสสเปกตรัมของสาร PTH14



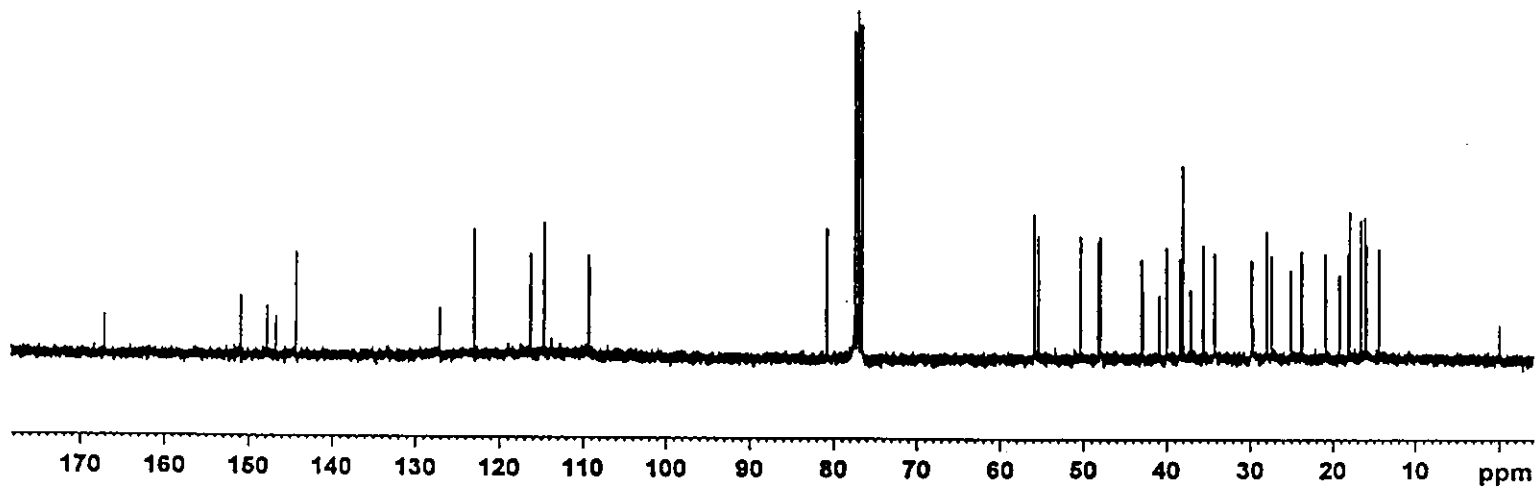
UV (MeOH):



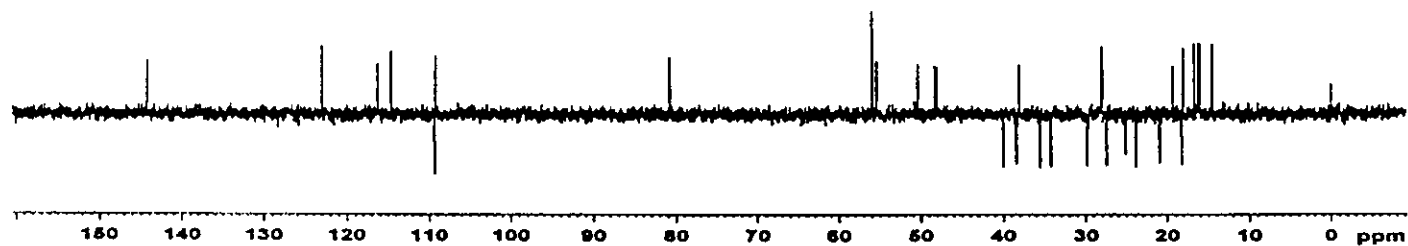
ภาพประกอบที่ 36 UV และ IR สเปกตรัมของสาร PTH14



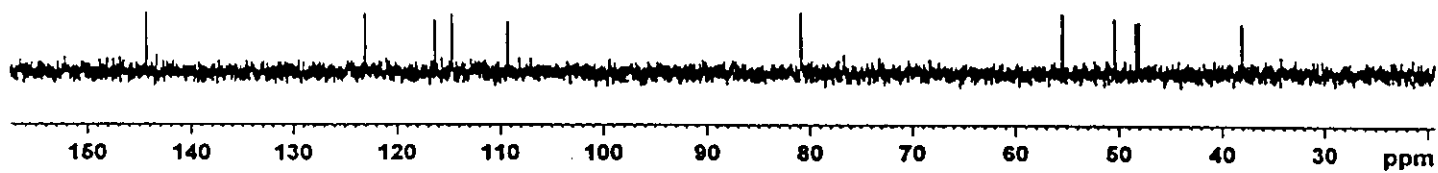
ภาพประกอบที่ 37 $^1\text{H NMR}$ (CDCl_3) สเปกตรัมของสาร PTH14



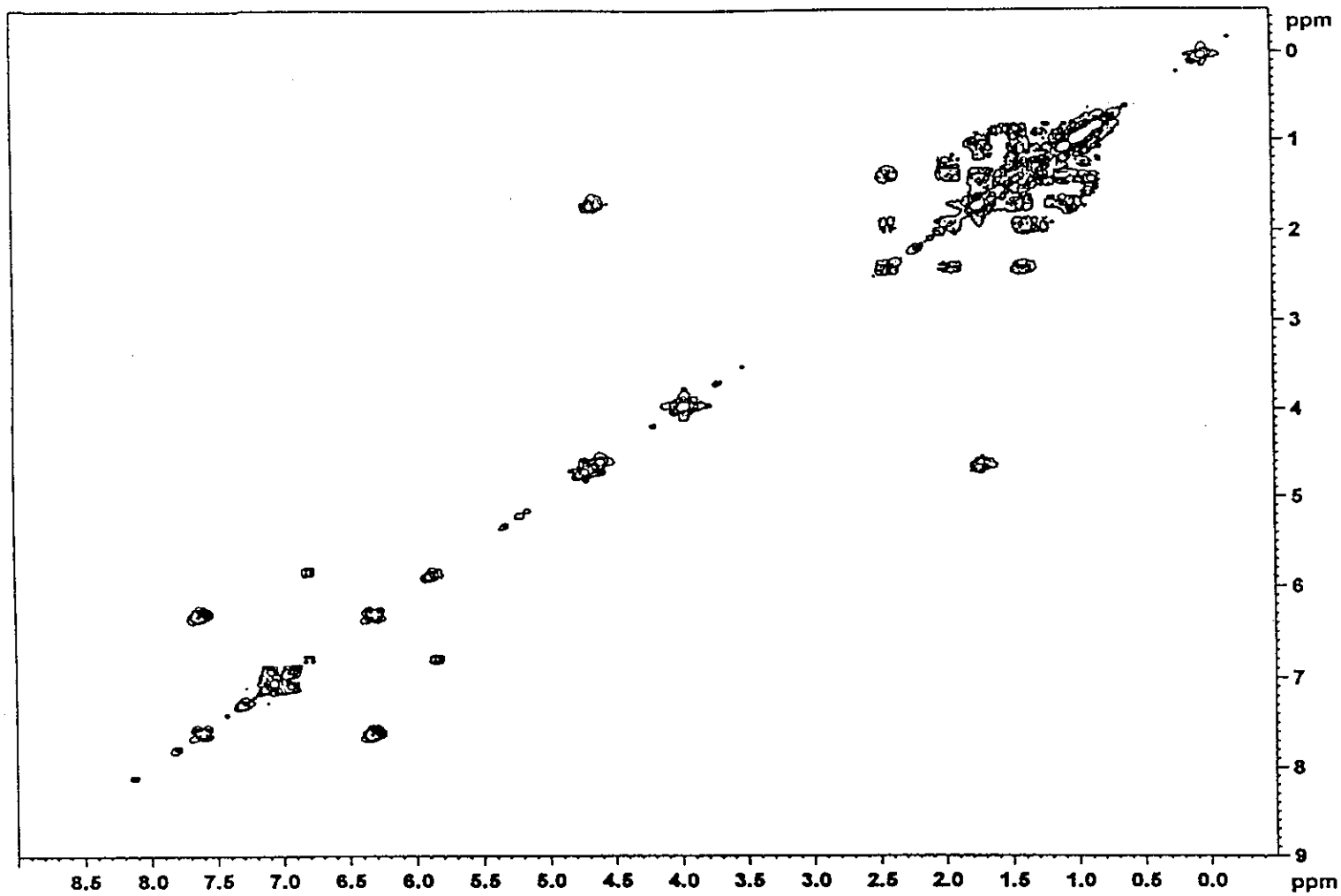
ภาพประกอบที่ 38 ^{13}C NMR (CDCl_3) สเปกตรัมของสาร PTH14



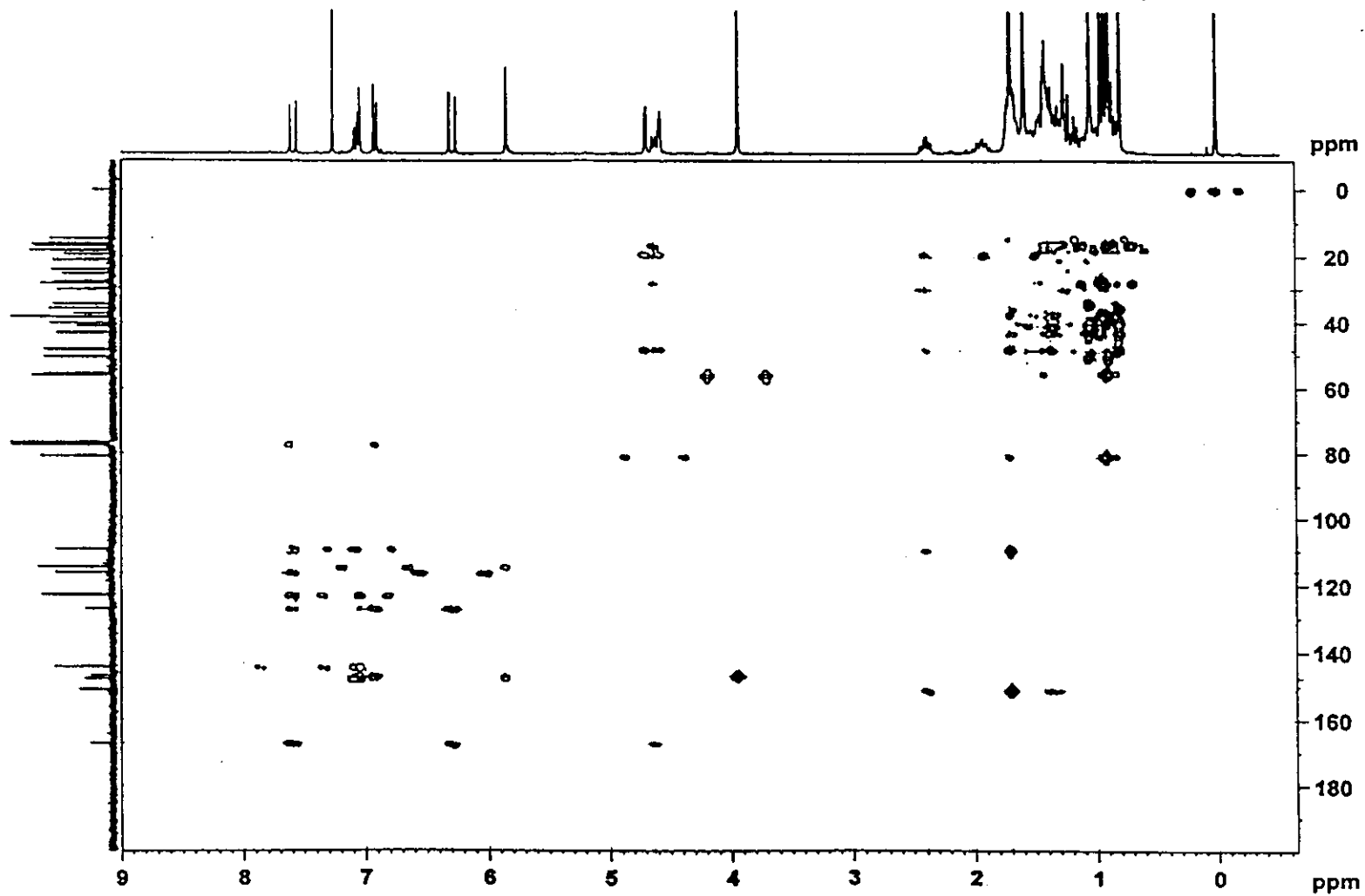
DEPT 135° (CDCl₃)



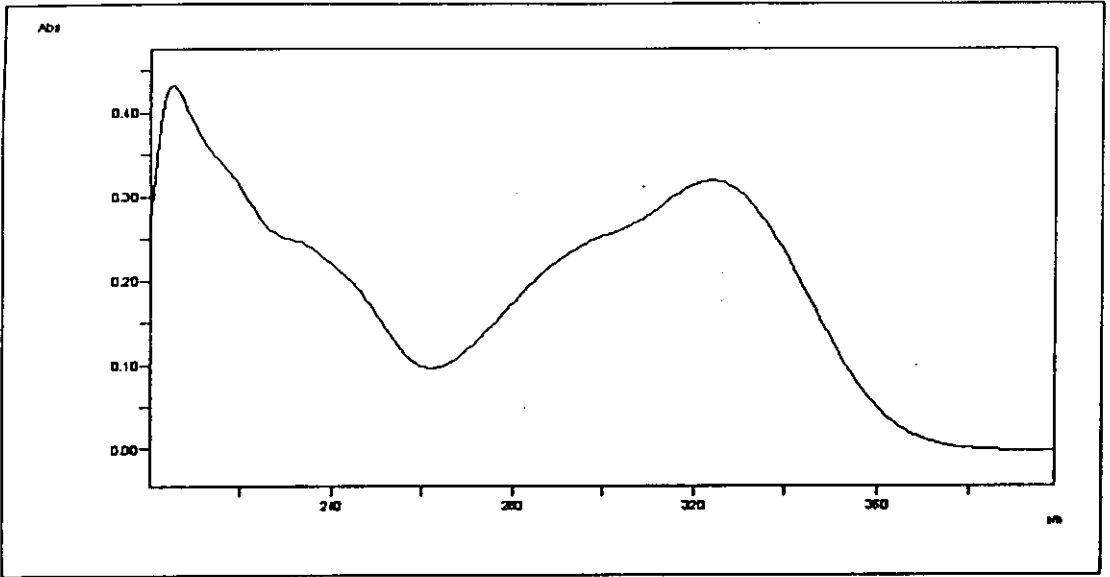
ภาพประกอบที่ 39 DEPT 135° DEPT 90° สเปกตรัมของสาร PTH14



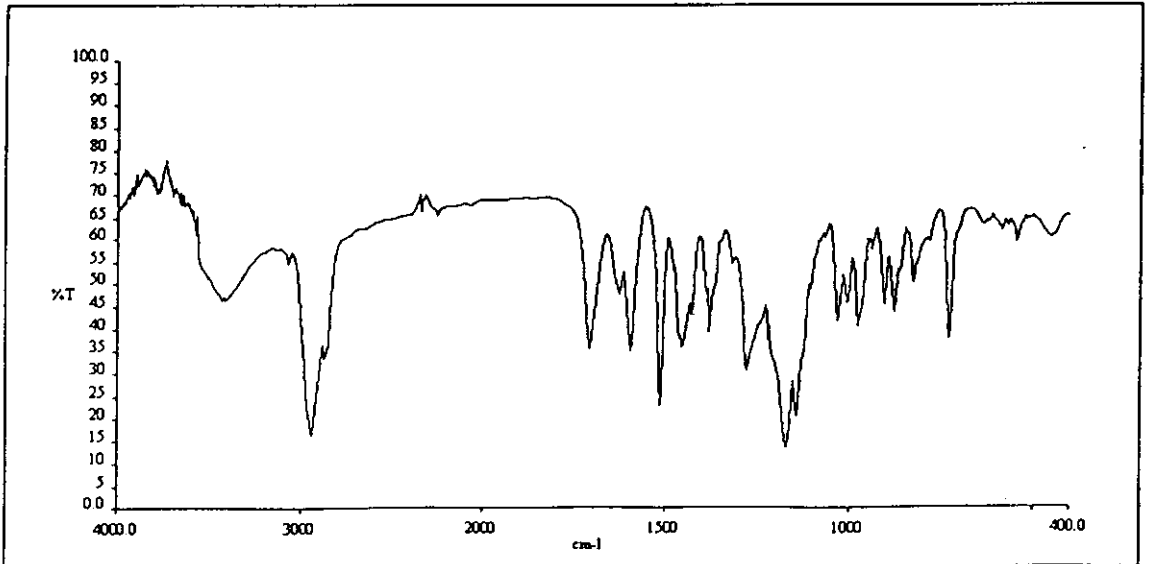
ภาพประกอบที่ 40 COSY สเปกตรัมของสาร PTH14



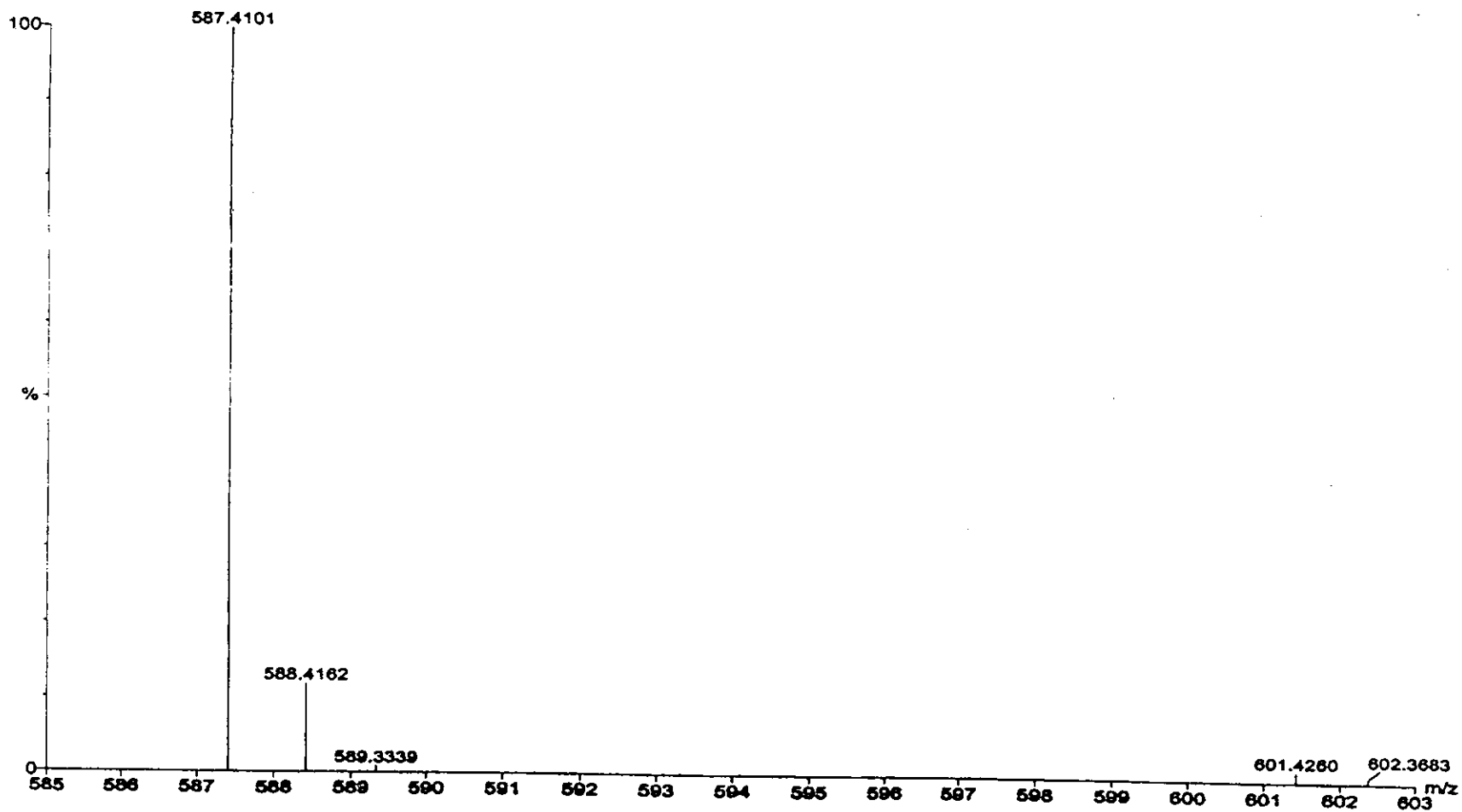
ภาพประกอบที่ 41 HMBC สเปกตรัมของสาร PTH14



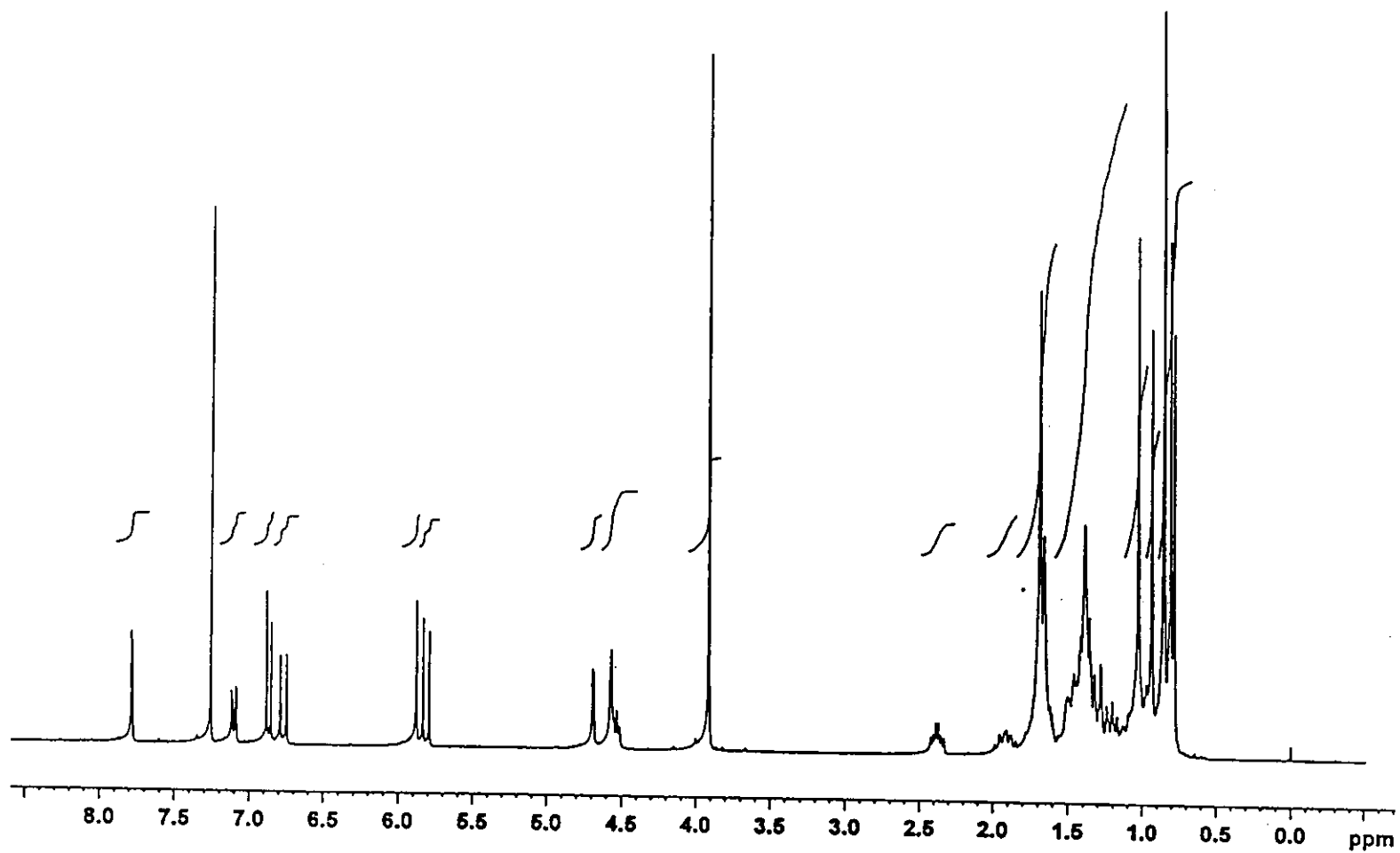
UV (MeOH)



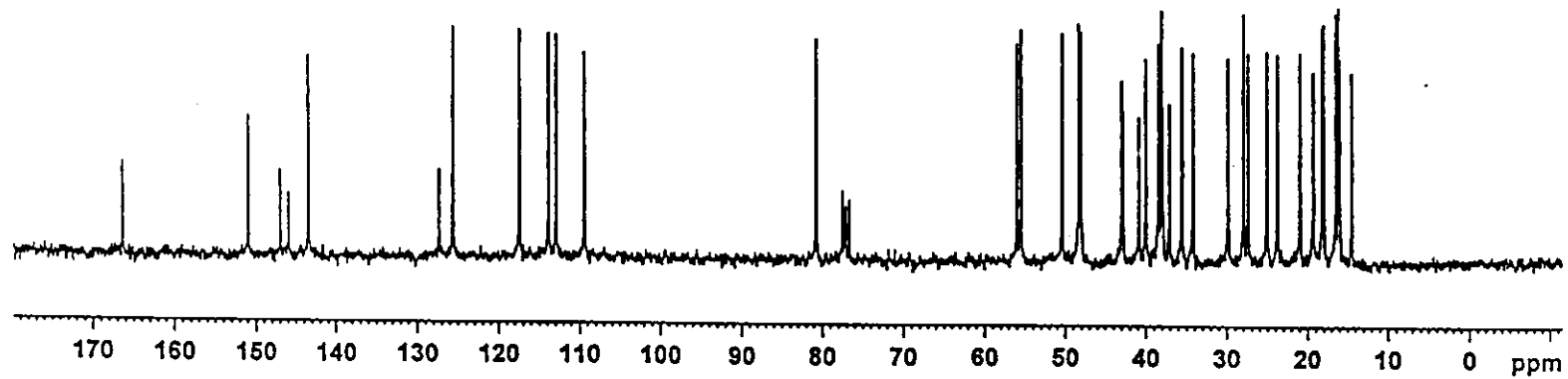
ภาพประกอบที่ 42 UV และ IR สเปกตรัมของสาร PTH15



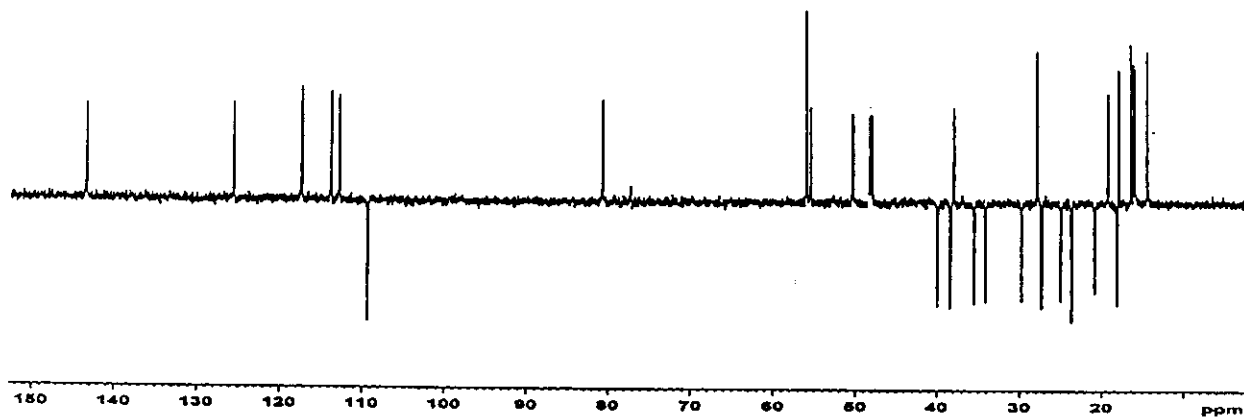
ภาพประกอบที่ 43 แมสสเปกตรัมของสาร PTH15



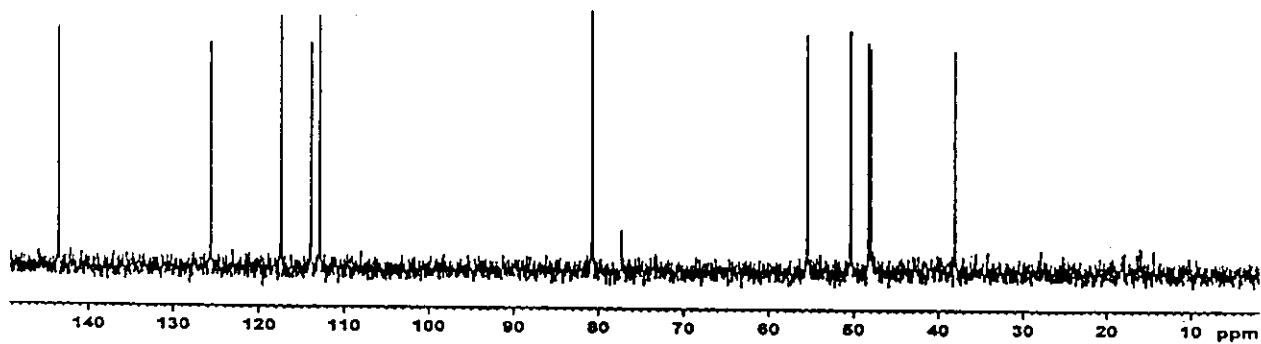
ภาพประกอบที่ 44 ^1H NMR (CDCl_3) สเปกตรัมของสาร PTH15



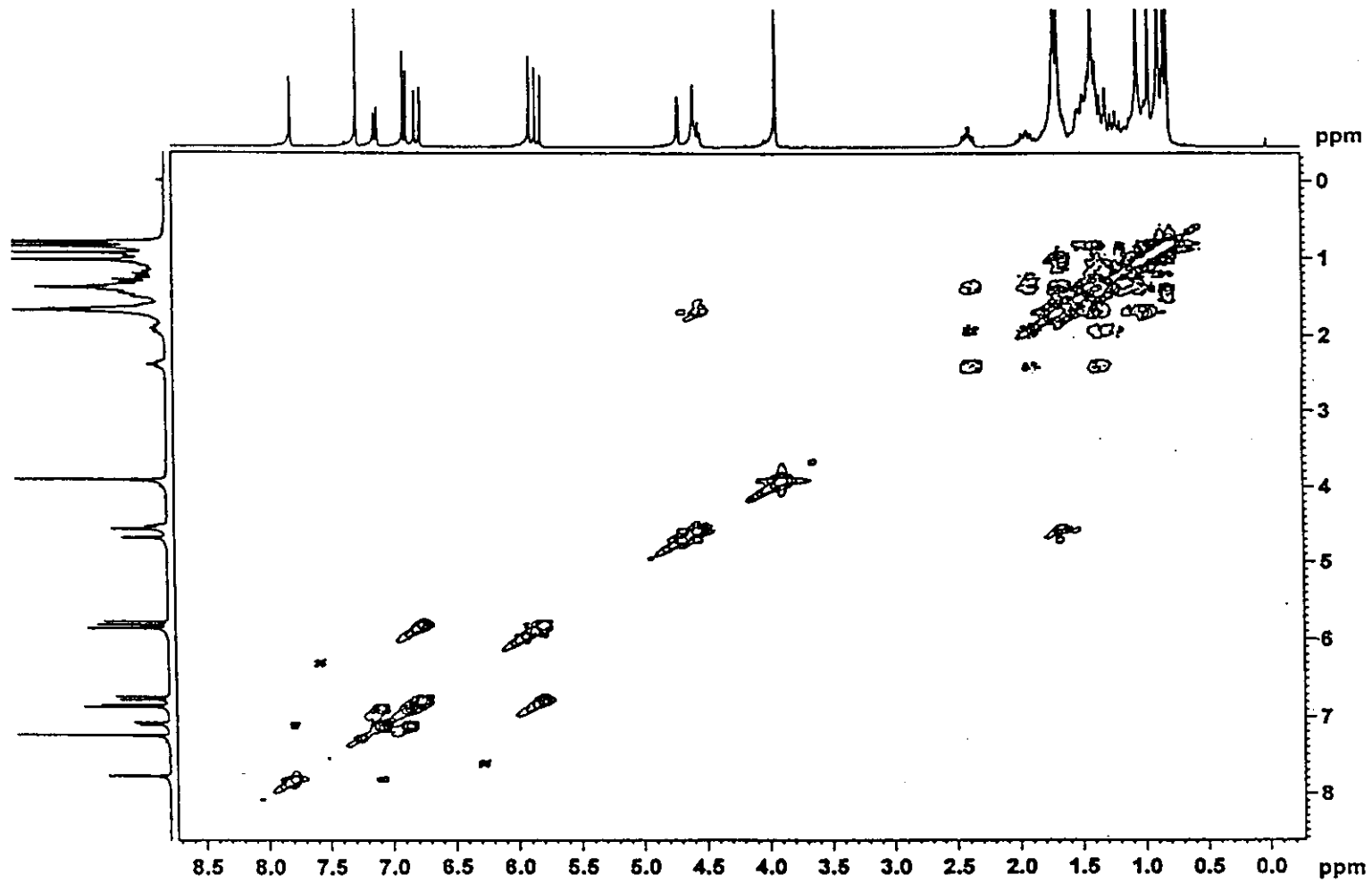
ภาพประกอบที่ 45 ^{13}C NMR (CDCl_3) สเปกตรัมของสาร PTH15



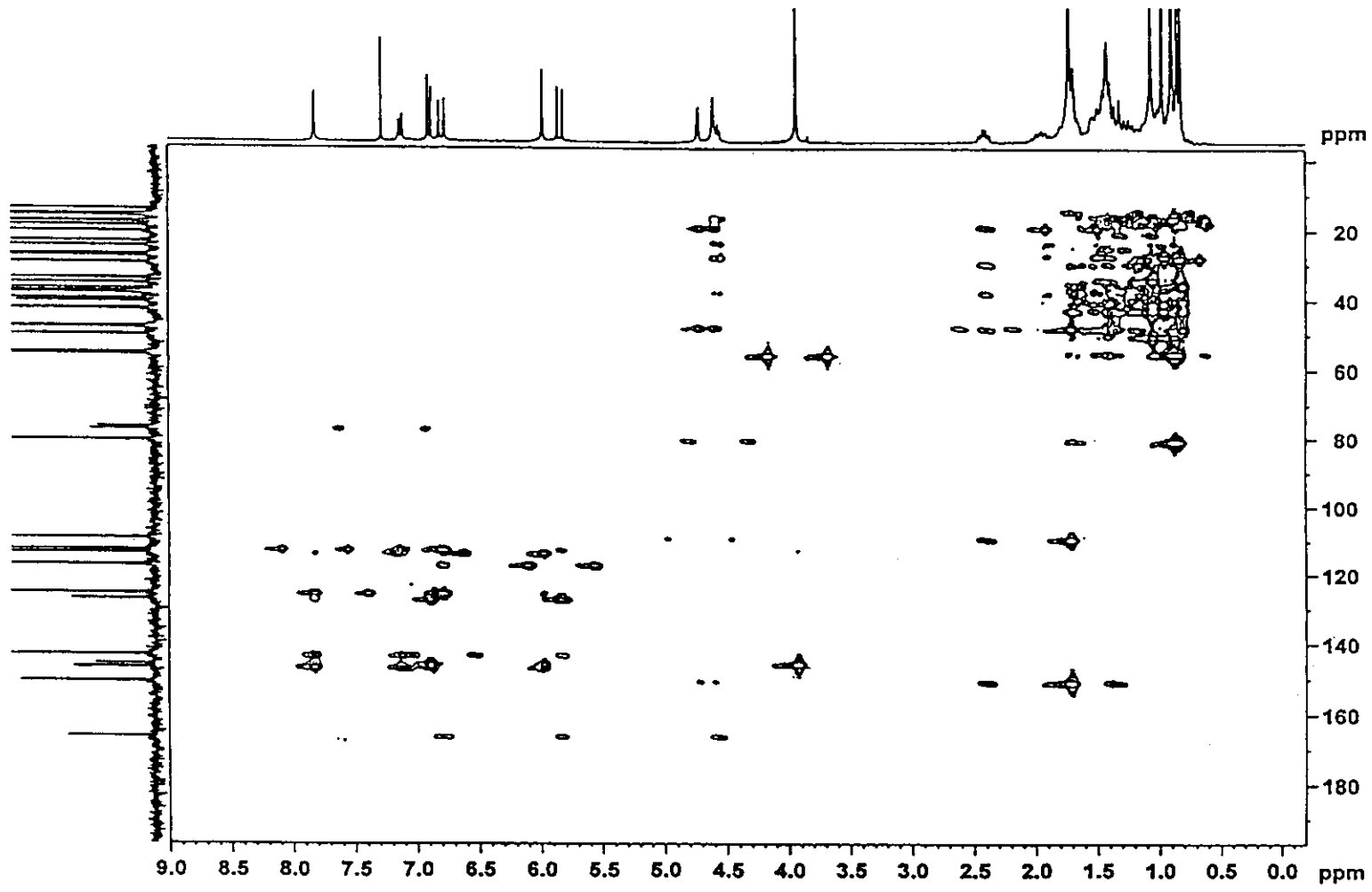
DEPT 135° (CDCl₃)



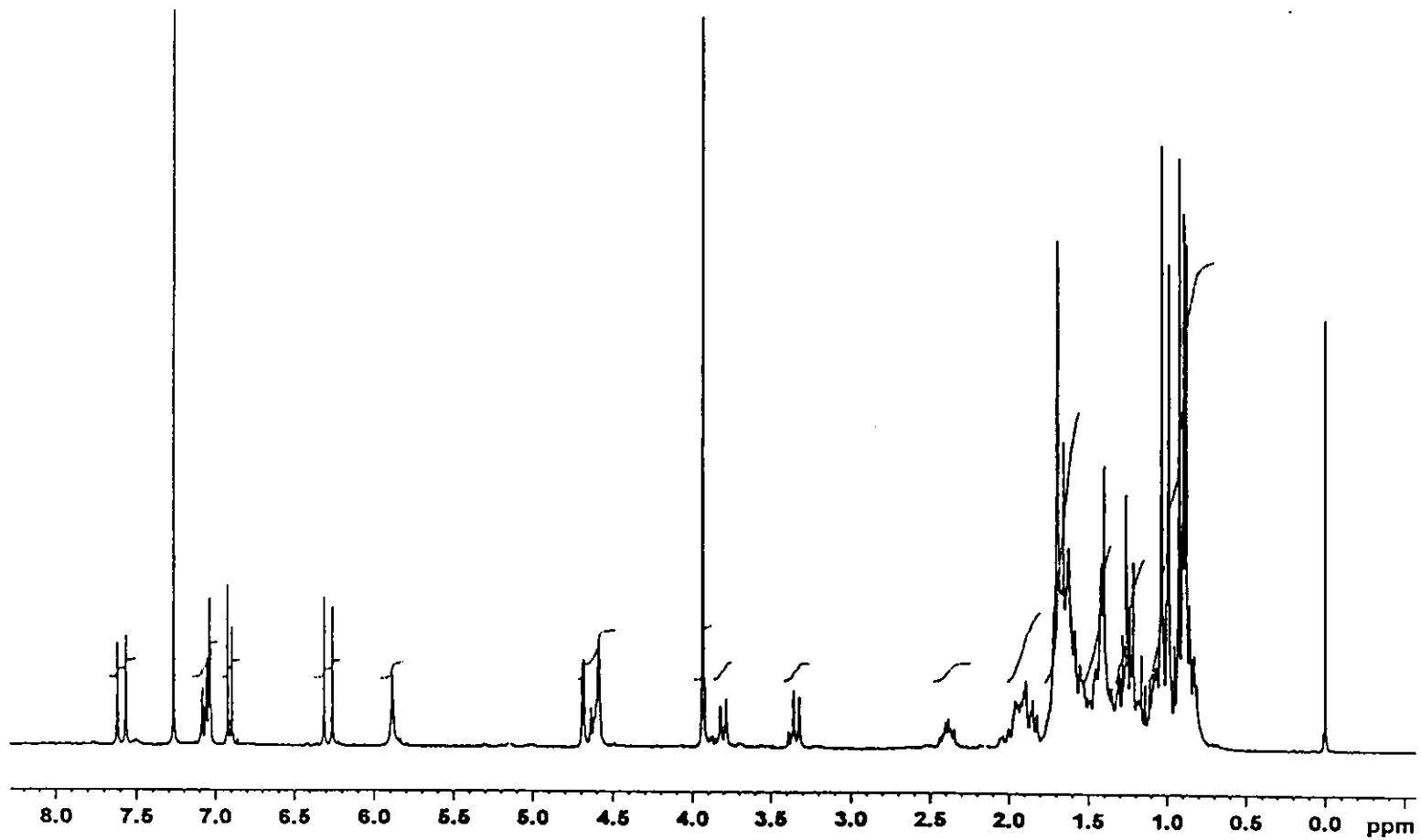
ภาพประกอบที่ 46 DEPT 135° DEPT 90° สเปกตรัมของสาร PTH15



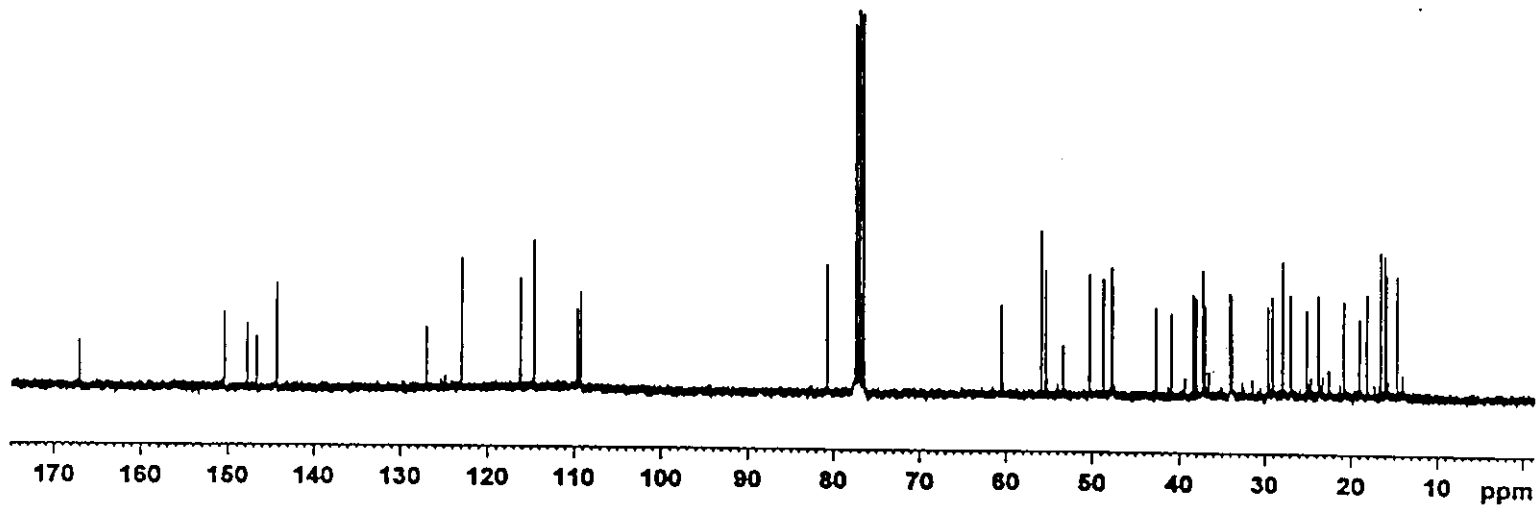
ภาพประกอบที่ 47 COSY สเปกตรัมของสาร PTH15



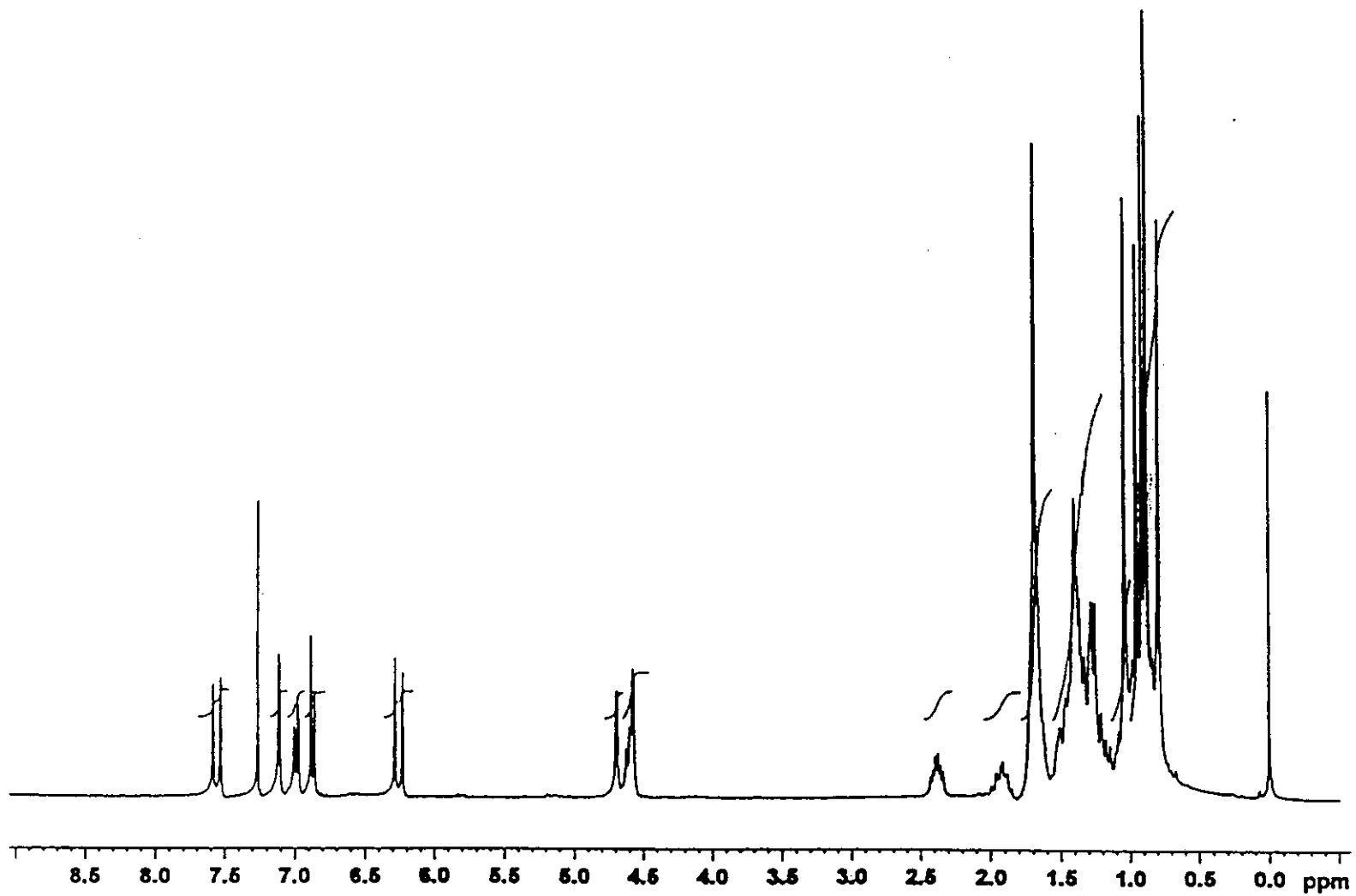
ภาพประกอบที่ 48 HMBC สเปกตรัมของสาร PTH15



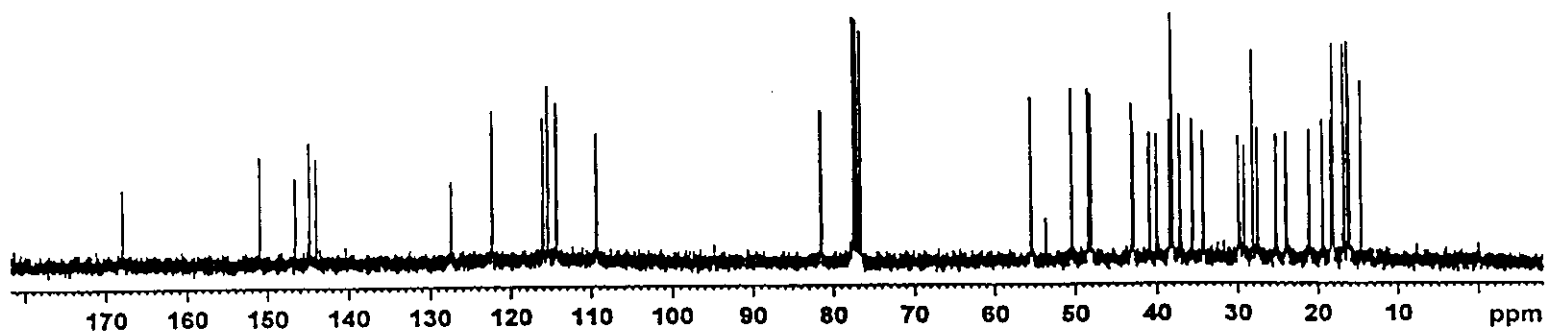
ภาพประกอบที่ 49 ^1H NMR (CDCl_3) สเปกตรัมของสาร PTH16



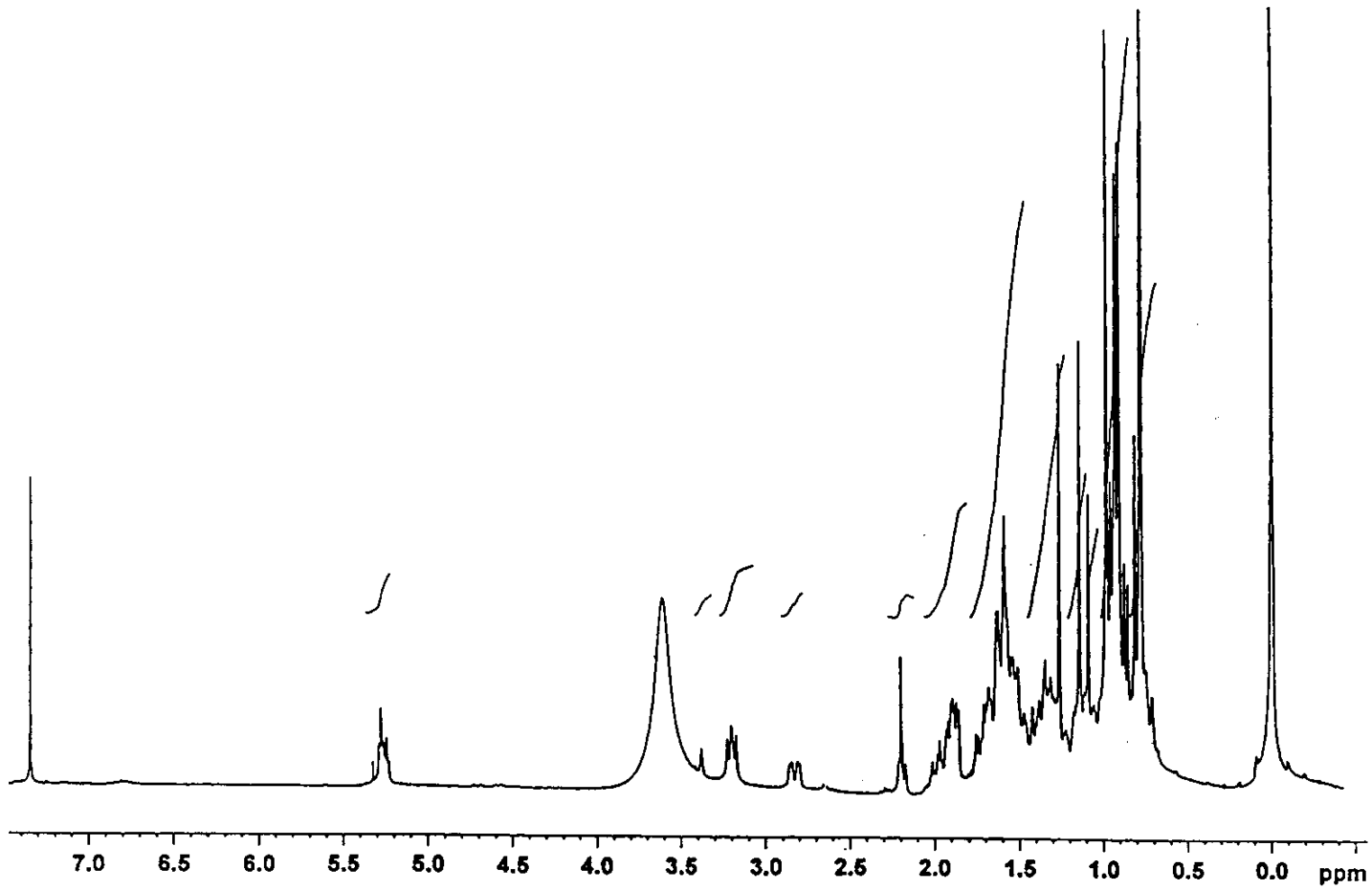
ภาพประกอบที่ 50 ^{13}C NMR (CDCl_3) สเปกตรัมของสาร PTH16



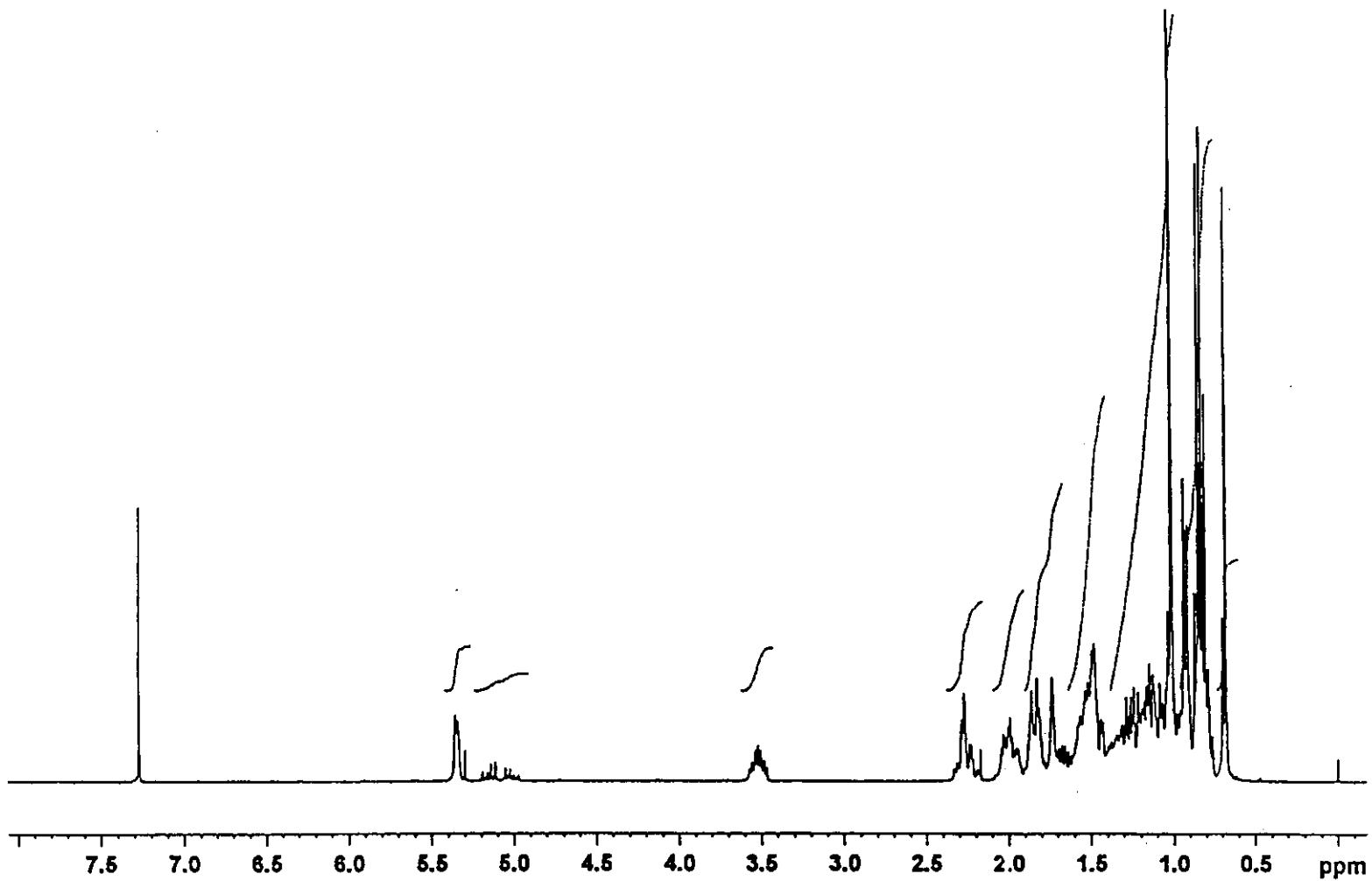
ภาพประกอบที่ 51 ^1H NMR (CDCl_3) สเปกตรัมของสาร PTH17



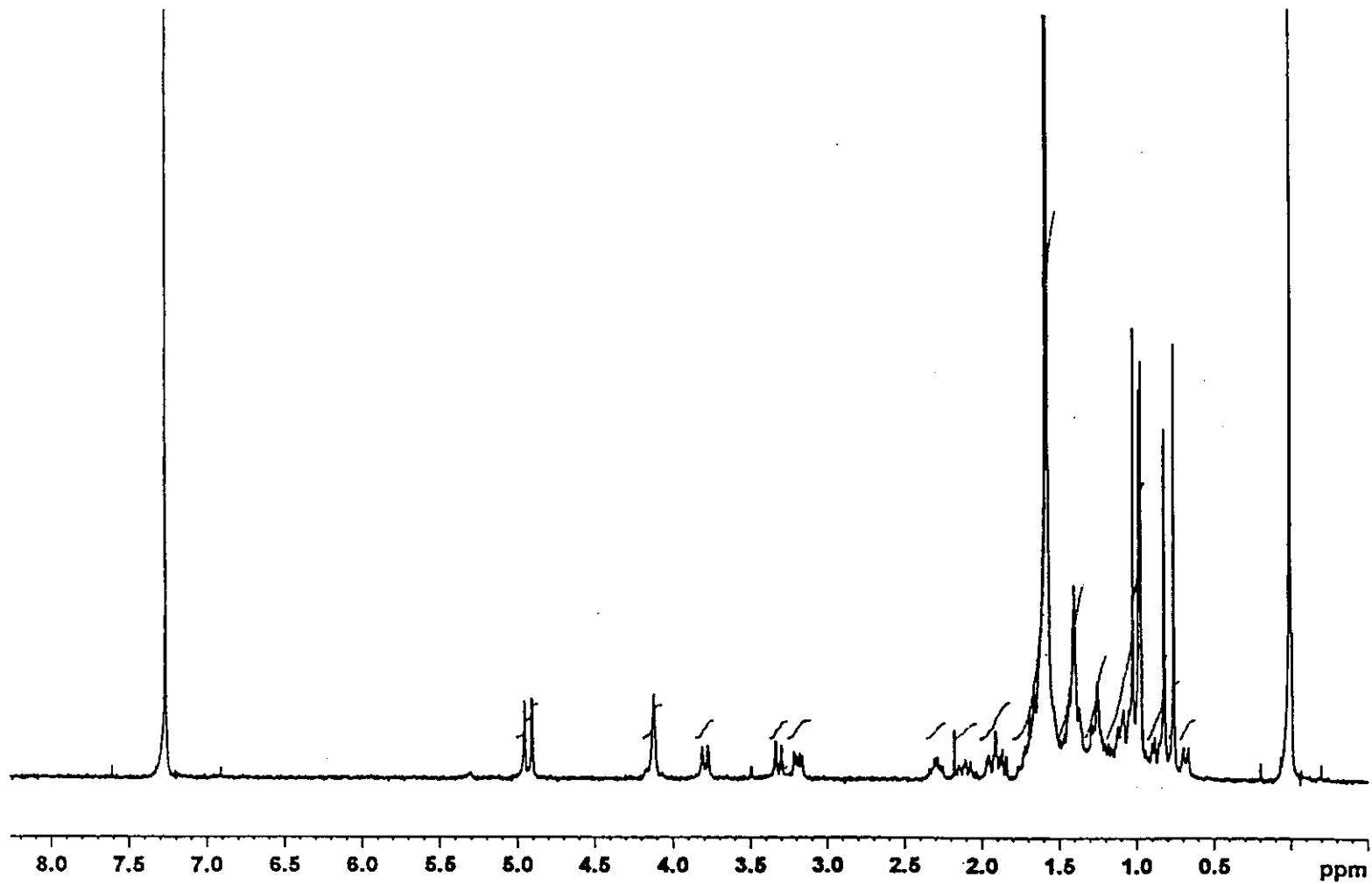
ภาพประกอบที่ 52 ^{13}C NMR (CDCl_3) สเปกตรัมของสาร PTH17



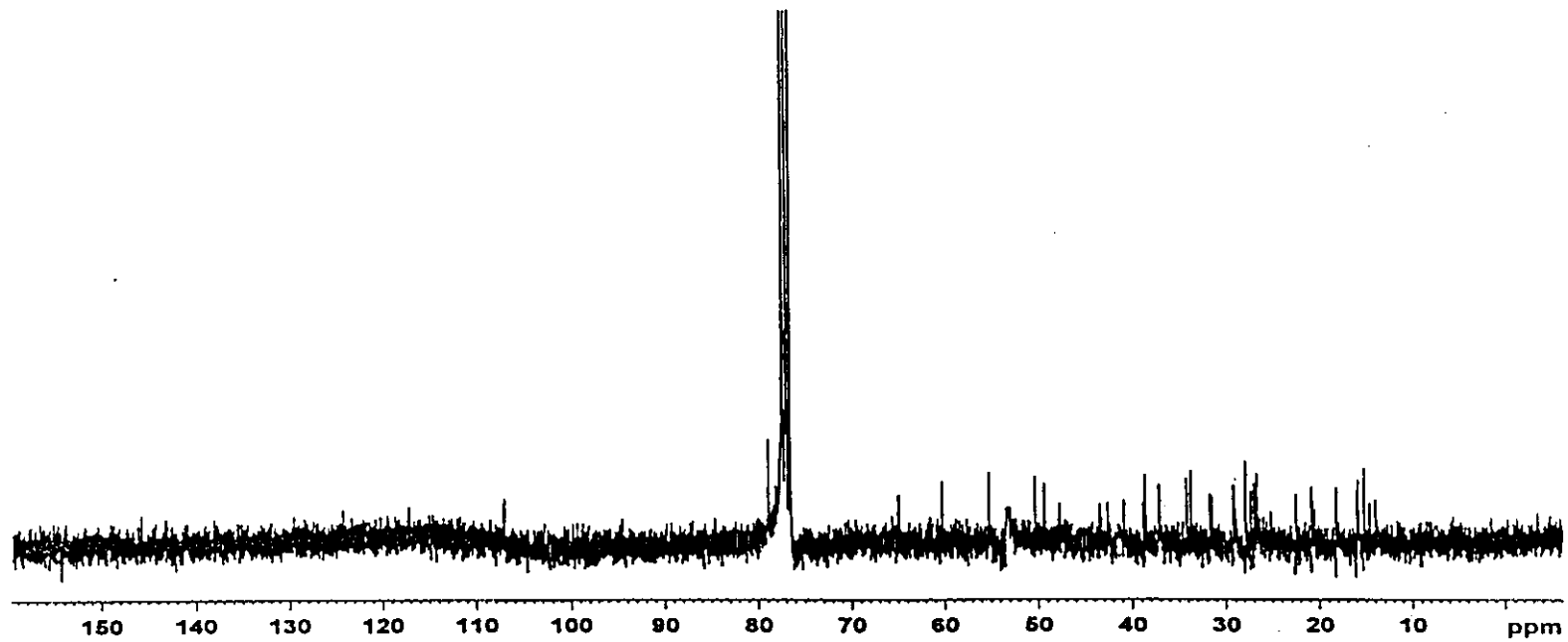
ภาพประกอบที่ 53 ^1H NMR (CDCl_3) สเปกตรัมของสารผสม PTH18 และ PTH19



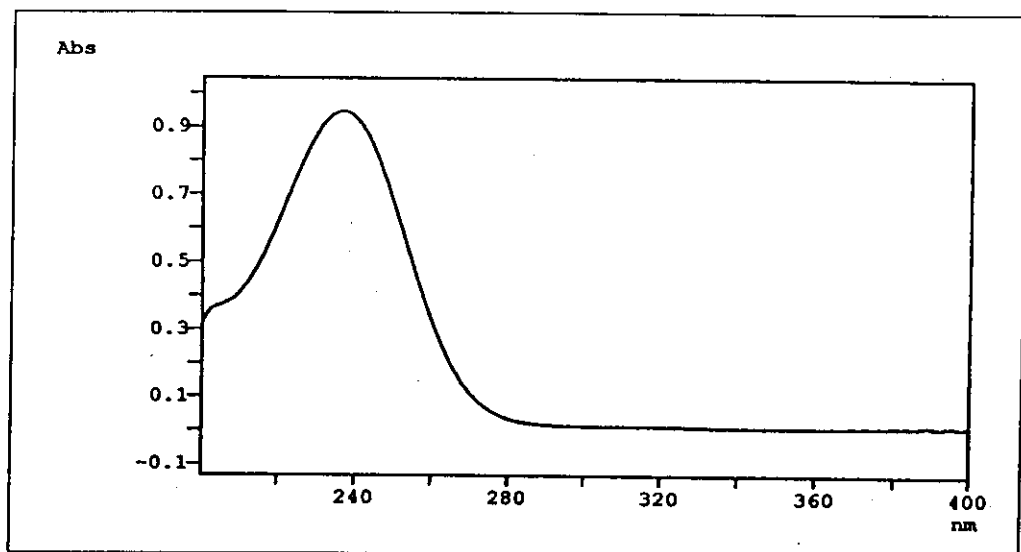
ภาพประกอบที่ 54 ^1H NMR (CDCl_3) สเปกตรัมของสารผสม PTH20 และ PTH21



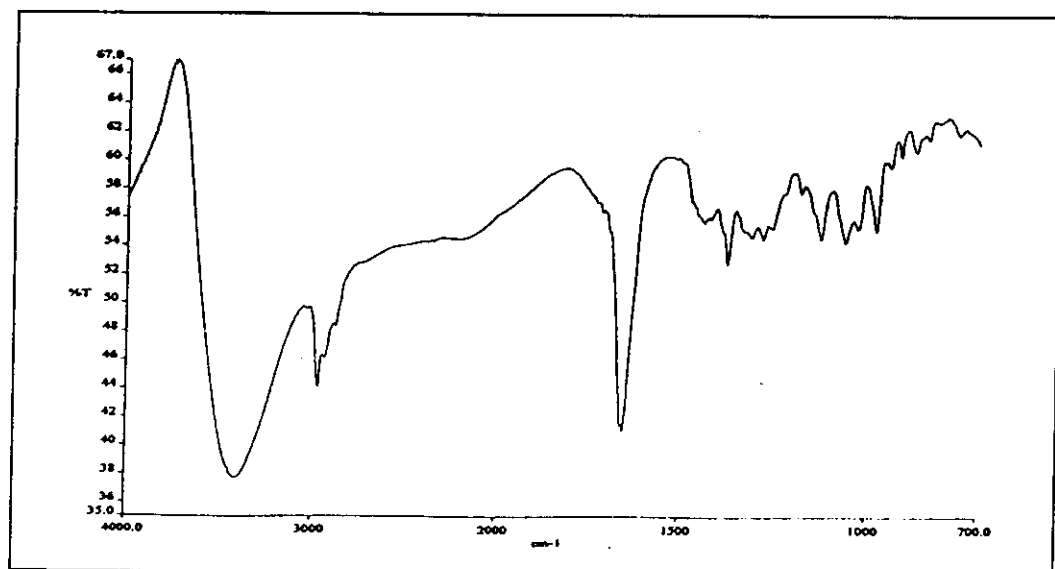
ภาพประกอบที่ 55 ^1H NMR (CDCl_3) สเปกตรัมของสาร PTM1



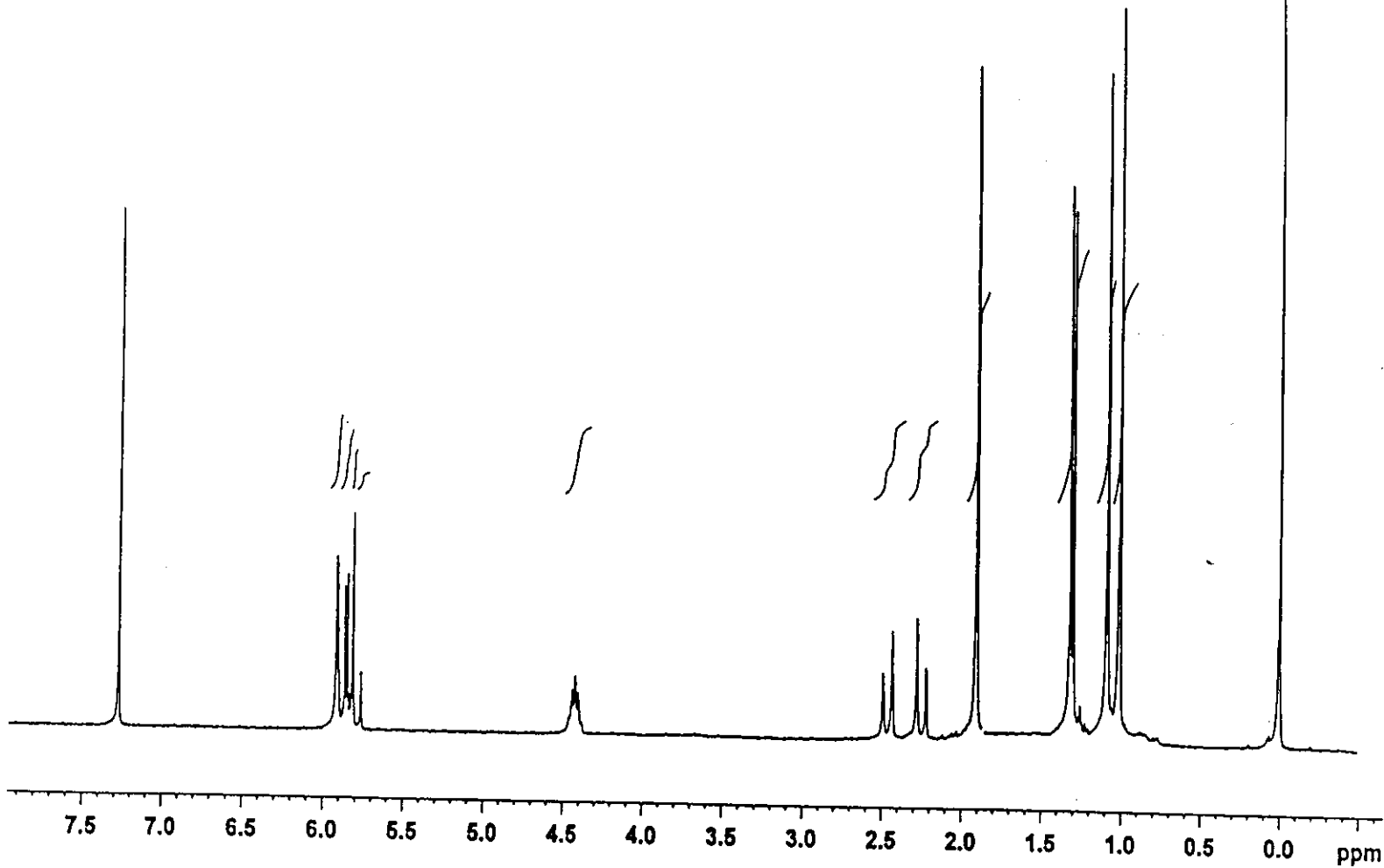
ภาพประกอบที่ 56 ^{13}C NMR (CDCl_3) สเปกตรัมของสาร PTM:



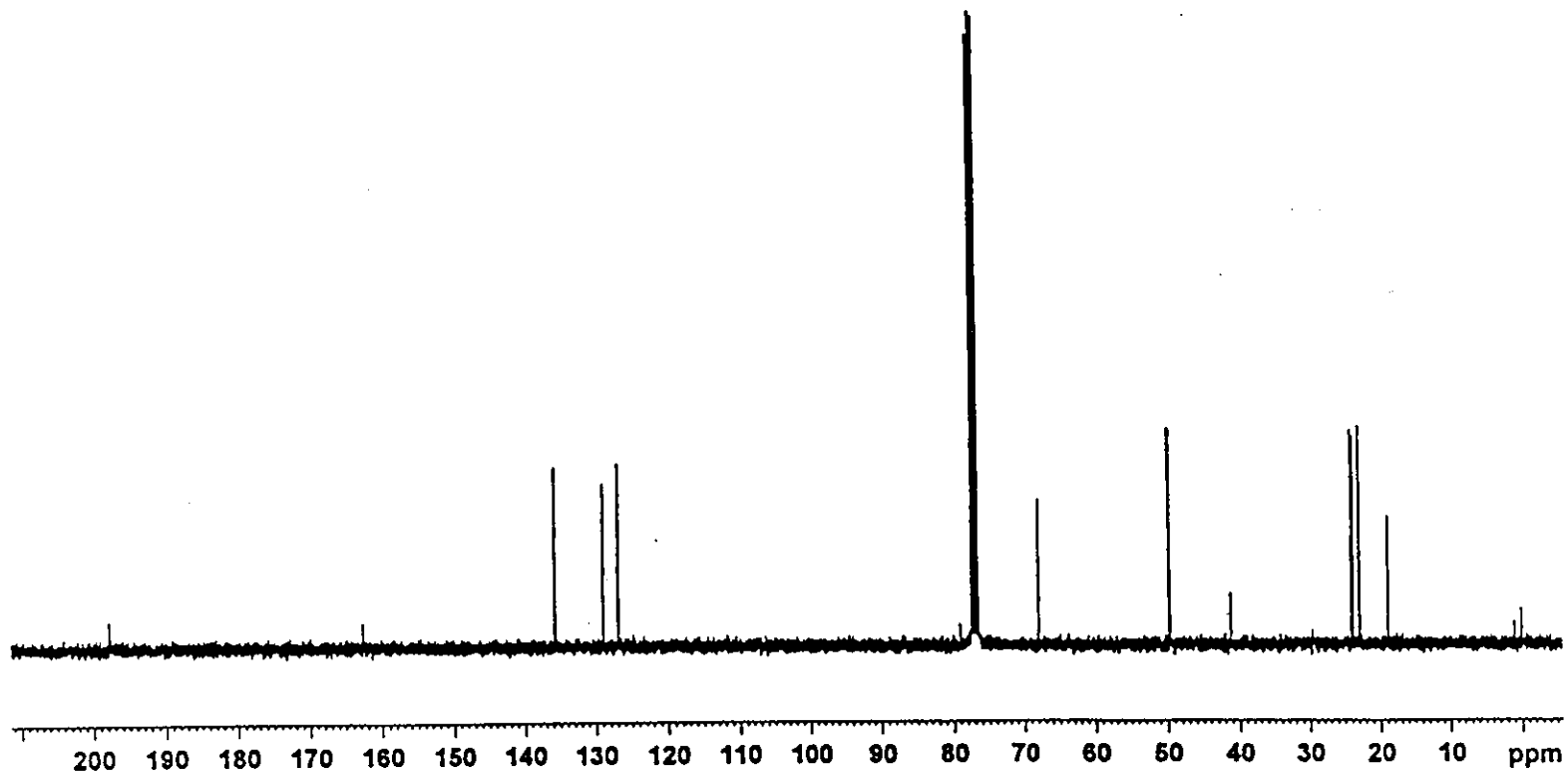
UV (MeOH).



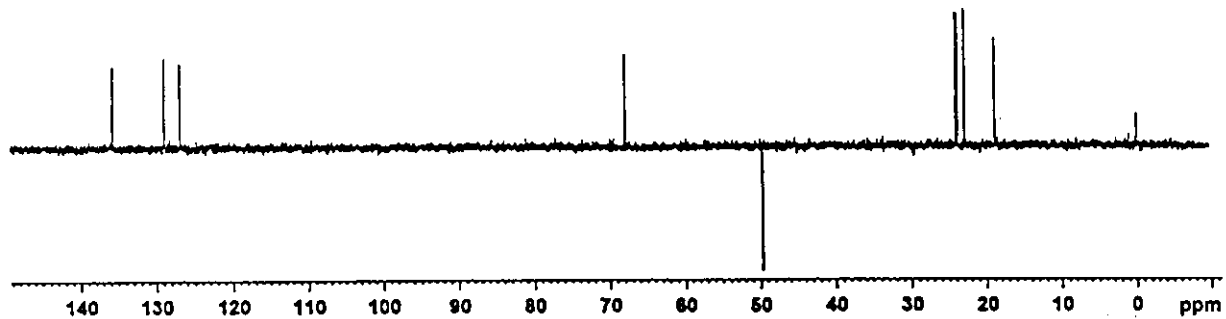
ภาพประกอบที่ 57 UV และ IR สเปกตรัมของสาร PTM2



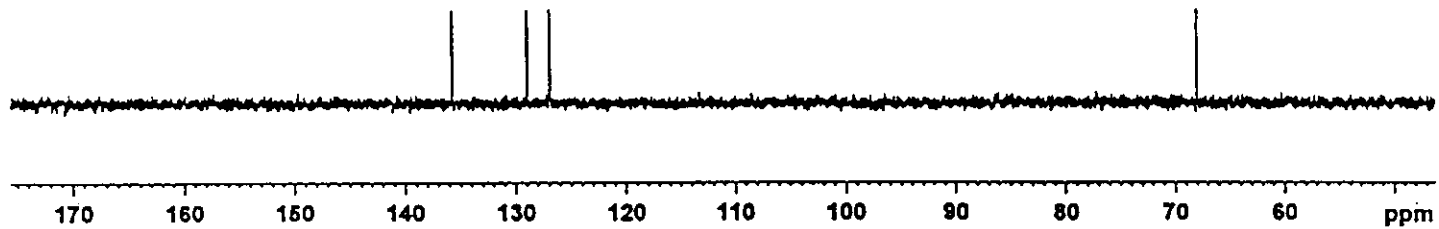
ภาพประกอบที่ 58 ^1H NMR (CDCl_3) สเปกตรัมของสาร PTM2



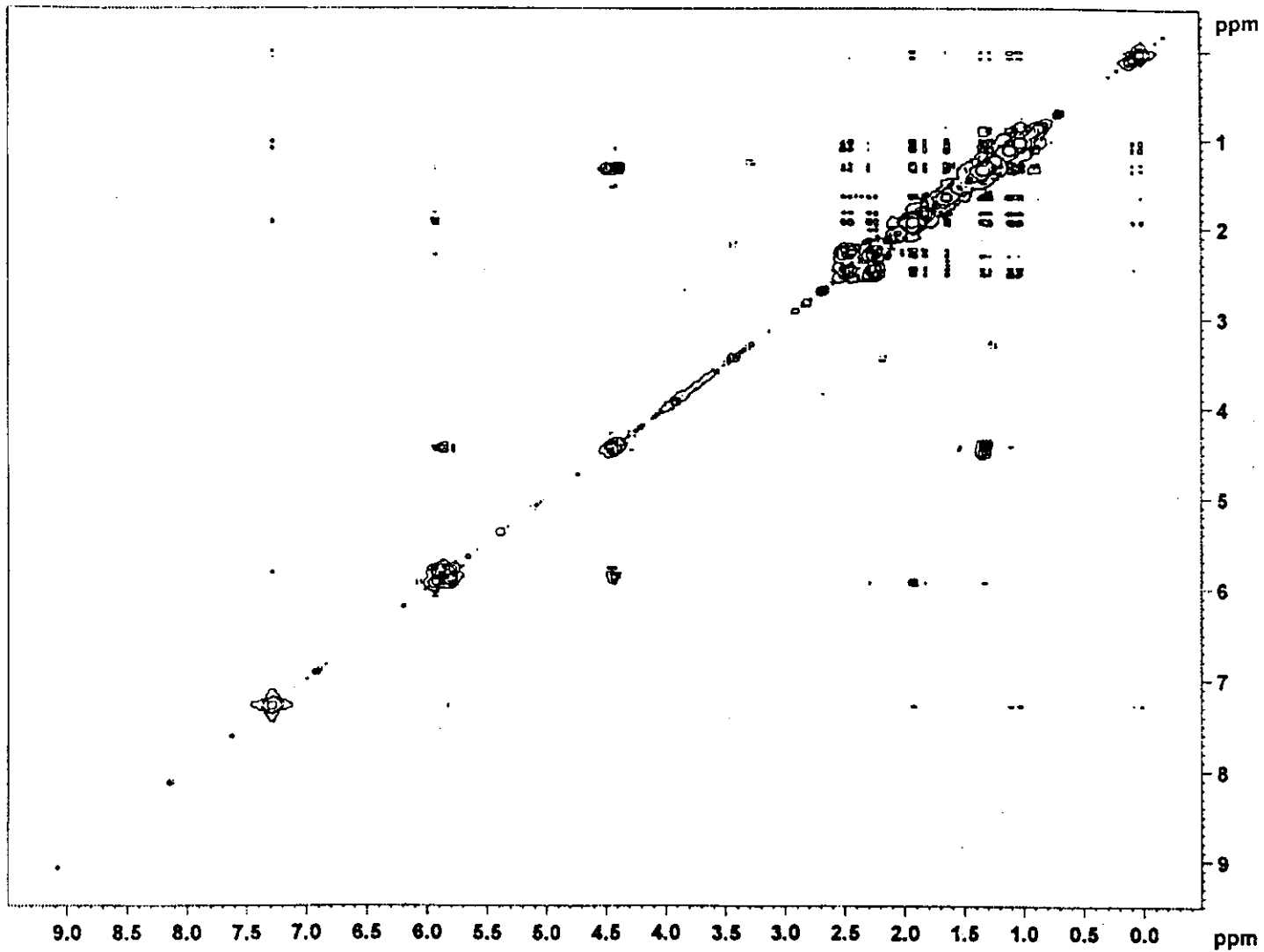
ภาพประกอบที่ 59 ^{13}C NMR (CDCl_3) สเปกตรัมของสาร PTM2



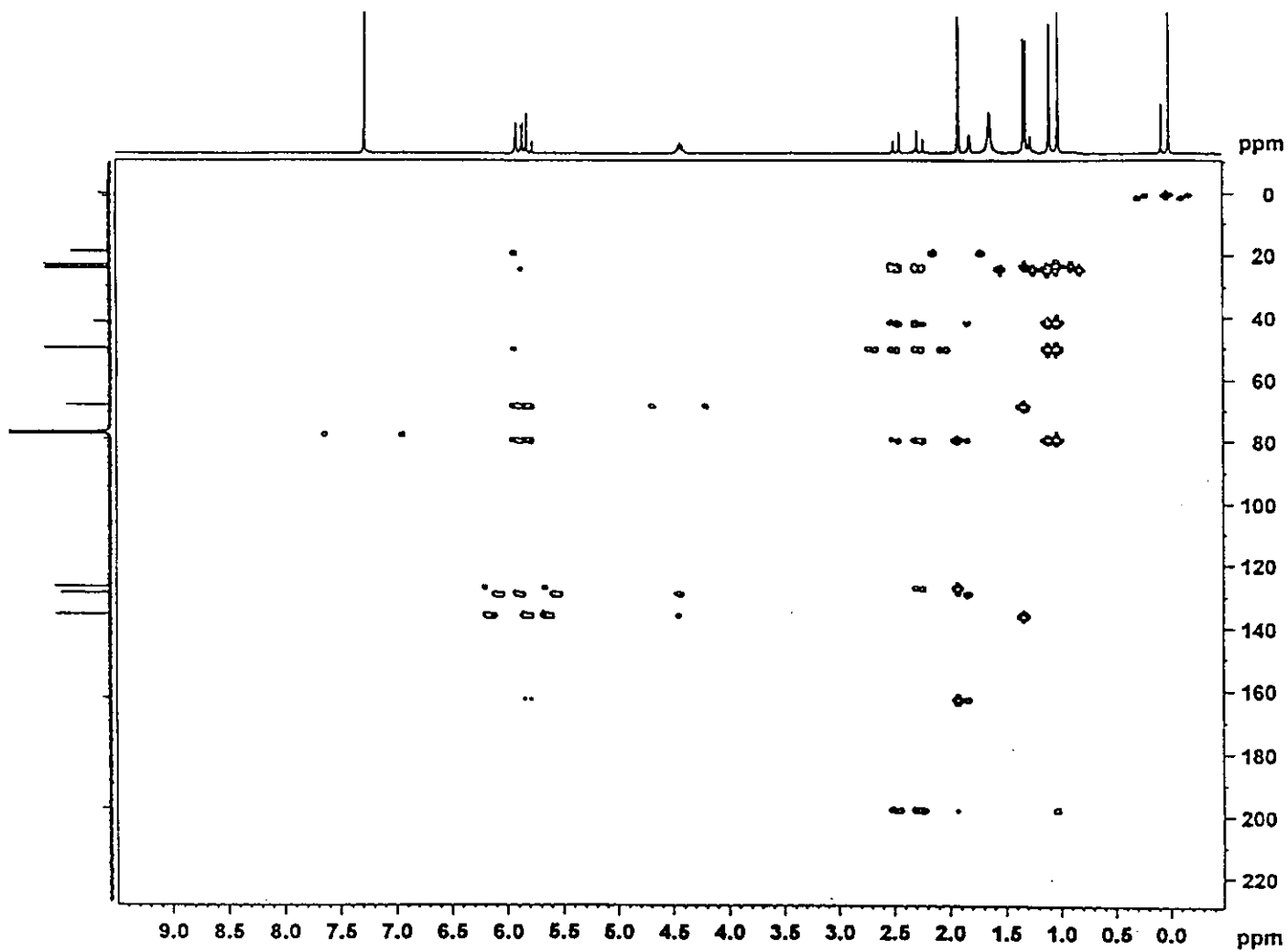
DEPT 135° (CDCl₃)



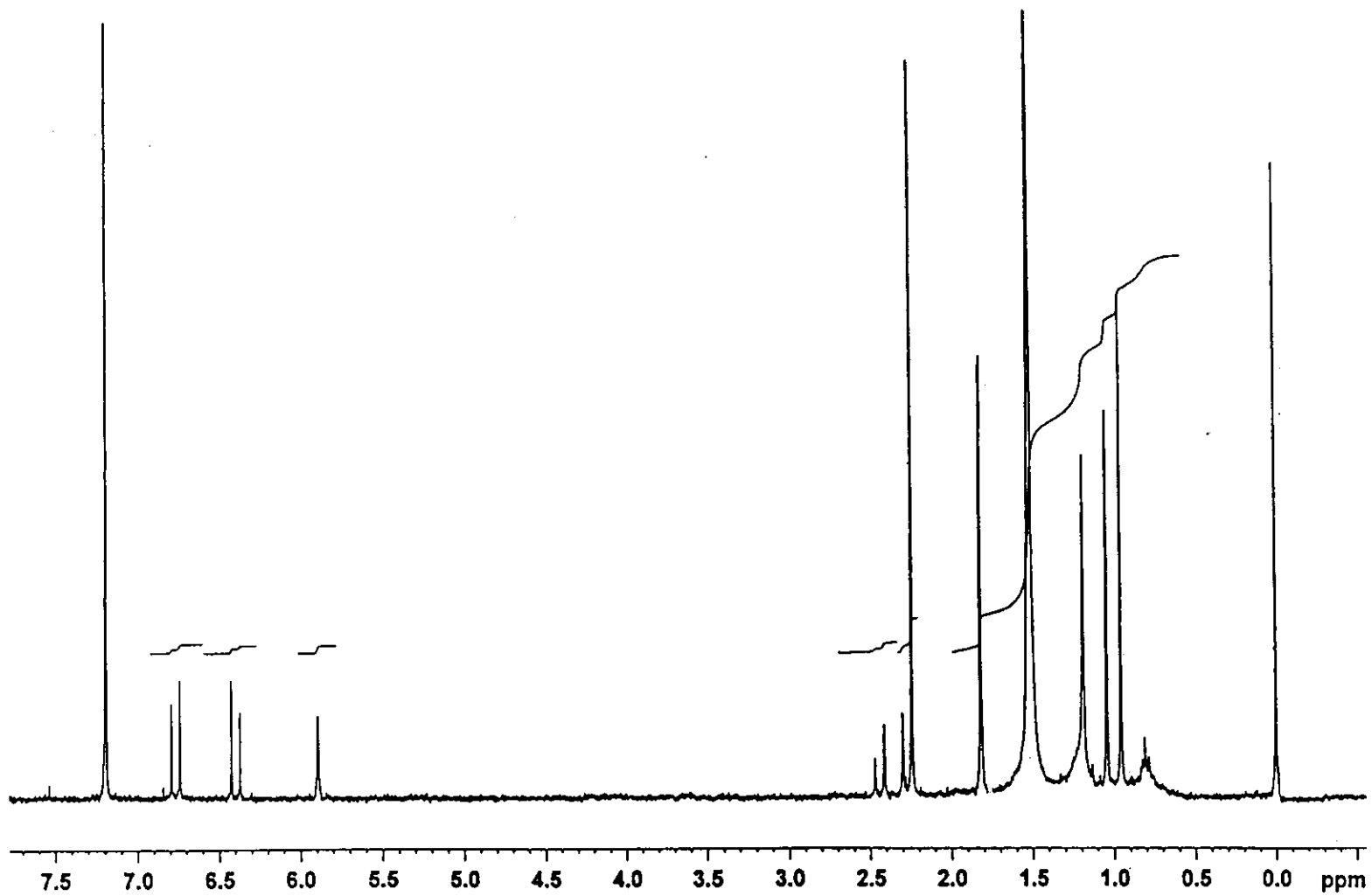
ภาพประกอบที่ 60 DEPT 135° DEPT 90° สเปกตรัมของสาร PTM2



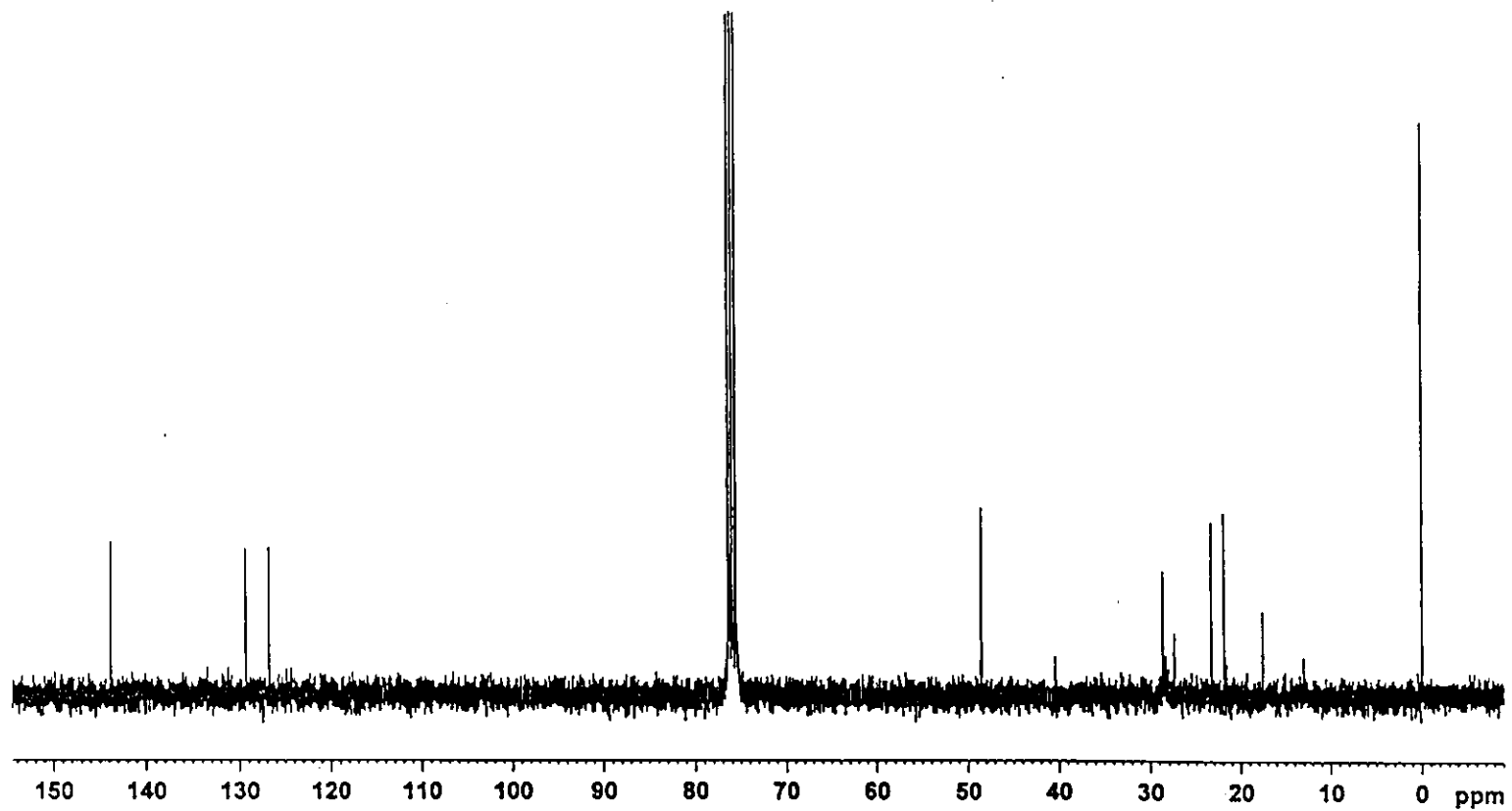
ภาพประกอบที่ 61 COSY สเปกตรัมของสาร PTM2



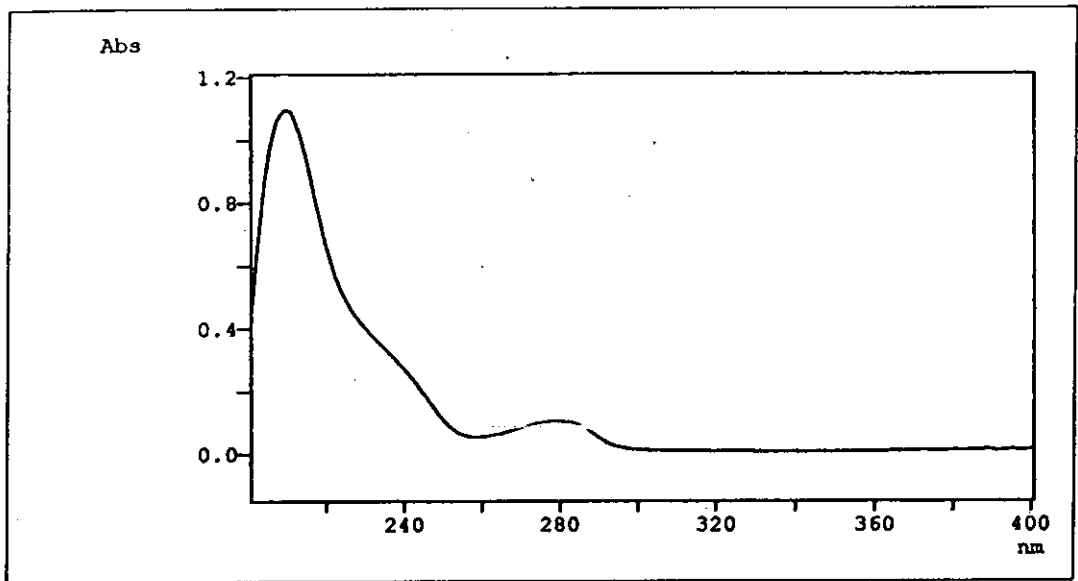
ภาพประกอบที่ 62 HMBC สเปกตรัมของสาร PTM2



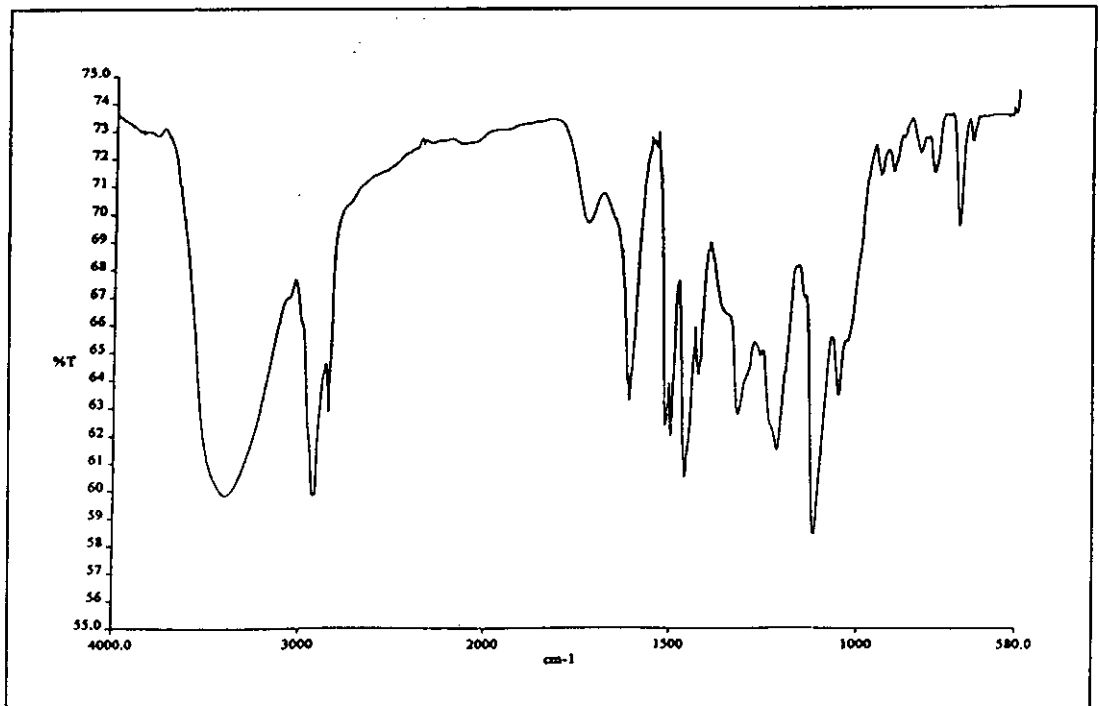
ภาพประกอบที่ 63 ^1H NMR (CDCl_3) สเปกตรัมของสาร PTM3



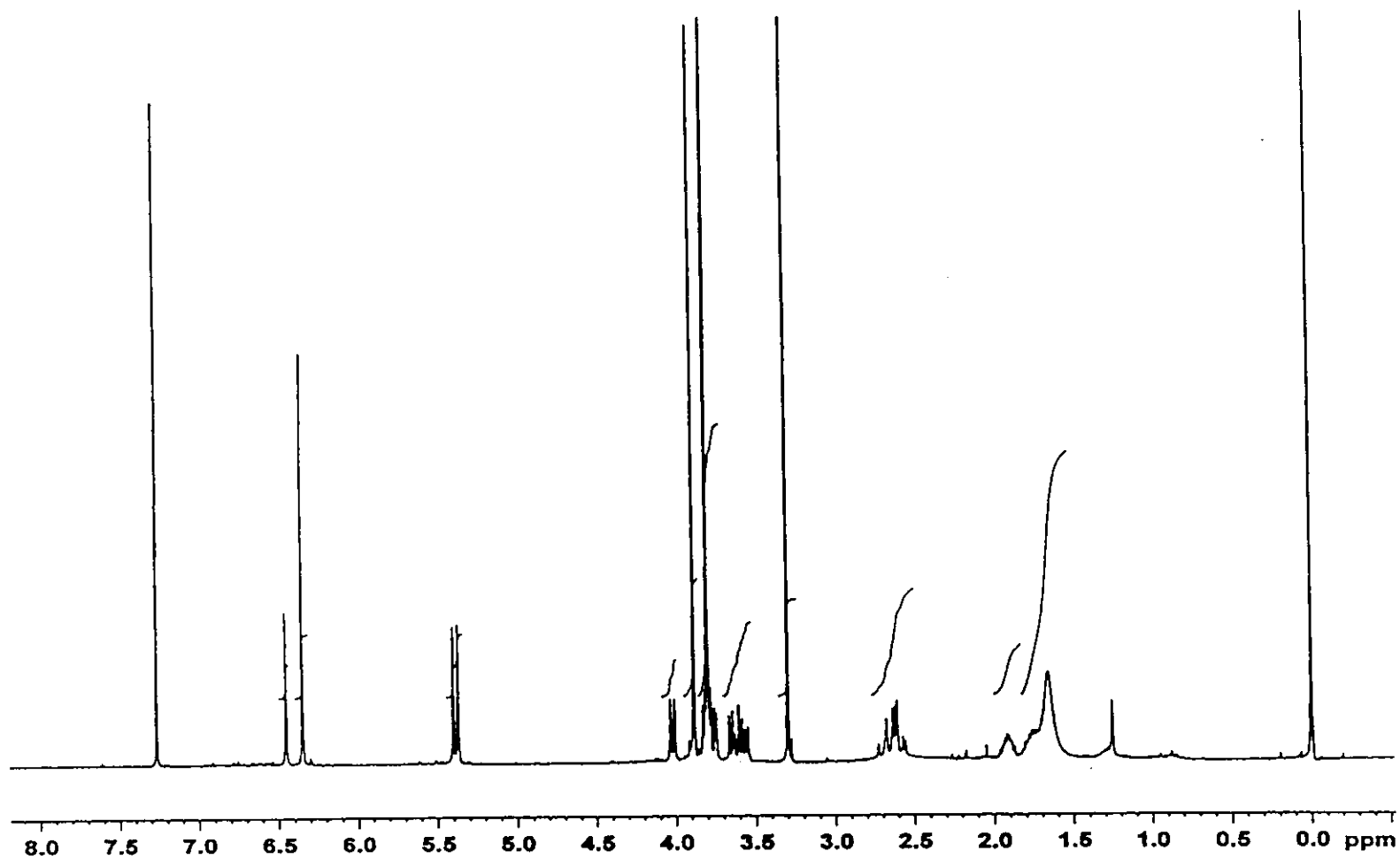
ภาพประกอบที่ 64 ^{13}C NMR (CDCl_3) สเปกตรัมของสาร PTM3



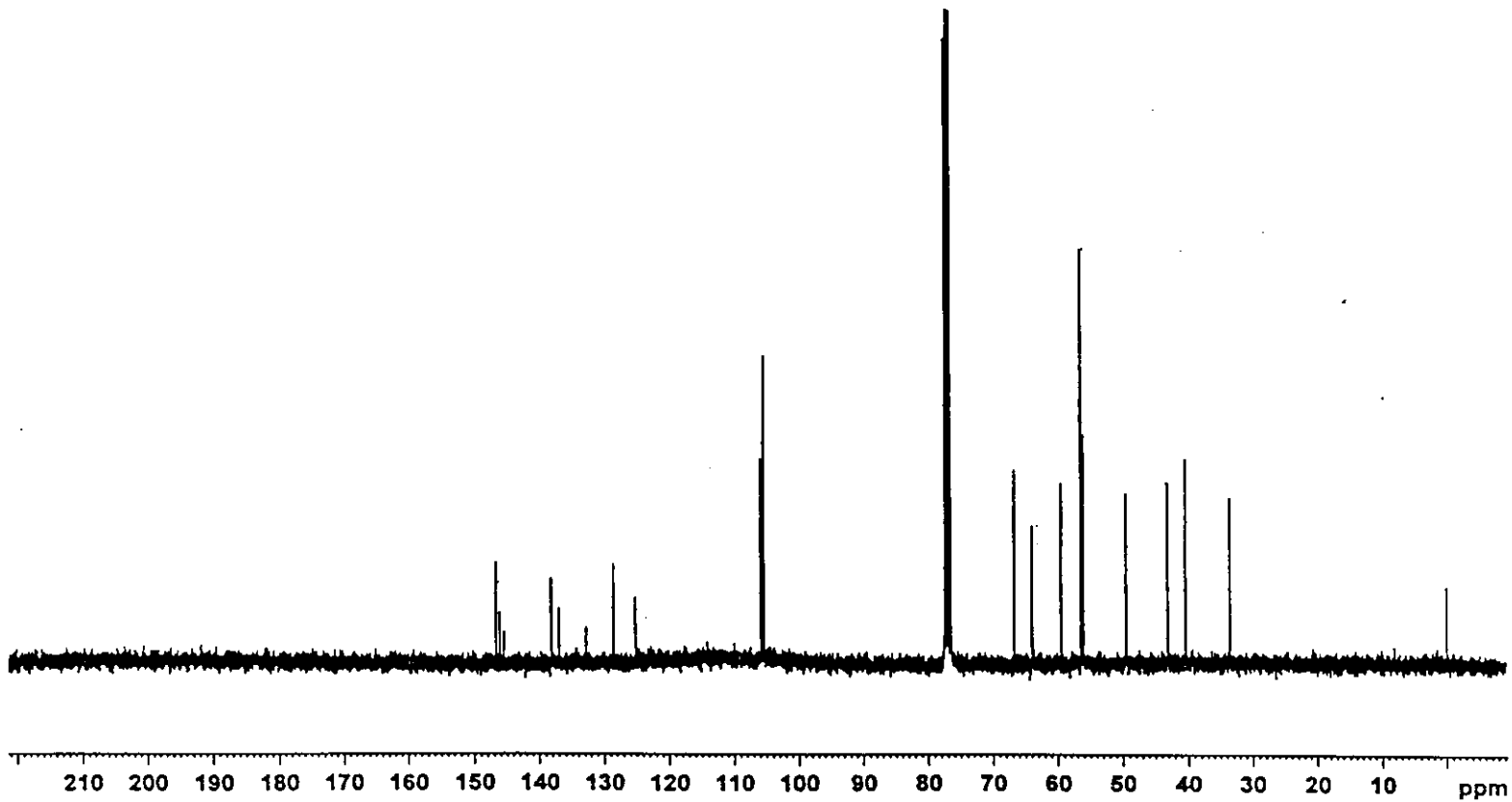
UV (MeOH)



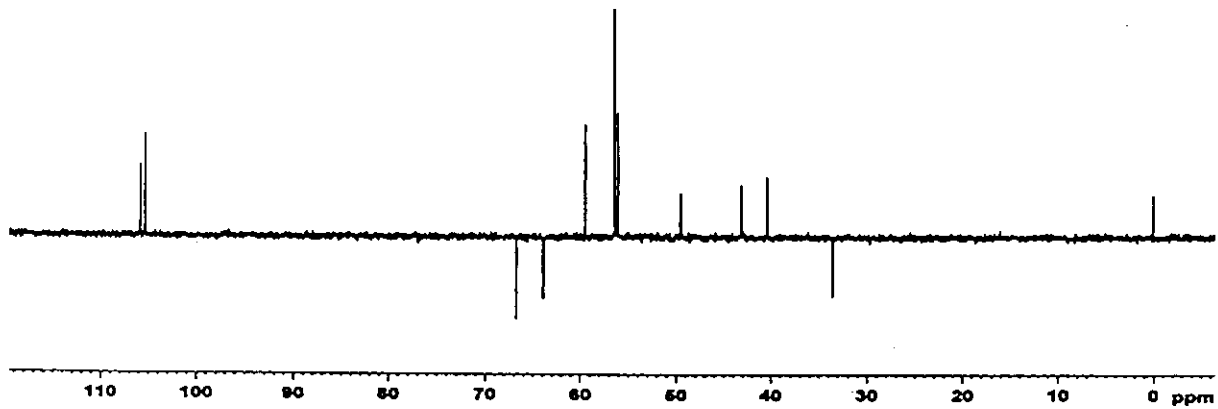
ภาพประกอบที่ 65 UV และ IR สเปกตรัมของสาร PTM4



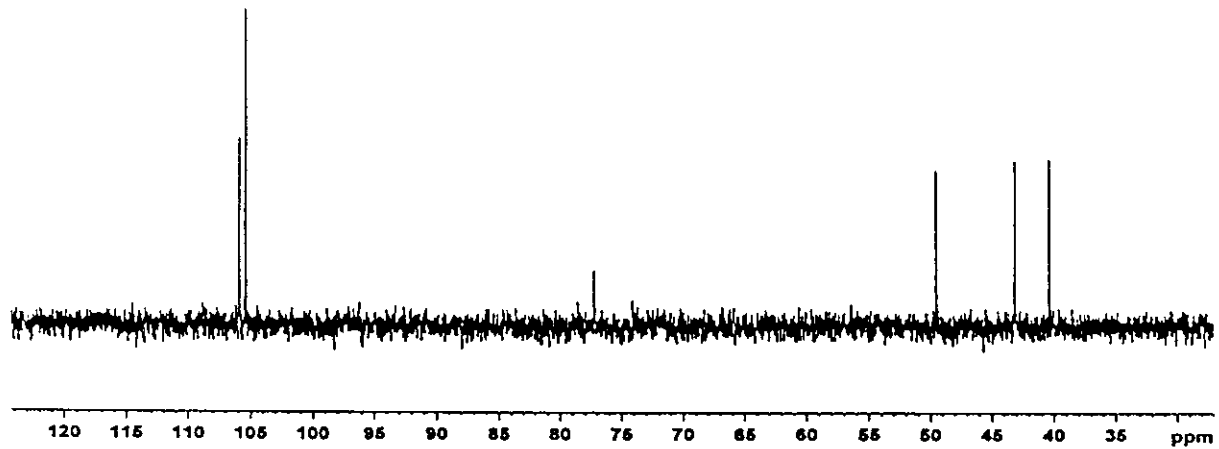
ภาพประกอบที่ 66 ^1H NMR (CDCl_3) สเปกตรัมของสาร PTM4



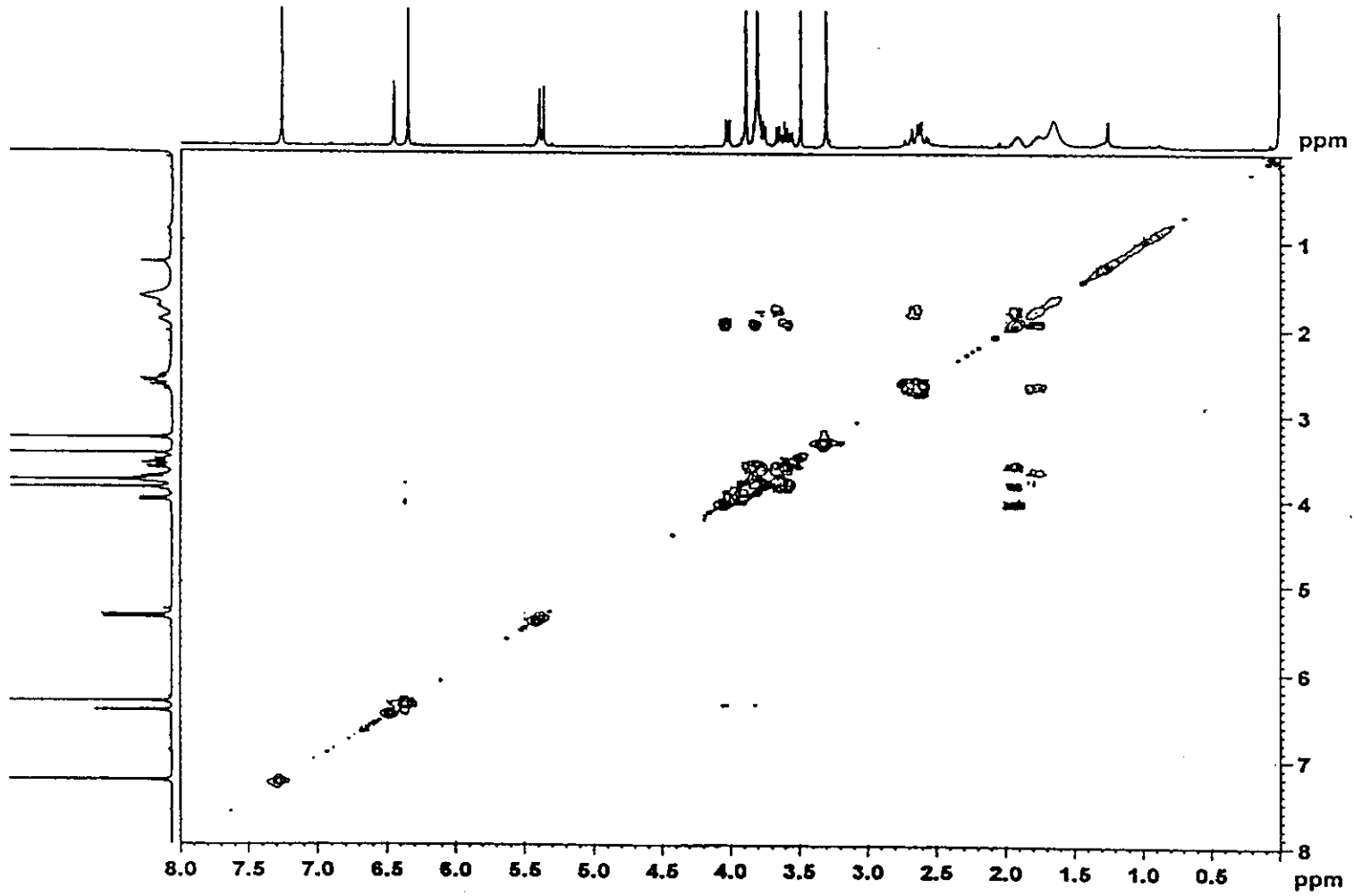
ภาพประกอบที่ 67 ^{13}C NMR (CDCl_3) สเปกตรัมของสาร PTM4



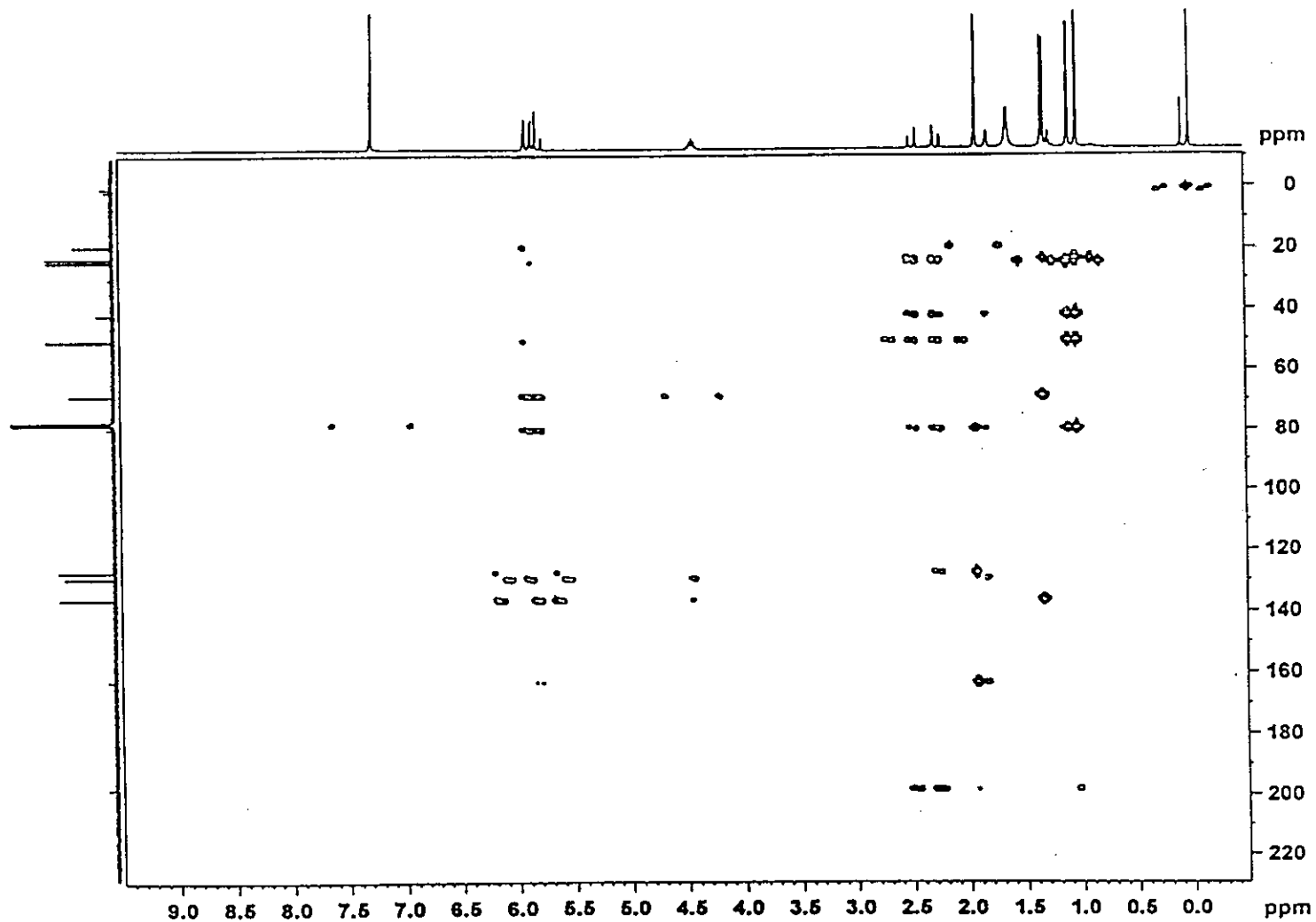
DEPT 135° (CDCl₃)



ภาพประกอบที่ 68 DEPT 135° DEPT 90° สเปกตรัมของสาร PTM4



ภาพประกอบที่ 69 COSY สเปกตรัมของสาร PTM4



ภาพประกอบที่ 70 HMBC สเปกตรัมของสาร PTM4